

ROM2F-01/35

**Università degli studi di Roma “Tor Vergata”
Facoltà di Scienze Matematiche Fisiche e Naturali**

Tesi di Laurea in Fisica

Stringhe, Brane e Campi Magnetici Interni

Candidata

Marianna Larosa

Matricola n. 000688

Relatore

Prof. Augusto Sagnotti

[Unabridged version of the Thesis presented to the University of Rome “Tor Vergata”, in partial fulfillment of the requirements for the “Laurea” degree in Physics, May 2001.]

Anno Accademico 1999-2000

arXiv:hep-th/0111187v2 22 Nov 2001

*Ai miei genitori, Elio e Paola,
e a Marcello,
senza il sostegno e l'affetto dei quali
questo lavoro non sarebbe mai
stato portato a termine.*

Indice

1	Introduzione	3
2	La stringa bosonica	13
2.1	Quantizzazione della stringa bosonica	18
3	La superstringa di RNS	31
3.1	Superstringhe chiuse e aperte	34
4	Espansione di Polyakov e Funzioni di Partizione	43
4.1	Ampiezze di vuoto con caratteristica di Eulero nulla	46
4.2	Compattificazioni	60
4.3	Compattificazioni toroidali	61
4.4	La stringa Eterotica	65
4.5	Compattificazioni su orbifolds	69
5	Stringhe aperte	77
5.1	Gruppi di simmetria nelle stringhe aperte (Metodo di Chan-Paton)	77
5.2	Discendenti Aperti	79
5.3	La stringa bosonica in $D=26$	84
5.4	Discendenti aperti a 10 dimensioni	92
5.5	Modelli in sei dimensioni	115
6	Deformazioni magnetiche e shift-orbifolds	123
6.1	La stringa bosonica aperta in un campo magnetico uniforme .	124

6.2	Stringhe aperte su un toro magnetizzato	128
6.3	Stringhe aperte su orbifolds magnetizzati	133
6.4	Shift-Orbifolds	143
6.5	Modelli in quattro dimensioni	148
6.6	Modelli magnetizzati in $D = 4$	159

Prefazione

Questa Tesi è stata svolta presso il Dipartimento di Fisica dell'Università di Roma "Tor Vergata", che ringrazio per avermi offerto un ambiente di lavoro amabile e molto stimolante. Vorrei rivolgere in questa sede un ringraziamento particolare al Prof. Augusto Sagnotti e al Dr. Gianfranco Pradisi, per avermi introdotto al vasto mondo della Teoria delle Stringhe, e per avermi offerto la possibilità di un'istruttiva collaborazione che mi ha consentito, tra l'altro, di giungere a dei risultati originali.

Roma, Maggio 2001

Marianna Larosa

Capitolo 1

Introduzione

La non rinormalizzabilità della Relatività Generale di Einstein [1, 2, 3, 4, 5, 6, 7, 8] ha fornito la motivazione più forte per riconsiderare la teoria delle stringhe [9], nata inizialmente per descrivere le risonanze adroniche, come un candidato per far rientrare l'interazione gravitazionale nello schema di una teoria quantistica unificata che comprenda tutte le particelle e le forze attualmente note [10, 11]. L'idea di base che sottende alla teoria delle stringhe è che le entità elementari non sono particelle che occupano un singolo punto dello spazio, ma oggetti unidimensionali dotati di una lunghezza caratteristica l_s . La loro storia in uno spazio-tempo a D-dimensioni è quindi descritta da superfici bidimensionali chiamate superfici d'universo (o *world-sheets*). Nella teoria delle stringhe dunque, quelle che venivano concepite come particelle, vengono raffigurate come onde che si propagano lungo la stringa. All'emissione o assorbimento di una particella da parte di un'altra corrisponde la congiunzione o la divisione di corde. In questo contesto quindi, le eccitazioni puntiformi della teoria dei campi vengono sostituite da eccitazioni unidimensionali che interagiscono, in "maniera geometrica", mediante la divisione e la fusione dei loro *world-sheets*.

Ai modi di vibrazione di una stringa restano associati infiniti stati di spin e massa via via crescenti [12, 13, 14, 15]. Nella formulazione convenzionale, la loro massa tipica è dell'ordine della massa di Planck ($\sim 10^{19} GeV$), ma a

distanze confrontabili con la dimensione della stringa ($r \sim l_s$), l'interazione diviene "soffice" [16]. La fisica di bassa energia può essere così descritta da una teoria di campo effettiva, ed è dominata da modi a massa nulla che comprendono, genericamente, un tensore antisimmetrico di rango due, $B_{\mu\nu}$, un campo scalare ϕ , detto *dilatone*, il cui valore di vuoto definisce la costante di accoppiamento della stringa, ed infine un campo di spin due definito da un tensore simmetrico a traccia nulla $h_{\mu\nu}$, ed identificato con le fluttuazioni del tensore metrico [17]. La risoluzione del problema delle divergenze a corta distanza della gravità quantistica e la presenza inevitabile nello spettro di particelle di spin due prive di massa, hanno condotto ad intravedere nella teoria delle stringhe una promettente teoria quantistica finita della gravità.

La quantizzazione della teoria può essere effettuata, ad esempio, mediante l'uso del formalismo funzionale [18]. Questo consente di descrivere la propagazione di una stringa in maniera del tutto analoga alla propagazione di una particella, a patto di sostituire alla somma su tutti i possibili cammini (linee d'universo) la somma sulle superfici di Riemann che collegano gli stati iniziali e finali, e connette effettivamente la teoria delle stringhe alle teorie di campo conformemente invarianti in due dimensioni [19, 20]. Nel caso della stringa bosonica, ad esempio, che realizza la generalizzazione più semplice di una particella ad un oggetto con un'estensione spaziale, e dove i campi bidimensionali sono le coordinate spazio-temporali della stringa, la simmetria conforme pone delle restrizioni sulla dimensione dello spazio-tempo, fissandola a $D = 26$ [21]. La stringa bosonica risulta apparentemente inadeguata alla descrizione di una teoria delle interazioni fondamentali, a causa dell'assenza, nel suo spettro perturbativo, di eccitazioni fermioniche. Tale problema ha trovato una soluzione con l'introduzione della superstringa, una teoria che generalizza la stringa bosonica mediante l'inclusione di campi fermionici bidimensionali anticommutanti. In questo caso si ha un'invarianza superconforme sulla superficie d'universo, che fissa la dimensione *critica* dello spazio-tempo a $D = 10$ [22]. Questa simmetria superconforme è un ingrediente essenziale dei modelli fermionici, i più semplici dei quali esibiscono

una o più supersimmetrie spazio-temporali nei loro spettri.

Le teorie di stringa supersimmetriche consistenti a dieci dimensioni sono cinque: la superstringa di Tipo IIA, il cui limite di bassa energia è la supergravità non chirale di Tipo IIA; la superstringa di Tipo IIB [23, 24], il cui limite di bassa energia è descritto dalla supergravità chirale di Tipo IIB; la superstringa di Tipo I [25, 26], che ha come limite di bassa energia la supergravità minimale accoppiata ad una teoria di super-Yang-Mills con gruppo di gauge $SO(32)$; ed infine i due modelli eterotici, con gruppi di gauge $SO(32)$ ed $E_8 \times E_8$ [27], che hanno come limiti di bassa energia la supergravità minimale a dieci dimensioni accoppiata a teorie di super-Yang-Mills con gruppi di gauge $SO(32)$ ed $E_8 \times E_8$.

La Tipo IIA e la Tipo IIB sono teorie di (super)stringhe chiuse ed orientate. Per le stringhe *chiuse*, i campi hanno origine da modi destri e sinistri indipendenti, e di conseguenza le superfici che entrano nella loro serie perturbativa sono tutte e sole le superfici di Riemann compatte ed orientabili. Ad un determinato ordine g della serie perturbativa corrisponde quindi una sola classe di diagrammi legati al cosiddetto *multitopo* con g manici. Come verrà evidenziato nel quarto capitolo, un ruolo di particolare rilievo nella descrizione di questi modelli è rivestito dal calcolo delle *Funzioni di Partizione*, ovvero delle ampiezze di vuoto a genere uno, quando la superficie spazzata dalle stringhe è equivalente ad un toro. L'espressione corrispondente deve risultare invariante sotto l'azione del cosiddetto *gruppo modulare* [28, 29, 30, 31], il gruppo discontinuo $SL(2, Z)/Z_2$.

Per le stringhe *aperte*, la formulazione perturbativa coinvolge, in generale, la somma su superfici di Riemann con bordi e non orientate [32], in quanto modi destri e modi sinistri vengono mescolati. Inoltre la corrispondente Funzione di Partizione non gode dell'invarianza modulare, ma risulta da contributi di diverse superfici. Nel quinto capitolo verrà discussa dettagliatamente la soluzione di questo problema. Essa trae origine dall'osservazione che la stringa di Tipo I possa essere ottenuta dalla stringa di Tipo IIB. La caratteristica fondamentale della teoria di Tipo IIB è, non a caso,

quella di essere simmetrica sotto lo scambio dei modi destri e sinistri. Questo consente di proiettare lo spettro chiuso con Ω , l'operazione di parità sulla superficie d'universo, ottenendo così uno spettro chiuso non orientato. Ma la Funzione di Partizione richiede, per consistenza, l'introduzione di un nuovo settore, quello *twistato* con Ω , che corrisponde appunto alle stringhe aperte. Questa procedura, nota come *metodo dei discendenti aperti* [33] (detti anche *orientifolds* di corrispondenti stringhe chiuse), ha consentito di costruire ampie classi di modelli di stringhe aperte non orientate in varie dimensioni e di definire i corrispondenti sviluppi perturbativi.

Come emergerà dalla discussione nel quarto capitolo, le (super)stringhe a cui abbiamo accennato sono immerse in uno spazio-tempo la cui dimensione critica (10 o 26) non corrisponde direttamente al nostro mondo quadridimensionale. Questo problema può essere affrontato estendendo, in questo contesto, l'usuale procedura di riduzione à la Kaluza-Klein della teoria dei campi [34]. Si immagina quindi che un adeguato numero di dimensioni spazio-temporali vadano a formare una varietà compatta di volume molto piccolo, risultando così invisibili a bassa energia [35, 36, 37, 38, 39]. A seguito della compattificazione emergono una gran varietà di modelli adatti alla descrizione di vuoti perturbativi. Questo rappresenta il problema più serio per l'approccio perturbativo della teoria delle stringhe, in quanto allo stato attuale non esiste un principio primo che consenta di individuare un unico vuoto fisico. È noto che il vuoto risulta stabile se la teoria possiede una o più supersimmetrie spazio-temporali, condizione soddisfatta se per la procedura di compattificazione vengono utilizzate particolari varietà complesse, note come spazi di Calabi-Yau [40, 41], che comportano anche l'assenza di una costante cosmologica in quattro dimensioni. Ogni compattificazione di questo tipo è però caratterizzata da un numero variabile di parametri liberi, detti *moduli*, che nel limite di bassa energia si presentano nella lagrangiana effettiva come campi scalari con accoppiamenti esclusivamente derivativi, e quindi con potenziali piatti e valori di vuoto indeterminati. Non si è ancora in grado di comprendere come la teoria possa selezionare un particolare vuoto

di questo tipo. D'altra parte, vuoti non supersimmetrici tipicamente fissano alcuni moduli, ma danno luogo a spazi-tempo non piatti.

L'idea di una sostanziale unicità della teoria ha fornito, negli ultimi anni, un impulso decisivo per una sua più completa comprensione. In particolare, la scoperta e la formulazione di equivalenze tra due o più teorie di stringhe, note come *dualità* [42], ha portato in via definitiva all'idea che i cinque modelli supersimmetrici siano in realtà vuoti diversi di un'unica e più fondamentale teoria [43]. Questa, usualmente detta *M-teoria* [44, 45], è una teoria quantistica in undici dimensioni, della quale attualmente si conosce solo la descrizione effettiva di bassa energia, la supergravità in undici dimensioni di Cremmer, Julia e Scherk [46]. In concreto, compattificando la M-teoria su un cerchio di raggio R , si può ottenere la stringa di Tipo IIA, mentre compattificandola su un intervallo I , si può ottenere la stringa eterotica $E_8 \times E_8$ [47]. Queste ultime sono legate alle rimanenti tre teorie supersimmetriche da importanti relazioni di dualità, e quindi il numero di modelli indipendenti a dieci dimensioni viene ad essere ridotto. Ad esempio, si può verificare che la teoria di Tipo IIB compattificata su un cerchio di raggio R , nel limite $R \rightarrow 0$, diviene la teoria di Tipo IIA e viceversa. In queste condizioni si dice che le due teorie sono T-duali. Analogamente, sono T-duali la stringa eterotica $E_8 \times E_8$ e la stringa eterotica $SO(32)$ [49]. Quindi la T-dualità collega teorie compattificate su spazi di piccolo volume con altre compattificate su spazi di grande volume. Un'altra forma di dualità è la S-dualità, che collega una teoria ad accoppiamento forte con una ad accoppiamento debole. Essa agisce sulla costante d'accoppiamento della stringa, invertendola. Ad esempio, la superstringa di Tipo I e l'eterotica $SO(32)$ sono S-duali, mentre la Tipo IIB è S-autoduale [50, 51]. L'ultima relazione che chiude le dualità a dieci e undici dimensioni è la relazione di discendente aperto (o di orientifold) menzionata in precedenza.

Il ruolo delle dualità in teorie di stringhe è duplice. Da un lato esse hanno messo in luce il legame tra nozioni geometriche ed algebriche, ed in particolare la T-dualità ha evidenziato il modo inusuale in cui le stringhe possano per-

cepire la geometria spazio-temporale rivelando, in alcuni casi, l'equivalenza tra le propagazioni su diversi spazi di piccoli e grandi volumi. D'altra parte le dualità, in generale, connettono gli stati perturbativi di un certo modello a stati non perturbativi di un altro. Nello studio e la comprensione delle proprietà non perturbative delle teorie di stringa si è rivelata fondamentale l'identificazione di opportuni solitoni, le *p-brane*, stati non perturbativi presenti nello spettro e correttamente descritti dalla supergravità di bassa energia, che appaiono come superfici estese in p -dimensioni [52]. Quando le p -brane sono cariche rispetto ai campi del settore di Ramond-Ramond della teoria di stringhe, esse sono dette *D-brane* [53, 54]. Più precisamente, le D-brane possono essere pensate come superfici infinitamente estese sulle quali le stringhe aperte possono terminare, e nelle varie teorie di stringhe esse si presentano con diverse dimensioni spaziali. La T-dualità scambia condizioni al bordo di Neumann con condizioni al bordo di Dirichlet, e quindi connette D-brane con diverse dimensioni. Pertanto, è possibile, in generale, dare varie formulazioni T-duali di teorie assegnate con diversi contenuti di D-brane [55].

Abbiamo accennato in precedenza al ruolo giocato dalla supersimmetria per assicurare la stabilità di un vuoto perturbativo. Essa inoltre risulta fondamentale per la verifica quantitativa delle dualità. Ma per ottenere dalla teoria delle stringhe una descrizione fisicamente consistente e completa della natura, è necessario considerare il problema della rottura della supersimmetria. Questo argomento viene affrontato in parte nel quinto ed in parte nel sesto capitolo di questa tesi.

Un meccanismo di rottura spontanea tanto della supersimmetria quanto delle simmetrie di gauge è stato ottenuto estendendo alla teoria delle stringhe la procedura introdotta da Scherk e Schwarz in teoria dei campi. Tale meccanismo è essenzialmente una generalizzazione della riduzione dimensionale di Kaluza-Klein, dove la rottura della supersimmetria è indotta dai diversi comportamenti dei modi fermionici e bosonici nello spazio interno. Esso quindi può essere interpretato in teoria di stringhe come una deformazione del reticolo di un toro sul quale la teoria viene compattificata. Quando questo

meccanismo viene applicato a modelli di stringa chiusa, la scala di rottura della supersimmetria è inversamente proporzionale al volume della varietà compatta. Quindi per avere rottura spontanea nella regione del TeV occorre considerare varietà interne molto grandi, con corrispondenti eccitazioni di Kaluza-Klein molto vicine alle energie attualmente accessibili. Inoltre, un esame più accurato mostra che questi modelli sono tipicamente in regione di accoppiamento forte, e quindi la descrizione perturbativa non è affidabile [56, 57, 58]. Quando il meccanismo viene applicato a modelli di stringhe aperte, nuovi scenari sono possibili, che suscitano interesse sia dal punto di vista teorico che fenomenologico.

Modelli di Tipo I, dove le interazioni di gauge e la materia sono localizzate su D-brane, mentre l'interazione gravitazionale invade l'intero spazio a dieci dimensioni, offrono nuove ed importanti possibilità per rompere la supersimmetria, che possiamo essenzialmente riassumere in tre classi:

1. rottura per compattificazione [59, 61, 60, 62, 63]: in questo caso, accanto alla convenzionale rottura alla Scherk-Schwarz, in cui la direzione utilizzata per separare bosoni e fermioni è parallela alla D-brana, è possibile considerare rotture in direzioni ortogonali. In questo caso nello spettro di bassa energia degli stati che vivono sulla brana sopravvivono una o più supersimmetrie globali. Il fenomeno è noto come *rottura di M-teoria* (o *brane supersymmetry*), poiché può essere associato alla rottura della supersimmetria alla Scherk-Schwarz lungo l'undicesima direzione della M-teoria;
2. *brane supersymmetry breaking* [64]: in queste costruzioni le condizioni di consistenza, ovvero la conservazione di cariche di simmetria associate alla stringa, richiedono che la supersimmetria sia rotta, alla scala di stringa, ma che rimanga esatta, su un set di brane, al livello ad albero, nel settore chiuso e sulle restanti brane;
3. rottura per introduzione di campi magnetici interni: in questo caso la rottura della supersimmetria è legata all'inserimento di campi ma-

gnetici di background H , nel caso più semplice su un toro interno T di raggi R_1, R_2 . Questi, accoppiandosi agli estremi delle stringhe aperte, che sotto H portano cariche q_L e q_R , danno origine ad accoppiamenti diversi per particelle di spin diverso, che acquistano così masse differenti dando luogo alla rottura della supersimmetria. La separazione in massa degli stati di stringa può essere riassunta dalla formula: $\delta m^2 \sim (2n+1)|H_i| + 2\Sigma_i H_i$, dove n è l'ordine dei livelli di Landau e Σ_i sono le elicità interne degli stati proiettati. Lo spettro, generalmente, contiene dei tachioni che derivano dagli scalari con $\Sigma_i = -1$ ($\Sigma_i = 1$), per campi magnetici positivi (negativi), e quindi l'analisi del vuoto è piuttosto complessa.

I primi modelli di tori magnetizzati [65] vennero studiati nel tentativo di ottenere, dalla teoria di campo effettiva della superstringa, spettri chirali a quattro dimensioni [66, 67]. Più recentemente, l'analisi di deformazioni magnetiche abeliane per le teorie di stringhe aperte ha rivelato come i corrispondenti accoppiamenti magnetici possano condurre a modelli chirali con rottura della supersimmetria [68]. Queste costruzioni sono state effettuate assumendo che il numero istantonico per il campo magnetico interno fosse nullo. In realtà è possibile compensare una densità istantonica non nulla mediante l'introduzione di ulteriori brane [69, 70]. Questa possibilità segue dai peculiari accoppiamenti delle brane ai campi di R-R [71, 72]. Nel sesto capitolo vengono quindi analizzati gli effetti di deformazioni magnetiche, con numero istantonico diverso da zero, su alcuni modelli di stringhe di tipo I a sei e quattro dimensioni. Questi rivelano la presenza di nuovi vuoti perturbativi con supersimmetria non rotta o con *brane supersymmetry breaking*, e dove le D9-brane possono effettivamente emulare delle (anti)D5-brane.

In questa tesi viene descritto come il meccanismo di rottura alla Scherk-Schwarz possa essere combinato con opportune configurazioni di campi magnetici interni. Mediante tale procedura sono stati quindi costruiti nuovi modelli in quattro dimensioni, le cui configurazioni di vuoto presentano rottura della supersimmetria e nelle quali le D5-brane sono sostituite da D9-brane

magnetizzate.

Capitolo 2

La stringa bosonica

La stringa bosonica è il modello piú semplice di stringa relativistica. Storicamente, il primo principio d'azione per una teoria di stringa venne formulato da Nambu [73] e Goto [74] negli anni '70, generalizzando le nozioni della teoria relativistica per una particella puntiforme. Sappiamo che una particella libera relativistica, durante la sua evoluzione in uno spazio-tempo D-dimensionale, descrive una traiettoria parametrizzata in termini di una sola variabile, l'ascissa curvilinea lungo la *linea* d'universo: $x^\mu(\tau)$. Analogamente una stringa, un oggetto esteso in una dimensione spaziale, nel suo moto in uno spazio-tempo a D dimensioni, descrive una *superficie* d'universo parametrizzata da due variabili: τ e σ . τ può essere pensata come la coordinata temporale per un qualsiasi punto lungo la stringa nella posizione σ , e convenzionalmente si sceglie $\sigma \in [0, \pi]$. Quindi, la superficie d'universo (o *world-sheet*) della stringa è descritta specificando la posizione $X^\mu(\tau, \sigma)$, per alcuni valori di τ e σ . In altri termini, considerando uno spazio-tempo Minkowskiano \mathcal{M} a D dimensioni, di metrica $\eta_{\mu\nu} = \text{diag}(-1, 1, \dots, 1)$, la coordinata di stringa $X^\mu(\xi)$ è la mappa

$$X^\mu : \mathcal{S} \longrightarrow \mathcal{M}, \quad \mu = 0, \dots, D - 1,$$

dove \mathcal{S} è lo spazio dei parametri bidimensionale e $\xi = (\tau, \sigma) \in \mathcal{S}$.

L'azione di Nambu-Goto ha la forma seguente:

$$S_{NG} = -T \int dA = -T \int d^2\xi \sqrt{-g(\xi)}, \quad (2.1)$$

ovvero è proporzionale all'elemento d'area invariante dA della superficie spazziata dalla stringa, proprio come l'azione che descrive il moto di una particella massiva è proporzionale alla lunghezza invariante della linea d'universo ds da essa descritta. Nella (2.1) $g(\xi) = \det g_{\alpha\beta}(\xi)$, dove $g_{\alpha\beta}$ è la metrica che descrive la geometria del “world-sheet”, ovvero la metrica indotta sulla superficie d'universo della stringa

$$g_{\alpha\beta} = \eta_{\mu\nu} \partial_\alpha X^\mu \partial_\beta X^\nu. \quad (2.2)$$

Inoltre $T = \frac{1}{2\pi\alpha'}$ è la tensione di stringa, e α' è detta *pendenza di Regge* ($[T] = L^{-2} = M^2$), e $d^2\xi = d\tau d\sigma$.

L'azione di Nambu-Goto può essere posta in forma diversa, ma classicamente equivalente, considerando la metrica $g_{\alpha\beta}$ come un moltiplicatore di Lagrange. L'azione risultante

$$S = -T \int d^d\xi \left(\frac{1}{2} \sqrt{-g} g^{\alpha\beta}(\xi) \eta_{\mu\nu} \partial_\alpha X^\mu \partial_\beta X^\nu \right), \quad (2.3)$$

è detta usualmente *azione di Polyakov*, anche se inizialmente è stata formulata da Brink, Di Vecchia, Howe, Deser e Zumino [76, 77]. L'azione (2.3), piú semplice, è piú conveniente per la quantizzazione. Essa ha le seguenti simmetrie:

1. è *globalmente* invariante sotto le trasformazioni di Poincarè

$$\delta X^\mu = \Omega^{\mu\nu} X_\nu + a^\mu, \quad (2.4)$$

$$\delta g_{\alpha\beta} = 0, \quad (2.5)$$

dove $\Omega^{\mu\nu}$ è una matrice antisimmetrica della rappresentazione D-dimensionale del gruppo pseudo ortogonale $SO(1, D-1)$ ed a^μ è un vettore costante. Tale invarianza riflette la simmetria dello spazio di Minkowski in cui si propaga la stringa.

2. è *localmente* invariante sotto:

- diffeomorfismi (o riparametrizzazioni) del world-sheet:

$$\delta X^\mu = \zeta^\alpha \partial_\alpha X^\mu, \quad (2.6)$$

$$\delta g_{\alpha\beta} = \nabla_\alpha \zeta_\beta + \nabla_\beta \zeta_\alpha, \quad (2.7)$$

ovvero è indipendente dalla particolare scelta di coordinate ξ^α . Infatti $d^2\xi\sqrt{-g(\xi)}$ è l'elemento di area invariante, mentre il termine cinetico è invariante grazie alla totale contrazione degli indici tensoriali. L'equazione (2.3) descrive D campi scalari accoppiati alla gravità in due dimensioni.

- trasformazioni di Weyl, ovvero riscalamenti locali della metrica sul world-sheet:

$$\delta X^\mu = 0, \quad (2.8)$$

$$\delta g_{\alpha\beta} = 2\Lambda(\xi)g_{\alpha\beta}. \quad (2.9)$$

In realtà è possibile aggiungere all'azione (2.3) ulteriori termini compatibili sia con l'invarianza di Poincarè D-dimensionale che con la rinormalizzabilità,

$$S_1 = -\lambda T \int d^2\xi \sqrt{-g(\xi)}, \quad (2.10)$$

$$S_2 = - \int d^2\xi B_{\mu,\nu}(X) \epsilon^{\alpha\beta} \partial_\alpha X^\mu \partial_\beta X^\nu, \quad (2.11)$$

$$S_3 = -\frac{1}{2\pi} \int d^2\xi \sqrt{-g(\xi)} R^{(2)}(\xi), \quad (2.12)$$

dove S_1 è un termine di “costante cosmologica” bidimensionale che, non essendo invariante sotto trasformazioni di Weyl, a $D = 2$ dà origine ad un contributo ad albero alle equazioni di moto. Nel seguito poniamo $\lambda = 0$. S_2 è un termine di Wess-Zumino. S_3 , in cui $R^{(2)}(g)$ rappresenta la curvatura scalare intrinseca del *world-sheet*, ha un ruolo importante nelle interazioni di stringa, ma non contribuisce alla dinamica locale (ovvero alle equazioni classiche del moto), essendo un termine topologico. Si può mostrare che l'integrando è una derivata totale, e che

$$S_2 = -\frac{T}{2} \int d^2\xi \sqrt{-g(\xi)} R^{(2)} = \chi = 2 - 2h, \quad (2.13)$$

dove χ è la *caratteristica di Eulero* della superficie bidimensionale e h è il numero dei suoi manici [78].

A questo punto possiamo ricavare le equazioni del moto dei campi di stringa X^μ e della metrica $g^{\alpha\beta}$, variando l'azione (2.3) rispettivamente rispetto ad X^μ e $g_{\alpha\beta}$. Quindi

$$\frac{\delta S}{\delta X^\mu} = 0 \iff \partial_\alpha(\sqrt{-g}g_{\alpha\beta}\partial_\beta X^\mu) = 0, \quad (2.14)$$

a meno di termini di bordo che, come vedremo in seguito, determineranno una prima importante distinzione tra i possibili tipi di stringhe bosoniche (**chiuse o aperte**). Inoltre

$$\frac{\delta S}{\delta g^{\alpha\beta}} = 0 \iff \frac{T}{2}\sqrt{-g}\left(\frac{1}{2}g^{\rho\sigma}g^{\alpha\beta} - g^{\alpha\rho}g^{\beta\sigma}\right)\partial_\alpha X^\mu\partial_\beta X^\nu = 0, \quad (2.15)$$

dove abbiamo utilizzato le familiari relazioni

$$\delta\sqrt{-g} = \frac{1}{2}\sqrt{-g}g^{\rho\sigma}\delta g_{\rho\sigma}, \quad (2.16)$$

$$\delta g^{\alpha\beta} = -g^{\alpha\rho}g^{\beta\sigma}\delta g_{\rho\sigma}. \quad (2.17)$$

D'altra parte, il tensore energia-impulso bidimensionale $T_{\alpha\beta}$ è definito come

$$T_{\alpha\beta} = -\frac{2}{T}\frac{1}{\sqrt{-g}}\frac{\delta S}{\delta g^{\alpha\beta}}, \quad (2.18)$$

e l'equazione di campo (2.15) è quindi equivalente al vincolo

$$T_{\alpha\beta} = \partial_\alpha X^\mu\partial_\beta X_\mu - \frac{1}{2}g_{\alpha\beta}g^{\rho\sigma}\partial_\rho X^\mu\partial_\sigma X_\mu = 0. \quad (2.19)$$

È semplice dimostrare che $T_{\alpha\beta}$ gode delle seguenti proprietà :

1. è simmetrico : $T_{\alpha\beta} = T_{\beta\alpha}$;
2. è conservato : $\partial^\alpha T_{\alpha\beta} = 0$ (usando le equazioni del moto (2.14)) ;
3. ha traccia nulla : $g^{\alpha\beta}T_{\alpha\beta} = 0$ (conseguenza dell'invarianza di Weyl).

Una teoria di campo caratterizzata dall'aver un tensore energia impulso simmetrico, conservato ed a traccia nulla è in generale *invariante conforme*, ovvero è invariante anche sotto trasformazioni conformi speciali.

La soluzione delle equazioni di moto dei campi di stringa (2.14) con i vincoli (2.15) è resa più agevole dalla scelta di un gauge opportuno. L'invarianza sotto diffeomorfismi dell'azione, consente, almeno localmente, di introdurre un sistema di coordinate tali da rendere la metrica "conformemente piatta", ovvero di porla nella forma

$$g_{\alpha\beta}(\xi) = e^{2\Lambda(\xi)}\eta_{\alpha\beta}. \quad (2.20)$$

La (2.20) è nota come *gauge conforme*.

Nel gauge conforme l'azione di Polyakov, i vincoli (2.19) e le equazioni del moto (2.14) assumono, rispettivamente, le seguenti espressioni:

$$S = -\frac{T}{2} \int d\tau d\sigma \eta^{\alpha\beta} \eta_{\mu\nu} \partial_\alpha X^\mu \partial_\beta X^\nu = \frac{T}{2} \int d\tau d\sigma [(\partial_\tau X)^2 - (\partial_\sigma X)^2] \quad (2.21)$$

dove, convenzionalmente, τ e σ vengono presi appartenere agli intervalli

$$\tau \in (-\infty, \infty) \quad \sigma \in [0, \pi].$$

Dalla (2.21) si deduce che nel gauge conforme l'azione di eq. (2.3) si riduce all'azione di D campi liberi X^μ , mentre i vincoli divengono

$$T_{00} = \dot{X}^2 + X'^2 = T_{11} = 0, \quad (2.22)$$

$$T_{10} = \dot{X}X' = T_{01} = 0, \quad (2.23)$$

dove

$$\dot{X} = \frac{\partial X^\mu}{\partial \tau}, \quad X' = \frac{\partial X^\mu}{\partial \sigma}.$$

Infine per le equazioni del moto (2.14) si ha

$$\partial_\alpha \partial^\alpha X^\mu = \frac{\partial^2 X^\mu}{\partial \tau^2} - \frac{\partial^2 X^\mu}{\partial \sigma^2} = 0, \quad (2.24)$$

ovvero le coordinate X^μ soddisfano le equazioni delle onde in (1+1)-dimensioni, ma a meno di termini di superficie, che nel gauge conforme sono

$$[\delta S]_{sup} = -T \int_{-\infty}^{+\infty} d\tau [X' \delta X]_0^\pi = 0. \quad (2.25)$$

Dalla eq. (2.25) segue che :

$$[X' \delta X]_0^\pi = 0, \quad (2.26)$$

che, come precedentemente accennato, determinano il modello di stringa a cui si vuole far riferimento. Questo termine è assente per stringhe chiuse, per le quali X è periodica di periodo π . Per le stringhe bosoniche *aperte* l'annullarsi del termine di superficie determina invece le condizioni al bordo.

2.1 Quantizzazione della stringa bosonica

Si definiscono **chiuse** le stringhe le cui coordinate $X^\mu(\xi)$ soddisfano condizioni al contorno periodiche

$$X^\mu(\tau, \sigma) = X^\mu(\tau, \sigma + \pi), \quad (2.27)$$

ovvero le stringhe topologicamente equivalenti a dei cerchi.

Viceversa, le stringhe **aperte** sono caratterizzate dall'aver degli estremi non coincidenti, ma tali da annullare indipendentemente i due contributi alla (2.26), che ad esempio possono essere

liberi, e quindi soggetti a condizioni al bordo di Neumann

$$X'^\mu(\tau, 0) = X'^\mu(\tau, \pi), \quad (2.28)$$

fissati, e quindi soggetti a condizioni al bordo di Dirichlet

$$X^\mu(\tau, 0) = a^\mu, X^\mu(\tau, \pi) = b^\mu, \quad (2.29)$$

con a^μ e b^μ due vettori costanti. Mentre per le stringhe bosoniche chiuse le equazioni del moto (2.24) e la condizione di periodicità di $X^\mu(\xi)$ sono

sufficienti ad assicurare la stazionarietà dell'azione (2.24), per le stringhe bosoniche aperte la (2.21) va quindi completata con la scelta di condizioni ai bordi.

Per le stringhe chiuse la generica soluzione dell'equazione di moto (2.24) compatibile con la condizione di periodicità delle coordinate può essere espressa come sovrapposizione di onde regressive e progressive (sinistre e destre)

$$X^\mu(\tau, \sigma) = X_L^\mu(\tau + \sigma) + X_R^\mu(\tau - \sigma), \quad (2.30)$$

con le seguenti espansioni in modi normali:

$$X_L^\mu(\tau + \sigma) = \frac{x^\mu}{2} + \alpha' p^\mu(\tau + \sigma) + i\sqrt{\frac{\alpha'}{2}} \sum_{n \neq 0} \frac{\bar{\alpha}_n^\mu}{n} e^{-2in(\tau + \sigma)}, \quad (2.31)$$

$$X_R^\mu(\tau - \sigma) = \frac{x^\mu}{2} + \alpha' p^\mu(\tau - \sigma) + i\sqrt{\frac{\alpha'}{2}} \sum_{n \neq 0} \frac{\alpha_n^\mu}{n} e^{-2in(\tau - \sigma)}. \quad (2.32)$$

Si noti che x^μ e p^μ possono essere interpretate come la posizione e l'impulso del centro di massa della stringa, mentre $\bar{\alpha}_n^\mu$ e α_n^μ sono le ampiezze dei modi di Fourier sinistri e destri. Inoltre la pendenza di Regge α' è legata, oltre che alla tensione di stringa T , alla lunghezza fondamentale di stringa l_s , dalla seguente espressione:

$$l_s = \sqrt{2\alpha'}.$$

Per le stringhe aperte la generica soluzione dell'equazione delle onde (2.24) con condizioni al bordo di Neumann è invece data da

$$X^\mu(\tau, \sigma) = x^\mu + 2\alpha' p^\mu \tau + i\sqrt{2\alpha'} \sum_{n \neq 0} \cos(n\sigma) \frac{\alpha_n^\mu}{n} e^{-in\tau}. \quad (2.33)$$

Notiamo che una stringa bosonica aperta possiede un solo insieme di modi di Fourier, con frequenze dimezzate rispetto ai modi del caso chiuso.

Passiamo ora a considerare i vincoli (2.22) e (2.23)

$$\dot{X}^2 + X'^2 = 0, \quad \dot{X}X' = 0.$$

Questi possono essere soddisfatti in maniera molto semplice ponendoli nella forma (equivalente) di *Fubini e Veneziano*

$$(\dot{X} + X')^2 = 0, \quad (2.34)$$

$$(\dot{X} - X')^2 = 0, \quad (2.35)$$

ed introducendo i corrispondenti modi di Fourier, noti come *operatori di Virasoro*, che per la stringa bosonica chiusa sono

$$\bar{L}_n = \frac{T}{8} \int_0^\pi (\dot{X} + X')^2 e^{2in\sigma} d\sigma = \frac{1}{2} \sum_{k=-\infty}^{+\infty} \bar{\alpha}_{n-k}^\mu \bar{\alpha}_{k,\mu}, \quad (2.36)$$

$$L_n = \frac{T}{8} \int_0^\pi (\dot{X} - X')^2 e^{2in\sigma} d\sigma = \frac{1}{2} \sum_{k=-\infty}^{+\infty} \alpha_{n-k}^\mu \alpha_{k,\mu}, \quad (2.37)$$

con : $\alpha_0 = \sqrt{\frac{\alpha'}{2}} p^\mu = \bar{\alpha}_0$. La stringa bosonica aperta ha invece un solo tipo di operatori di Virasoro

$$L_n = \frac{T}{4} \int_{-\pi}^\pi (\dot{X} + X')^2 e^{in\sigma} d\sigma = \frac{1}{2} \sum_{k=-\infty}^{+\infty} \alpha_{n-k}^\mu \alpha_{k,\mu}, \quad (2.38)$$

con $\alpha_0 = \sqrt{2\alpha'} p^\mu$, dove in questo caso la variabile σ è stata formalmente estesa all'intervallo $[-\pi, \pi]$. Gli operatori di Virasoro sono i coefficienti di Fourier del tensore energia-impulso, e quindi i vincoli (1.35) possono essere riscritti come una classe di infinite equazioni, note come *vincoli di Virasoro*

$$\bar{L}_n = 0, \quad (2.39)$$

$$L_n = 0 \quad \forall n \in Z. \quad (2.40)$$

Per la stringa aperta la prima classe di equazioni è assente.

L'aspetto interessante da sottolineare delle eq. (2.39) e (2.40), è che, quando questi vincoli sono imposti sulla Hamiltoniana H del sistema, essi danno origine, in particolare, alla condizione di *mass-shell* per la teoria di stringa in considerazione.

Mostriamo anzitutto come la Hamiltoniana della teoria bidimensionale sia legata ai modi-zero degli operatori di Virasoro L_n . Il momento canonico

coniugato

$$P^\mu = \frac{\delta S}{\delta \dot{X}^\mu} = T \dot{X}^\mu, \quad (2.41)$$

consente di scrivere

$$H = \int_0^\pi d\sigma (\dot{X}P - \mathcal{L}) = \frac{T}{2} \int_0^\pi d\sigma (\dot{X}^2 + X'^2), \quad (2.42)$$

e quindi per la stringa bosonica chiusa si ha

$$H = 2(\bar{L}_0 + L_0), \quad (2.43)$$

mentre per quella aperta

$$H = L_0. \quad (2.44)$$

Dunque i vincoli di Virasoro per $n = 0$

$$L_0 = \frac{1}{2} \sum_{k=-\infty}^{+\infty} \alpha_{-k}^\mu \alpha_{k,\mu} = 0, \quad (2.45)$$

$$\bar{L}_0 = \frac{1}{2} \sum_{k=-\infty}^{+\infty} \bar{\alpha}_{-k}^\mu \bar{\alpha}_k^\mu = 0, \quad (2.46)$$

implicano che

$$H = 0, \quad (2.47)$$

sia nel caso chiuso che in quello aperto. Ricordando allora che

$$p^\mu p_\mu = -m^2 = p^2,$$

si ottengono le seguenti condizioni di *mass-shell*

$$m^2 = \frac{2}{\alpha'} \sum_{k=1}^{\infty} (\alpha_k^\mu \alpha_{k,\mu} + \bar{\alpha}_k^\mu \bar{\alpha}_{k,\mu}), \quad (2.48)$$

per la stringa chiusa, e

$$m^2 = \frac{1}{\alpha'} \sum_{k=1}^{\infty} \alpha_k^\mu \alpha_{k,\mu}, \quad (2.49)$$

per la stringa aperta. Queste sono essenzialmente corrette anche dopo la quantizzazione, ma con una importante sottigliezza: un contributo additivo, di segno negativo, ad m^2 .

La quantizzazione della teoria può essere effettuata seguendo metodologie diverse, ma tra loro equivalenti. Due primi esempi sono:

1. **la quantizzazione canonica covariante (OCQ)**, che ha il vantaggio di rendere manifesta l'invarianza di Lorentz, ma presenta delle sottigliezze legate alla presenza di stati a norma negativa;
2. **la quantizzazione nel gauge del cono di luce**, in cui tutti gli stati sono fisici ma l'invarianza di Lorentz non è manifesta.

Nell'ambito della OCQ, le variabili classiche quali le coordinate di stringa $X^\mu(\xi)$, vanno interpretate come operatori hermitiani agenti sullo spazio di Hilbert della teoria in considerazione. Tali operatori obbediscono quindi alle relazioni di commutazione canonica

$$[X^\mu(\tau, \sigma), P^\nu(\tau, \sigma')] = i\eta^{\mu\nu} \delta(\sigma - \sigma'), \quad (2.50)$$

e di conseguenza i loro modi di Fourier soddisfano

$$[x^\mu, p^\nu] = i\eta^{\mu\nu}, \quad (2.51)$$

$$[\alpha_n^\mu, \alpha_m^\nu] = [\bar{\alpha}_n^\mu, \bar{\alpha}_m^\nu] = n\eta^{\mu\nu} \delta(\sigma - \sigma'), \quad (2.52)$$

$$[\alpha_n^\mu, \bar{\alpha}_m^\nu] = 0, \quad (2.53)$$

per la stringa chiusa. Per la stringa aperta valgono le stesse relazioni, salvo l'assenza degli oscillatori $\bar{\alpha}$. Dalla hermiticità di X^μ segue che $(\alpha_n^\mu)^\dagger = \alpha_{-n}^\mu$, e gli α_n^μ hanno quindi un'interpretazione naturale in termini di operatori di creazione ed annichilazione di oscillatori armonici, per $n < 0$ ed $n > 0$ rispettivamente.

Lo spazio di Fock degli stati della teoria sarà quindi ottenuto a partire dallo stato fondamentale $|0; p^\mu\rangle$, definito da

$$\alpha_n^\mu |0; p^\mu\rangle = \bar{\alpha}_n^\mu |0; p^\mu\rangle = 0 \quad \forall n > 0, \quad (2.54)$$

agendo con gli operatori di innalzamento.

La patologia di questa costruzione sta nel fatto che lo spazio di Fock così ottenuto non è definito positivo, in quanto le componenti temporali dei commutatori (2.51) e (2.52) contengono un segno negativo introdotto da $\eta^{\mu\nu}$; di conseguenza uno stato della forma

$$(\alpha_n^0)^\dagger |0; p^\mu\rangle,$$

risulta avere norma negativa: $\langle p^\mu; 0 | \alpha_n^0 \alpha_m^0 \dagger | 0; p^\mu \rangle = -1$, se $\langle p^\mu; 0 | 0; p^\mu \rangle > 0$.

Da tutto ciò segue che lo spazio degli stati *fisici* sarà un sottospazio dello spazio di Fock completo della teoria, ottenuto imponendo delle condizioni tali da eliminare gli stati di norma negativa.

Nella teoria classica si è visto che tali condizioni sono espresse dall'annullarsi delle componenti del tensore energia-impulso $T_{\alpha\beta}$, i cui modi di Fourier forniscono i generatori di Virasoro

$$L_n = \frac{1}{2} \sum_{k=-\infty}^{\infty} \alpha_{n-k}^\mu \alpha_{\mu,k}, \quad (2.55)$$

dove per ora concentriamo l'attenzione sulla teoria di stringa aperta, ovvero sugli operatori L_n , in quanto la trattazione degli operatori \tilde{L}_n segue in maniera del tutto analoga.

Nella teoria quantistica gli α_n^μ divengono degli operatori e quindi occorre risolvere le ambiguità derivanti dall'ordinamento normale; in particolare, poichè $[\alpha_{n-k}^\mu, \alpha_{k,\mu}] = 0$ per $k \neq 0$, le ambiguità hanno origine da L_0 , e dunque

$$: L_n := L_n \quad n \neq 0, \quad (2.56)$$

$$: L_0 := L_0 + a, \quad (2.57)$$

dove a è una costante da determinare. Non è difficile dimostrare che gli operatori L_n soddisfano l'algebra di Virasoro

$$[L_n, L_m] = (n - m)L_{n+m} + \frac{c}{12}n(n^2 - 1)\delta_{n+m,0}, \quad (2.58)$$

dove la costante c , detta *carica centrale*, per una teoria di D campi bosonici liberi coincide proprio con D (gli \bar{L}_n soddisfano la stessa algebra (2.58) con carica centrale \bar{c}) e dove $a = -\frac{D}{24}$.

Si potrebbe richiedere che gli stati fisici siano tali da soddisfare

$$L_n|\phi\rangle = 0 \quad \forall n, \quad (2.59)$$

ma questa è una condizione troppo forte, a causa dell'estensione centrale dell'algebra (2.58) che impedisce che L_n ed L_{-n} annullino separatamente lo stato $|\phi\rangle$. In realtà possiamo imporre che gli stati fisici soddisfino

$$L_n|\phi\rangle = 0 \quad n > 0, \quad (2.60)$$

$$(L_0 - a)|\phi\rangle = 0, \quad (2.61)$$

ovvero che solo gli operatori di abbassamento annichilino gli stati fisici, i quali possono essere autostati di L_0 . D'altra parte dallo studio della teoria classica è emerso che l'eq. (2.61) determina la massa degli stati di stringa. Infatti, riscrivendo L_0 in maniera esplicita, per la teoria di stringa aperta si ha

$$L_0 = \frac{1}{2}\alpha_0^2 + N, \quad (2.62)$$

dove: $\alpha_0 = \sqrt{2\alpha'}p^\mu$, e $N = \sum_{k=1}^{\infty} \alpha_{-k}^\mu \alpha_{k,\mu}$ è l'operatore numero, da cui si ricava

$$m^2 = -p^\mu p_\mu = \frac{1}{\alpha'}(N - a). \quad (2.63)$$

Per la stringa bosonica chiusa, la condizione

$$(L_0 - a)|\phi\rangle = (\bar{L}_0 - a)|\phi\rangle = 0 \quad (2.64)$$

con

$$L_0 = \frac{\alpha_0^2}{2} + N, \quad \bar{L}_0 = \frac{\alpha_0^2}{2} + \bar{N}, \quad \bar{\alpha}_0 = \alpha_0 = \sqrt{2\alpha'}p^\mu, \quad \bar{N} = \sum_{k=1}^{\infty} \bar{\alpha}_k^\mu \bar{\alpha}_{k,\mu},$$

conduce a

$$m^2 = -p^\mu p_\mu = \frac{2}{\alpha'}(N + \bar{N} - 2a). \quad (2.65)$$

Inoltre, dal fatto che $\bar{\alpha}_0 = \alpha_0$ segue che

$$N = \bar{N},$$

nota come condizione di *raccordo dei livelli*, un vincolo che lega le eccitazioni dei modi destri e sinistri della stringa chiusa.

Gli stati della forma

$$|\chi\rangle = \sum_{n=1}^{\infty} L_n |\chi_n\rangle \quad (L_n^\dagger) = L_{-n},$$

risultano ortogonali a tutti gli stati fisici, e vengono detti stati *spuri*, mentre uno stato fisico che sia anche spurio è detto *nullo*. Se $|\phi\rangle$ è fisico e $|\phi_0\rangle$ nullo, allora $|\phi\rangle + |\phi_0\rangle$ è fisico e quindi i due stati $|\phi\rangle$ e $|\phi\rangle + |\phi_0\rangle$ sono indistinguibili. Ne segue che lo spazio di Hilbert degli stati fisici è l'insieme delle classi di equivalenza: $|\phi\rangle \sim |\phi\rangle + |\phi_0\rangle$.

È istruttivo a questo punto esaminare alcuni livelli per la teoria di stringa aperta. I primi due operatori di Virasoro sono

$$L_0 = \alpha' p^2 + \alpha_{-1}^\mu \alpha_{1,\mu} + \dots \quad (2.66)$$

$$L_1 = \sqrt{2\alpha'} p^\mu \alpha_{1,\mu} + \dots \quad (2.67)$$

Per $N = 0$, dalla (2.61) si ottiene: $m^2 = -\frac{a}{\alpha'}$, ovvero esiste una sola classe di equivalenza di stati corrispondente ad una particella scalare, che come vedremo è un tachione.

Per $N = 1$, esistono D stati, $|\epsilon; p\rangle = \epsilon_\mu \alpha_{-1}^\mu |0; p\rangle$, dove ϵ è il vettore di polarizzazione, e dalla (2.61) segue che per tali stati $m^2 = \frac{1-a}{\alpha'}$. Dalla condizione di stato fisico (2.60) si ricava quindi che

$$L_1 |\epsilon; p\rangle = \sqrt{2\alpha'} p^\nu \alpha_{1,\nu} \epsilon_\mu \alpha_{-1}^\mu |0; p\rangle = 0,$$

ovvero $p \cdot \epsilon = 0$. D'altra parte è facile verificare l'esistenza di uno stato spurio

$$L_{-1} |0; p\rangle = \sqrt{2\alpha'} p^\mu \alpha_{-1,\mu} |0; p\rangle,$$

che implica: $\epsilon^\mu = \sqrt{2\alpha'} p^\mu$.

Osserviamo che per $a = 1$, $m^2 = 0$; $p \cdot p = 0$ per lo stato spurio, che quindi risulta anche fisico.

Allora la classe di equivalenza $\epsilon^\mu \sim \epsilon^\mu + p^\mu$ con $\epsilon \cdot p = 0$ descrive (D-2) stati trasversi di norma positiva di una particella vettoriale di massa nulla.

La stessa procedura può essere applicata alla stringa bosonica chiusa. Anche in questo caso lo stato fondamentale $N = 0$ risulta essere tachionico, mentre il primo livello eccitato corrisponde a $N = \bar{N} = 1$, ed è descritto dagli stati

$$\epsilon_{\mu\nu} \alpha_{-1}^\mu \bar{\alpha}_{-1}^\nu |0; p\rangle$$

di massa $m^2 = -\frac{4(1-a)}{\alpha'}$ con $p^\mu \epsilon_{\mu\nu} = 0$.

Da un'analisi dettagliata degli stati fisici si ricava che gli stati di norma positiva si ottengono esclusivamente per $D \leq 26$ ed $a \leq 1$ [79]. Comunque il caso notevole è $D = 26$, $a = 1$, come visto in precedenza, ed è anche l'unico per il quale la quantizzazione è stata effettuata in modo soddisfacente.

La *quantizzazione nel gauge del cono di luce* [21] consente di giungere ai medesimi risultati ottenuti con la OCQ. Il gauge conforme (2.20) fissa tre parametri della teoria, quelli della metrica sul *world-sheet*, ma l'invarianza sotto riparametrazioni lascia una simmetria residua che consente di fissare un'ulteriore condizione di gauge. Pur non essendo covariante, questa risulta essere molto conveniente (si vedrà infatti come i vincoli (2.34) e (2.35) potranno essere linearizzati).

Dato un vettore in D -dimensioni, $X^\mu = (X^0, X^1, X^i)$ $i = 2, \dots, D-1$, le coordinate di cono di luce in uno spazio-tempo D -dimensionale sono definite come

$$X^\pm = \frac{1}{\sqrt{2}}(X^0 \pm X^1), \quad (2.68)$$

da cui segue che

$$X^\mu X_\mu = X^i X_i - 2X^+ X_-,$$

dove l'indice i si riferisce alle $(D-2)$ coordinate spazio-temporali trasverse. La simmetria residua cui si è accennato permette di imporre il gauge di cono

di luce

$$X^+(\sigma, \tau) = x^+ + 2\alpha' p^+ \tau, \quad (2.69)$$

che classicamente corrisponde a porre a zero i coefficienti dei modi α_n^+ per $n \neq 0$, ovvero a scegliere sulla *world-sheet* una direzione del sistema di coordinate lungo la quale la stringa non oscilla.

Avendo fissato X^+ , i vincoli di Virasoro $(\dot{X} \pm X')^2 = 0$ possono essere risolti esprimendo le coordinate X^- in termini di quelle trasverse X^i , e quindi si ottiene

$$(\dot{X} + X')^- = \frac{1}{2(2\alpha' p^+)} (\dot{X}^i + X'^i)^2, \quad (2.70)$$

da questa si deduce che gli oscillatori nella direzione “-” possono essere espressi in termini di quelli trasversi

$$\alpha_n^- = \frac{1}{\sqrt{2\alpha' p^+}} \sum_{k=1}^{\infty} \alpha_{n-k}^i \alpha_{k,i} = \sqrt{\frac{2}{\alpha' p^+}} (L_n^\perp + a\delta_{n,0}), \quad (2.71)$$

ed analogamente per gli $\bar{\alpha}_n^-$. Gli L_n^\perp (\bar{L}_n^\perp) sono gli operatori di Virasoro *trasversi*, ovvero costruiti dalle sole X^i . Anche in questo caso, a causa delle relazioni di commutazione (2.51)-(2.53), essi risultano essere mal definiti per $n = 0$; di qui la presenza in (2.71) del termine proporzionale a $\delta_{n,0}$, indice appunto della necessità di ordinare normalmente L_0^\perp o, se vogliamo, della necessità di una ridefinizione dell’energia di punto zero. Dunque, il calcolo esplicito di L_0^\perp evidenzia la presenza di una somma infinita, la cui regolarizzazione, effettuata ad esempio mediante l’uso della funzione ζ di Riemann

$$\zeta(s) = \sum_{k=1}^{\infty} k^{-s}, \quad (2.72)$$

fornisce il valore della costante a in funzione della dimensione spazio-temporale D [80], ovvero

$$a = \frac{(D-2)}{24},$$

determinata dal valore notevole della funzione ζ di Riemann, $\zeta(-1) = -\frac{1}{12}$. Dalla (2.71) è possibile ottenere la condizione di *mass-shell* della teoria.

Per la stringa bosonica chiusa si ha

$$\alpha_0^- = \sqrt{\frac{\alpha'}{2}} p^- = \bar{\alpha}_0^-,$$

e quindi sfruttando la relazione $-m^2 = p^\mu p_\mu = 2p^+ p^- - p^i p_i$ si ricava

$$m^2 = \frac{2}{\alpha'} (N + \bar{N} - 2a), \quad (2.73)$$

con $N = \bar{N}$, da cui è possibile leggere lo spettro. Lo stato fondamentale ($N = 0$), $|0; p^\mu\rangle$, è un tachione con $m^2 = -\frac{4a}{\alpha'}$, mentre gli stati corrispondenti ad $N = \bar{N} = 1$, $\epsilon_{ij} \alpha_{-1}^i \bar{\alpha}_{-1}^j |0; p^\mu\rangle$, con $m^2 = 0$, se $a = 1$, ovvero se $D = 26$, possono essere decomposti in rappresentazioni irriducibili di $SO(D - 2)$

$$\begin{aligned} \alpha_{-1}^i \bar{\alpha}_{-1}^j |0; p^\mu\rangle &= \alpha_{-1}^{[i} \bar{\alpha}_{-1}^{j]} |0; p^\mu\rangle + [\alpha_{-1}^{(i} \bar{\alpha}_{-1}^{j)} |0; p^\mu\rangle - \delta^{ij} \alpha_{-1}^i \alpha_{-1}^j |0; p^\mu\rangle] + \\ &\quad \delta^{ij} \alpha_{-1}^i \bar{\alpha}_{-1}^j |0; p^\mu\rangle \end{aligned}$$

ed associati, rispettivamente, alle componenti fisiche di un tensore antisimmetrico B_{ij} e di un tensore simmetrico a traccia nulla, h_{ij} . Queste ultime possono essere interpretate come i gradi di libertà trasversi di una particella di spin due, il *gravitone*, il cui campo $h_{\mu\nu}$ è associato alle fluttuazioni della metrica $g_{\mu\nu} = \eta_{\mu\nu} + h_{\mu\nu}$. Si noti come la condizione $D = 26$ sia necessaria per avere uno spettro di stati fisici invariante di Lorentz. Infatti, solo per stati di massa nulla le polarizzazioni sono puramente trasverse e descritte da $SO(D - 2)$.

Infine, la traccia di $g_{\mu\nu}$ ha un'interpretazione naturale come un campo scalare detto **dilatone**.

Per la stringa aperta $\alpha_0^- = \sqrt{2\alpha'} p^-$, e dunque la (2.71) dà

$$m^2 = \frac{1}{\alpha'} (N - a). \quad (2.74)$$

Anche in questo caso lo stato fondamentale è un tachione, ma con massa pari ad un quarto della massa del tachione di stringa chiusa ovvero $m^2 = -\frac{a}{\alpha'}$, perché, come vedremo $a = 1$.

Per $N = 1$, infatti, gli stati hanno $m^2 = 0$, se $D = 26$, e corrispondono a $\alpha_{-1}^i |0; p^\mu\rangle$. Essi vengono associati alle componenti trasverse di un vettore,

privo di massa, di $SO(D-2)$. Questa è nuovamente l'unica possibilità per avere uno spettro invariante di Lorentz, perché non ha la componente longitudinale necessaria per descrivere un vettore massivo.

Osserviamo che sia nel caso chiuso che in quello aperto gli operatori numero N (\bar{N}) sono costruiti a partire dai soli oscillatori trasversi α_n^i ($\bar{\alpha}_n^i$). A questo punto non ci resta che controllare la covarianza della teoria. Per farlo occorre verificare che l'algebra di Poincarè, generata dalle correnti di Nöther

$$P_\alpha^\mu = T \partial_\alpha X^\mu, \quad (2.75)$$

$$J_\alpha^{\mu\nu} = T(X^\mu \partial_\alpha X^\nu - X^\nu \partial_\alpha X^\mu) \quad (2.76)$$

sia chiusa. P_α^μ e $J_\alpha^{\mu\nu}$ sono le correnti (nel gauge conforme) associate rispettivamente all'invarianza dell'azione (2.21) sotto traslazioni e trasformazioni di Lorentz delle coordinate X^μ . L'impulso totale P^μ ed il momento angolare totale $J^{\mu\nu}$ della stringa, si ottengono integrando le correnti (2.75) e (2.76) su σ a $\tau = 0$, da cui risulta

$$P^\mu = p^\mu,$$

ovvero l'impulso totale coincide con il modo-zero della coordinata della stringa, e questo è vero sia per il caso chiuso che aperto. Inoltre

$$J^{\mu\nu} = T \int_0^\pi d\sigma (X^\mu \frac{dX^\nu}{d\tau} - X^\nu \frac{dX^\mu}{d\tau}),$$

che, inserendo l'espansione in modi, assume la forma seguente:

$$\begin{aligned} J^{\mu\nu} &= x^\mu p^\nu - x^\nu p^\mu + E^{\mu\nu} + \bar{E}^{\mu\nu} && \text{per la stringa chiusa,} \\ J^{\mu\nu} &= x^\mu p^\nu - x^\nu p^\mu + E^{\mu\nu} && \text{per la stringa aperta,} \end{aligned}$$

dove

$$\begin{aligned} E^{\mu\nu} &= -i \sum_{n=1}^{\infty} \frac{1}{n} (\alpha_{-n}^\mu \alpha_n^\nu - \alpha_{-n}^\nu \alpha_n^\mu), \\ \bar{E}^{\mu\nu} &= -i \sum_{n=1}^{\infty} \frac{1}{n} (\bar{\alpha}_{-n}^\mu \bar{\alpha}_n^\nu - \bar{\alpha}_{-n}^\nu \bar{\alpha}_n^\mu). \end{aligned}$$

Nell'ambito della OCQ, utilizzando le relazioni di commutazione (2.51)-(2.53), non è difficile dimostrare che l'algebra di Poincarè

$$[p^\mu, p^\nu] = 0,$$

$$[J^{\mu\nu}, p^\rho] = i\eta^{\mu\rho} p^\nu - i\eta^{\nu\rho} p^\mu,$$

$$[J^{\mu\nu}, J^{\rho\sigma}] = i\eta^{\mu\rho} J^{\nu\sigma} + i\eta^{\nu\sigma} J^{\mu\rho} - i\eta^{\nu\sigma} J^{\mu\sigma} - i\eta^{\mu\sigma} J^{\nu\rho},$$

è soddisfatta. Inoltre, poichè $[L_n, J^{\mu\nu}] = 0$, le condizioni di stato fisico sono invarianti sotto trasformazioni di Lorentz e gli stati fisici formano multipletti di Lorentz. Nella quantizzazione nel gauge del cono di luce occorre prestare particolare attenzione al commutatore $[J^{i-}, J^{j-}]$, perché gli α^- sono funzioni non lineari degli α^i , e dal calcolo esplicito si evince che la teoria è invariante se e solo se $D = 26$ e $a = 1$. In questo modo si trova nuovamente la condizione precedente.

Capitolo 3

La superstringa di RNS

La stringa bosonica discussa nel capitolo precedente presenta due importanti problematiche:

1. l'assenza di fermioni, che quindi non consente una descrizione fisica diretta della natura;
2. la presenza di tachioni, indice di una sbagliata identificazione del vuoto. Un vuoto stabile (come per il modello di Higgs), avrà in generale caratteristiche diverse.

Questo conduce in modo naturale alla formulazione di una diversa teoria di stringa, ottenuta come generalizzazione della precedente. Un primo tentativo in questa direzione che permette, la soluzione del primo problema, si basa sull'introduzione di "partners" fermionici delle coordinate spazio-temporali X^μ : i campi anticommutanti $\psi^\mu(\xi)$. La **superstringa** [75] (o *stringa fermionica*) [22] è quindi ottenuta estendendo l'azione invariante sotto riparametrizzazioni (2.3) mediante l'aggiunta di campi fermionici in modo consistente con la supersimmetria locale in due dimensioni. L'azione risultante è [76]

$$S = -\frac{T}{2} \int d^2\xi \sqrt{-g} [g^{\alpha\beta} \partial_\alpha X^\mu \partial_\beta X^\mu + i \bar{\psi}^\mu \gamma^\alpha \nabla_\alpha \psi_\mu + i \chi^\alpha \gamma^\beta \gamma^\alpha \psi^\mu (\partial_\beta X_\mu + \frac{i}{4} \chi_\beta \psi_\mu)], \quad (3.1)$$

e descrive la supergravità bidimensionale accoppiata ai campi X^μ e ψ^μ . χ^α è il campo di gauge della supersimmetria, un gravitino di Majorana, e come $\sqrt{-g}g^{\alpha\beta}$, è un moltiplicatore di Lagrange non dinamico, mentre le γ^α sono le due matrici gamma-di Dirac bidimensionali. L'introduzione dei gradi di libertà fermionici aumenta le simmetrie dell'azione. L'azione (3.1) infatti risulta invariante sotto le trasformazioni di supersimmetria locali

$$\begin{aligned}\delta g_{\alpha\beta} &= 2i\gamma_\alpha\chi_\beta \quad , \\ \delta\chi_\alpha &= 2\nabla_\alpha\epsilon \quad , \\ \delta\psi^\mu &= \gamma^\alpha(\partial_\alpha X^\mu - \frac{i}{2}\chi_\alpha\psi^\mu)\epsilon \quad , \\ \delta X^\mu &= i\epsilon\psi^\mu \quad ,\end{aligned}$$

dove ϵ , il parametro della trasformazione di supersimmetria, è uno spinore di Majorana. Il gauge conforme della stringa bosonica ha un analogo in questo caso, definito dalle condizioni

$$\begin{aligned}g_{\alpha\beta} &= e^{2\Lambda}\eta_{\alpha\beta} \quad , \\ \chi_\alpha &= \gamma_\alpha\zeta \quad ,\end{aligned}$$

e noto come gauge *superconforme*. Con questa scelta, l'azione (3.1) si riduce a

$$S = -\frac{T}{2} \int d^2\xi (\partial_\alpha X^\mu \partial^\alpha X_\mu + i\bar{\psi}^\mu \gamma^\alpha \partial_\alpha \psi_\mu) \quad , \quad (3.2)$$

che dal punto di vista della teoria bidimensionale è l'azione di D campi scalari e di D campi fermionici liberi.

Le equazioni del moto per i campi X^μ e ψ^μ sono

$$\begin{aligned}\frac{\partial^2 X^\mu}{\partial\tau^2} - \frac{\partial^2 X^\mu}{\partial\sigma^2} &= 0 \quad , \\ i\gamma^\alpha\partial_\alpha\psi^\mu &= 0 \quad ,\end{aligned} \quad (3.3)$$

ovvero l'equazione delle onde (o di Klein-Gordon) e l'equazione di Dirac a massa nulla.

Le matrici γ^α sono i generatori dell'algebra di Clifford $\{\gamma^\alpha, \gamma^\beta\} = 2\eta^{\alpha\beta}$. Scegliendo per esse la base puramente immaginaria

$$\gamma^0 = \sigma_2 = \begin{pmatrix} 0 & -i \\ i & 0 \end{pmatrix}, \quad \gamma^1 = i\sigma_1 = \begin{pmatrix} 0 & i \\ i & 0 \end{pmatrix},$$

con operatore di chiralità

$$\gamma^3 = \gamma^0\gamma^1 = \sigma_3 = \begin{pmatrix} 1 & 0 \\ 0 & -1 \end{pmatrix},$$

l'operatore di Dirac è reale, e quindi le componenti dello spinore sulla *world-sheet*, ψ^μ , possono essere scelte reali. Di conseguenza ψ^μ può essere consistentemente uno spinore di Majorana con due componenti ma di chiralità opposta

$$\psi^\mu = \begin{pmatrix} \psi_1^\mu \\ \psi_2^\mu \end{pmatrix},$$

le quali descrivono due spinori di Majorana-Weyl.

Applicando il teorema di Nöther, per la superstringa è possibile costruire due correnti conservate, il tensore energia-impulso

$$T_{\alpha\beta} = \partial_\alpha X^\mu \partial_\beta X_\mu + i\bar{\psi}^\mu \gamma_\alpha \partial_\beta \psi_\mu - \frac{1}{2}g_{\alpha\beta}(\partial^\sigma X_\mu \partial_\sigma X^\mu + i\bar{\psi}^\mu \gamma^\sigma \partial_\sigma \psi_\mu),$$

e la supercorrente (ovvero la corrente di supersimmetria)

$$J^\alpha = \frac{1}{2}\gamma^\alpha \gamma^\beta \psi^\mu \partial_\beta X^\mu \quad (\alpha = 0, 1),$$

che possiamo riscrivere in termini delle componenti $J_{+,-}$ come

$$J_+ = (\partial_+ X_\mu) \psi_1^\mu, \quad J_- = (\partial_- X_\mu) \psi_2^\mu$$

$$\partial_\pm = \frac{1}{2}(\partial_\tau \pm \partial_\sigma).$$

In questo caso i vincoli sul sistema, detti di *super-Virasoro*, sono

$$T_{\alpha\beta} = 0, \quad J^\alpha = 0,$$

e seguendo l'analogia con la stringa bosonica, possono essere espressi in una forma che generalizza quella di Fubini e Veneziano

$$T_{++} = \frac{1}{4}[\dot{X} + X']^2 + \frac{i}{4}[\psi_2 \psi_2' + \psi_2 \dot{\psi}_2] = 0, \quad (3.4)$$

$$T_{--} = \frac{1}{4}[\dot{X} - X']^2 + \frac{i}{4}[\psi_1\psi_1' + \psi_1\dot{\psi}_1] = 0, \quad (3.5)$$

$$J_+ = J_- = 0. \quad (3.6)$$

Osserviamo che, come nel caso puramente bosonico, $T_{\alpha\beta}$ ha traccia nulla, e quindi

$$T_{+-} = T_{-+} = 0.$$

3.1 Superstringhe chiuse e aperte

Come per la teoria bosonica, la stazionarietà dell'azione (3.2) è garantita dalle equazioni del moto (3.3) e dall'annullarsi del termine di bordo

$$[\delta S]_{boundary} = \int_{-\infty}^{\infty} d\tau [X'_\mu \delta X^\mu + i(\psi_1 \delta \psi_1 - \psi_2 \delta \psi_2)]_0^\pi. \quad (3.7)$$

Quindi si definiscono *chiuse* le superstringhe che soddisfano le seguenti condizioni di periodicità o di antiperiodicità

$$X^\mu(\tau, \sigma) = X^\mu(\tau, \sigma + \pi),$$

$$\psi_i(\pi) = +\psi_i(0), \quad (3.8)$$

$$\psi_i(\pi) = -\psi_i(0), \quad (3.9)$$

con $i = 1, 2$. Le (3.8) vengono dette condizioni di **Ramond (R)**, e le (3.9) condizioni di **Neveu-Schwarz, (NS)** [22]. Entrambe preservano i generatori del gruppo di Lorentz, quadratici nei fermioni. Da queste segue che la superstringa chiusa, in corrispondenza delle possibili combinazioni di ψ_1 e ψ_2 , è caratterizzata da quattro settori distinti: **NS-NS, NS-R, R-NS, R-R**.

Le soluzioni dell'equazione di Dirac per le quattro condizioni al bordo, espresse in termini dei modi di Fourier, divengono

$$R\text{-destra} : \quad \psi_1^\mu(\tau, \sigma) = \sqrt{2\alpha'} \sum_{n \in \mathbb{Z}} d_n^\mu e^{-2in(\tau - \sigma)},$$

$$R\text{-sinistra} : \quad \bar{\psi}_2^\mu(\tau, \sigma) = \sqrt{2\alpha'} \sum_{n \in \mathbb{Z}} \bar{d}_n^\mu e^{-2in(\tau + \sigma)},$$

$$NS\text{-destra} : \quad \psi_1^\mu(\tau, \sigma) = \sqrt{2\alpha'} \sum_{r \in Z + \frac{1}{2}} b_r^\mu e^{-2ir(\tau - \sigma)},$$

$$NS\text{-sinistra} : \quad \bar{\psi}_2^\mu(\tau, \sigma) = \sqrt{2\alpha'} \sum_{r \in Z + \frac{1}{2}} \bar{b}_r^\mu e^{-2ir(\tau + \sigma)}.$$

I generatori di super-Virasoro sono dati dai modi di $T_{\alpha\beta}$ e J_α . Ad esempio per il settore di NS destro si ha

$$L_n^{NS} = \frac{T}{2} \int_0^\pi d\sigma T_{--} e^{2in\sigma} = L_n^B + \frac{1}{2} \sum_{r \in Z + \frac{1}{2}} \left(r - \frac{n}{2}\right) : b_{n-r}^\mu b_{r,\mu} : , \quad (3.10)$$

$$G_n = T \int_0^\pi d\sigma J_- e^{2in\sigma} = \sum_{r \in Z + \frac{1}{2}} \alpha_{n-r}^\mu b_{r,\mu}, \quad (3.11)$$

dove L_n^B sono gli operatori di Virasoro della stringa bosonica. Per il settore di NS sinistro sussistono analoghe relazioni, con T_{--} sostituito da T_{++} e J_- sostituito da J_+ , mentre per il settore di R-destro

$$L_n^R = L_n^B + \frac{1}{2} \sum_{k \in Z} \left(k - \frac{1}{2}\right) : d_{n-k}^\mu d_{k,\mu} : , \quad (3.12)$$

$$F_n = \sum_{k \in Z} \alpha_{n-k}^\mu d_{k,\mu}. \quad (3.13)$$

Anche la quantizzazione della superstringa può essere eseguita utilizzando le tecniche già descritte per la teoria di stringa bosonica [81]. La quantizzazione delle coordinate X^μ resta inalterata rispetto al caso non supersimmetrico, mentre la quantizzazione delle coordinate fermioniche coinvolge le relazioni canoniche di anticommutazione. Infatti definendo il momento coniugato a ψ^μ come

$$P_F^\mu = 2 \frac{\delta S}{\delta \dot{\psi}^\mu} = iT \psi^{\mu,T},$$

si ottiene :

$$\{\psi_i^\mu(\tau, \sigma), P_{Fj}^\nu(\tau, \sigma')\} = i\eta^{\mu\nu} \delta_{ij} \delta(\sigma - \sigma').$$

Queste relazioni implicano che i modi b_r^μ e d_n^μ soddisfano

$$\{b_r^\mu, b_s^\nu\} = \eta^{\mu\nu} \delta_{r+s,0}, \quad (3.14)$$

$$\{d_n^\mu, d_m^\nu\} = \eta^{\mu\nu} \delta_{m+n,0}, \quad (3.15)$$

ed analogamente per i modi delle coordinate $\bar{\psi}_i$. Ne segue che gli operatori L_n^{NS} e G_n ($\bar{L}_n^{NS}, \bar{G}_n$) soddisfano l'algebra di NS (o di super Virasoro)

$$[L_n^{NS}, L_m^{NS}] = (n - m)L_{m+n}^{NS} + \frac{\frac{3}{2}D}{12}m(m^2 - 1)\delta_{m+n,0}, \quad (3.16)$$

$$\{G_n, G_m\} = 2L_{n+m}^{NS} + \frac{\frac{3}{2}D}{12}(4r^2 - 1)\delta_{m+n,0}, \quad (3.17)$$

$$[L_n^{NS}, G_m] = \left(\frac{n}{2} - m\right)G_{m+n}, \quad (3.18)$$

con carica centrale $c = \frac{3}{2}D$; mentre gli operatori L_n^R e F_n (\bar{L}_n^R, \bar{F}_n) soddisfano l'algebra di Ramond

$$[L_n^R, L_m^R] = (n - m)L_{n+m}^R + \frac{\frac{3}{2}D}{12}m^2\delta_{m+n,0}, \quad (3.19)$$

$$\{F_n, F_m\} = 2L_{n+m}^R + \frac{6D}{12}m^2\delta_{m+n,0}, \quad (3.20)$$

$$[L_n^R, F_m] = \left(\frac{n}{2} - m\right)F_{n+m}, \quad (3.21)$$

ma con diverse estensioni centrali. Lo spazio di Fock della teoria complessiva si ottiene dal prodotto tensoriale degli spazi di Fock relativi ai quattro settori, costruiti a partire dallo stato di vuoto definito come

$$\alpha_n^\mu |0; p^\mu\rangle = 0 = b_r^\mu |0; p^\mu\rangle = 0 \quad \text{per } n, r > 0 \quad \text{nel settore di NS};$$

$$\alpha_n^\mu |0; p^\mu\rangle = 0 = d_n^\mu |0; p^\mu\rangle \quad \text{per } n > 0 \quad \text{nel settore di Ramond};$$

ovvero come lo stato annullato da tutti gli operatori di abbassamento.

Anche la teoria di superstringa presenta, nei livelli eccitati, stati di norma negativa. Il modo più semplice di eliminarli, come nel caso bosonico, consiste nello sfruttare le simmetrie della teoria per imporre il gauge nel cono di luce, definito da

$$X^+(\tau, \sigma) = x^+ + 2\alpha' p^+ \tau,$$

$$\psi^+ = 0.$$

Focalizzando l'attenzione sul settore di NS-destro ad esempio, nel cono di luce i vincoli (3.5) e (3.6) divengono, rispettivamente

$$[\dot{X} - X'] = \frac{1}{2(2\alpha')p^+} [(\dot{X}^i - X'^i)^2 + 2i\psi_1^i \partial_- \psi_1^i], \quad (3.22)$$

$$\frac{1}{2}(\dot{X} - X')^+ \psi_1^- = \frac{1}{2}(\dot{X} - X')^i \psi_1^i, \quad (3.23)$$

da cui

$$\alpha_n^- = \frac{1}{\sqrt{2\alpha' p^+}} \sum_{n \in \mathbb{Z}} : \alpha_{n-k}^i \alpha_k^i : + \sum_{k \in \mathbb{Z} + \frac{1}{2}} (k - n) : b_{n-k}^i b_k^i := \sqrt{2\alpha'} \frac{1}{\psi^+} L_n^{NS\perp}, \quad (3.24)$$

$$b_n^- = \sqrt{\frac{2}{\alpha'} \frac{1}{\psi^+}} \sum_{k \in \mathbb{Z} + \frac{1}{2}} \alpha_{n-k}^i b_k^i = \sqrt{\frac{2}{\alpha'} \frac{1}{p^+}} G_n^\perp, \quad (3.25)$$

dove $L_n^{NS\perp}$ e G_n^\perp sono gli operatori di Virasoro e di supersimmetria trasversi, e soddisfano l'algebra di NS in $(D-2)$ dimensioni. La condizione di *mass-shell* per gli stati fisici si determina, al solito, dai modi-zero

$$\alpha_0^- = \sqrt{\frac{2}{\alpha'} p^-} = \sqrt{\frac{2}{\alpha'} \frac{1}{p^+}} L_0 = \sqrt{\frac{2}{\alpha'} \frac{1}{p^+}} \left[\frac{\alpha_0^2}{2} + N^B + N^F - a \right], \quad (3.26)$$

$$\bar{\alpha}_0^- = \sqrt{\frac{2}{\alpha'} p^-} = \sqrt{\frac{2}{\alpha'} \frac{1}{p^+}} \bar{L}_0^\perp = \sqrt{\frac{2}{\alpha'} \frac{1}{p^+}} \left[\frac{\bar{\alpha}_0^2}{2} + \bar{N}^B + \bar{N}^F - a \right], \quad (3.27)$$

dove $N_B = \sum_{n=1}^{\infty} \alpha_{-n}^i \alpha_n^i$, $N_F = \sum_{r=\frac{1}{2}}^{\infty} r b_{-r}^i b_r^i$.

La costante a può essere determinata sia nel settore di NS (destra o sinistra) che di R (destra o sinistra), con l'ausilio della regolarizzazione mediante la ζ di Riemann, e non è difficile dimostrare che

$$\text{per il settore di NS : } a_{NS} = \frac{D-2}{16};$$

$$\text{per il settore di R : } a_R = 0;$$

o meglio, che i contributi allo shift a dell'energia di vuoto, in $(D-2)$ dimensioni sono

- $-\frac{1}{24}$ per ogni coordinata bosonica periodica ,
- $+\frac{1}{24}$ per ogni coordinata fermionica periodica (settore R),
- $-\frac{1}{48}$ per ogni coordinata fermionica antiperiodica (settore NS).

Ricordando che $m^2 = -p^\mu p_\mu = 2p^+ p^- - p^i p_i$ si ottiene

$$m^2 = \frac{2}{\alpha'} \left[N_B + \bar{N}_B + N_F + \bar{N}_F - \frac{D-2}{8} \right] \quad \text{nel settore di NS ,}$$

$$m^2 = \frac{2}{\alpha'} \left[N_B + \bar{N}_B + N_F + \bar{N}_F \right] \quad \text{nel settore di R,}$$

con: $N_B + \bar{N}_B = N_F + \bar{N}_F$.

Sebbene molto efficace, il formalismo nel gauge del cono di luce offusca, anche in questo caso, l'invarianza di Lorentz. Richiedendo la chiusura dell'algebra di Lorentz, la dimensione della teoria viene fissata al valore critico $D = 10$, consistentemente con la presenza delle sole polarizzazioni trasverse per i modi con $m^2 = 0$.

Passiamo ora ad esaminare lo spettro della teoria. I primi livelli del settore di NS sono lo stato fondamentale $|0; p^\mu\rangle$, con $m^2 = -\frac{2}{\alpha'}$, quindi un tachione scalare, ed il primo stato eccitato $b_{-\frac{1}{2}}^i|0; p^\mu\rangle, \alpha_{-1}^i|0; p^\mu\rangle$, con $m^2 = 0$, ovvero vettori di $SO(8)$. Osserviamo quindi che lo spettro di NS è abbastanza semplice da costruire, in quanto i fermioni trasversi non hanno modi-zero, di conseguenza il vuoto di NS può essere scelto in maniera unica. Esso è uno scalare, uno stato di spin zero, e quindi un bosone, come tutte le eccitazioni costruite con gli operatori di innalzamento a partire da esso. I primi livelli del settore di R hanno una natura ben diversa. Infatti lo stato fondamentale $d_0^i|0; p^\mu\rangle$ ha massa nulla ed è sedici volte degenere, in quanto d_0 , come si può verificare dalla eq. (3.15), soddisfa l'algebra di Clifford

$$\{d_0^i, d_0^j\} = \delta_{ij},$$

ovvero è una matrice γ -di Dirac in 8 dimensioni. Ne consegue che il vuoto di R è uno spinore di $SO(8)$ e questo implica, in particolare, che tutti gli stati costruiti dal vuoto agendo con gli operatori di innalzamento α_{-n}^i, d_{-n}^j sono anch'essi fermionici. Possiamo concludere che nella superstringa chiusa i settori di NS-NS e R-R danno origine ad ulteriori stati bosonici che vanno ad aggiungersi a quelli ottenuti con gli usuali operatori $\alpha_{-n}^i \bar{\alpha}_{-n}^i$, mentre i settori misti NS-R e R-NS forniscono gli stati fermionici. Il modello descritto fin qui, noto come **modello di RNS** (Ramond-Neveu-Schwarz), non costituisce una teoria di campo consistente. La teoria, infatti, continua a contenere un tachione (quindi non risolve il problema 2.) ed inoltre esiste un conflitto tra spin e statistica a causa della presenza di operatori anticommutanti ψ^μ che mappano bosoni in bosoni.

Nel 1977 Gliozzi, Scherk ed Olive (GSO) [17], proposero una particolare tecnica di troncamento dello spettro, nota come **proiezione GSO**, in grado di risolvere le “patologie” della superstringa nel formalismo di RNS.

La proiezione GSO consiste nell'imposizione di ulteriori condizioni sugli stati della stringa fermionica. Per far questo si introduce l'operatore $(-)^F$, dove F è il *numero fermionico sul world-sheet*, ovvero

$$F_{NS} = \sum_{n=\frac{1}{2}}^{\infty} b_{-n}^i b_{n,i} \quad , \quad F_R = \sum_{n=1}^{\infty} d_{-n}^i d_{n,i} \quad ,$$

e si costruisce l'*operatore di proiezione GSO* definito come

$$P_{GSO} = \frac{1 - (-)^{F_{NS}}}{2} \quad , \quad (3.28)$$

per mezzo del quale tutti gli stati di NS ottenuti agendo sul vuoto con un numero *pari* di operatori fermionici vengono proiettati via. In questo modo il tachione, ottenuto senza agire con operatori fermionici, viene eliminato dallo spettro. Per quanto riguarda il settore di R, l'operatore di proiezione GSO è definito come

$$P_{GSO}^R = \frac{1 - \Gamma_{11}(-)^{F_R}}{2} \quad , \quad (3.29)$$

dove Γ_{11} è l'operatore di chiralità a 10 dimensioni. In questo caso nessuno stato viene completamente proiettato via, ma a ciascuno viene assegnata una definita chiralità. Il vuoto di R diviene quindi uno spinore di Weyl. O meglio, se inizialmente si aveva $|0\rangle_R = |0\rangle_+ + |0\rangle_-$, dopo l'azione di P_{GSO}^R si ottiene il solo $|0\rangle_+$ o il solo $|0\rangle_-$. La scelta di quale spinore mantenere nello spettro del settore di R destro è arbitraria, poichè ciò che conta è la chiralità relativa dei due vuoti di R-R: se i due vuoti di R sinistro e destro vengono proiettati alla stessa maniera, ovvero se hanno la stessa chiralità, si ottiene la *superstringa di Tipo IIB*; se invece essi hanno chiralità opposta si ottiene la *superstringa di Tipo IIA*.

Il contenuto dei corrispondenti spettri di bassa energia è quello delle supergravità in 10 dimensioni. In particolare, la superstringa di Tipo IIA ha come il limite di bassa energia la supergravità non chirale di Tipo IIA, i cui campi bosonici, oltre alla metrica, sono uno scalare, un vettore, una due-forma ed una tre-forma. Viceversa la superstringa di Tipo IIB ha come limite

di bassa energia la supergravità chirale di tipo IIB che contiene due scalari, due due-forme antisimmetriche ed una quattro-forma con *field – strength* autoduale. Vedremo nel prossimo capitolo come arrivare a dedurre questi risultati.

Passiamo ora a considerare le superstringhe *aperte*. Esse sono definite dalle seguenti condizioni ai bordi

$$X'_\mu(\tau, 0) = 0 = X'_\mu(\tau, \pi) , \quad (3.30)$$

$$\psi_1(0) = \psi_2(0) , \quad (3.31)$$

$$\psi_1(\pi) = \pm\psi_2(\pi) . \quad (3.32)$$

Dall'analisi si deduce come in questo caso le componenti spinoriali destre e sinistre non siano più indipendenti. In particolare vengono dette superstringhe aperte nel *settore di R* quelle tali che

$$\psi_1(0) = \psi_2(0) \quad , \quad \psi_1(\pi) = \psi_2(\pi) .$$

In questo caso l'espansione in modi delle soluzioni dell'equazione di Dirac (3.3) è

$$\psi_1^\mu(\tau, \sigma) = \sqrt{\alpha'} \sum_{n \in \mathbb{Z}} d_n^\mu e^{-in(\tau+\sigma)} , \quad (3.33)$$

$$\psi_2^\mu(\tau, \sigma) = \sqrt{\alpha'} \sum_{n \in \mathbb{Z}} d_n^\mu e^{-in(\tau-\sigma)} . \quad (3.34)$$

Viceversa, nel *settore di NS* si ha

$$\psi_1(0) = \psi_2(0) \quad , \quad \psi_1(\pi) = -\psi_2(\pi) ,$$

e quindi i campi fermionici hanno la seguente espansione in modi

$$\psi_1^\mu(\tau, \sigma) = \sqrt{\alpha'} \sum_{r \in \mathbb{Z} + \frac{1}{2}} b_r^\mu e^{-ir(\tau+\sigma)} , \quad (3.35)$$

$$\psi_2^\mu(\tau, \sigma) = \sqrt{\alpha'} \sum_{r \in \mathbb{Z} + \frac{1}{2}} b_r^\mu e^{-ir(\tau-\sigma)} . \quad (3.36)$$

Osserviamo così che per la stringa fermionica aperta esistono due soli settori, quello di NS e quello di R. Da questo punto di vista la superstringa aperta può

essere pensata come “metà” di quella chiusa, nel senso che per essa valgono le relazioni precedentemente ricavate per la stringa fermionica chiusa, ma per un singolo settore (destro o sinistro). È possibile esplicitare e risolvere i vincoli definendo i generatori di super Virasoro nel settore di R ed NS (L_n^R e F_n ; L_n^{NS} e G_n) tramite espressioni identiche alle eq. (3.10)-(3.13), avendo solo l'accortezza di estendere l'intervallo di variabilità di σ a $[-\pi, \pi]$. Questi danno luogo alle algebre di NS ed R già incontrate in precedenza, e anche lo studio della quantizzazione nel gauge del cono di luce risulta lo stesso di quello di un singolo settore della superstringa chiusa. Esprimendo quindi $X^-(\tau, \sigma)$ e $\psi^-(\tau, \sigma)$ in termini delle componenti trasverse X^i e ψ^i , per i corrispondenti oscillatori si ricava

$$\alpha_n^- = \frac{1}{\sqrt{2\alpha'p^+}} L_n^{R\perp}, \quad (3.37)$$

$$d_n^- = \frac{1}{\sqrt{2\alpha'p^+}} F_n^\perp, \quad (3.38)$$

nel settore di R, e

$$\alpha_n^- = \frac{1}{\sqrt{2\alpha'p^+}} L_n^{NS\perp}, \quad (3.39)$$

$$b_n^- = \frac{1}{\sqrt{2\alpha'p^+}} G_n^\perp, \quad (3.40)$$

nel settore di NS. Inoltre gli operatori trasversi che compaiono nelle eq. (3.37)-(3.40) soddisfano le usuali superalgebre in $(D - 2)$ dimensioni, e la covarianza della teoria fissa la dimensione dello spazio-tempo a quella critica, $D = 10$. Per ricavare lo spettro, al solito, si prende in considerazione l'operatore di Virasoro trasverso per $n = 0$

$$\alpha_0^- = \frac{1}{\sqrt{2\alpha'p^+}} L_0^\perp = \sqrt{2\alpha'} p^-, \quad (3.41)$$

e ricordando che L_0^\perp è sensibile all'ordinamento normale, si ottiene la condizione di *mass-shell*

$$m^2 = \frac{1}{\alpha'} [N_B + N_F],$$

nel settore di R, dove $N_F = \sum_{n=1}^{\infty} n d_{-n}^\perp d_{n,i}$. In questo settore gli stati sono fermionici, e in particolare il vuoto è uno spinore di Majorana di $SO(8)$ con degenerazione $2^{\frac{D}{2}} = 16$.

Il settore di NS da' invece origine a stati bosonici, ed infatti per esso si ha

$$m^2 = \frac{1}{\alpha'} [N_B + N_F - \frac{1}{2}].$$

Per quanto riguarda i primi livelli, lo stato fondamentale $|0; p^\mu\rangle$ è tachionico, mentre il primo stato eccitato $\psi_{-1/2}^i|0\rangle$, è un bosone vettore di $SO(8)$ con $m^2 = 0$. Anche in questo caso il tachione può essere eliminato mediante la proiezione GSO, che dà luogo ad una teoria completamente consistente nota come *Superstringa di Tipo I*. Il limite di bassa energia della teoria di stringhe di Tipo I è descritto da una supergravità dieci-dimensionale con supersimmetria $N = (1, 0)$, accoppiata ad un sistema di super Yang-Mills, che come vedremo, è basato sul gruppo di gauge $SO(32)$.

Da quanto descritto fin qui si evince un'altra importantissima proprietà della proiezione GSO originale: essa fornisce, sia nel modello chiuso che in quello aperto, una teoria supersimmetrica anche dal punto di vista spazio-temporale, ovvero fornisce uno spettro in cui, ad ogni livello di massa, il numero di stati bosonici uguaglia quello degli stati fermionici (molteplicità e massa uguali per stati bosonici e fermionici).

Capitolo 4

Espansione di Polyakov e Funzioni di Partizione

L'integrale sui cammini di Feynman fornisce un metodo molto utile ed intuitivo di rappresentare una teoria quantistica, in cui il calcolo delle ampiezze è ottenuto sommando su tutte le possibili “traiettorie” che collegano gli stati iniziali a quelli finali. Nella teoria quantistica dei campi, infatti, l'interazione tra le particelle è descritta, perturbativamente, da una somma su tutti i diagrammi di Feynman, che possono essere costruiti a partire dai vertici elementari (ottenuti dai termini di grado superiore a due che compaiono nell'azione), caratterizzati dall'aver topologie inequivalenti.

Un argomento molto simile venne suggerito da Polyakov nel 1981 per la teoria delle (super)stringhe [18, 82]; in questo contesto la somma sui cammini viene sostituita da una somma sui *world-sheets* che connettono delle date curve (chiuse e/o aperte) iniziali e finali.

Sia nella teoria di stringa chiusa che in quella di stringa aperta, il *world-sheet* è una superficie bidimensionale, che può essere opportunamente mappata (localmente) nel piano complesso. Di conseguenza, dopo una rotazione di Wick, esso globalmente ha la struttura di una superficie di Riemann, e quindi nella serie perturbativa di Polyakov la somma sui *world-sheets* si traduce in somma su superfici di Riemann “conformemente inequivalenti”

(condizione, quest'ultima, richiesta dall'invarianza sotto riparametrizzazioni e sotto trasformazioni di Weyl). In altri termini, la somma sulle superfici diventa la regola di Feynman basilare per la teoria di stringa.

Sebbene l'espansione perturbativa di Polyakov appaia come una generalizzazione dell'integrazione sui cammini di Feynman della teoria quantistica dei campi, in realtà i due casi si differenziano per aspetti molto profondi. La prima fondamentale distinzione sta nel fatto che la descrizione delle stringhe mediante integrale "sui cammini" conduce ad una teoria primo-quantizzata (nella formulazione che descriviamo in questa tesi non si quantizzano campi di stringa, ma il moto di singola stringa), mentre, la serie perturbativa della teoria dei campi è dedotta da un'azione secondo-quantizzata. Quindi, questa descrizione è l'equivalente dell'integrale sui cammini per singola particella.

In secondo luogo, i diagrammi della teoria di stringa sono molto minori in numero, di quelli che possono essere costruiti in teoria dei campi. Per ogni diagramma della teoria di campo c'è un corrispondente diagramma in teoria di stringa, che può essere ottenuto semplicemente trasformando le linee di universo delle particelle in "tubi di universo", come nel caso seguente: Differenti diagrammi di Feynman possono però dar luogo, in questo modo,

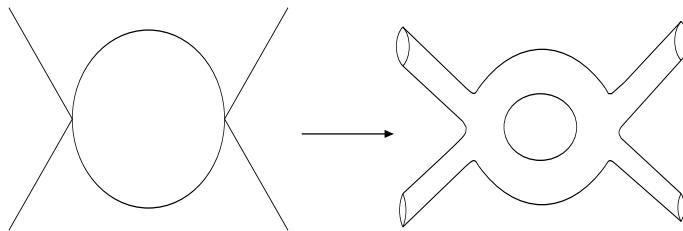


Figura 4.1: Tubi d'universo

allo stesso diagramma di stringa. Ad esempio i modelli di stringhe chiuse orientate bosoniche hanno la caratteristica di ricevere uno ed un solo contributo (diagramma) a ciascun ordine della serie perturbativa (vedi fig.(4.2)).

Tutto questo corrisponde al fatto che la topologia delle superfici di Riemann chiuse ed orientate è completamente specificata dal loro numero di

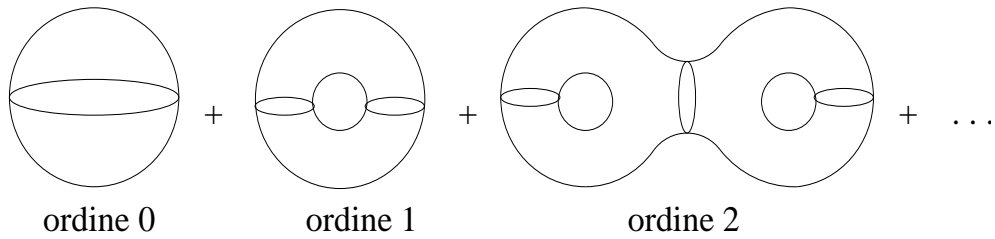


Figura 4.2: Serie perturbativa

“manici” h [83]. h definisce il “genere” della corrispondente superficie di Riemann e sostituisce, in teoria di stringa, il numero di loops della teoria di campo. Di conseguenza esso conta l’ordine della serie perturbativa.

La classificazione dei diagrammi di stringa diviene più complessa nelle teorie con stringhe aperte e/o di stringhe chiuse non orientate, ma anche in questo caso il loro numero è molto inferiore rispetto ai diagrammi di Feynman; questa situazione verrà approfondita nel capitolo successivo.

L’idea di sommare su tutte le superfici d’universo limitate da certe curve iniziali e finali è sicuramente la più naturale, ma conduce ad ampiezze piuttosto complicate da calcolare. Il calcolo delle ampiezze diviene invece particolarmente semplice nel limite in cui le sorgenti di stringa vengono poste all’infinito, ovvero nel limite che corrisponde ad ampiezze di scattering con specificati stati entranti ed uscenti. Questa semplificazione è dovuta all’invarianza della teoria sotto riscaldamento conforme della metrica sul *world-sheet*. Infatti un’opportuna mappa conforme rende equivalenti world-sheets con n stringhe esterne, e *world-sheets* compatti con un uguale numero di piccoli fori o “punture”, in corrispondenza dei quali andranno inseriti degli operatori locali che contengano i numeri quantici degli stati di stringa mappati in quel punto. Tali operatori, detti *vertici di interazione*, descrivono appunto lo scattering di stringhe (vedi fig.(4.3)).

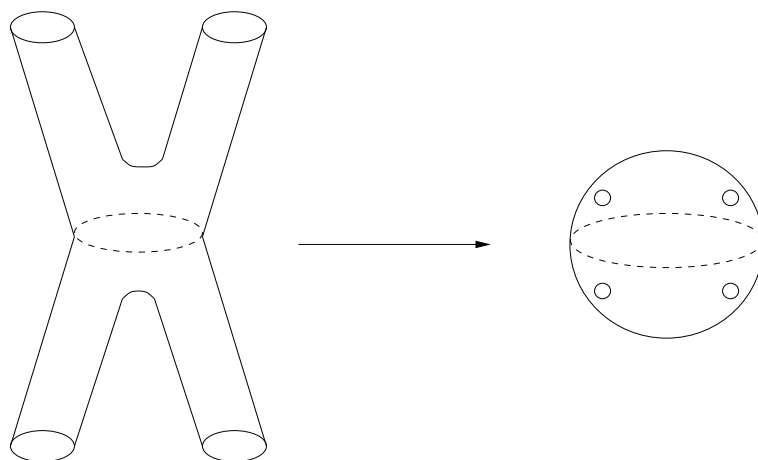


Figura 4.3: Esempio di scattering di stringhe chiuse

4.1 Ampiezze di vuoto con caratteristica di Eulero nulla

Le ampiezze di vuoto rivestono un ruolo di particolare rilievo in teoria di stringa. Esse descrivono ampiezze di processi in cui non viene inserito alcun operatore di vertice e la loro importanza risiede nella possibilità di descrivere in modo compatto il contenuto completo dello spettro perturbativo. Si è precedentemente accennato che il genere di una superficie di Riemann conta l'ordine della teoria delle perturbazioni, ovvero il numero di potenze della costante di accoppiamento g_s del modello in considerazione associate ai diagrammi. La serie perturbativa è pesata dal fattore $g_s^{-\chi}$, dove χ è la **caratteristica di Eulero** della superficie, che infatti per superfici chiuse ed orientate è definita come

$$\chi = 2 - 2h.$$

g_s è determinata dal valore di aspettazione nel vuoto del *dilatone*:

$$g_s = e^{\langle \phi \rangle}.$$

In questo capitolo l'attenzione verrà focalizzata sul calcolo delle ampiezze di vuoto con $\chi = 0$, dette anche **funzioni di partizione a genere uno**, in

quanto già in esse risiedono le proprietà più interessanti per l'analisi dei vari modelli.

Sia nelle teorie di stringhe chiuse che aperte, il percorso più semplice da seguire per questo tipo di calcolo fa riferimento alla teoria dei campi. A questo scopo andiamo a considerare, per semplicità, la teoria di un campo scalare ϕ di massa m in D -dimensioni spazio-temporali. Il funzionale generatore da cui dedurre l'energia di vuoto Γ è

$$Z = \int [D\phi] e^{-S_E} = \int [D\phi] e^{-\int d^D x \frac{1}{2} (\partial_\mu \phi \partial^\mu \phi + m^2 \phi^2)} \sim [\det(-\partial_\mu \partial^\mu + m^2)]^{-1/2}, \quad (4.1)$$

da cui si ricava

$$\Gamma = \frac{1}{2} \log[\det(-\partial_\mu \partial^\mu + m^2)] = \frac{1}{2} \text{tr}[\log(-\partial_\mu \partial^\mu + m^2)], \quad (4.2)$$

Facendo uso della parametrizzazione di Schwinger per un generico operatore A

$$\log A = - \int_\epsilon^\infty \frac{dt}{t} e^{-tA}, \quad (4.3)$$

dove t è il parametro di Schwinger, ed ϵ è un cut-off ultravioletto (data la divergenza della (4.3) in $t = 0$), si ottiene l'identità

$$\log(\det A) = \text{tr}(\log A) = - \int_\epsilon^\infty \frac{dt}{t} \text{tr}(e^{-tA}), \quad (4.4)$$

da utilizzare nell'espressione (4.2). Per calcolare la traccia in (4.2) basta inserire un set completo di autostati dell'impulso p , $|p\rangle$, in modo da rendere diagonale l'operatore cinetico $\partial_\mu \partial^\mu$. La (4.2) diviene quindi

$$\Gamma_B = - \frac{V}{2} \int_\epsilon^\infty \frac{dt}{t} e^{-tm^2} \int \frac{d^D p}{(2\pi)^D} e^{-tp^2}, \quad (4.5)$$

da cui, effettuando l'integrale gaussiano, viene estratta la dipendenza da m^2

$$\Gamma_B = - \frac{V}{2(4\pi)^{\frac{D}{2}}} \int_\epsilon^\infty \frac{dt}{t^{\frac{D}{2}+1}} e^{-tm^2}. \quad (4.6)$$

Un procedimento del tutto analogo può essere utilizzato per un campo di Dirac ψ di massa m in D dimensioni, e porta al risultato

$$\Gamma_F = V \frac{2^{\frac{D}{2}}}{(4\pi)^{\frac{D}{2}}} \int_\epsilon^\infty \frac{dt}{t^{\frac{D}{2}+1}} e^{-tm^2}, \quad (4.7)$$

che ha segno opposto rispetto alla (4.6), data la natura fermionica dei campi nel *path-integral*. Osserviamo inoltre che le espressioni (4.6) e (4.7), dipendono solo da m^2 , e possono essere facilmente estese a qualunque campo bosonico e fermionico. Quindi l'espressione più generale che le contempla entrambe è data da

$$\Gamma = \frac{V}{2(4\pi)^{\frac{D}{2}}} \int_{\epsilon}^{\infty} \frac{dt}{t^{\frac{D}{2}+1}} Str(e^{-tm^2}), \quad (4.8)$$

dove Str tiene conto delle molteplicità e dei rispettivi segni degli stati fermionici e bosonici.

Applichiamo la (4.8) alla stringa bosonica chiusa. Abbiamo visto che la dimensione critica per essa è $D = 26$ e che lo spettro è dato da

$$m^2 = \frac{2}{\alpha'}(N + \bar{N} - 2) \quad \text{con} \quad N = \bar{N},$$

$$\Gamma_{closed} = \frac{V}{2(4\pi)^{13}} \int_{\epsilon}^{\infty} \frac{dt}{t^{14}} tr(e^{-\frac{2}{\alpha'}(N+\bar{N}-2)t}). \quad (4.9)$$

Per tener conto della condizione di raccordo dei livelli per gli stati fisici, basta introdurre “a mano” la seguente *funzione delta*

$$\delta(N - \bar{N}) = \int_{-\infty}^{+\infty} ds e^{2\pi is(N-\bar{N})}, \quad (4.10)$$

ottenendo quindi

$$\Gamma_{closed} = \frac{V}{2(4\pi)^{13}} \int_{-\infty}^{+\infty} ds \int_{\epsilon}^{\infty} \frac{dt}{t^{14}} tr(e^{-\frac{2}{\alpha'}(N+\bar{N}-2)t} e^{2\pi is(N-\bar{N})}). \quad (4.11)$$

La (4.11) può essere posta in forma più elegante definendo il parametro di Schwinger *complesso*

$$\tau = \tau_1 + i\tau_2 = s + i\frac{t}{\pi\alpha'}, \quad (4.12)$$

e ponendo

$$q = e^{2\pi i\tau} \quad , \quad \bar{q} = e^{-2\pi i\bar{\tau}}, \quad (4.13)$$

per mezzo delle quali si ottiene

$$\Gamma = \frac{V}{2(4\pi^2\alpha')^{13}} \int_{-\infty}^{+\infty} d\tau_1 \int_{\epsilon}^{\infty} \frac{d\tau_2}{\tau_2^{14}} tr(q^{N-1}\bar{q}^{\bar{N}-1}). \quad (4.14)$$

Il parametro complesso τ che compare in Γ è strettamente legato al *world-sheet* dell' ampiezza che si sta calcolando. Nel caso in esame infatti, viene identificato con il **modulo** o *parametro di Teichmüller* del toro, ovvero della superficie spazzata, ad un loop, da una stringa chiusa.

Il toro è una superficie di Riemann chiusa ed orientata, che riportiamo nella figura (4.4) evidenziando i due cicli non contraibili a e b .

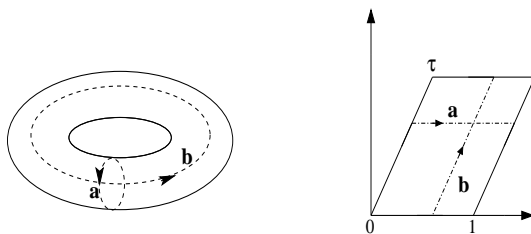


Figura 4.4: Toro

Mediante due tagli opportuni, un toro può essere trasformato in un parallelogramma nel piano Euclideo con lati opposti identificati. In questo caso τ definisce *la struttura complessa del toro*. Un lato può essere scelto orizzontale e di lunghezza unitaria, mentre la sua parte immaginaria, τ_2 , può essere scelta positiva. Il parallelogramma descrive così una cella fondamentale di un reticolo bidimensionale specificato da τ , ma in realtà la scelta del parametro τ non è unica. Infatti lo stesso reticolo è specificato da una cella qualsiasi, tra le infinite di area τ_2 . Ogni cella reticolare è legata ad ogni altra dal gruppo degli automorfismi del reticolo, noto come **Gruppo Modulare** $PSL(2, Z) = SL(2, Z)/Z_2$ definito dalle trasformazioni:

$$\tau \longrightarrow \frac{a\tau + b}{c\tau + d} \quad \text{con } ad - bc = 1 \quad (a, b, c, d, \in Z).$$

$PSL(2, Z)$ può essere generato dalle due trasformazioni modulari

$$T : \tau \longrightarrow \tau + 1$$

$$S : \tau \longrightarrow -\frac{1}{\tau}$$

che soddisfano la relazione

$$S^2 = (ST)^3.$$

Ogni valore di τ , ottenuto applicando le trasformazioni del gruppo modulare ad un valore iniziale τ_0 , definisce un toro “conformemente equivalente” a quello di partenza. Di qui l’esigenza di definire una regione del semipiano complesso entro la quale valori di τ diano origine a tori inequivalenti. Un esempio è fornito dalla *regione fondamentale standard* \mathcal{F} definita come

$$\mathcal{F} = \left\{ \tau \in \mathbb{C} : -\frac{1}{2} \leq \tau_1 \leq \frac{1}{2} \text{ e } |\tau| \geq 1 \right\}.$$

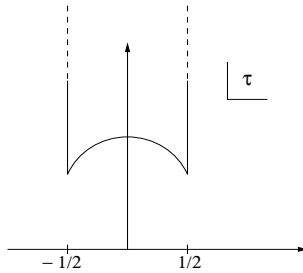


Figura 4.5: Regione Fondamentale

La geometria del toro suggerisce quindi di restringere la regione d’integrazione della (4.8) alla regione fondamentale \mathcal{F} , in modo da evitare il conteggio multiplo di tori equivalenti. Effettuando un riscaldamento, la funzione di partizione della stringa bosonica chiusa (4.14), detta anche **ampiezza di toro**, assume la seguente forma finale:

$$\mathcal{T} = \int_{\mathcal{F}} \frac{d^2\tau}{\tau_2^{14}} \text{tr}(q^{N-1} \bar{q}^{\bar{N}-1}), \quad (4.15)$$

dove $d^2\tau = d\tau_1 d\tau_2$.

La (4.15) è in realtà un’espressione del tutto generale, che può essere applicata a tutti i modelli di stringhe chiuse orientate distinte dai soli operatori N ed \bar{N} .

La restrizione dell’integrazione ad \mathcal{F} nella (4.15) introduce un naturale cut-off ultravioletto per i modi di stringa, in quanto elimina il punto $\tau_2 = 0$ nel quale esiste una divergenza ultravioletta della teoria. τ_2 ha infatti un preciso significato fisico: esso rappresenta il *tempo proprio* impiegato dalla

stringa chiusa per spazzare il toro. Ne segue che queste teorie non hanno divergenze ultraviolette.

Per ricavare l'espressione esplicita di \mathcal{T} occorre calcolare $tr(q^N)$. Ricordiamo anzitutto che

$$N = \sum_{k=1}^{\infty} \alpha_{-k}^i \alpha_{k,i} = \sum_{k=1}^{\infty} k a_k^\dagger a_k, \quad (4.16)$$

ovvero che N è l'operatore numero di un set infinito di oscillatori armonici, e che lavoriamo nella base degli autostati dell'operatore numero tali che

$$a_k^\dagger a_k |k\rangle = k |k\rangle.$$

Allora, per ogni stato $|k\rangle$ e per ogni direzione trasversa dello spazio-tempo, si avrà

$$tr(q^{k a_k^\dagger a_k}) = \sum_{n=0}^{\infty} \langle n | q^{k a_k^\dagger a_k} | n \rangle = \sum_{n=0}^{\infty} (q^k)^n = 1 + q^k + q^{2k} + \dots = \frac{1}{1 - q^k},$$

e quindi

$$tr(q^N) = \prod_{k=1}^{\infty} tr(q^{k a_k^\dagger a_k}) = \prod_{k=1}^{\infty} \frac{1}{1 - q^k}.$$

Inoltre, essendo il numero delle dimensioni trasverse pari a 24, la (4.15) assumerà la forma

$$\mathcal{T} = \int_{\mathcal{F}} \frac{d^2\tau}{\tau_2^{14}} \frac{1}{q\bar{q}} \left| \frac{1}{\prod_{k=1}^{\infty} (1 - q^k)^{24}} \right|^2 = \int_{\mathcal{F}} \frac{d^2\tau}{\tau_2^{14}} \frac{1}{|\eta(\tau)|^{48}}. \quad (4.17)$$

In quest'ultima espressione è stata introdotta la funzione η di Dedekind

$$\eta(\tau) = q^{\frac{1}{24}} \prod_{k=1}^{\infty} (1 - q^k), \quad (4.18)$$

che, sotto le trasformazioni modulari T ed S si comporta nel modo seguente

$$\begin{aligned} \eta(\tau + 1) &= e^{\frac{i\pi}{12}} \eta(\tau), \\ \eta\left(-\frac{1}{\tau}\right) &= \sqrt{-i\tau} \eta(\tau). \end{aligned} \quad (4.19)$$

Osservando che la misura d'integrazione $\frac{d^2\tau}{\tau_2^2}$ è invariante modulare, si può verificare che l'intero integrando di \mathcal{T} è invariante sotto il gruppo modulare.

Infatti utilizzando le (4.19) si può dimostrare che la combinazione $\sqrt{\tau_2}|\eta(\tau)|^2$, corrispondente al contributo di una singola direzione trasversa, è essa stessa invariante sotto l'azione di $PSL(2, Z)$. L'invarianza modulare dell'ampiezza di toro è una diretta conseguenza dell'unitarietà della teoria, che a sua volta viene assicurata dall'introduzione della condizione di raccordo dei livelli. Ciò nonostante sappiamo che la teoria non è del tutto consistente a causa della presenza del tachione. Questa particella di massa immaginaria introduce in \mathcal{T} delle divergenze infrarosse ($\tau_2 \rightarrow \infty$). Per vederlo basta considerare l'espansione in serie di potenze di $(q\bar{q}) = e^{-4\pi\tau_2}$ dell'integrando di \mathcal{T} , che corrispondono agli stati fisici che soddisfano la condizione di raccordo dei livelli. A meno delle potenze di τ_2 e della misura d'integrazione, si ha

$$\frac{1}{(q\bar{q})} (1 + (24)^2 (q\bar{q}) + \dots) = (q\bar{q})^{-1} + (24)^2 + \dots = e^{4\pi\tau_2} + (24)^2 + \dots ,$$

e quindi, poiché le potenze di $(q\bar{q})$ indicano i livelli di massa degli stati dello spettro (in unità di $\frac{\alpha'}{2}$), ed i coefficienti la loro molteplicità, si deduce immediatamente che il primo termine della serie, che è quello che produce la divergenza infrarossa nel limite $\tau_2 \rightarrow \infty$, corrisponde proprio al tachione.

Passiamo ora al calcolo della funzione di partizione per le superstringhe chiuse. L'ampiezza di vuoto per le stringhe fermioniche si ottiene seguendo la trattazione sviluppata per le stringhe bosoniche chiuse, e quindi partendo dall'espressione generale (4.8) con la sola differenza che in questo caso la traccia va calcolata anche sullo spazio di Fock degli oscillatori fermionici (ovvero anticommutanti). Ricordando che lo spettro di superstringa chiusa è dato da

$$m^2 = \frac{2}{\alpha'} (N_B + N_F + \bar{N}_B + \bar{N}_F - (a_R + a_L)) , \quad (4.20)$$

dove

$$\begin{aligned} N_B &= \sum_{k=1}^{\infty} \alpha_{-k}^i \alpha_{k,i} , \\ N_F^{NS} &= \sum_{r=1/2}^{\infty} r b_{-r}^i b_{r,i} , \\ N_F^R &= \sum_{r=1}^{\infty} r d_{-r}^i d_{r,i} , \end{aligned}$$

mentre a_L ed a_R sono gli shifts all'energia di vuoto, che valgono

$$a_L = a_R = 1/2 \quad \text{nel settore di NS,}$$

$$a_L = a_R = 0 \quad \text{nel settore di R.}$$

Utilizzando la (4.15) si ottiene

$$\Gamma = \frac{V}{2(4\pi^2\alpha')^3} \int \frac{d^2\tau}{\tau_2^2} \frac{d\tau_2}{\tau_2^4} \text{tr}(q^{N_B} \bar{q}^{\bar{N}_B} q^{N_F} \bar{q}^{\bar{N}_F} q^{-a_R} \bar{q}^{-a_L}), \quad (4.21)$$

dove al solito $q = e^{2\pi i\tau}$, $\bar{q} = e^{-2\pi i\bar{\tau}}$. Il calcolo di $\text{tr}(q^{N_F})$ può essere effettuato facendo riferimento ai risultati standard per un gas di Fermi. Indicando con λ_r un generico oscillatore fermionico, si ha

$$\text{tr}(q^{N_F}) = \text{tr}(q^{\sum_r r\lambda_{-r}\lambda_{r,i}}) = \prod_r \text{tr}(q^{r\lambda_{-r}\lambda_{r,i}}) = \prod_r (1 + q^r)^{D-2}, \quad (4.22)$$

in quanto il principio di esclusione di Pauli consente due sole scelte di stati per ogni fermione, e dove $(D-2)$ si riferisce al numero di coordinate trasverse. La (4.22) può essere applicata tanto al settore di NS quanto a quello di R, purchè $r \in Z + 1/2$ nel primo caso e $r \in Z$ nel secondo. Dunque, ricordando che per la superstringa $D = 10$ si ottiene per i due settori

$$\text{tr}_{NS}(q^{N_F^{NS}}) = \prod_{r=1/2}^{\infty} (1 + q^r)^8 = \prod_{k=1}^{\infty} (1 + q^{k-1/2})^8, \quad (4.23)$$

$$\text{tr}_R(q^{N_F^R}) = 16 \prod_{k=1}^{\infty} (1 + q^k)^8, \quad (4.24)$$

dove il prefattore 16 conta la degenerazione del vuoto di R (uno spinore di Majorana-Weyl). Per tener conto dell'espressione completa della tr che compare nella (4.21) si pone

$$L_0^\perp = N_B + N_F - a_L, \quad (4.25)$$

e quindi si ottiene

$$\text{tr}_{NS}(q^{L_0^\perp}) = \frac{\prod_{k=1}^{\infty} (1 + q^{k-1/2})^8}{q^{1/2} \prod_{k=1}^{\infty} (1 - q^k)^8} \quad (4.26)$$

nel settore di NS, e

$$tr_R(q^{L_0^\perp}) = 16 \frac{\prod_{k=1}^{\infty} (1+q^k)^8}{\prod_{k=1}^{\infty} (1-q^k)^8} \quad (4.27)$$

nel settore di R.

In realtà la (4.26) e la (4.27) non conducono alla corretta ampiezza di vuoto, poiché come si è visto nel capitolo precedente, solo tramite la proiezione GSO si riesce ad ottenere uno spettro consistente di stati fisici. Questo significa che nelle tracce di eq. (4.26) e (4.27) andranno inseriti i rispettivi proiettori GSO per i settori di NS e di R. Quindi il settore di NS proiettato è descritto da

$$tr(P_{GSO}^{NS} q^{L_0^\perp}) = tr\left(\frac{1 - (-)^{F^{NS}}}{2} q^{L_0^\perp}\right) = \frac{\prod_{k=1}^{\infty} (1 + q^{k-1/2})^8 - \prod_{k=1}^{\infty} (1 - q^{k-1/2})^8}{2q^{1/2} \prod_{k=1}^{\infty} (1 - q^k)^8}, \quad (4.28)$$

dove l'operatore $G = (-)^{F^{NS}}$ inverte i segni di tutti gli oscillatori q^k associati ai fermioni. Il settore di R proiettato è descritto da

$$tr(P_{GSO}^R q^{L_0^\perp}) = tr\left(\frac{1 - \Gamma_{11}(-)^{FR}}{2} q^{L_0^\perp}\right) = \frac{16 \prod_{k=1}^{\infty} (1 + q^k)^8}{2 \prod_{k=1}^{\infty} (1 - q^k)^8}. \quad (4.29)$$

L'operatore $\Gamma_{11}(-)^{FR}$ agisce sullo spettro semplicemente rimuovendo metà degli stati, assegnando loro una definita chiralità. La funzione di partizione completa per le superstringhe chiuse dovrà ovviamente contenere tutte le eccitazioni trasverse, ovvero sia quelle fermioniche che bosoniche. Quindi Γ sarà data dalla somma (con segni) delle ampiezze di vuoto per i quattro settori di superstringa, ovvero

$$\Gamma = \Gamma_{NS-NS} + \Gamma_{R-R} + \Gamma_{NS-R} + \Gamma_{R-NS},$$

oppure, effettuando un opportuno riscaldamento (che elimini il fattore $\frac{V}{2(4\pi^2\alpha')^4}$)

$$\mathcal{T} = \mathcal{T}_{NS-NS} + \mathcal{T}_{R-R} + \mathcal{T}_{NR-R} + \mathcal{T}_{R-NS}, \quad (4.30)$$

dove

$$\mathcal{T}_{NS-NS} = \int \frac{d^2\tau}{\tau_2^6} \frac{1}{4} \left| \frac{\prod_{k=1}^{\infty} (1 + q^{k-1/2})^8 - \prod_{k=1}^{\infty} (1 - q^{k-1/2})^8}{q^{1/2} \prod_{k=1}^{\infty} (1 - q^k)^8} \right|^2, \quad (4.31)$$

$$\mathcal{T}_{R-R} = \int \frac{d\tau}{\tau_2^6} \frac{1}{4} \left| \frac{2^4 \prod_{k=1}^{\infty} (1+q^k)^8}{\prod_{k=1}^{\infty} (1-q^k)^8} \right|^2, \quad (4.32)$$

$$\begin{aligned} \mathcal{T}_{NS-R} &= - \int \frac{d^2\tau}{\tau_2^6} \frac{1}{4} \frac{1}{q^{1/2}} \frac{[\prod_{k=1}^{\infty} (1+q^{k-1/2})^8 - \prod_{k=1}^{\infty} (1-q^{k-1/2})^8]}{|\prod_{k=1}^{\infty} (1-q^k)^8|^2} \\ &\times [-2^4 \prod_{k=1}^{\infty} (1+\bar{q}^k)^8], \end{aligned} \quad (4.33)$$

$$\begin{aligned} \mathcal{T}_{R-NS} &= - \int \frac{d^2\tau}{\tau_2^6} \frac{1}{4} \frac{1}{\bar{q}^{1/2}} \frac{[2^4 \prod_{k=1}^{\infty} (1+q^k)^8]}{|\prod_{k=1}^{\infty} (1-q^k)^8|^2} \\ &\times [\prod_{k=1}^{\infty} (1+\bar{q}^{k-1/2})^8 - \prod_{k=1}^{\infty} (1-\bar{q}^{k-1/2})^8]. \end{aligned} \quad (4.34)$$

I quattro contributi di (4.30) possono essere riscritti in forma piuttosto compatta introducendo le **funzioni θ di Jacobi**, definite per mezzo di somme gaussiane o di prodotti infiniti

$$\begin{aligned} \theta \begin{bmatrix} \alpha \\ \beta \end{bmatrix} (z|\tau) &= \sum_{n \in \mathbb{Z}} q^{1/2(n+\alpha)^2} e^{2\pi i(n+\alpha)(z+\beta)} \\ &= e^{2\pi i\alpha(z+\beta)} q^{\frac{\alpha^2}{2}} \prod_{n=1}^{\infty} (1-q^n)(1+q^{n+\alpha-1/2} e^{2\pi i(z+\beta)})(1+q^{n-\alpha-1/2} e^{-2\pi i(z+\beta)}), \end{aligned} \quad (4.35)$$

dove α e β sono parametri reali e $q = e^{2\pi i\tau}$. Sotto le trasformazioni modulari T ed S queste hanno rispettivamente il seguente comportamento:

$$T: \quad \theta \begin{bmatrix} \alpha \\ \beta \end{bmatrix} (z|\tau+1) = e^{-i\pi\alpha(\alpha-1)} \theta \begin{bmatrix} \alpha \\ \beta + \alpha - 1/2 \end{bmatrix} (z|\tau), \quad (4.36)$$

$$S: \quad \theta \begin{bmatrix} \alpha \\ \beta \end{bmatrix} (z|-\frac{1}{\tau}) = \sqrt{-i\tau} \theta \begin{bmatrix} \beta \\ -\alpha \end{bmatrix} (z|\tau). \quad (4.37)$$

Di particolare interesse per il nostro scopo sono le espressioni delle θ in $z = 0$ e con caratteristiche α e β uguali a 0 e 1/2

$$\theta \begin{bmatrix} 1/2 \\ 1/2 \end{bmatrix} = \theta_1(0|\tau) = 0, \quad (4.38)$$

$$\theta \begin{bmatrix} 1/2 \\ 0 \end{bmatrix} = \theta_2(0|\tau) = 2q^{1/8} \prod_{n=1}^{\infty} (1-q^n)(1+q^n)^2, \quad (4.39)$$

$$\theta \begin{bmatrix} 0 \\ 0 \end{bmatrix} = \theta_3(0|\tau) = \prod_{n=1}^{\infty} (1 - q^n)(1 + q^{n-1/2})^2, \quad (4.40)$$

$$\theta \begin{bmatrix} 0 \\ 1/2 \end{bmatrix} = \theta_4(0|\tau) = \prod_{n=1}^{\infty} (1 - q^n)(1 - q^{n-1/2})^2, \quad (4.41)$$

dalle (4.38)-(4.41) segue che

$$\begin{aligned} \frac{\theta_2^4(0|\tau)}{\eta^{12}(\tau)} &= 16 \frac{\prod_{k=1}^{\infty} (1 + q^k)^8}{\prod_{k=1}^{\infty} (1 - q^k)^8} = tr_R(q^{L_0^\perp}), \\ \frac{\theta_3^4(0|\tau)}{\eta^{12}(\tau)} &= \frac{\prod_{k=1}^{\infty} (1 + q^{k-1/2})^8}{q^{1/2} \prod_{k=1}^{\infty} (1 - q^k)^8} = tr_{NS}(q^{L_0^\perp}), \\ \frac{\theta_4^4(0|\tau)}{\eta^{12}(\tau)} &= \frac{\prod_{k=1}^{\infty} (1 - q^{k-1/2})^8}{q^{1/2} \prod_{k=1}^{\infty} (1 - q^k)^8}, \end{aligned} \quad (4.42)$$

che sono direttamente legate alle ampiezze di vuoto delle superstringhe. Infatti la (4.30) può essere riscritta come

$$\mathcal{T} = \int \frac{d^2\tau}{\tau_2^6} \left| \frac{\theta_3^4(0|\tau) - \theta_4^4(0|\tau) - \theta_2^4(0|\tau)}{\eta^{12}(\tau)} \right|^2. \quad (4.43)$$

Questa espressione racchiude in sè due importantissime proprietà direttamente legate alla proiezione GSO.

1. Dalla famosa identità di Jacobi

$$\theta_3^4 - \theta_4^4 - \theta_2^4 = 0, \quad (4.44)$$

nota come *AEQUATIO IDENTICA SATIS ABSTRUSA*, si deduce che la funzione di partizione del toro per la superstringa chiusa (4.43) è identicamente nulla. Questo è un risultato notevole, in quanto implica che l'intero spettro perturbativo delle eccitazioni di stringa contiene, ad ogni livello di massa, un ugual numero di stati bosonici e fermionici, ovvero che nello spazio-tempo lo spettro è supersimmetrico.

2. Dal comportamento delle funzioni θ di Jacobi sotto le trasformazioni modulari S e T si può verificare che la funzione di partizione di toro

(4.43) è invariante modulare [84], sebbene i singoli termini che la compongono, relativi ai quattro settori, non lo siano.

Vogliamo ora mostrare come l'ampiezza (4.43) possa essere riscritta in maniera ancora più chiara e compatta, e come, imponendo i vincoli di invarianza modulare, si riescano a costruire tutti i modelli consistenti di stringhe chiuse orientate a 10 dimensioni. A questo scopo, si introducono i cosiddetti **caratteri di $so(8)$ a livello 1** indicati come O_8, V_8, S_8 e C_8 [85] [86], particolari combinazioni delle funzioni θ di Jacobi e della η di Dedekind, definiti da

$$\begin{aligned} O_8 &= \frac{\theta_3^4 + \theta_4^4}{2\eta^4}, & V_8 &= \frac{\theta_3^4 - \theta_4^4}{2\eta^4}, \\ S_8 &= \frac{\theta_2^4 + \theta_1^4}{2\eta^4}, & C_8 &= \frac{\theta_2^4 - \theta_1^4}{2\eta^4}. \end{aligned} \quad (4.45)$$

O_8 e V_8 corrispondono ad una decomposizione ortogonale dello spettro di NS, dove sopravvivono rispettivamente solo un numero pari o dispari di eccitazioni fermioniche. Tutto ciò appare ancora più evidente riscrivendo esplicitamente O_8 e V_8 come traccia sugli oscillatori GSO proiettati

$$\begin{aligned} \frac{O_8}{\eta^8} &= tr_{NS} \left(\frac{1 + (-)_{NS}^F}{2} q^{L_0^\perp} \right), \\ \frac{V_8}{\eta^8} &= tr_{NS} \left(\frac{1 - (-)_{NS}^F}{2} q^{L_0^\perp} \right) = tr_{NS} (P_{GSO}^{NS} q^{L_0^\perp}). \end{aligned}$$

Come è stato osservato in precedenza, l'operatore P_{GSO}^{NS} elimina dallo spettro gli stati ottenuti dal vuoto con un numero pari di oscillatori fermionici, ed in particolare elimina il tachione. Quindi V_8 , al livello più basso in massa contiene un vettore di massa nulla. O_8 , invece, contenendo un operatore che proietta via gli stati ottenuti dal vuoto agendo con un numero dispari di modi fermionici, parte al livello più basso con un tachione. I caratteri S_8 e C_8 sono associati alle due classi spinoriali appartenenti al settore di R, e anche essi descrivono porzioni ortogonali dello spettro di R, che al livello di massa nulla inizia con due spinori di chiralità opposta. In questo caso l'operatore di proiezione GSO anticommuta con i campi ψ^μ , e quindi le eccitazioni massive sia di S_8 che di C_8 hanno chiralità alternate. Sottoliniamo però che nel

settore di R è presente un'ambiguità, legata all'annullarsi di θ_1 all'origine, che implica l'uguaglianza numerica di S_8 e C_8 .

Infine osserviamo che le trasformazioni modulari (4.36) e (4.37) determinano le corrispondenti matrici T ed S per i quattro caratteri di $so(8)$. Non è difficile mostrare che

$$T = \text{diag}(-1, 1, 1, 1), \quad (4.46)$$

$$S = \frac{1}{2} \begin{pmatrix} 1 & 1 & 1 & 1 \\ 1 & 1 & -1 & -1 \\ 1 & -1 & 1 & -1 \\ 1 & -1 & -1 & 1 \end{pmatrix}. \quad (4.47)$$

Sotto l'azione di queste matrici, le combinazioni $\frac{O_8}{\tau_2^4 \eta^8}, \frac{V_8}{\tau_2^4 \eta^8}, \frac{S_8}{\tau_2^4 \eta^8}, \frac{C_8}{\tau_2^4 \eta^8}$ si trasformano le une nelle altre, e l'ambiguità del settore di R viene risolta. La funzione di partizione (4.43) assume quindi una delle due forme seguenti

$$\begin{aligned} \mathcal{T}_1 &= \int \frac{d^2\tau}{\tau_2^6} (\bar{V}_8 - \bar{S}_8)(V_8 - S_8) = \int \frac{d^2\tau}{\tau_2^6} |V_8 - S_8|^2, \\ \mathcal{T}_2 &= \int \frac{d^2\tau}{\tau_2^6} (\bar{V}_8 - \bar{S}_8)(V_8 - C_8). \end{aligned} \quad (4.48)$$

In realtà le (4.48) non sono le uniche ampiezze invarianti modulari che si possano determinare a 10 dimensioni. Infatti l'integrando dell'ampiezza di toro si può porre nella forma

$$\mathcal{T} = \chi^\dagger M \chi,$$

dove χ descrive i caratteri di $so(8)$, e la matrice M , che definisce la proiezione GSO, soddisfa i vincoli di invarianza modulare

$$M = S^\dagger M S, \quad M = T^\dagger M T,$$

ed è tale da soddisfare la relazione tra spin e statistica.

Sotto queste ipotesi non è difficile vedere che esistono solo quattro ampiezze di toro associate alla superstringa di RNS. Due di queste corrispondono alle

superstringhe di Tipo IIA e di Tipo IIB

$$\begin{aligned}\mathcal{T}_{IIA} &= \frac{1}{(\sqrt{\tau_2\eta\bar{\eta}})^8}(\bar{V}_8 - \bar{S}_8)(V_8 - C_8) , \\ \mathcal{T}_{IIB} &= \frac{1}{(\sqrt{\tau_2\eta\bar{\eta}})^8}|V_8 - S_8|^2,\end{aligned}\tag{4.49}$$

(osserviamo che le (4.49) coincidono con le (4.48)).

Le altre due ampiezze corrispondono a due teorie *non* supersimmetriche, la **0A** e la **0B** [31], descritte da

$$\mathcal{T}_{0A} = \frac{1}{(\sqrt{\tau_2\eta\bar{\eta}})^8}(|O_8|^2 + |V_8|^2 + \bar{S}_8 C_8 + \bar{C}_8 S_8),\tag{4.50}$$

$$\mathcal{T}_{0B} = \frac{1}{(\sqrt{\tau_2\eta\bar{\eta}})^8}(|O_8|^2 + |V_8|^2 + |S_8|^2 + |C_8|^2).\tag{4.51}$$

Sottolineiamo come l'introduzione dei caratteri O, V, S e C conduca ad una descrizione molto elegante delle funzioni di partizione e dei relativi spettri, in cui ogni settore della teoria di superstringa resta associato ad un carattere indipendente. Per apprezzare meglio questo risultato, è istruttivo riassumere il contenuto dello spettro di bassa energia di questi modelli.

Iniziamo dalle (4.49), e notiamo anzitutto che, come anticipato nel capitolo precedente, nella superstringa di Tipo IIA i vuoti del settore di R hanno chiralità opposta (\bar{S}_8 e C_8), mentre nella Tipo IIB essi hanno la stessa chiralità (\bar{S}_8 e S_8). Esaminiamo i campi bosonici che derivano dai settori NS-NS ed R-R. Entrambe le teorie includono, nel settore di NS-NS ($=V_8\bar{V}_8$), un dilatone ϕ , un tensore antisimmetrico $B_{\mu\nu}$ ed un gravitone. Per la Tipo IIA, il settore di R-R ($=\bar{S}_8 C_8$) contiene un vettore A_μ ed una tre-forma $C_{\mu\nu\rho}$, mentre per la IIB, ($=\bar{S}_8 S_8$) contiene un ulteriore scalare ϕ' , un ulteriore tensore antisimmetrico $B'_{\mu\nu}$ ed una quattro-forma $D_{\mu\nu\rho\sigma}^+$ con *field-strength* autoduale. Per quanto riguarda i campi fermionici, derivanti dai settori misti, entrambe le teorie contengono una coppia di gravitini ψ_α^μ ed una coppia di spinori χ_α , ma, mentre per la Tipo IIB ($\bar{V}_8 S_8$ e $\bar{S}_8 V_8$) entrambi i gravitini hanno la stessa chiralità (*left*) così come gli spinori (entrambi *right*), nella IIA ($\bar{V}_8 C_8$ e $\bar{S}_8 V_8$) entrambe le coppie di campi hanno chiralità opposta. Da tutto questo e dal

fatto che le due teorie sono prive di tachioni, segue che gli stati di massa nulla della Tipo IIA completano il multipletto non chirale della supergravità (1,1) a 10 dimensioni, mentre gli stati a massa nulla della Tipo IIB completano il multipletto della supergravità chirale (2,0) a 10 dimensioni.

Lo spettro di bassa energia delle teorie di Tipo IIA e IIB è riassunto nella tabella seguente:

	TIPO IIA	TIPO IIB
campi bosonici		
NS-NS	$\phi, B_{\mu\nu}, g_{\mu\nu}$	$\phi, B_{\mu\nu}^N, g_{\mu\nu}$
R-R	$A_\mu, C_{\mu\nu\rho}$	$\phi', B_{\mu\nu}^R, D_{\mu\nu\rho\sigma}^\dagger$
campi fermionici		
NS-R	$\chi_\alpha, \psi_{\dot{\alpha}}^\mu$	$\chi_{\dot{\alpha}}, \psi_\alpha^\mu$
R-NS	$\chi_{\dot{\alpha}}, \psi_\alpha^\mu$	$\chi_{\dot{\alpha}}, \psi_\alpha^\mu$

Passiamo ora alle teorie 0A e 0B. Queste non contengono fermioni spaziotemporali e sono non chirali. In questo caso i settori di NS-NS di entrambe le teorie contengono, oltre ai modi di bassa energia dei modelli precedenti, anche un tachione T. Inoltre gli stati di R-R della 0A sono due copie di quelle della IIA, mentre per la teoria 0B essi sono una coppia di scalari, una coppia di due-forme B', B'' ed una quattro-forma $D_{\mu\nu\rho\sigma}$ completa.

	0A	0B
NS-NS	$T, \phi, g_{\mu\nu}, B_{\mu\nu}$	$T, \phi, g_{\mu\nu}, B_{\mu\nu}$
R-R	$A_\mu, A'_\mu, C_{\mu\nu\rho}, C'_{\mu\nu\rho}$	$\phi', \phi'', B'_{\mu\nu}, B''_{\mu\nu}, D_{\mu\nu\rho\sigma}$

4.2 Compattificazioni

Le teorie di superstringa chiusa sviluppate fin qui, sebbene rappresentino un passo in avanti verso la descrizione della natura, risultano essere non completamente soddisfacenti. Infatti

1) la dimensione critica dello spazio-tempo in cui le superstringhe sono immerse, $D = 10$, è troppo elevata rispetto al “nostro” spazio-tempo Minkow-

skiano tetradimensionale.

2) Questi modelli, pur includendo la gravità, non introducono simmetrie di gauge, indispensabili per la descrizione delle interazioni fondamentali.

Di qui l'esigenza di un meccanismo di riduzione dimensionale à la Kaluza-Klein, capace di rendere compatte e "microscopiche" le dimensioni in eccesso e, contemporaneamente, di render conto dei gruppi di gauge interni (ed eventualmente della loro rottura). In altri termini, l'idea è quella di ripensare allo spazio-tempo Minkowskiano M^D come al seguente prodotto:

$$M^D = M^d \times K,$$

dove K è una varietà compatta, la cui scala caratteristica è così piccola da non poter essere rivelata alle energie accessibili. D , invece, è il numero di dimensioni che si vogliono mantenere estese.

Vedremo come, in relazione all'idea della compattificazione, sia possibile costruire un nuovo modello di superstringa chiusa, nota come **Superstringa Eterotica** [27], con gruppi di gauge $SO(32)$ o $E_8 \times E_8$.

4.3 Compattificazioni toroidali

L'esempio più semplice di compattificazione si ottiene esaminando la stringa bosonica chiusa con un'unica coordinata compatta e scegliendo K coincidente con un toro unidimensionale T^1 (ovvero un cerchio di raggio R). L'espansione in modi di Fourier della coordinata compatta è

$$X(\tau, \sigma) = x + 2\alpha' p\tau + 2nR\sigma + i\sqrt{\frac{\alpha'}{2}} \sum_{k \neq 0} \left\{ \frac{\bar{\alpha}_k}{k} e^{-2ik(\tau-\sigma)} + \frac{\alpha_k}{k} e^{-2ik(\tau+\sigma)} \right\}. \quad (4.52)$$

La (4.52) segue dal fatto che la stringa, oltre ad avere un impulso quantizzato lungo la direzione circolare

$$p = \frac{m}{R} \quad \text{con } m \in Z, \quad (4.53)$$

ha la possibilità di avvolgersi n volte attorno ad essa. A questo proposito si definisce il vettore di avvolgimento (*winding number*) w come

$$w = nR \quad \text{con } n \in Z. \quad (4.54)$$

Quando $w \neq 0$, la (4.52) descrive configurazioni solitoniche di stringa, la cui energia è divergente per $R \rightarrow \infty$. Decomponendo l'espansione (4.52) in termini di onde destre e sinistre, la (4.54) può essere riscritta in termini di

$$p_L = \frac{1}{\sqrt{2}} \left[\sqrt{\frac{\alpha'}{R^2}} m + \sqrt{\frac{R^2}{\alpha'}} n \right], \quad (4.55)$$

e

$$p_R = \frac{1}{\sqrt{2}} \left[\sqrt{\frac{\alpha'}{R^2}} m - \sqrt{\frac{R^2}{\alpha'}} n \right]. \quad (4.56)$$

In questo caso lo spettro, ottenibile al solito dai modi zero trasversi del tensore energia-impulso, è dato da

$$m^2 = \frac{2}{\alpha'} (N + \bar{N} - 2 + \frac{1}{2} p_L^2 + \frac{1}{2} p_R^2), \quad (4.57)$$

$$\text{con} \quad N - \bar{N} = \frac{1}{2} (p_L^2 - p_R^2) = mn. \quad (4.58)$$

La condizione (4.58) garantisce l'invarianza sotto riparametrizzazioni, e gli operatori numero hanno la seguente espressione:

$$N = \sum_{k=1}^{\infty} (\alpha_{-k}^i \alpha_{i,k} + \alpha_{-k} \alpha_k),$$

$$\bar{N} = \sum_{k=1}^{\infty} (\bar{\alpha}_{-k}^i \bar{\alpha}_{i,k} + \bar{\alpha}_k \bar{\alpha}_k).$$

L'introduzione dei nuovi numeri quantici m ed n fa sì che lo spettro in considerazione sia più ricco di quello ottenuto nel caso non compatto. In particolare, lo spettro a massa nulla, per $m = n = 0$ contiene, oltre agli usuali campi bosonici, due vettori di gauge relativi al gruppo $U(1)_L \times U(1)_R$. Infatti, identificando ogni stato con $|m, n\rangle$, per $p_R = p_L = 0$ ed $N = \bar{N} = 1$, lo spettro contiene gli stati :

$$\alpha_{-1}^i \bar{\alpha}_{-1}^j |0, 0\rangle, \alpha_{-1}^i \bar{\alpha}_{-1} |0, 0\rangle, \alpha_{-1} \bar{\alpha}_{-1}^i |0, 0\rangle, \alpha_{-1} \bar{\alpha}_{-1} |0, 0\rangle,$$

dove si può notare che alcuni indici spazio-temporali sono stati trasformati in indici relativi alla varietà interna. Inoltre, sempre per lo spettro a massa nulla, ma per $(p_R, p_L) \neq (0, 0)$, si può dimostrare che se il raggio di compatificazione soddisfa $R^2 = \alpha'$, il gruppo di simmetria interna viene esteso ad

$SU(2)_L \times SU(2)_R$. In questo caso infatti, la condizione (4.58) restringe la scelta di (N, \bar{N}) e di (p_L, p_R) e fornisce altri valori compatibili con $R^2 = \alpha'$, ossia

a) $(N = 1, \bar{N} = 0)$ e $(p_L^2 = 0, p_R^2 = 2)$ che implica l'esistenza degli ulteriori stati di norma nulla

$$\alpha_{-1}^i |1, 1\rangle, \alpha_{-1} |1, 1\rangle, \alpha_{-1}^i | - 1, -1\rangle, \alpha_{-1} | - 1, -1\rangle.$$

b) $(N = 0, \bar{N} = 1)$ e $(p_L^2 = 2, p_R^2 = 0)$ che implica l'esistenza degli ulteriori stati di norma nulla

$$\bar{\alpha}_{-1}^i |1, -1\rangle, \bar{\alpha}_{-1} |1, -1\rangle, \bar{\alpha}_{-1}^i | - 1, 1\rangle, \bar{\alpha}_{-1} | - 1, 1\rangle.$$

In conclusione, quando $R^2 = \alpha'$, nello spettro a massa nulla compaiono degli stati che, relativamente ai numeri quantici m ed n , formano i sei vettori della rappresentazione $(3, 1) \oplus (1, 3)$ di $SU(2)_L \times SU(2)_R$.

Avendo a disposizione la condizione di *mass-shell*, è possibile ricavare la funzione di partizione per la stringa bosonica compattificata su T^1 . Inserendo nell'espressione generale (4.8) la (4.57) e la (4.58) e ricordando che la dimensione dello spazio-tempo è ora $D = 26 - 1$, si ottiene

$$\Gamma_{T^1} = \left(\frac{1}{4\pi^2 \alpha'} \right)^{13-1/2} \int_{\mathcal{F}} \frac{d^2 \tau}{\tau^{14-1/2}} \frac{1}{(\eta(\tau)\eta(\bar{\tau}))^{23}} \frac{\sum_{(m,n) \in Z} q^{\frac{p_L^2}{2}} \bar{q}^{\frac{p_R^2}{2}}}{(\eta(\tau)\eta(\bar{\tau}))}, \quad (4.59)$$

dove $q = e^{2\pi i \tau}$. La (4.59) è invariante modulare, ed inoltre, definendo

$$Z_{T^1}(R) = \sum_{m,n} \frac{q^{\frac{p_L^2}{2}} \bar{q}^{\frac{p_R^2}{2}}}{(\eta(\tau)\eta(\bar{\tau}))}, \quad (4.60)$$

si può verificare che

$$\lim_{R \rightarrow \infty} \frac{Z_{T^1}(R)}{R} = \frac{1}{\sqrt{\tau_2}(\eta(\tau)\bar{\eta}(\bar{\tau}))}, \quad (4.61)$$

ovvero nel limite di decompattificazione si riottiene la funzione di partizione di un bosone non compatto.

L'altra proprietà di notevole interesse della (4.60), è l'invarianza sotto la trasformazione

$$R \longleftrightarrow \frac{\alpha'}{R}, \quad m \leftrightarrow n,$$

nota come **T-dualità**. La T-dualità è una simmetria esatta della teoria delle perturbazioni della stringa bosonica chiusa. Essa lega le compactificazioni su cerchi di raggio R a quelle di su cerchi di raggio $R' = \frac{\alpha'}{R}$, scambiando impulsi e avvolgimenti, rendendole quindi fisicamente indistinguibili. Nelle superstringhe, questa scambia la chiralità relativa dei vuoti di Ramond, e di conseguenza scambia la teoria $0A$ con la $0B$ e la teoria IIA con la IIB .

Occorre però prestare attenzione al dilatone, sul quale la T-dualità agisce in modo non banale, come si evince dall'azione effettiva

$$R e^{-2\phi} = R' e^{-2\phi'},$$

e quindi è necessario ridefinirlo nella maniera seguente

$$\phi' = \phi + \frac{1}{2} \log \frac{R'}{R} = \phi + \frac{1}{2} \log \frac{\alpha'}{R^2}. \quad (4.62)$$

L'analisi precedente può essere generalizzata al caso di tori di dimensione arbitraria, considerando il fatto che un toro unidimensionale può essere pensato come un reticolo unidimensionale di passo $2\pi R$ in cui punti traslati vengono identificati

$$T^1 = \mathbf{R}/2\pi R.$$

Un toro k -dimensionale si potrà quindi esprimere come il quoziente

$$T^k = \mathbf{R}^k / \Lambda,$$

dove Λ è un reticolo quadrato che possiamo immaginare come il prodotto di k cerchi. Le coordinate compactificate hanno allora espressioni simili a quelle del caso unidimensionale, con la differenza che in questo caso le (4.55) e (4.56) divengono

$$\begin{aligned} p_L^i &= m_a \tilde{e}^{ai} + \frac{n^a}{\alpha'} e_a^i - \frac{B_{ab}}{\alpha'} n^b \tilde{e}^{ai}, \\ p_R^i &= m_a \tilde{e}^{ai} - \frac{n^a}{\alpha'} e_a^i - \frac{B_{ab}}{\alpha'} n^b \tilde{e}^{ai}, \end{aligned} \quad (4.63)$$

dove g_{ab} è la metrica del toro interno, e B_{ab} un tensore antisimmetrico. Inoltre $\{e_a^i\}$ è un'opportuna base di vettori del reticolo Λ ($e_a^i e_{ib} = g_{ab}$), mentre $\{\tilde{e}^{ai}\}$ è la corrispondente base di vettori del reticolo duale Λ^* ($\tilde{e}^{ai} = g^{ab} e_b^i$).

La funzione di partizione per la stringa bosonica compattificata su un toro T^k è

$$Z_{T^k} = \frac{1}{(\eta(\tau)\bar{\eta}(\bar{\tau}))^k} \sum_{(m,n) \in Z} q^{\frac{p_L^2}{2}} \bar{q}^{\frac{p_R^2}{2}}, \quad (4.64)$$

la diretta generalizzazione della (4.60). Applicando a questa espressione una trasformazione modulare T , l'invarianza di Z_{T^k} richiede $e^{i\pi(p_L^2 - p_R^2)} = 1$, ovvero che i vettori p_L^2 e p_R^2 soddisfino la seguente relazione:

$$p_L^2 - p_R^2 \in 2Z. \quad (4.65)$$

Quindi, (\vec{p}_L, \vec{p}_R) può essere considerato un vettore di un reticolo $W^{k,k}$, costruito a partire da Λ e Λ^* , con metrica lorentziana di segnatura $(+^k, -^k)$, e con prodotto scalare

$$|(p_L, p_R)|^2 = p_L^2 - p_R^2. \quad (4.66)$$

L'invarianza sotto T richiede che il reticolo sia pari, e allo stesso modo, dopo una risommazione di Poisson l'invarianza sotto S richiede che sia autoduale. Quindi la stringa bosonica può essere compattificata su un toro qualsiasi purchè il reticolo che lo definisce sia lorentziano, pari ed autoduale, condizione queste ultime, dettate dall'invarianza modulare della teoria.

Dalla discussione svolta fin qui si deduce che già la compattificazione su varietà semplici quali il toro, consente l'introduzione di gruppi di gauge nella teorie delle stringhe bosoniche chiuse.

4.4 La stringa Eterotica

Dal capitolo precedente è emerso come le uniche teorie di superstringa consistenti a 10 dimensioni siano la Tipo IIA, la Tipo IIB e la Tipo I. In realtà esiste un ultimo tipo di teoria di stringa supersimmetrica e consistente a 10 dimensioni, noto come **stringa eterotica**, ottenuta combinando i

modi destri della superstringa con i modi sinistri della stringa bosonica [27]. L'osservazione alla base della costruzione dei modelli eterotici, che tra l'altro ne giustifica il nome, è la seguente: nelle teorie di stringhe chiuse i modi destri e sinistri sono indipendenti; è quindi possibile immaginare una teoria di stringhe chiuse in cui i modi sinistri siano di un certo tipo e quelli destri di un altro. Allora, per incorporare la supersimmetria spazio-temporale, che consente la presenza di fermioni e l'assenza di tachioni, si considerano i modi destri della consueta superstringa a dieci dimensioni, ai quali vanno ad aggiungersi dieci dei ventisei modi sinistri della stringa bosonica. Indicando rispettivamente con $X^\mu(\tau, \sigma)$ e $\psi^\mu(\tau, \sigma)$ le coordinate bosoniche e fermioniche, con $\mu = 0, \dots, 9$, restano fuori le ulteriori 16 coordinate bosoniche sinistre, che quindi dovranno essere compattificate su una qualche varietà interna. In questo modo si riescono ad introdurre anche i gradi di libertà di gauge.

L'invarianza modulare richiede che la varietà compatta sia descritta da un reticolo di rango 16, euclideo, pari ed autoduale. In sedici dimensioni esistono due soli reticoli di questo tipo:

– $\Gamma_8 \times \Gamma_8$, ovvero il reticolo delle radici dell'algebra $E_8 \times E_8$;

– Γ_{16} , il reticolo dei pesi di $Spin(32)/Z_2$.

Queste danno origine a due distinti modelli eterotici supersimmetrici, *la stringa* $E_8 \times E_8$ e *la stringa* $Spin(32)/Z_2$. Le funzioni di partizione per i due modelli, effettuando nel settore destro le appropriate proiezioni GSO, sono

$$Z_{E_8 \times E_8} = \frac{1}{(\sqrt{\tau_2 \eta \bar{\eta}})^8} (V_8 - O_8)(\bar{O}_{16} + \bar{S}_{16})(\bar{O}_{16} + \bar{S}_{16}), \quad (4.67)$$

$$Z_{Spin(32)/Z_2} = \frac{1}{(\sqrt{\tau_2 \eta \bar{\eta}})^8} (V_8 - S_8)(\bar{O}_{32} + \bar{S}_{32}), \quad (4.68)$$

Dalle eq. (4.67) e (4.68) è possibile ricavare lo spettro delle due teorie, ed osserviamo che il settore destro è lo stesso della superstringa di Tipo II. Imponendo le condizioni di stato fisico, ottenibili al solito dai modi-zero trasversi del tensore-energia impulso, $L_0 - a_R = 0$ e $\bar{L}_0 - a_L = 0$, e ricordando

che il contributo allo shift dell'energia di vuoto è

$$-\frac{1}{24} \text{ per ogni bosone periodico, } \frac{1}{24} \text{ per ogni bosone antiperiodico,}$$

$$\frac{1}{24} \text{ per ogni fermione periodico, } -\frac{1}{48} \text{ per ogni fermione antiperiodico,}$$

si ricava che a massa nulla, nel settore di NS, oltre al solito multipletto del gravitone $(\phi, g_{\mu\nu}, B_{\mu\nu})$, compaiono gli stati che corrispondono ai vettori di gauge, nella rappresentazione aggiunta, del gruppo $SO(32)$ e del gruppo $E_8 \times E_8$. Nel settore di R sono invece presenti i superpartners degli stati precedenti, necessari per completare lo spettro della supergravità (1,0) accoppiata alla teoria di super-Yang-Mills (SYM); questo è infatti il modello di bassa energia per le due stringhe eterotiche appena descritte.

In realtà è possibile descrivere ulteriori modelli di stringa eterotica a dieci dimensioni, oltre alle $SO(32)$ ed $E_8 \times E_8$. Questi corrispondono ad altre versioni della stessa teoria ma con diverse proiezioni dello spettro. Ad esempio, la stringa $O(16) \times O(16)$ è una teoria eterotica non supersimmetrica [87, 48].

Negli ultimi dieci anni sono stati fatti notevoli sforzi nel tentativo di dimostrare che i vari modelli supersimmetrici possono essere pensati come aspetti diversi di un'unica e più fondamentale teoria ad 11 dimensioni (della quale non conosciamo i gradi di libertà microscopici), la **M-teoria** [44, 45].

Tale congettura è suggerita essenzialmente dal fatto che la supergravità di Tipo IIA può essere ottenuta come riduzione dimensionale della supergravità a 11 dimensioni (compattificando la seconda su un cerchio S^1 di raggio R). Alla fine degli anni '70 Cremmer, Julia e Scherk costruirono l'unica teoria di supergravità in 11 dimensioni [46]. Poiché tutte le teorie di supergravità a 10 dimensioni sono limiti di bassa energia delle corrispondenti teorie di stringhe, è naturale pensare che esista una teoria, la M-teoria appunto, che contenga la supergravità a 11 dimensioni come suo limite di bassa energia [44].

Postulando l'esistenza della M-teoria, esistono due possibilità di riduzione dimensionale che danno origine ad altrettante teorie di superstringa a 10 dimensioni:

- a) se la M-teoria viene compattificata su un cerchio S^1 , si ottiene la superstringa di Tipo IIA (o equivalentemente possiamo dire che la stringa di Tipo IIA, nel limite di forte accoppiamento, che coincide con il limite di decompattificazione, sia descritta dalla M-teoria);
- b) compattificando invece la M-teoria sull'intervallo S^1/Z_2 , ottenuto identificando punti opposti sul cerchio, si riesce a descrivere la stringa eterotica $E_8 \times E_8$.

Si può inoltre mostrare come da queste due ultime teorie di superstringa (la Tipo IIA e la $E_8 \times E_8$) sia possibile ottenere le restanti tre mediante trasformazioni di dualità [43]. La situazione può essere riassunta con lo schema seguente:

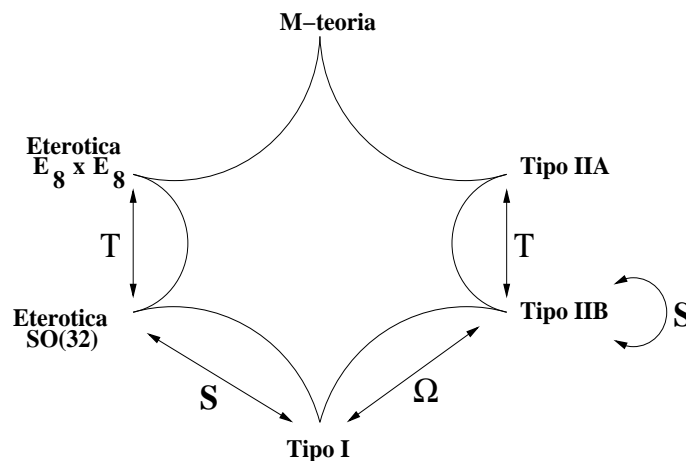


Figura 4.6: Sito delle Dualità

dove

$S : g \rightarrow \frac{1}{g}$ è l'operazione che identifica il limite di accoppiamento forte di una teoria con il limite di accoppiamento debole dell'altra (quale la Tipo I-SO(32) e l'eterotica SO(32) ; la Tipo IIB è autoduale) [50];

$T : R \rightarrow \frac{1}{R}$ identifica teorie compattificate su cerchi di raggio R con quelle compattificate su cerchi di raggio $1/R$;

$\Omega : x + iy \rightarrow x - iy$ è un'operazione di parità sul world-sheet, che nelle teorie di stringhe chiuse, quali la Tipo IIB, scambia modi destri e sinistri.

4.5 Compattificazioni su orbifolds

Nel paragrafo precedente abbiamo visto come con la compattificazione toroidale si riesce ad introdurre i gruppi di gauge nei modelli eterotici. In generale questo metodo presenta però uno svantaggio: conduce a teorie con supersimmetria estesa in $D < 10$, e dunque non chirali.

In effetti il toro è una varietà molto semplice, e quindi si è portati in modo naturale a considerare varietà più complesse sulle quali compattificare la teoria. La compattificazione su **orbifolds** consente di raggiungere un buon compromesso tra (relativa) semplicità dell'analisi e ricchezza dei risultati.

Un orbifold \mathcal{O} è definito come uno spazio che localmente, ma non necessariamente globalmente, è il quoziente di una varietà M per l'azione di qualche gruppo discreto G [92, 93]:

$$\mathcal{O} = M/G .$$

Ovvero, dato un punto x di M , questo viene ad essere identificato con tutti i punti $g \cdot x$, per $g \in G$. In generale G è un sottogruppo del gruppo delle isometrie di M (ovvero G preserva la metrica su M); se per esempio M è lo spazio Euclideo d -dimensionale \mathbf{R}^d , gli elementi di G sono le rotazioni e le traslazioni.

Un orbifold cessa di essere una varietà liscia nei punti fissi rispetto all'azione di G , poiché questi ultimi diventano delle singolarità coniche nello spazio quoziente. È sempre possibile però “riparare” tali singolarità sostituendo un intorno del punto singolare con una varietà liscia non compatta che abbia il corretto comportamento asintotico (tecnica di “blow-up”), ma in generale solo nel limite di orbifold è possibile costruire esplicitamente lo spettro di stringa.

La costruzione di un orbifold comporta inoltre due modifiche per lo spazio di Hilbert degli stati di stringa [93]. Anzitutto, poiché punti dello spazio-tempo vengono identificati mediante l'azione degli elementi di G , è necessario tener conto anche delle stringhe che si chiudono (sul ricoprimento) a meno dell'azione di G , definite dalle seguenti condizioni di (quasi) periodicità:

$$X(\sigma + 2\pi) = gX(\sigma) .$$

Queste danno origine ai cosiddetti **settori twisted** dello spazio di Hilbert, che verrà quindi ampliato e suddiviso in vari settori H_g , uno per ogni classe di coniugio di G , ed in ciascuno dei quali le condizioni al bordo dei campi bidimensionali X saranno distinte.

Inoltre lo spazio di Hilbert degli stati fisici, che descrive stringhe chiuse sull'orbifold, dovrà essere invariante sotto l'azione di tutti gli elementi di G ; ogni settore H_g dovrà quindi essere proiettato su un sottospazio G -invariante. In generale sappiamo che per ottenere uno stato fisico di stringa chiusa, si tensorizza, allo stesso livello di massa, un modo destro con uno sinistro. Nel caso degli orbifolds, bisogna richiedere che gli autovalori dei modi destri siano complessi coniugati di quelli dei modi destri.

In definitiva possiamo dire che l'effetto dell'identificazione sotto il gruppo di simmetria discreto G è quello di aggiungere allo spazio di Hilbert stringhe chiuse "twistate" e di proiettare lo spettro su stati G -invarianti [94].

Gli esempi più semplici di orbifolds si ottengono identificando M con un toro, e G con un gruppo di rotazioni di \mathbf{R}^d , i cui elementi agiscono compatibilmente con il reticolo che definisce il toro. Allora, quando $M = T^k$ e $G \equiv Z_N$ si parla di **orbifolds abeliani di tori**.

I due orbifolds più semplici sono : $I = S^1/Z_2$ e $T = T^2/Z_2$.

L'orbifold unidimensionale S^1/Z_2 può essere pensato come il risultato dell'azione combinata di due operazioni

- l'identificazione periodica: $X \sim X + 2\pi R$ che da' origine al cerchio S^1
- l'inversione delle coordinate (o riflessione): $X \sim -X$ dovuta a Z_2 , che identifica punti opposti sul cerchio.

Lo spazio compatto che ne risulta è un segmento I, con $0 \leq X \leq \pi R$, i cui estremi, $X = 0$ e $X = \frac{1}{2}(2\pi R)$, sono i punti fissi di Z_2 .

La stessa procedura può essere applicata a tori k -dimensionali, utilizzando la riflessione per l'identificazione delle coordinate.

L'orbifold corrispondente sarà caratterizzato in questo caso da 2^k punti fissi. In particolare l'orbifold T^2/Z_2 è un tetraedro, che può essere ottenuto a partire dal toro bidimensionale T^2 identificandone i punti sotto $X \rightarrow -X$ (ovvero sotto una rotazione di π attorno all'origine D).

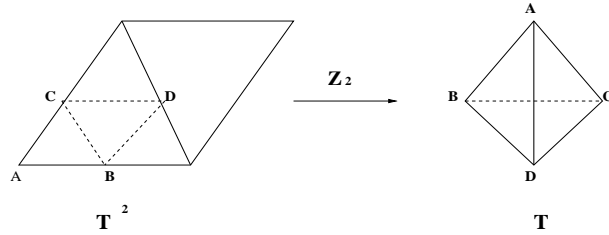


Figura 4.7: Orbifold T^2/Z_2

A,B,C e D sono i 4 punti fissi della rotazione e coincidono con i vertici del tetraedro.

Ciascun punto fisso fornisce una possibile locazione dello stato fondamentale di un settore *twisted* della stringa; gli stati eccitati nei settori *twisted* dello spazio di Hilbert corrispondono a fluttuazioni della stringa attorno ad ognuno dei punti fissi.

Per comprendere meglio il ruolo di queste costruzioni, passiamo al calcolo della funzione di partizione per un singolo campo bosonico compattificato sull'intervallo S^1/Z_2 .

L'espressione generale della funzione di partizione, nel caso di compattificazioni su orbifolds T^k/Z_N , è data da

$$\Gamma = \frac{1}{(4\pi)^{\frac{D-2}{2}}} \int_0^\infty \frac{dt}{t^{\frac{D-k}{2}+1}} \sum_k \text{tr}_k(\mathcal{P}e^{-tm^2}), \quad (4.69)$$

dove \mathcal{P} è il proiettore che seleziona il corretto spazio di Hilbert degli stati G -invarianti, e dove il pedice k indica che la traccia è sul settore k -*twisted*.

L'azione della riflessione \mathcal{R} su un generico stato di stringa è indotta dalle seguenti trasformazioni:

$$\begin{aligned}\partial X^i &\rightarrow -\partial X^i & \bar{\partial} X^i &\rightarrow -\bar{\partial} X^i, \\ \partial X^\mu &\rightarrow \partial X^\mu.\end{aligned}\tag{4.70}$$

Iniziamo dal calcolo del contributo alla funzione di partizione del settore *untwisted*. In questo settore lo spettro viene proiettato sugli stati con autovalore di \mathcal{R} uguali a 1, e quindi inserendo nella traccia degli stati il proiettore $\frac{1+\mathcal{R}}{2}$, si ottiene

$$Z_{untw} = \frac{1}{2} \text{tr}(1 + \mathcal{R}) q^{L_0 - 1/24} \bar{q}^{\bar{L}_0 - 1/24}.$$

Esplicitamente

$$Z_{untw} = \frac{1}{2} Z(R) + \left| \frac{\eta}{\theta_2} \right| = \frac{1}{2} \sum_{(m,n)} \frac{q^{\frac{p_L^2}{2}} \bar{q}^{\frac{p_R^2}{2}}}{\eta(\tau) \bar{\eta}(\tau)} + \frac{1}{2} \frac{1}{(q\bar{q})^{24} |\prod_{k=1}^{\infty} (1 + q^k)|^2}, \tag{4.71}$$

dove si vede che $Z(R)$ è l'usuale funzione di partizione sul toro. Si noti che, nel termine della traccia contenente \mathcal{R} , gli elementi diagonali di \mathcal{R} devono avere $m = n = 0$ (sono gli stati con $p_L = p_R = 0$), mentre le (4.70) cambiano $q \rightarrow -q$ e $\bar{q} \rightarrow -\bar{q}$ in corrispondenza di $\partial X \rightarrow -\partial X$ e $\bar{\partial} X \rightarrow -\bar{\partial} X$.

Nel settore *twisted* il campo X è invece antiperiodico, e quindi deve avere un'espansione in modi seminteri del tipo

$$X(\tau, \sigma) = x + i \sqrt{\frac{\alpha'}{2}} \sum_{k \in Z} \left(\frac{\alpha_{k+1/2}}{k + \frac{1}{2}} e^{-i(k+1/2)(\sigma+\tau)} + \frac{\bar{\alpha}_{k+1/2}}{k + \frac{1}{2}} e^{-i(k+1/2)(\sigma-\tau)} \right), \tag{4.72}$$

dove x corrisponde ad uno dei due punti fissi $x = 0$ o $x = \pi R$.

In questo settore la funzione di partizione ha la forma seguente:

$$Z_{tw} = \frac{1}{2} \text{tr}(1 + \mathcal{R}) q^{L_0 + 1/48} \bar{q}^{\bar{L}_0 + 1/48},$$

ovvero

$$Z_{tw} = \left| \frac{\eta}{\theta_4} \right| + \left| \frac{\eta}{\theta_3} \right| = \frac{(q\bar{q})^{1/48}}{|\prod_{k=1}^{\infty} (1 - q^{k-1/2})|^2} + \frac{(q\bar{q})^{1/48}}{|\prod_{k=1}^{\infty} (1 + q^{k+1/2})|^2}. \tag{4.73}$$

Ne segue che complessivamente si avrà

$$Z_{orb} = Z_{untw} + Z_{tw} = \frac{1}{2}Z(R) + \left| \frac{\eta}{\theta_2} \right| + \left| \frac{\eta}{\theta_4} \right| + \left| \frac{\eta}{\theta_3} \right|. \quad (4.74)$$

In precedenza abbiamo già discusso il fatto che il primo termine della (4.74) è invariante modulare. Sfruttando le proprietà delle funzioni θ -di Jacobi e della η di Dedekind sotto le trasformazioni modulari S e T , non è difficile verificare che anche la somma degli ultimi tre termini di Z_{orb} è invariante modulare, benché essi non lo siano singolarmente.

A tale proposito è utile evidenziare come la richiesta di invarianza modulare della funzione di partizione ad un loop delle stringhe chiuse fornisca uno strumento per la costruzione dei modelli, in quanto la sua violazione implicherebbe l'inconsistenza della teoria. La (4.74) infatti può essere ottenuta seguendo un percorso alternativo, e per vederlo cominciamo a riscriverla nel modo seguente:

$$\mathcal{T}_{orb} = \mathcal{T}_{untw} + \mathcal{T}_{tw} = (\mathcal{T}_{++} + \mathcal{T}_{+-}) + (\mathcal{T}_{-+} + \mathcal{T}_{--}). \quad (4.75)$$

Partendo dall'ampiezza, nota, $\mathcal{T}_{++} = \frac{1}{2}Z(R)$ per le stringhe chiuse compatte sul toro, si vanno ad aggiungere tutti i contributi che servono a renderla invariante sotto l'azione di G , ovvero di Z_2 nel caso in esame; questo significa simmetrizzare rispetto a $X \rightarrow -X$.

Il completamento della simmetrizzazione si ottiene da

$$\mathcal{T}_{++} = \frac{1}{2} \frac{\sum_{(m,n)} q^{\frac{p_L^2}{2}} \bar{q}^{\frac{p_R^2}{2}}}{(q\bar{q})^{1/24} |\prod_{k=1}^{\infty} (1 - q^k)|^2}, \quad (4.76)$$

eliminando i modi-zero ed invertendo il segno degli oscillatori $q^k \rightarrow -q^k$ e $\bar{q}^k \rightarrow -\bar{q}^k$

Ciò da' luogo all'ampiezza

$$\mathcal{T}_{+-} = \frac{1}{(q\bar{q})^{1/24} |\prod_{k=1}^{\infty} (1 + q^k)|^2}, \quad (4.77)$$

ed in questo modo si ricava il settore *untwisted*. La (4.76) è palesemente non invariante modulare, e quindi occorre sommare i termini ottenuti da

\mathcal{T}_{+-} mediante le trasformazioni S e T . Ad esempio \mathcal{T}_{-+} si ottiene da \mathcal{T}_{+-} operando una trasformazione $S(\tau \rightarrow -1/\tau)$. Questo equivale a rendere i bosoni di \mathcal{T}_{++} antiperiodici e ad introdurre la degenerazione dei punti fissi (2^2) dell'orbifold e quindi

$$\mathcal{T}_{-+} = 2^2 \frac{(q\bar{q})^{1/48}}{|\prod_{k=1}^{\infty} (1 - q^{k-1/2})|^2}. \quad (4.78)$$

Infine, la simmetrizzazione di \mathcal{T}_{-+} si ottiene applicando ad essa la trasformazione $T : \tau \rightarrow \tau + 1$ che conduce a

$$\mathcal{T}_{--} = 2^2 \frac{(q\bar{q})^{1/48}}{|\prod_{k=1}^{\infty} (1 + q^{k-1/2})|^2}. \quad (4.79)$$

Dal punto di vista del *path-integral* sul toro, \mathcal{T}_{++} deriva dai campi di stringa quantizzati con condizioni al bordo di tipo “periodico-periodico” lungo le due direzioni, “spaziale” e “temporale”.

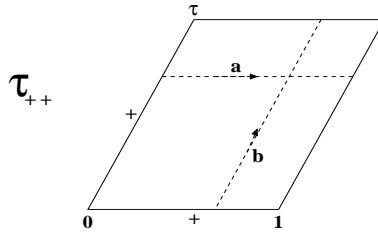


Figura 4.8: \mathcal{T}_{++}

Viceversa, il termine \mathcal{T}_{+-} , che deriva dal settore *untwisted* con l'operatore \mathcal{R} nella traccia, è caratterizzato da campi periodici nella direzione spaziale ed antiperiodici in quella temporale.

\mathcal{T}_{-+} , che deriva dal settore *twisted* con 1 nella traccia, ha condizioni al bordo opposte rispetto a \mathcal{T}_{+-} e la trasformazione modulare S connette questi due termini.

Infine, il contributo \mathcal{T}_{--} del settore *twisted* con \mathcal{R} nella traccia, che deriva dai campi con condizioni al bordo di tipo “antiperiodico-antiperiodico” sul toro, può essere generato operando una trasformazione $T(\tau \rightarrow \tau + 1)$ su \mathcal{T}_{-+} .

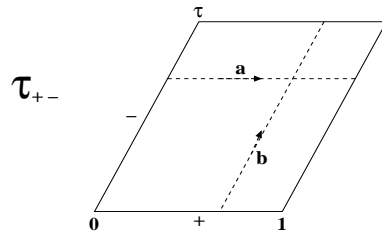


Figura 4.9: \mathcal{T}_{+-}

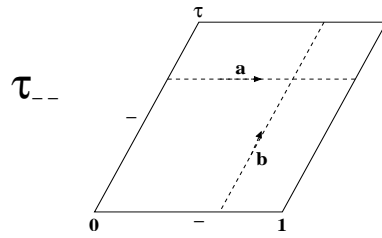


Figura 4.10: \mathcal{T}_{--}

In definitiva la situazione può essere schematizzata come in figura (4.11), che illustra come i settori *twisted* siano necessari per l'invarianza modulare.

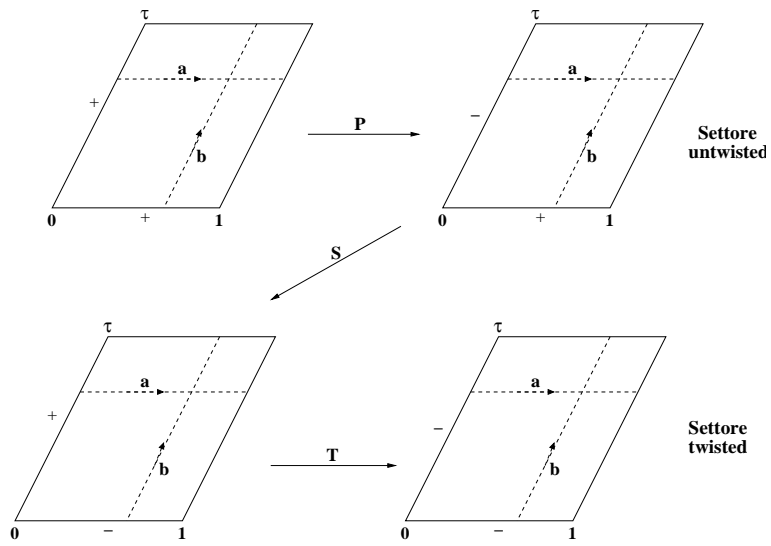


Figura 4.11: Settore Twisted + Settore Untwisted

Capitolo 5

Stringhe aperte

5.1 Gruppi di simmetria nelle stringhe aperte (Metodo di Chan-Paton)

Nel capitolo precedente abbiamo illustrato come sia possibile introdurre, nelle teorie di stringhe chiuse, dei gruppi di simmetria interna mediante compactificazioni su varietà più o meno complesse, anche se le simmetrie di gauge non sono affatto presenti nella stringa bosonica a $D = 26$. In realtà esiste una diversa e più naturale modalità di introduzione dei gruppi di gauge, fornita dalle stringhe aperte, basata sull'assunzione che le simmetrie interne siano già presenti a 10 dimensioni. Sappiamo che le stringhe aperte, a differenza di quelle chiuse, sono caratterizzate da due punti molto speciali, i loro estremi. È quindi naturale assumere che esse presentino, oltre ai campi che si propagano nello spazio Minkowskiano (*bulk*), degli ulteriori gradi di libertà, non dinamici, associati ai loro estremi: questi possono essere associati alle cariche di un gruppo di simmetria interna, note in letteratura come **cariche di Chan-Paton**. In base ad alcune proprietà delle ampiezze di scattering ad albero, nel 1969 Chan e Paton proposero una tecnica per associare i gruppi di gauge $U(2)$ ed $U(3)$ al settore aperto della teoria di stringa bosonica [95]. Una caratteristica fondamentale delle ampiezze di stringa aperta, per N bosoni esterni identici, è la loro simmetria ciclica (“nelle gambe e-

sterne”). Chan e Paton osservarono che tale proprietà rimaneva inalterata se le ampiezze venivano moltiplicate per tracce di prodotti di matrici a valori nell’algebra $u(2)$ e $u(3)$. Successivamente Schwarz notò che tali ampiezze dovevano soddisfare una serie infinita di vincoli, per poter essere compatibili con l’unitarietà della teoria [96]. Questi vincoli (di unitarietà), risolti da Marcus e Sagnotti nel 1982, hanno portato a concludere che con il metodo di Chan-Paton possono essere incorporate tutte le algebre di Lie classiche $so(n)$, $sp(2n)$ ed $u(n)$, ma non le algebre eccezionali [97]. Tali risultati possono essere riassunti dicendo che i due estremi delle stringhe aperte devono avere valori nelle rappresentazioni fondamentali dei gruppi classici. Quindi per $SO(n)$ e $Sp(2n)$ si avranno stringhe aperte non orientate, in quanto le corrispondenti rappresentazioni sono reali e pseudo-reali; viceversa per $U(n)$, la cui rappresentazione fondamentale è complessa ($n \neq \bar{n}$), le stringhe aperte saranno genericamente orientate. I gruppi di Chan-Paton classici e le corrispondenti rappresentazioni possono essere ottenuti anche dalla dinamica di ulteriori gradi di libertà posti sui bordi della stringa aperta [99]. Per far questo si può aggiungere per esempio un numero (pari) n di fermioni liberi unidimensionali ψ^I , con azione di Dirac

$$S = \frac{i}{4} \int_{\partial\Sigma} ds \psi^I(s) \frac{\partial \psi_I(s)}{\partial s} , \quad (5.1)$$

dove $\partial\Sigma$ è il bordo del *world-sheet*.

In particolare, n fermioni liberi danno origine a rappresentazioni di dimensione $2^{n/2}$. Associare delle cariche agli estremi delle stringhe aperte è rilevante ovviamente solo nei modelli che li contengono. A tale proposito, ricordiamo che tra le teorie supersimmetriche, l’unica teoria contenente stringhe aperte è la superstringa di Tipo I. A livello ad albero, una qualsiasi scelta del gruppo di simmetria è consistente per una teoria di stringhe aperte interagenti. Al livello quantistico, le condizioni di consistenza richiedono invece $SO(32)$ come unica possibile scelta del gruppo di gauge. Quindi la Tipo I- $SO(32)$ è l’unica teoria di superstringa consistente con la quantizzazione, e contiene stringhe chiuse ed aperte non orientate in interazione. La presenza del settore chiuso è conseguenza della richiesta di unitarietà della teoria, in base alla quale teorie

di sole stringhe aperte non sono possibili (intuitivamente è sempre possibile ottenere una stringa chiusa dall'unione di una o due stringhe aperte, e quindi la propagazione di stringhe chiuse deve essere inclusa per consistenza). Se ne evince che nel modello di Tipo I, includere numeri quantici di gauge con il metodo di Chan-Paton significa avere stringhe chiuse neutre sotto il gruppo di Chan-Paton.

5.2 Discendenti Aperti

La formulazione perturbativa dei modelli aperti risulta molto più complessa rispetto a quella dei modelli chiusi. Questo è dovuto alla presenza, nel loro spettro, di settori chiusi ed aperti non orientati. Come conseguenza, la loro espansione di Polyakov include una somma su superfici di Riemann con bordi e non orientabili, ovvero su superfici caratterizzate da un numero variabile di due nuove strutture: i **bordi** ed i **crosscaps**. Questi ultimi possono essere visualizzati, a partire da una sfera, nella maniera seguente:

- (a) identificando coppie di punti di latitudine opposta si ottiene un disco, e l'equatore, ovvero la linea di punti fissi della costruzione, è il suo *bordo*;
- (b) identificando punti antipodali, non si ottengono punti fissi, ma i punti equatoriali opposti devono essere identificati. A tale linea di punti si dà il nome di *crosscap* e la superficie risultante, chiusa e non orientabile, è il piano reale proiettivo RP^2 . La caratteristica di Eulero per una superficie Riemann con h manici, b bordi e c crosspacs è

$$\chi = 2 - 2h - b - c,$$

e quindi, a differenza dei modelli di stringhe chiuse orientate, in questo caso la serie perturbativa contiene potenze di $g_s = e^{\langle\phi\rangle}$ sia pari che dispari. A genere $1/2$ ($\chi = 1$), per esempio, abbiamo il disco ed il piano reale proiettivo. A genere 1 ($\chi = 0$) invece, si hanno quattro possibilità, poiché $\chi = 0$ può essere ottenuto, oltre che dal toro, da altre tre superfici: la **bottiglia di Klein** ($h = 0 = b; c = 2$), l'**anello** ($h = 0 = c; b = 2$), e la **striscia di Möbius**

($h = 0; b = 1 = c$). Come abbiamo fatto vedere per il toro, queste superfici possono essere associate ad un reticolo del piano complesso, mediante un numero opportuno di tagli.

Iniziamo dalla bottiglia di Klein. Questa può essere descritta dalla cella rettangolare $(1, i\tau_2)$ con lati orizzontali identificati dopo un'inversione.

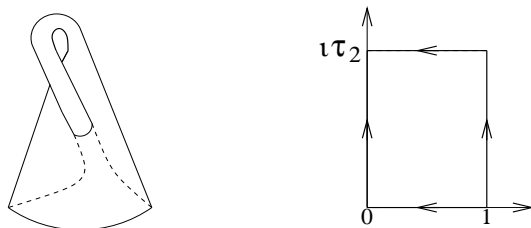
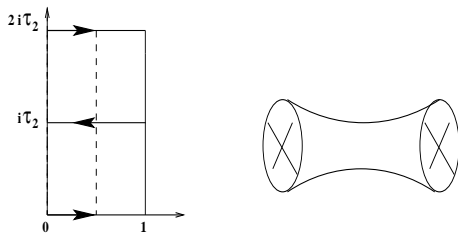


Figura 5.1: Bottiglia di Klein

Osserviamo che, come per il toro, τ_2 ha un preciso significato fisico, in quanto rappresenta il “tempo proprio” impiegato dalla stringa chiusa per spazzare la bottiglia di Klein. In realtà esiste una seconda scelta per il poligono fondamentale, che definisce una scelta distinta del “tempo proprio”. Raddoppiando verticalmente la bottiglia di Klein si ottiene un toro di modulo $\tau = 2i\tau_2$. Dimezzando i lati orizzontali in modo da mantenere l’area inalterata, si ottiene una rappresentazione equivalente della superficie, come un tubo terminante su due crosscaps.



In questo caso il tempo orizzontale rappresenta il “tempo proprio” impiegato dalla stringa chiusa per propagarsi tra i due crosscaps.

Passiamo al settore aperto, iniziando dall’anello. Il suo poligono fondamentale è il rettangolo $(1, i\tau_2)$, in cui i lati orizzontali sono identificati, mentre quelli verticali corrispondono ai due bordi.

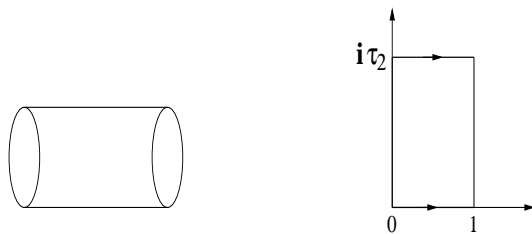
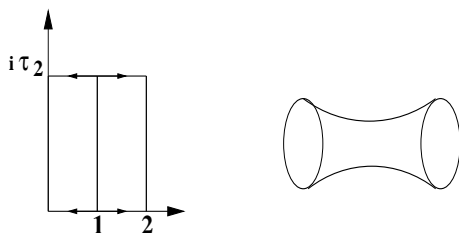


Figura 5.2: Anello

In questo caso τ_2 rappresenta il tempo proprio impiegato dalla stringa aperta per spazzare l'anello, e come per la bottiglia di Klein, esiste una seconda scelta per la cella fondamentale: basta raddoppiare orizzontalmente l'anello, ottenendo così un toro di modulo $\tau = i\tau_2/2$, per poi dimezzarlo verticalmente. La superficie che ne risulta è un tubo terminante su due bordi, e quindi il tempo orizzontale definisce il tempo proprio impiegato dalla stringa chiusa per propagarsi tra due bordi.



Infine, la striscia di Möbius ha come poligono fondamentale il rettangolo $(1, i\tau_2)$, in cui i lati orizzontali hanno orientazione opposta, mentre quelli verticali sono le due metà di un singolo bordo.

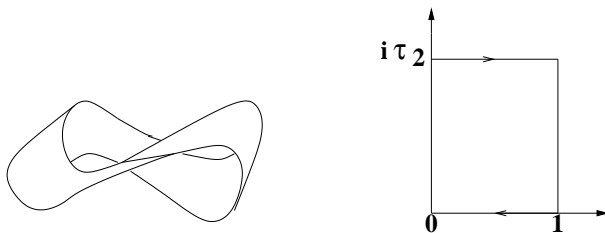
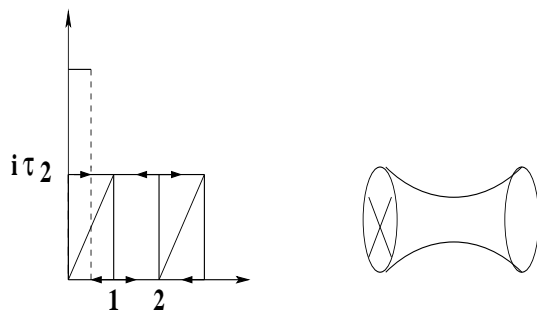


Figura 5.3: Striscia di Möbius

Anche in questo caso τ_2 descrive il tempo proprio impiegato dalla stringa

aperta per spazzare la striscia di Möbius, e di nuovo si può scegliere un differente poligono fondamentale, in grado di fornire una rappresentazione equivalente della superficie come un cilindro terminante su un bordo e su un crosscap. Questo si ottiene semplicemente raddoppiando in verticale e dimezzando in orizzontale, ed in questo modo uno dei due lati verticali è l'intero bordo della striscia di Möbius, mentre l'altro è un crosscap. Il corrispondente tempo orizzontale definisce il tempo proprio di propagazione di una stringa chiusa tra un bordo ed un crosscap. È interessante osservare che in questo caso il raddoppiamento verticale della striscia di Möbius non definisce un toro doppiamente ricoprente. Tuttavia quest'ultimo esiste, ed è caratterizzato da un modulo che non è puramente immaginario, ma dato da $\tau = \frac{1}{2} + i\frac{\tau_2}{2}$, ovvero è descritto da una cella reticolare obliqua con vertici a $0, 2$ e a $(i\tau_2 + 1)$.



Il passaggio dal tempo verticale a quello orizzontale, nella striscia di Möbius, viene effettuato mediante la cosiddetta trasformazione modulare P

$$P : \frac{1}{2} + i\frac{\tau_2}{2} \rightarrow \frac{1}{2} + i\frac{1}{2\tau_2}.$$

P può essere ottenuta tramite una sequenza di trasformazioni modulari S e T , ossia $P = (TS)T(TS)$, che, come conseguenza della relazione $S^2 = (ST)^3$, soddisfa $P^2 = S^2 = (ST)^3$. Dall'analisi svolta fin qui si può dedurre che superfici con bordi e crosscaps ammettono come ricoprimenti doppi superfici chiuse orientate. Si può mostrare infatti che la bottiglia di Klein, l'anello e la striscia di Möbius possono essere definite come quozienti (*cosets*), a partire dai loro ricoprimenti doppi, mediante opportune involuzioni [32]. La

bottiglia di Klein, per esempio, può essere descritta partendo da un toro, con modulo $2i\tau_2$ e definito dai generatori $K_1(\sigma_1, \sigma_2) = (\sigma_1 + 1, \sigma_2)$ e $K_2(\sigma_1, \sigma_2) = (\sigma_1, \sigma_2 + 2\tau_2)$, mediante l'involuzione $K_3(\sigma_1, \sigma_2) = (1 - \sigma_1, \sigma_2 + \tau_2)$ che non ha punti fissi e squadra alla traslazione verticale K_2 (dove $(\sigma_1, \sigma_2) = \sigma_1 + i\sigma_2$). L'anello si può ottenere dal toro di modulo $\frac{i\tau_2}{2}$, definito dalle traslazioni $A_1(\sigma_1, \sigma_2) = (\sigma_1 + 1, \sigma_2)$ e $A_2(\sigma_1, \sigma_2) = (\sigma_1, \sigma_2 + \tau_2)$, tramite l'identificazione $A_3(\sigma_1, \sigma_2) = (2 - \sigma_1, \sigma_2)$, i cui punti fissi sono i bordi dell'anello $\sigma_1 = 0$ e $\sigma_1 = 1$.

Infine la striscia di Möbius si può ottenere dal toro di modulo $\tau = \frac{1}{2} + i\frac{\tau_2}{2}$, definito dai generatori delle traslazioni $M_1(\sigma_1, \sigma_2) = (\sigma_1 + 1, \sigma_2 + \tau_2)$ e $M_2(\sigma_1, \sigma_2) = (\sigma_1, \sigma_2 + 2\tau_2)$, mediante l'involuzione $M_3(\sigma_1, \sigma_2) = (1 - \sigma_1, \sigma_2 + \tau_2)$. Ne segue che queste superfici di Riemann a genere 1 sono diversi orbifolds Z_2 del toro, dove lo Z_2 è anticonforme.

Come abbiamo avuto modo di apprezzare in precedenza, le regole di base che determinano gli spettri perturbativi delle stringhe chiuse orientate sono dovute essenzialmente ai due vincoli sulle loro ampiezze di vuoto:

- (a) l'invarianza modulare, che rende irrilevante la scelta del "tempo" sul *world-sheet*;
- (b) la relazione tra spin e statistica, che fissa i segni relativi dei contributi bosonici e fermionici.

In particolare, l'invarianza modulare della funzione di partizione costituisce un principio costruttivo per i modelli di stringhe chiuse orientate, assicurandone anche l'unitarietà. La situazione per i modelli di stringhe aperte è assai più complessa. La presenza di superfici con bordi e crosscaps, infatti, non consente di ravvisare immediatamente un concetto equivalente all'invarianza modulare. Vedremo in seguito che anche cancellazioni di anomalie o di divergenze, se presenti, sono uno dei criteri di consistenza per i modelli aperti. D'altra parte, la descrizione delle superfici di Riemann con bordi e crosscaps in termini di orbifolds di tori ha ispirato lo sviluppo di una tecnica ben precisa per la costruzione perturbativa dei modelli di stringhe aperte non orientate: **il metodo dei discendenti aperti** (noti anche con il nome di *orientifolds*).

Esso si fonda sull'ipotesi, suggerita da Sagnotti nel 1987, che i modelli di stringhe aperte siano *orbifolds nello spazio dei parametri* (o *discendenti*) dei corrispondenti modelli chiusi con spettro simmetrico sotto lo scambio dei modi destri e sinistri [26]. L'operazione di simmetria rispetto alla quale la teoria chiusa viene proiettata è la parità sul *world-sheet* $\Omega : \sigma \rightarrow \pi - \sigma$, che nelle teorie di stringhe chiuse scambia i modi sinistri e destri ($\alpha_m^\mu \leftrightarrow \bar{\alpha}_m^\mu$), mentre nelle stringhe aperte inverte gli estremi ($\alpha_m^\mu \leftrightarrow (-)^m \alpha_m^\mu$). Il metodo dei discendenti aperti, oltre ad aver permesso di reinterpretare i modelli noti a 26 e 10 dimensioni come orbifolds dei corrispondenti modelli chiusi orientati, si è evoluto in un algoritmo capace di supplementare le numerose teorie di stringhe chiuse orientate, fornendo anche nuove descrizioni per alcune classi di modelli di (super)gravità. In una serie di esempi vedremo come questo algoritmo sia in grado di associare, ad opportuni spettri chiusi, addizionali spettri aperti con definiti esempi di rottura della simmetria interna di Chan-Paton.

La costruzione dei modelli mediante la proiezione di orientifold segue una strategia analoga a quella descritta per gli *orbifolds*. Il punto di partenza è la definizione del settore “untwisted”, che in questo caso consiste del settore chiuso non orientato. La proiezione dello spettro chiuso viene effettuata dalla bottiglia di Klein. Successivamente occorre introdurre i settori “twisted”, identificati con i settori aperti, determinati dall'ampiezza di anello, e quindi proiettati dalla striscia di Möbius.

5.3 La stringa bosonica in D=26

Allo scopo di rendere più chiara la procedura, passiamo ad illustrare gli esempi più semplici di discendenti aperti, iniziando dalla stringa bosonica [33]. È opportuno sottolineare che l'ingrediente di base per la costruzione degli *orientifolds* è una teoria di stringhe chiuse orientate *simmetrica* sotto l'operazione di parità sul *world-sheet* Ω , o sotto una sua opportuna generalizzazione. La stringa bosonica rispetta questa proprietà, ed in particolare le

eccitazioni di energia più bassa del suo spettro $(T; \phi, g_{\mu\nu}, B_{\mu\nu})$ hanno simmetria definita sotto lo scambio $\alpha_m^i \leftrightarrow \bar{\alpha}_m^i$. Ricordiamo che l'ampiezza di toro per la stringa bosonica è

$$\mathcal{T} = \int_{\mathcal{F}} \frac{d^2\tau}{\tau_2^2} \frac{1}{\tau_2^{12}} \frac{1}{|\eta(\tau)|^{48}} .$$

Considerare stringhe chiuse non orientate significa proiettare lo spazio di Fock nel sottoinsieme di stati invarianti sotto Ω . Questo è quanto si ottiene con la bottiglia di Klein che, completando la simmetrizzazione dell'ampiezza di toro, elimina dallo spettro a massa nulla il tensore antisimmetrico di rango due $B_{\mu\nu}$. Il livello a massa nulla, contenente originariamente $(24)^2$ stati, dopo la proiezione, dovrà contenere solamente $\frac{24(24+1)}{2}$ stati, mentre il tachione sarà ancora presente nello spettro.

L'ampiezza di bottiglia di Klein descrive il diagramma di vuoto di una stringa chiusa che subisce un'inversione nell'orientazione. Operatorialmente equivale a calcolare

$$\mathcal{K} = \frac{1}{2} \int_{\mathcal{F}_k} \frac{d^2\tau}{\tau_2^2} \frac{1}{\tau_2^{12}} \text{tr}(q^{N-1} \bar{q}^{\bar{N}-1} \Omega) , \quad (5.2)$$

dove Ω è l'operatore che agisce sugli stati nel modo seguente:

$$\Omega|L, R\rangle = |R, L\rangle . \quad (5.3)$$

Quindi nella (5.2)

$$\text{tr}(q^{N-1} \bar{q}^{\bar{N}-1} \Omega) = \sum_{L,R} \langle L, R | q^{N-1} \bar{q}^{\bar{N}-1} \Omega | L, R \rangle = \sum_L \langle L, L | (q\bar{q})^{N-1} | L, L \rangle . \quad (5.4)$$

Si noti che il prodotto scalare restringe $\sum_{L,R}$ al sottoinsieme diagonale $|L, L\rangle$, conducendo così all'identificazione dei modi destri e sinistri (N ed \bar{N}). Calcolando la traccia (5.4) in maniera analoga a quanto fatto per l'ampiezza del toro, si ottiene quindi

$$\mathcal{K} = \frac{1}{2} \int_0^\infty \frac{d\tau_2}{\tau_2^{14}} \frac{1}{\eta(2i\tau_2)^{24}} . \quad (5.5)$$

Osserviamo che l'ampiezza risultante dipende da $2i\tau_2$ che, come abbiamo visto, è il modulo (puramente immaginario) del toro che ricopre doppiamente la bottiglia di Klein. Inoltre la presenza di Ω rompe l'invarianza modulare, e quindi la regione d'integrazione di \mathcal{K} diviene l'intero asse immaginario del piano τ . Per controllare che \mathcal{K} descriva la corretta simmetrizzazione degli stati, è sufficiente controllare, nelle espansioni in q degli integrandi di \mathcal{T} e \mathcal{K} , i termini che compaiono nella combinazione $(q\bar{q})$ (questi corrispondono agli stati fisici *on-shell* che soddisfano le condizioni di raccordo dei livelli)

$$\begin{aligned}\mathcal{T} &\rightarrow ((q\bar{q})^{-1} + (24)^2 + \dots) , \\ \mathcal{K} &\rightarrow \frac{1}{2}((q\bar{q})^{-1} + (24) + \dots) .\end{aligned}$$

Si vede che, per tener conto delle molteplicità degli stati nello spettro proiettato, occorre dimezzare il contributo del toro (che conta lo spettro chiuso di partenza) sommando ad esso l'ampiezza della bottiglia di Klein (che conta tutti gli stati fissi sotto Ω). Quindi

$$\mathcal{T} \rightarrow \frac{1}{2}\mathcal{T} + \mathcal{K} ,$$

da' il giusto conteggio degli stati del settore "untwisted". È possibile riferire l'ampiezza (5.5) al suo ricoprimento doppio, effettuando la seguente ridefinizione della variabile d'integrazione: $t = 2\tau_2$. In questo modo la (5.5) diviene

$$\mathcal{K} = \frac{2^{13}}{2} \int_0^\infty \frac{dt}{t^{14}} \frac{1}{\eta(i\tau)^{24}} . \quad (5.6)$$

Ma abbiamo visto che la bottiglia di Klein consente due scelte naturali di "tempo proprio":

- 1) il tempo "verticale", τ_2 , che porta alla definizione operatoriale della traccia e quindi all'ampiezza di vuoto ad un loop (5.5), detta anche ampiezza nel *canale diretto*;
- 2) il tempo "orizzontale", l , che rende la bottiglia di Klein equivalente ad un tubo che termina con due crosscaps, e che quindi descrive la propagazione di una stringa chiusa tra due crosscaps. L'ampiezza corrispondente, al livello ad albero in questo caso, è detta ampiezza nel *canale trasverso*.

Il passaggio dal canale diretto al canale trasverso si ottiene applicando alla (5.6) la trasformazione modulare $S : t \rightarrow 1/l$. L'espressione risultante, che indichiamo con $\tilde{\mathcal{K}}$, è

$$\tilde{\mathcal{K}} = \frac{2^{13}}{2} \int_0^\infty dl \frac{1}{\eta(il)^{24}}. \quad (5.7)$$

Il passo successivo consiste nella costruzione del settore aperto (“twisted”). In questo caso la funzione di partizione a genere 1 si ottiene dal calcolo del determinante dell'operatore D'Alambertiano su un *world-sheet* che ha la topologia di un anello. Quindi l'ampiezza ad un loop nel canale diretto, definita in termini della traccia su stati di stringa aperta, è data da

$$\mathcal{A} = \frac{\mathcal{N}^2}{2} \int_0^\infty \frac{d\tau_2}{\tau_2^{14}} \text{tr}(q^{\frac{1}{2}(N-1)}), \quad (5.8)$$

dove il prefattore \mathcal{N}^2 , la molteplicità associata agli estremi della stringa, tiene conto della simmetria interna di Chan-Paton. Inoltre l'esponente in (5.8) risulta dimezzato rispetto al caso chiuso, poiché la condizione di *mass-shell* per la stringa bosonica aperta è data da

$$m^2 = \frac{1}{\alpha'}(N - 1).$$

L'usuale calcolo della traccia conduce quindi all'espressione

$$\mathcal{A} = \frac{\mathcal{N}^2}{2} \int_0^\infty \frac{d\tau_2}{\tau_2^{14}} \frac{1}{\eta(i\frac{\tau_2}{2})^{24}}, \quad (5.9)$$

e, di nuovo, osserviamo che l'ampiezza è espressa in termini del modulo (puramente immaginario) del toro che ricopre doppiamente la superficie, $\frac{i\tau_2}{2}$. Come per la bottiglia di Klein, è conveniente usare la ridefinizione della variabile d'integrazione $t = \frac{\tau_2}{2}$ per riscrivere la (5.9) come

$$\mathcal{A} = \frac{2^{-13}\mathcal{N}^2}{2} \int_0^\infty \frac{dt}{t^{14}} \frac{1}{\eta(it)^{24}}. \quad (5.10)$$

Il passaggio all'ampiezza nel canale trasverso, $\tilde{\mathcal{A}}$, si ottiene quindi applicando alla (5.10) la trasformazione modulare $S : t \rightarrow 1/l$. L'espressione risultante,

$$\tilde{\mathcal{A}} = \frac{2^{-13}\mathcal{N}^2}{2} \int_0^\infty dl \frac{1}{\eta(il)^{24}}, \quad (5.11)$$

è funzione del tempo “orizzontale” l che descrive l’anello come un tubo che termina su due bordi, e quindi definisce l’ampiezza ad albero di una stringa chiusa che si propaga tra due bordi. A questo proposito è essenziale sottolineare che, nell’ampiezza nel canale trasverso (5.11), la molteplicità \mathcal{N} delle cariche di Chan-Paton associate agli estremi della stringa aperta determina i coefficienti di riflessione per lo spettro chiuso di fronte ai bordi.

La proiezione dello spettro aperto non orientato viene effettuata dall’ampiezza di striscia di Möbius, che rispetto ai casi precedenti presenta ulteriori sottigliezze. Queste sono legate al modulo del toro doppiamente ricoprente che, come abbiamo visto, non è puramente immaginario, ma è caratterizzato da una parte reale fissata ad $1/2$. Il fatto che τ_1 sia pari ad $1/2$ ha due importanti conseguenze:

i) le eccitazioni di oscillatore ai vari livelli di massa compaiono in \mathcal{M} con segni alterni, poiché

$$q^k = (e^{2\pi i\tau})^k = e^{2\pi ik(\frac{1}{2} + i\frac{\tau_2}{2})} = e^{\pi ik} e^{-\pi\tau_2 k} = (-)^k q_M^{k/2},$$

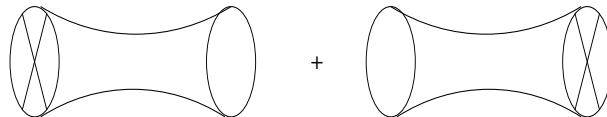
ii) l’integrando dell’ampiezza di Möbius, a differenza di quelli per \mathcal{K} e \mathcal{A} , contiene a priori una fase moltiplicativa.

L’espressione per l’ampiezza di Möbius può essere ricavata come segue:

1) si determina dapprima $\tilde{\mathcal{M}}$, l’ampiezza (ad albero) per una stringa che si propaga tra un bordo ed un crosscap, prendendo la “media geometrica” delle due ampiezze $\tilde{\mathcal{K}}$ ed $\tilde{\mathcal{A}}$, che nel caso della stringa bosonica è

$$\tilde{\mathcal{M}} = 2 \cdot \frac{N}{2} \int_0^\infty dl \frac{1}{\hat{\eta}(\frac{1}{2} + il)^{24}}, \quad (5.12)$$

dove l’ultimo fattore 2 nella (5.12) riflette la possibilità di interpretare $\tilde{\mathcal{M}}$ come il diagramma di una stringa chiusa che si propaga tra un bordo ed un crosscap o tra un crosscap ed un bordo.



N determina il coefficiente di riflessione della stringa chiusa di fronte ad un singolo bordo. Inoltre l'integrando, ridefinito per un fattore di fase, può essere espresso in termini di

$$\hat{\eta}\left(\frac{1}{2} + il\right) = q^{1/24} \prod_{n=1}^{\infty} (1 - (-)^n q^n), \quad (5.13)$$

che è manifestamente reale;

2) si effettua una ridefinizione della variabile d'integrazione, ponendo $l = \frac{t}{2}$, e quindi una trasformazione modulare P^{-1}

$$P^{-1} : \quad \frac{1}{2} + \frac{it}{2} \longrightarrow \frac{1}{2} + \frac{i}{2\tau_2} \quad (5.14)$$

sotto l'azione della quale

$$\hat{\eta}\left(\frac{1}{2} + \frac{i}{2t}\right) = \sqrt{t} \hat{\eta}\left(\frac{1}{2} + \frac{it}{2}\right). \quad (5.15)$$

L'ampiezza diretta di Möbius per la stringa bosonica aperta assume così la forma

$$\mathcal{M} = \frac{N}{2} \int_0^{\infty} \frac{d\tau_2}{\tau_2^{14}} \frac{1}{\hat{\eta}\left(\frac{1}{2} + \frac{i\tau_2}{2}\right)^{24}}. \quad (5.16)$$

Le ampiezze \mathcal{A} ed \mathcal{M} determinano lo spettro aperto proiettato (non orientato). Come fatto in precedenza, per assicurarsi della correttezza della simmetrizzazione degli stati, espandiamo in potenze di $\sqrt{q} = e^{-\pi\tau_2}$ gli integrandi di \mathcal{A} ed \mathcal{M} delle equazioni (5.9) e (5.16), ottenendo

$$\mathcal{A} \longrightarrow \frac{N^2}{2} ((\sqrt{q})^{-1} + (24) + \dots),$$

$$\mathcal{M} \longrightarrow \frac{N}{2} ((\sqrt{q})^{-1} - (24) + \dots).$$

Per i due livelli di massa più bassa si ottengono quindi

$$\frac{N(N+1)}{2} \text{ tachioni, e } \frac{N(N-1)}{2} \text{ vettori a massa nulla.}$$

Pertanto $\frac{1}{2}(\mathcal{A} + \mathcal{M})$ fornisce il corretto conteggio degli stati del settore "twisted". Ricapitolando, lasciando implicite le misure d'integrazione, i discendenti aperti della stringa bosonica a 26 dimensioni sono descritti da

$$\mathcal{T} = \frac{1}{2} \frac{1}{\tau_2^{12} |\eta(\tau)|^{48}}, \quad \mathcal{K} = \frac{1}{2} \frac{1}{\tau_2^{12} \eta(2i\tau_2)^{24}},$$

che definiscono lo spettro chiuso non orientato, e da

$$\mathcal{A} = \frac{N^2}{2} \frac{1}{\tau_2^{12} \eta(\frac{i\tau_2}{2})^{24}} \quad , \quad \mathcal{M} = \frac{N}{2} \frac{1}{\tau_2^{12} \hat{\eta}(\frac{1}{2} + \frac{i\tau_2}{2})^{24}} \quad ,$$

che definiscono lo spettro aperto non orientato.

In realtà, mentre \mathcal{K} ha un segno ben definito, fissato dall'ampiezza di toro, \mathcal{M} ha un segno indeterminato. Quindi, un valore positivo di N corrisponde ad un gruppo di gauge ortogonale $SO(N)$, mentre un valore negativo (e pari) di N corrisponde ad un gruppo di gauge simplettico $USp(2N)$. È allora naturale chiedersi come fissare il segno dell'intero N , ovvero come fissare il gruppo di gauge della teoria. La risposta è fornita dall'analisi del comportamento delle quattro ampiezze con $\chi = 0$ nel limite di piccolo tempo verticale, $\tau_2 \rightarrow 0$. Per i modelli chiusi, abbiamo visto che l'origine ($\tau_2 = 0$) è esclusa dalla regione d'integrazione, poiché è fuori dalla regione fondamentale del gruppo modulare. Quindi \mathcal{T} è protetta dall'invarianza modulare. Viceversa, le altre tre superfici sono integrate su una regione che interseca l'asse reale, e questo introduce nelle ampiezze \mathcal{K} , \mathcal{A} ed \mathcal{M} delle corrispondenti divergenze ultraviolette. Il passaggio al canale trasverso consente una migliore interpretazione della situazione. In questo caso infatti le divergenze si palesano nel limite infrarosso delle equazioni (5.7), (5.11) e (5.12), ovvero nel limite di tempo orizzontale molto grande ($l \rightarrow \infty$). Queste divergenze infrarosse sono associate agli stati non massivi e tachionici dello spettro chiuso.

In generale, stati di massa m danno un contributo proporzionale a

$$\int_0^\infty dl e^{-lm^2} = \frac{1}{m^2} = \frac{1}{(p^2 + m^2)_{p=0}}. \quad (5.17)$$

La divergenza dominante in queste ampiezze di vuoto, dovuta al tachione, può formalmente essere regolata. Vicerversa non c'è alcuna possibilità di regolare le divergenze dovute agli scambi di stati di massa nulla. In questo modello, l'invarianza di Lorentz associa il modo singolare non massivo all'unico modo scalare a massa nulla della stringa chiusa, il dilatone. L'origine di tale divergenza può essere compresa intuitivamente osservando che nel limite $l \rightarrow \infty$ le tre ampiezze ad albero, $\tilde{\mathcal{K}}$, $\tilde{\mathcal{A}}$ e $\tilde{\mathcal{M}}$, sono assimilabili a tubi molto

lunghi (che terminano su bordi e/o crosscaps). Esse sono quindi simili a diagrammi di processi in cui uno stato di stringa chiusa, di impulso nullo, viene creato nel vuoto, si propaga per una certa distanza, per poi sparire nuovamente nel vuoto.



Come suggerito dalla (5.17), il propagatore di uno stato con massa ed impulso nulli, è divergente, ma i corrispondenti residui sono finiti e definiscono due elementi di base della teoria: le funzioni ad un punto per i campi di stringa chiusa (**tadpoles**) in presenza di un bordo o di un crosscap. Nella teoria non orientata le singolarità delle ampiezze (5.7), (5.11) e (5.12) si combinano in un contributo proporzionale a

$$\tilde{\mathcal{K}} + \tilde{\mathcal{A}} + \tilde{\mathcal{M}} \sim \frac{1}{2}(2^{13} + 2^{-13}N^2 + 2\epsilon N) = \frac{2^{-13}}{2}(2^{13} + \epsilon N)^2, \quad (5.18)$$

dove $\epsilon = \pm 1$ è legato alla scelta del segno di \mathcal{M} .

L'equazione (5.18) è una *tadpole condition*, in questo caso la condizione di cancellazione delle divergenze dovute al dilatone. Essa conduce ad un'ampiezza finita solo se $\epsilon = -1$ ed $N = 2^{13}$, ovvero se il gruppo di Chan-Paton è $SO(2^{13}) = SO(8192)$ [98]. Si noti inoltre come la scelta di $N = 2^{13}$ riproduce la potenza di 2 ($= 2^{D/2}$) incontrata nella discussione dei gruppi di simmetria per le stringhe aperte. Le condizioni di cancellazione dei *tadpole* forniscono uno strumento di controllo cruciale della consistenza dei modelli aperti. Infatti, se per la stringa bosonica la particolare scelta di N elimina una correzione della teoria effettiva di bassa energia, in modelli più complessi il suo analogo elimina contributi legati alla presenza di anomalie di gauge e gravitazionali [100]. Vedremo in seguito come, in teorie con fermioni chirali, alcuni *tadpoles* siano connessi alle corrispondenti anomalie.

5.4 Discendenti aperti a 10 dimensioni

Gli esempi più semplici di modelli aperti a 10 dimensioni sono i discendenti della superstringa di Tipo IIB e delle teorie 0A e 0B, i due modelli non supersimmetrici e tachionici discussi nel capitolo precedente. Come la stringa bosonica, queste teorie hanno la caratteristica di essere simmetriche sotto lo scambio dei modi destri e sinistri. Ricordiamo infatti che le loro ampiezze di toro sono

$$\begin{aligned}\mathcal{T}_{IIB} &= \int_{\mathcal{F}} \frac{d^2\tau}{\tau_2^2} \frac{1}{(\sqrt{\tau_2} \eta(\tau) \bar{\eta}(\bar{\tau}))^8} |V_8 - S_8|^2, \\ \mathcal{T}_{0A} &= \int_{\mathcal{F}} \frac{d^2\tau}{\tau_2^2} \frac{1}{(\sqrt{\tau_2} \eta(\tau) \bar{\eta}(\bar{\tau}))^8} (|O_8|^2 + |V_8|^2 + S_8 \bar{C}_8 + C_8 \bar{S}_8), \\ \mathcal{T}_{0B} &= \int_{\mathcal{F}} \frac{d^2\tau}{\tau_2^2} \frac{1}{(\sqrt{\tau_2} \eta(\tau) \bar{\eta}(\bar{\tau}))^8} (|O_8|^2 + |V_8|^2 + |S_8|^2 + |C_8|^2).\end{aligned}$$

Tutti gli altri modelli a 10 dimensioni, compresa la superstringa di Tipo IIA, hanno uno spettro non simmetrico sotto Ω , e quindi non ammettono discendenti aperti. Abbiamo visto come il punto di partenza della costruzione di un discendente aperto sia infatti una proiezione dello spettro chiuso che mescola modi destri e sinistri. Questo si ottiene sommando alla funzione di partizione di toro, opportunamente dimezzata, il contributo di bottiglia di Klein nel canale diretto. \mathcal{K} deve contenere tutti i caratteri che in \mathcal{T} compaiono come moduli quadri, ed in generale non è unica. In linea di principio, la teoria di Tipo IIB ammette quattro possibilità per \mathcal{K} , una per ogni scelta di segno dei due caratteri V_8 ed S_8 che compaiono in \mathcal{T} . In realtà questi segni sono soggetti a forti restrizioni dettate dall'algebra di fusione [103, 104], ovvero dall'algebra che definisce le regole di superselezione per i vari settori dello spettro. Per ogni coppia di famiglie di operatori $[\phi_i]$ e $[\phi_j]$, gli interi N_{ij}^k , definiti da

$$[\phi_i] \times [\phi_j] = \sum_k N_{ij}^k [\phi_k] \quad (5.19)$$

determinano quali famiglie di stati possono essere ottenute dal loro prodotto. Nel caso in considerazione, $[\phi_i]$ viene identificata con una delle quattro famiglie $[O_8]$, $[V_8]$, $[S_8]$ e $[C_8]$. Il cosiddetto *coefficiente di fusione*, N_{ij}^k , conta il

numero di accoppiamenti indipendenti tra le tre famiglie $[\phi_i], [\phi_j]$ e $[\phi_k]$, ha valori non negativi, ed è determinato dalla formula di Verlinde

$$N_{ij}^k = \sum_m \frac{S_{im} S_{jm} S_{km}^\dagger}{S_{im}}, \quad (5.20)$$

dove S è la matrice modulare associata alla trasformazione $\tau \rightarrow -1/\tau$. Dall'unitarietà di S segue che $N_{1j}^k = \delta_j^k$, e quindi l'identità è l'elemento neutro dell'algebra di fusione. Il risultato generale cui si giunge è che le possibili scelte di segno per i caratteri corrispondono agli isomorfismi di Z_2 dell'algebra di fusione compatibili con la proiezione GSO del toro. Nel nostro caso, scegliendo come base di caratteri $(O_8, V_8, -S_8, -C_8)$, ovvero associando un naturale segno negativo ai caratteri che descrivono fermioni, l'identità è $[V_8]$, ed appare nel quadrato di tutte le famiglie [105, 106]. Questa scelta è la più naturale per il gruppo di Lorentz $SO(1, 9)$, e conduce alle seguenti ampiezze di bottiglia di Klein:

$$\begin{aligned} \mathcal{K}_{IIB} &= \frac{1}{2}(V_8 - S_8), \\ \mathcal{K}_{0A} &= \frac{1}{2}(O_8 + V_8), \\ \mathcal{K}_{0B} &= \frac{1}{2}(O_8 + V_8 - S_8 - C_8), \end{aligned} \quad (5.21)$$

dove per semplicità sono stati omessi i contributi dei bosoni trasversi e della misura d'integrazione. L'argomento delle espressioni delle eq. (5.21) è $2i\tau_2$, con τ_2 l'usuale "tempo proprio" della stringa chiusa. La proiezione di bottiglia di Klein determina l'azione di Ω sui vari settori dello spettro chiuso non orientato, che può essere sintetizzata come segue: un segno positivo (negativo) nei caratteri implica la simmetrizzazione (antisimmetrizzazione) dei settori sotto lo scambio dei modi destri e sinistri.

Concentriamoci per il momento sul caso della superstringa di Tipo IIB. \mathcal{K}_{IIB} simmetrizza il settore di NS-NS, proiettando via dallo spettro a massa nulla la due-forma $B_{\mu\nu}$, ed antisimmetrizza il settore di R-R, eliminando così il secondo scalare ϕ' e la quattro-forma autoduale $D_{\mu\nu\rho\sigma}^+$. I modi fermionici

vengono dimezzati, di conseguenza lo spettro a massa nulla risultante dal settore chiuso contiene il gravitone, il dilatone, la due-forma di R, un gravitino *left* ed uno spinore *right*. Questo è esattamente lo spettro corrispondente alla supergravità N = (1,0) a dieci dimensioni, ovvero lo spettro chiuso della teoria di Tipo I. Nel canale trasverso le ampiezze delle eq. (5.21) divengono

$$\begin{aligned}\tilde{\mathcal{K}}_{IIB} &= \frac{2^5}{2}(V_8 - S_8), \\ \tilde{\mathcal{K}}_{OA} &= \frac{2^5}{2}(O_8 + V_8), \\ \tilde{\mathcal{K}}_{OB} &= \frac{2^6}{2}V_8,\end{aligned}\tag{5.22}$$

dove le potenze di due derivano dalla misura d'integrazione, una volta che tali ampiezze vengono espresse in termini dei moduli dei loro ricoprimenti doppi.

Il passo successivo nella costruzione coinvolge il settore “twisted”, determinato dalla proiezione $\frac{1}{2}(\mathcal{A} + \mathcal{M})$. Per la deduzione di \mathcal{A} è conveniente iniziare dal canale trasverso. Quindi, anche in questo caso il punto di partenza è il settore chiuso, o meglio la porzione dello spettro chiuso che può fluire nell’anello trasverso $\tilde{\mathcal{A}}$. Le ampiezze $\tilde{\mathcal{A}}$ ed $\tilde{\mathcal{M}}$ hanno rispettivamente due bordi, e un bordo ed un crosscap; quindi sono polinomi di secondo e primo grado nelle molteplicità dei vari settori di carica. La struttura di questi polinomi è fortemente vincolata dalle condizioni di fattorizzazione dell’ampiezza sul disco. In particolare, poiché in $\tilde{\mathcal{A}}$ lo spettro chiuso si propaga tra una coppia di bordi, i suoi coefficienti possono essere interpretati come i quadrati della normalizzazione della funzione ad un punto sul disco. Quindi, data la funzione di partizione (quasi) diagonale per lo spettro chiuso

$$\mathcal{T} = \sum_{i,j} X_{ij} \chi_i \bar{\chi}_j ,\tag{5.23}$$

dove X_{ij} è una matrice di interi non negativi, i caratteri χ_i che possono fluire nell’anello trasverso $\tilde{\mathcal{A}}$ sono quelli accoppiati con i loro coniugati dalla proiezione GSO del modello chiuso; se il bordo deve rispettare una data

simmetria, la riflessione può avvenire solo se il coniugato GSO è coniugato anche rispetto alla simmetria in considerazione. Tutto ciò fornisce quindi una regola per la determinazione dei settori permessi in $\tilde{\mathcal{A}}$ e, conseguentemente, per il numero dei coefficienti di riflessione. Osserviamo che, per i modelli in questione, la simmetria locale che i bordi devono rispettare è legata al gruppo di Lorentz trasverso $SO(8)$, le cui rappresentazioni sono tutte autoconiugate. Questo implica che nel modello 0A in $\tilde{\mathcal{A}}$ potranno fluire i soli caratteri O_8 e V_8 , gli unici accoppiati ai loro coniugati dalla proiezione GSO delle ampiezze di toro \mathcal{T}_{0A} ; viceversa, nel modello 0B, tutti i caratteri sono accoppiati con i loro coniugati, e quindi tutti i caratteri presenti in \mathcal{T}_{0B} potranno fluire in $\tilde{\mathcal{A}}$. Nel caso della teoria di Tipo IIB c'è un singolo settore permesso, se vogliamo preservare la supersimmetria $(V_8 - S_8)$, e quindi

$$\tilde{\mathcal{A}}_{IIB} = \frac{2^5}{2} n^2 (V_8 - S_8) , \quad (5.24)$$

dove l'argomento è il , il modulo del ricoprimento doppio. L'ampiezza di Möbius nel canale trasverso, $\tilde{\mathcal{M}}$, è determinata da $\tilde{\mathcal{A}}_{IIB}$ e da $\tilde{\mathcal{K}}_{IIB}$, ed è

$$\tilde{\mathcal{M}}_{IIB} = -\frac{2}{2} n (\hat{V}_8 - \hat{S}_8) , \quad (5.25)$$

dove il coefficiente di riflessione è dato dalla media geometrica di quelli di $\tilde{\mathcal{A}}$ e di $\tilde{\mathcal{K}}$. L'ulteriore fattore 2 riflette la combinatorica di $\tilde{\mathcal{M}}$, mentre l'argomento è in questo caso $(il+1/2)$, il modulo del ricoprimento doppio. A questo punto è possibile trasformare $\tilde{\mathcal{A}}_{IIB}$ nell'ampiezza di anello del canale diretto usando la matrice modulare S . Si ottiene così l'espressione

$$\mathcal{A}_{IIB} = \frac{n^2}{2} (V_8 - S_8) , \quad (5.26)$$

e argomento è $\frac{i\tau_2}{2}$, dove τ_2 è il "tempo proprio" della stringa aperta.

Per quanto riguarda $\tilde{\mathcal{M}}_{IIB}$, osserviamo che nella sua espressione compaiono i caratteri reali $\hat{\chi}$; il passaggio nel canale diretto richiede quindi l'uso di una differente matrice P , legata alle matrici S e T da

$$P = T^{1/2}(ST^2S)T^{1/2} = T = \text{diag}(-1, 1, 1, 1), \quad (5.27)$$

dove il coniugio corrisponde alla ridefinizione della fase. L'ampiezza di Möbius assume quindi la forma

$$\mathcal{M}_{IIB} = -\frac{n}{2}(\hat{V}_8 - \hat{S}_8) \quad (5.28)$$

e l'argomento è $\frac{i\tau_2}{2} + \frac{1}{2}$. Si noti che un valore positivo di n implica un gruppo ortogonale $SO(n)$ con $\frac{n(n-1)}{2}$ vettori di gauge, mentre un valore negativo di n implica un gruppo simplettico $USp(|n|)$, con $\frac{|n|(|n|+1)}{2}$ bosoni di gauge. Lo spettro aperto a massa nulla è dunque un multipletto di super Yang-Mills $N = 1$ con gruppo di gauge $SO(n)$ o $USp(|n|)$. Come per la stringa bosonica, il gruppo di gauge è in realtà determinato dalla condizione di cancellazione dei *tadpole*, che si ottiene annullando la funzione ad un punto totale associata ai due settori $V_8\bar{V}_8$ ed $S_8\bar{S}_8$:

$$\frac{2^5}{2} + \frac{2^{-5}}{2} n^2 - \frac{2}{2} n = \frac{2^5}{2} (n - 2^5)^2 = 0, \quad (5.29)$$

Questa equazione equivale quindi alla cancellazione di due *tadpoles*, uno per il settore di NS-NS ed uno per il settore di R-R. La sua unica soluzione, $n = 32$, seleziona quindi il gruppo di gauge $SO(32)$. In questo modo la superstringa di Tipo I- $SO(32)$, priva di anomalie, ottenuta per la prima volta da Green e Schwarz nel 1984 [24], emerge come discendente aperto della Tipo IIB.

La relazione tra condizione di *tadpole* e cancellazione delle anomalie venne messa in evidenza per la prima volta proprio per la superstringa di Tipo I, da Polchinski e Cai, i quali collegarono le anomalie ai *tadpole* di stati a massa nulla non fisici [117]. Un'analisi più generale della relazione è contenuta in [121, 122] Uno stato di questo genere è presente nel settore $S_8\bar{S}_8$, uno scalare di R-R a massa nulla eliminato dallo spettro chiuso mediante la proiezione di bottiglia di Klein. I *tadpole* di R-R sono un segnale di una inconsistenza interna della teoria e quindi devono essere sempre annullati. I *tadpole* di NS-NS, viceversa, segnalano la necessità di una ridefinizione del *background*, poiché producono dei potenziali per i campi corrispondenti.

Torniamo ora ad esaminare i discendenti aperti dei modelli non supersimmetrici, iniziando dalla teoria 0A [33]. L'ampiezza di bottiglia di Klein \mathcal{K}_{0A}

di eq.(5.21) simmetrizza il settore di NS-NS, eliminando dai livelli di massa più bassa dello spettro chiuso il tensore antisimmetrico $B_{\mu\nu}$, ma lasciando il tachione, il gravitone ed il dilatone. Il settore di R-R viene “dimezzato”, e quindi nello spettro a massa nulla compaiono anche un vettore ed una tre-forma, combinazioni lineari di quelli presenti nel modello 0A di partenza.

Per quanto riguarda la costruzione dello spettro aperto a partire da quello chiuso nel canale trasverso, abbiamo già accennato al fatto che in $\tilde{\mathcal{A}}_{0A}$ possono fluire solo i caratteri O_8 e V_8 , in quanto S_8 e C_8 sono autoconiugati in $SO(8)$. Quindi

$$\tilde{\mathcal{A}}_{0A} = \frac{2^{-5}}{2}(\alpha^2 O_8 + \beta^2 V_8), \quad (5.30)$$

e di conseguenza $\tilde{\mathcal{A}}_{0A}$ contiene due coefficienti di riflessione indipendenti, che possono essere associati ai due caratteri permessi. Questo dato è di particolare rilievo nella costruzione, poiché determina il numero di settori di carica del modello. Effettuando la parametrizzazione

$$\begin{aligned} \frac{\alpha^2 + \beta^2}{2} &= n_B^2 + n_F^2, \\ \frac{\beta^2 - \alpha^2}{2} &= 2n_B n_F, \end{aligned}$$

per i coefficienti di riflessione, che, come vedremo, consente un’interpretazione di \mathcal{A}_0 in termini di cariche di Chan-Paton, l’ampiezza di eq. (5.30) assume la forma

$$\tilde{\mathcal{A}}_{0A} = \frac{2^{-5}}{2}((n_B - n_F)^2 O_8 + (n_B + n_F)^2 V_8), \quad (5.31)$$

dove l’argomento è il . L’espressione per l’ampiezza di Möbius $\tilde{\mathcal{M}}$, nel canale trasverso si ottiene accomodando tutti i caratteri comuni ad $\tilde{\mathcal{A}}_{0A}$ e $\tilde{\mathcal{K}}_{0A}$, con coefficienti di riflessione che, a meno dei loro segni, sono medie geometriche di quelli in $\tilde{\mathcal{A}}$ e $\tilde{\mathcal{K}}$. In conclusione

$$\tilde{\mathcal{M}}_{0A} = -\frac{2}{2}((n_B - n_F) \hat{O}_8 + (n_B + n_F) \hat{V}_8), \quad (5.32)$$

dove l’argomento è, al solito, $il + \frac{1}{2}$. La funzione di partizione di stringa aperta \mathcal{A} e l’ampiezza di striscia di Möbius nel canale diretto \mathcal{M} si determinano quindi mediante trasformazioni S e P rispettivamente, seguite dalle

appropriate ridefinizioni delle variabili, e il risultato finale è

$$\mathcal{A}_{0A} = \frac{(n_B^2 + n_F^2)}{2}(O_8 + V_8) - n_B n_F (S_8 + C_8) , \quad (5.33)$$

$$\mathcal{M}_{0A} = -\frac{1}{2}((n_B - n_F) \hat{O}_8 + (n_B + n_F) \hat{V}_8) . \quad (5.34)$$

L'espressione (5.33) mette in luce un aspetto particolarmente interessante di questi pur semplici modelli, ovvero la presenza di tre tipi di stringhe aperte risultanti dai due settori di carica di Chan-Paton. Infatti, mentre gli stati di NS descrivono stringhe non orientate con cariche di Chan-Paton dello stesso tipo agli estremi (n_B o n_F), gli stati di R restano associati a stringhe con cariche diverse di Chan-Paton agli estremi.

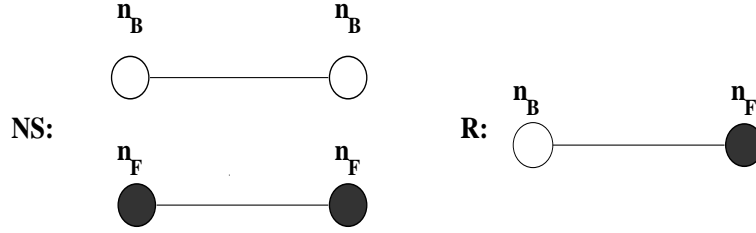


Figura 5.4: Cariche di Chan-Paton

Questa struttura riflette la rottura spontanea della simmetria di Chan-Paton. Osserviamo infatti che, se $n_F = 0$, esiste un solo settore di stringa aperta, corrispondente a $(O_8 + V_8)$, e tutte le stringhe aperte portano una coppia di cariche identiche; se $n_F \neq 0$, sono presenti due tipi di stringhe aperte nel settore di $(O_8 + V_8)$ e ulteriori stringhe aperte, corrispondenti al settore $(S_8 + C_8)$, con agli estremi due differenti tipi di carica di molteplicità n_B ed n_F . La condizione di *tadpole*

$$n_B + n_F = 32,$$

deriva in questo modello dal solo settore V_8 , e quindi, a differenza del caso della IIB, non è legata ad anomalie di gauge e gravitazionali. Si ottiene così una classe di modelli con gruppo di gauge $SO(n_B) \times SO(32 - n_B)$. Lo spettro aperto di bassa energia, che può essere dedotto dalle ampiezze di eq.(5.32)

e (5.33), contiene quindi bosoni di gauge (corrispondenti a V_8) nella rappresentazione aggiunta di $SO(n_B) \times SO(32 - n_B)$, tachioni (corrispondenti ad O_8) nella rappresentazione $\frac{n_B(n_B+1)}{2}$ e $\frac{n_B(n_B+1)}{2}$, e fermioni di Majorana (corrispondenti ai caratteri S_8 e C_8 del settore di R) nella rappresentazione bifondamentale (n_B, n_F) dello stesso gruppo. Lo spettro risultante è chiaramente non chirale sia nel settore chiuso proiettato che in quello aperto.

L'ultima teoria che rimane da trattare è la Tipo 0B che, come vedremo, conduce a diversi tipi di discendenti aperti, in corrispondenza delle possibili scelte di proiezione di bottiglia di Klein. Iniziamo dall'ampiezza di Klein di equazione (5.21), per la quale il settore chiuso di NS-NS viene simmetrizzato mentre quello di R-R viene antisimmetrizzato, e l'argomento è il [33]. Lo spettro che ne risulta contiene un tachione, il gravitone ed una coppia di tensori antisimmetrici. Mediante una trasformazione S ed una ridefinizione della variabile ($t = 2\tau_2$ e $t = 1/l$) l'ampiezza di Klein nel canale trasverso assume quindi la forma

$$\tilde{\mathcal{K}}_{0B} = \frac{2^6}{2} V_8. \quad (5.35)$$

Come in \mathcal{K}_{0B} , anche nella corrispondente ampiezza di anello nel canale trasverso \mathcal{A}_{0B} possono fluire tutti i caratteri O_8, V_8, C_8 ed S_8 e quindi

$$\tilde{\mathcal{A}}_{0B} = \frac{2^{-6}}{2} (\alpha^2 V_8 + \beta^2 O_8 - \gamma^2 S_8 - \delta^2 C_8). \quad (5.36)$$

Prima di scrivere in maniera piú esplicita i coefficienti di riflessione $\alpha, \beta, \gamma, \delta$, passiamo a considerare la funzione di partizione di stringa aperta nel canale diretto, \mathcal{A}_{0B} , per la quale esiste in questo caso un ansatz per l'assegnazione delle cariche di Chan-Paton, noto come *ansatz di Cardy* [107]. Questo si applica in generale ai modelli le cui ampiezze di toro siano costruite mediante la matrice di coniugio di carica \mathcal{C} :

$$\mathcal{T} = \sum_{ij} \mathcal{C}_{ij} \chi_i \bar{\chi}_j. \quad (5.37)$$

In tali condizioni, Cardy stabilì una corrispondenza uno ad uno tra tipi di bordi e settori dello spettro, fornendo in tal modo una nuova interpretazione dei coefficienti dell'algebra di fusione N_{ij}^k : essi determinano il contenuto (k)

nello spettro di anello corrispondente alle condizioni al bordo (i) e (j). Data questa corrispondenza, l'ampiezza di anello può essere espressa in questo caso come

$$\mathcal{A} = \frac{1}{2} \sum_{ijk} N_{ij}^k n^i n^j \chi_k. \quad (5.38)$$

Passando al canale trasverso, si ottiene

$$\tilde{\mathcal{A}} = \frac{2^{-D/2}}{2} \sum_{ijkl} N_{ij}^k n^i n^j S_k^l \chi_l, \quad (5.39)$$

ed utilizzando infine la formula di Verlinde,

$$\tilde{\mathcal{A}} = \frac{2^{-D/2}}{2} \sum_m \chi_m \left(\sum_k \frac{S_{mk} n^k}{\sqrt{S_{m1}}} \right)^2. \quad (5.40)$$

Quindi tutti i coefficienti di $\tilde{\mathcal{A}}$ sono quadrati perfetti, esattamente come è richiesto per la costruzione di $\tilde{\mathcal{M}}$. Per i gruppi $SO(4n)$, ed in particolare per $SO(8)$, la matrice di coniugio \mathcal{C} coincide con la matrice identità. L'ansatz di Cardy può essere così applicato direttamente al modello 0B, e quindi l'ampiezza di anello nel canale trasverso assume la forma

$$\begin{aligned} \tilde{\mathcal{A}}_{0B} &= \frac{2^{-6}}{2} [(n_o + n_v + n_s + n_c)^2 V_8 + (n_o + n_v - n_s - n_c)^2 O_8 \\ &+ (n_o - n_v + n_s - n_c)^2 S_8 + (n_o - n_v - n_s + n_c)^2 C_8], \end{aligned} \quad (5.41)$$

che collega i quattro coefficienti $(\alpha, \beta, \delta, \gamma)$ di eq.(5.36) alle quattro molteplicità di Chan-Paton.

L'ampiezza di Möbius nel canale trasverso, determinata completamente da $\tilde{\mathcal{K}}_{0B}$ e $\tilde{\mathcal{A}}_{0B}$, è

$$\tilde{\mathcal{M}}_{0B} = -\frac{2}{2} (n_o + n_v + n_s + n_c) \hat{V}_8, \quad (5.42)$$

e quindi il settore aperto del modello 0B è descritto da

$$\begin{aligned} \mathcal{A}_{0B} &= \frac{n_o^2 + n_v^2 + n_s^2 + n_c^2}{2} V_8 + (n_o n_v + n_s n_c) O_8 \\ &- (n_v n_s + n_o n_c) S_8 - (n_v n_c + n_o n_s) C_8, \end{aligned} \quad (5.43)$$

$$\mathcal{M}_{0B} = -\frac{n_o + n_v + n_s + n_c}{2} \hat{V}_8, \quad (5.44)$$

legato come al solito, a $\tilde{\mathcal{A}}_{0B}$ e $\tilde{\mathcal{M}}_{0B}$ da trasformazioni S e P , rispettivamente, e da corrispondenti ridefinizioni delle variabili. Dalle espressioni (5.35), (5.41) e (5.42) vediamo che questo modello richiede tre condizioni di *tadpole*, quelle relative ai tre settori V_8 , S_8 , e C_8 che comprendono eccitazioni a massa nulla:

$$V_8 : \quad n_o + n_v + n_s + n_c = 2^6 = 64 , \quad (5.45)$$

$$S_8 : \quad n_o - n_v + n_s - n_c = 0 , \quad (5.46)$$

$$C_8 : \quad n_o - n_v - n_s + n_c = 0 . \quad (5.47)$$

Le soluzioni sono $n_o = n_v$, $n_s = n_c$, $n_o + n_s = 32$ ed il risultante gruppo di gauge è $SO(n_o) \times SO(n_v) \times SO(n_s) \times SO(n_c)$, o meglio $SO(n_o) \times SO(n_v) \times SO(n_o - 32) \times SO(n_v - 32)$. La presenza di *tadpole* derivanti dal settore di R-R implica che lo spettro aperto per questa classe di modelli è chirale e potenzialmente anomalo, ma le condizioni (5.46) e (5.47) assicurano la cancellazione di tutte le anomalie di gauge e gravitazionali. Oltre ai vettori di gauge, lo spettro comprende tachioni, fermioni *left* e *right* tutti in rappresentazioni bi-fondamentali.

Come accennato in precedenza, il modello $0B$ è quello che possiede la struttura più ricca. Esistono infatti altri due classi di discendenti, associate alle due ulteriori scelte, inequivalenti, di bottiglia di Klein:

$$\mathcal{K}'_{0B} = \frac{1}{2}(O_8 + V_8 + S_8 + C_8) , \quad (5.48)$$

$$\mathcal{K}''_{0B} = \frac{1}{2}(-O_8 + V_8 + S_8 - C_8) . \quad (5.49)$$

Queste nuove ampiezze hanno origine dalle altre possibili scelte di base dei caratteri compatibili con la proiezione GSO del toro, ovvero

$$(O_8, V_8, S_8, C_8), (-O_8, V_8, -S_8, C_8), (-O_8, V_8, S_8, -C_8)$$

dove si vede che le ultime due sono equivalenti a meno di una trasformazione di parità. Queste ampiezze comportano diverse scelte per la simmetrizzazione o antisimmetrizzazione dei vari settori. In particolare \mathcal{K}''_{0B} rimuove dallo spettro chiuso il tachione e la due-forma $B_{\mu\nu}$ di NS-NS, e da' luogo ad uno

spettro chiuso *chirale* che comprende una quattro-forma autoduale $D_{\mu\nu\rho\sigma}^+$ [108, 110, 109].

Le corrispondenti ampiezze di bottiglia di Klein nel canale trasverso

$$\tilde{\mathcal{K}}'_{0B} = \frac{2^6}{2} O_8 , \quad (5.50)$$

$$\tilde{\mathcal{K}}''_{0B} = -\frac{2^6}{2} C_8 , \quad (5.51)$$

sono caratterizzate da espressioni particolarmente semplici, e la presenza di C_8 in (5.51) implica per questo modello la presenza di un *tadpole* di R-R. Le corrispondenti ampiezze di anello \mathcal{A} e di Möbius \mathcal{M} nel canale diretto possono essere ottenute semplicemente “fondendo” i vari termini di \mathcal{A}_{0B} ed \mathcal{M}_{0B} con O_8 e $-C_8$ rispettivamente. Per il primo modello si ottiene quindi

$$\begin{aligned} \mathcal{A}'_{0B} &= \frac{n_o^2 + n_v^2 + n_s^2 + n_c^2}{2} O_8 + (n_o n_v + n_s n_c) V_8 \\ &- (n_v n_s + n_o n_c) C_8 - (n_v n_c + n_o n_s) S_8 , \end{aligned} \quad (5.52)$$

e

$$\mathcal{M}'_{0B} = \pm \frac{1}{2} (n_o + n_v - n_s - n_c) \hat{O}_8 . \quad (5.53)$$

Le corrispondenti ampiezze nel canale trasverso sono :

$$\begin{aligned} \tilde{\mathcal{A}}'_{0B} &= \frac{2^{-6}}{2} [(n_o + n_v + n_s + n_c)^2 V_8 + (n_o + n_v - n_s - n_c)^2 O_8 \\ &+ (n_o - n_v + n_s - n_c)^2 C_8 + (n_o - n_v - n_s + n_c)^2 S_8] , \end{aligned} \quad (5.54)$$

e

$$\tilde{\mathcal{M}}'_{0B} = \pm \frac{2}{2} (n_o + n_v - n_s - n_c) \hat{O}_8 , \quad (5.55)$$

dove l'indeterminazione nel segno di \mathcal{M} è dovuta all'assenza di una condizione di *tadpole* per il tachione.

Dalla forma delle ampiezze nel canale diretto (ed in particolare dall'espressione dei coefficienti di V_8) si può dedurre che il gruppo di gauge per questa classe di modelli deve essere unitario, e le cariche (“complesse”) andranno reinterpretate come segue: $n_o = n$, $n_v = \bar{n}$, $n_s = m$, $n_c = \bar{m}$. Quindi la

(5.52) e la (5.53) assumono la forma

$$\begin{aligned} \mathcal{A}'_{0B} &= \frac{1}{2}(n^2 + \bar{n}^2 + m^2 + \bar{m}^2) O_8 + (n\bar{n} + m\bar{m}) V_8 \\ &- (\bar{n}m + n\bar{m}) C_8 - (nm + \bar{n}\bar{m}) S_8 , \end{aligned} \quad (5.56)$$

e

$$\mathcal{M}'_{0B} = \pm \frac{1}{2}(n + \bar{n} - m - \bar{m}) \hat{O}_8 . \quad (5.57)$$

Le condizioni di *tadpole*, da V_8 , C_8 ed S_8 , richiedono che $n = m$, ma lasciano indeterminata la dimensione del gruppo di gauge. Lo spettro aperto che si ottiene è chirale e, a parte i bosoni di gauge di $U(n) \times U(m)$, le prime eccitazioni comprendono tachioni nella rappresentazione (anti)simmetrica e fermioni chirali in diverse rappresentazioni bi-fondamentali.

In conclusione passiamo al modello descritto da $\tilde{\mathcal{K}}''_{0B}$, le cui ampiezze di anello e di Möbius nel canale diretto sono

$$\begin{aligned} \mathcal{A}''_{0B} &= -\frac{n_o^2 + n_v^2 + n_s^2 + n_c^2}{2} C_8 - (n_o n_v + n_s n_c) S_8 \\ &+ (n_v n_s + n_o n_c) V_8 + (n_v n_c + n_o n_s) O_8 , \end{aligned} \quad (5.58)$$

e

$$\mathcal{M}''_{0B} = \frac{1}{2}(n_o - n_v - n_s + n_c) \hat{C}_8 . \quad (5.59)$$

Le corrispondenti ampiezze nel canale trasverso sono quindi

$$\begin{aligned} \tilde{\mathcal{A}}''_{0B} &= \frac{2^{-6}}{2} [(n_o + n_v + n_s + n_c)^2 V_8 - (n_o + n_v - n_s - n_c)^2 O_8 \\ &+ (n_o - n_v - n_s + n_c)^2 C_8 + (n_o - n_v + n_s - n_c)^2 S_8] , \end{aligned} \quad (5.60)$$

$$\tilde{\mathcal{M}}''_{0B} = \frac{2}{2}(n_o - n_v - n_s + n_c) \hat{C}_8 . \quad (5.61)$$

Osservando l'espressione per $\tilde{\mathcal{A}}''_{0B}$, si può notare che i settori O_8 ed S_8 compaiono in essa con segni che non rispettano la relazione tra spin e statistica e che rendono $\tilde{\mathcal{A}}''_{0B}$ non compatibile con la condizione di positività dei coefficienti di riflessione dell'ampiezza nel canale trasverso. La consistenza di $\tilde{\mathcal{A}}''_{0B}$ può essere ripristinata imponendo che i coefficienti dei settori O_8 ed S_8 siano numericamente nulli, ovvero:

$$n_o + n_v = n_s + n_c ,$$

$$n_o - n_v = n_c - n_s ,$$

o, equivalentemente :

$$\begin{aligned} n_o &= n_c , \\ n_v &= n_s . \end{aligned} \tag{5.62}$$

D'altra parte, come per la classe di modelli precedenti, dalla forma delle ampiezze nel canale diretto si deduce che le cariche $n_i (i = o, v, s, c)$ devono essere reinterpretate in termini dei gruppi unitari, consistentemente con la condizione (5.62). Quindi ponendo $n_v = n$, $n_s = \bar{n}$, $n_o = m$, $n_c = \bar{m}$, la (5.62) diviene :

$$\begin{aligned} m &= \bar{m} , \\ n &= \bar{n} , \end{aligned}$$

ed è quindi identicamente soddisfatta.

Lo spettro aperto, descritto da

$$\begin{aligned} \mathcal{A}''_{0B} &= -\frac{n^2 + \bar{n}^2 + m^2 + \bar{m}^2}{2} C_8 + (n\bar{n} + m\bar{m}) V_8 \\ &+ (n\bar{m} + m\bar{n}) O_8 - (mn + \bar{m}\bar{n}) S_8 , \end{aligned} \tag{5.63}$$

$$\mathcal{M}''_{0B} = \frac{m + \bar{m} - n - \bar{n}}{2} \hat{C}_8 , \tag{5.64}$$

è soggetto alla condizione di *tadpole* relativa al settore di R-R C_8

$$m - n = 32 ,$$

che assicura la cancellazione di anomalie di gauge e gravitazionali; tuttavia non è possibile annullare il *tadpole* del dilatone, e pertanto la dimensione del gruppo di gauge risulta indeterminata. La scelta $n = \bar{n} = 0$ è però l'unica che dà luogo ad uno spettro privo di tachioni sia nel settore chiuso che in quello aperto, e seleziona il gruppo di gauge $U(32)$.

Prima di addentrarci nello studio dei discendenti aperti di modelli più complessi, è istruttivo iniziare da un semplice esempio, legato alla compattificazione a nove dimensioni della superstringa di Tipo I. Questo fornirà anche l'occasione per introdurre i concetti di *D-brana* e di *O(rientifold)-plane* [53, 111].

La funzione di partizione di toro per la superstringa di Tipo IIB compat-
tificata su un toro T^k si scrive

$$\mathcal{T}_{IIB}^{TK} = \int_{\mathcal{F}} \frac{d^2\tau}{\tau_2^{\frac{D-2}{2}+1}} \frac{|V_8 - S_8|^2(\tau)}{(\eta(\tau)\bar{\eta}(\bar{\tau}))^{D-k-2}} \frac{\sum_{(p_L, p_R)} q^{\frac{\alpha'}{2}p_L^2} \bar{q}^{\frac{\alpha'}{2}p_R^2}}{(\eta(\tau)\bar{\eta}(\bar{\tau}))^k} \quad (5.65)$$

dove ricordiamo che:

$$\begin{aligned} \vec{p}_L &= \frac{1}{\sqrt{\alpha'}}(\alpha'\vec{p} + \vec{w}), \\ \vec{p}_R &= \frac{1}{\sqrt{\alpha'}}(\alpha'\vec{p} - \vec{w}), \end{aligned}$$

e $q = e^{2\pi i\tau}$. Lo spettro chiuso proiettato si ottiene al solito dall'ampiezza di
bottiglia di Klein nel canale diretto. La struttura degli operatori di vertice
su un toro mostra che in \mathcal{K} possono fluire solamente gli stati caratterizzati
da $p_L = p_R$, ovvero gli stati con vettore di *winding* nullo ($n = 0$), gli unici
mappati da Ω in sé stessi. Considerando quindi il caso unidimensionale,
 $k = 1$, le ampiezza di toro e di bottiglia di Klein assumono la forma

$$\mathcal{T} = |V_8 - S_8|^2(\tau) \frac{\sum_{(m,n)} q^{\frac{\alpha'}{2}p_L^2} \bar{q}^{\frac{\alpha'}{2}p_R^2}}{(\eta(q)\bar{\eta}(\bar{q}))}, \quad (5.66)$$

$$\mathcal{K} = \frac{1}{2}(V_8 - S_8)(2i\tau_2) \frac{\sum_{m \in \mathbb{Z}} q^{\frac{\alpha' m^2}{2R^2}}}{\eta(q^2)}, \quad (5.67)$$

dove abbiamo lasciato impliciti sia i contributi bosonici che quelli della misura
d'integrazione. Inoltre, al solito, in eq. (5.67) $q = e^{-2\pi\tau_2}$.

Il passaggio al canale trasverso richiede una ridefinizione della variabile
($t = 2\tau_2$), una trasformazione S ($t \rightarrow 1/l$) ed una risommazione di Poisson:

$$\sum_{m=-\infty}^{\infty} e^{-\pi\alpha^2 m^2} = \frac{1}{\alpha'} \sum_{k=-\infty}^{\infty} e^{-\pi k^2/\alpha^2}, \quad (5.68)$$

e pertanto

$$\tilde{\mathcal{K}} = \frac{2^5}{2} \frac{R}{\sqrt{\alpha'}} (V_8 - S_8)(il) \sum_{n \in \mathbb{Z}} \frac{\sum_{n \in \mathbb{Z}} q^{\frac{n^2 R^2}{\alpha'}}}{\eta(il)}. \quad (5.69)$$

Da quest'ultima espressione emerge, per confronto con la successiva espres-
sione per $\tilde{\mathcal{A}}$, che attraverso un crosscap possono fluire in questo caso, solo

i settori chiusi con *windings* pari, in quanto $q^{\frac{n^2 R^2}{\alpha'}}$ può essere interpretato come $e^{-\frac{\pi l}{2\alpha'}(2n)^2 R^2}$. Si noti inoltre che in $\tilde{\mathcal{K}}$ compare il volume del toro unidimensionale $\frac{R}{\sqrt{\alpha'}}$.

Per ottenere il settore aperto, come al solito è conveniente partire dall'ampiezza di anello nel canale trasverso, $\tilde{\mathcal{A}}$. In questo caso la condizione al bordo di Neumann assicura che non ci sia impulso nel tubo, ovvero: $\vec{p}_L + \vec{p}_R = 0$. Quindi

$$\tilde{\mathcal{A}} = \frac{2^{-5}}{2} N^2 \frac{R}{\sqrt{\alpha'}} (V_8 - S_8) (il) \frac{\sum_{n \in \mathbb{Z}} (e^{-2\pi l})^{\frac{n^2 R^2}{4\alpha'}}}{\eta(il)}, \quad (5.70)$$

da cui con procedimento analogo al precedente, si ricava

$$\mathcal{A} = \frac{N^2}{2} (V_8 - S_8) (i \frac{\tau_2}{2}) \frac{\sum_{m \in \mathbb{Z}} q^{\frac{\alpha' m^2}{2R^2}}}{\eta(\sqrt{q})}. \quad (5.71)$$

Si noti come eq. (5.71) sia esattamente consistente con la scala delle eccitazioni di momento nel settore aperto. Infine, l'ampiezza di Möbius nel canale trasverso è

$$\tilde{\mathcal{M}} = -2 \frac{N}{2} \frac{R}{\sqrt{\alpha'}} (\hat{V}_8 - \hat{S}_8) (il + i \frac{\tau_2}{2}) \frac{\sum_{n \in \mathbb{Z}} (e^{-2\pi l})^{\frac{n^2 R^2}{\alpha'}}}{\eta(il + 1/2)}, \quad (5.72)$$

e nel canale diretto diventa

$$\mathcal{M} = -\frac{N}{2} (\hat{V}_8 - \hat{S}_8) (\frac{1}{2} + i \frac{\tau_2}{2}) \frac{\sum_{m \in \mathbb{Z}} q^{\frac{\alpha' m^2}{2R^2}}}{\hat{\eta}(-\sqrt{q})}. \quad (5.73)$$

Anche per questo modello la condizione di *tadpole* fissa $N = 32$.

Si osservi come, a differenza della stringa eterotica, lo spettro di questa teoria non sia invariante sotto T-dualità. Ricordiamo a tal fine che per $R \leftrightarrow \frac{\alpha'}{R}$ gli impulsi quantizzati $\frac{m}{R}$ si trasformano in *windings* $\frac{nR}{\alpha'}$, e quindi $Tp_L = p_L$ e $Tp_R = -p_R$; o anche: $TX_L = X_L$ e $TX_R = -X_R$, da cui si deduce che T è un'operazione di parità "asimmetrica" sul *world-sheet*, nel senso che essa agisce solo sui modi destri. Il comportamento "non simmetrico" delle coordinate interne di stringa sotto T-dualità ha delle implicazioni anche sulle condizioni ai bordi [54, 112]. Infatti l'usuale condizione al bordo di Neumann, che essenzialmente associa il settore di stringa aperta ad

$X_L + X_R$, viene trasformata dalla T-dualità, in condizione di Dirichlet per il settore aperto corrispondente ad $X_L - X_R$. In altri termini, la T-dualità scambia le variabili del *world-sheet* σ e τ , e quindi scambia le derivate normali $\partial_n = \partial_\sigma$ e tangenziali $\partial_t = \partial_\tau$ (ovvero condizionali bordi di Neumann (N) con condizioni ai bordi di Dirichlet (D)). Di conseguenza, una generica stringa aperta con condizioni al contorno di Neumann, viene collegata dalla T-dualità ad un nuovo tipo di stringa aperta, con condizioni ai bordi di Dirichlet. Questa situazione ha fornito la base intuitiva per l'introduzione della nozione (geometrica) delle **D-brane**, ovvero di iperpiani sui quali gli estremi (di Dirichlet) delle stringhe aperte possono terminare [55]. La T-dualità fornisce così l'interpretazione spazio-temporale dei due ingredienti di base per la descrizione della teoria non orientata sul *world-sheet*, ossia i bordi ed i crosscaps, mettendoli in corrispondenza con due tipi di oggetti estesi, le **D-brane** e gli **O(orientifold)-planes**, rispettivamente. Alla luce di quanto appena detto, la bottiglia di Klein può essere interpretata come l'ampiezza che descrive la propagazione di una stringa chiusa che parte e termina su due O(orientifold)-planes, così come l'ampiezza di anello descrive la propagazione tra due D-brane. In realtà un'analisi più accurata mostra come le D-brane siano soluzioni solitoniche di stringa, e quindi oggetti dinamici, parte integrante delle configurazioni di vuoto di stringa aperta. In questo senso gli stati delle stringhe aperte, ed in particolare gli stati privi di massa, sono interpretati come fluttuazioni delle D-brane. Viceversa nella teoria perturbativa di stringa gli O-planes non sono dinamici, cioè non esistono modi di stringa legati alle loro fluttuazioni.

Si definiscono D_p - brane le ipersuperfici su cui terminano le stringhe aperte tali che $(p + 1)$ delle coordinate hanno condizioni al bordo di Neumann, X^α con $\alpha = 0, \dots, p$ (tangenti al volume d'universo) e con $(d - 9 - p)$ coordinate con condizioni al bordo di Dirichlet, X^m , con $m = p, \dots, d$ (normali al volume d'universo). Poiché la T-dualità scambia condizioni ai bordi di Neumann con condizioni ai bordi di Dirichlet, essa agisce sulle D-brane alterandone la dimensionalità; in particolare, pensando alle stringhe di Neu-

mann come a stringhe aperte che terminano su D9-brane, cioè su oggetti che invadono l'intero spazio-tempo a 10 dimensioni, una T-dualità lungo una qualunque delle coordinate le trasforma in D8-brane. Quindi, in generale, la T-dualità fa aumentare o diminuire la dimensione di una D-brana a seconda che essa agisca lungo una direzione ortogonale o parallela ad essa. In definitiva:

agendo con T lungo una direzione tangente (N) alla D_p -brana : $D_p \rightarrow D_{p-1}$,

agendo con T lungo una direzione normale (D) alla D_p -brana : $D_p \rightarrow D_{p+1}$.

Una delle caratteristiche chiave delle D-brane e degli O-planes è che essi sono le cariche elementari (le sorgenti elettriche) dei campi di R-R [53]. Quindi, più precisamente, una D-brana (D) è tale se possiede carica di R-R positiva, mentre se la sua carica di R-R è negativa è detta **anti**-D-brana (\bar{D}). Ovviamente un discorso analogo può essere fatto per gli O-planes. Non è difficile dimostrare come l'accoppiamento di una D-brana al corrispondente campo di Neveu-Schwarz sia proporzionale alla sua tensione, ma, mentre per le D-brane la tensione è sempre positiva, per gli O-planes essa può essere anche negativa. Di conseguenza gli orientifold-planes si presentano in due ulteriori varietà rispetto alle D-brane, come riportato nella tabella (5.1). Abbiamo

	O_+	O_-	\bar{O}_+	\bar{O}_-	D	\bar{D}
carica	-	+	+	-	+	-
tensione	-	+	-	+	+	+

Table 5.1: Carica e tensione delle D-brane e degli O-piani

visto che tutte le teorie di (super)stringa consistenti a 10 dimensioni, eccetto l'eterotica, contengono nel loro spettro tensori antisimmetrici provenienti dal settore di R-R. Per la teoria di Tipo IIA sono consentite solo D_p - brane supersimmetriche (BPS) con p pari ($p = 0, 2, 4, 6, 8$), in quanto i corrispondenti tensori hanno un numero dispari di indici, mentre per la Tipo IIB, i cui tensori hanno numeri pari di indici, sono consentite solo D_p - brane con

p dispari ($p = -1, 1, 3, 5, 7, 9$). Infine la teoria di Tipo I ammette solo D9 e D5 brane, a meno di T-dualità, le uniche consistenti con la proiezione Ω . Un altro aspetto particolarmente interessante delle D-brane, sul quale vogliamo soffermarci, è come esse forniscano un'interpretazione alternativa della rottura della simmetria di Chan-Paton. Per cominciare possiamo considerare il caso di stringhe aperte orientate, che corrispondono al gruppo di Chan-Paton $U(n)$. Compattificando una dimensione è possibile includere una linea di Wilson $W = e^{\int_{\partial\Sigma} A_i dx^i}$, con un campo di gauge interno A_i abeliano e costante sul bordo. Un primo effetto della linea di Wilson è quello di produrre una ridefinizione dell'impulso, a causa dell'accoppiamento minimale che altera i livelli energetici (e questo è avvertibile solo se p è quantizzato, ovvero in una varietà interna compatta). Ad esempio, per la stringa bosonica con un'alinea di Wilson a $\sigma = 0$, si ha:

$$S = -\frac{T}{2} \int_{\Sigma} d^2\xi (\dot{X}^2 - X'^2) + q \int d\tau A_i \dot{x}^i|_{\sigma=0}.$$

Quindi, l'introduzione di una linea di Wilson costante sui bordi è equivalente ad uno *shift* negli impulsi degli stati di stringa aperta, perché il momento coniugato diventa

$$\Pi_i = T\dot{X}_i + qA_i\delta(\sigma).$$

Questo ha come conseguenza che nella teoria T-duale, dove il *winding* sostituisce l'impulso, gli estremi dei campi non appariranno piú allo stesso iperpiano, quindi, data una stringa ai cui estremi siano associati i gradi di libertà di Chan-Paton $|i, j\rangle$ ($i, j = 1, \dots, N$), l'estremo nello stato i , a meno di una costante additiva, si troverà nella posizione della corrispondente D-brana (le cui coordinate sono gli autovalori del campo di gauge A_i moltiplicati per $2\pi\alpha'$). Di conseguenza si avranno, in generale, ipersuperfici in differenti posizioni, ovvero differenti D-brane. In conclusione, nella teoria duale, se le N D-brane non coincidono, $U(N)$ viene rotto ad $U(1)^N$ (esiste un vettore di gauge a massa nulla per ogni $U(1)$), con stringhe aperte che si distendono tra queste superfici; se k D-brane coincidono, allora nella teoria di partenza la linea di Wilson lascerà un sottogruppo $U(k)$ non rotto (la simmetria verrà

estesa); se, infine, le N D-brane coincidono, il gruppo di gauge $U(N)$ verrà ripristinato. In presenza di Ω questi gruppi divengono tipicamente $O(N)$, come vedremo dalla discussione che segue.

È istruttivo considerare un semplice esempio, che è una generalizzazione del modello toroidale descritto dalle equazioni (5.71) ed (5.73), dove l'inclusione di linee di Wilson rompe $SO(32)$ a $U(M) \times SO(N)$ con $N + 2M = 32$ [113]. Le linee di Wilson alterano i livelli energetici a causa dell'accoppiamento minimale e della quantizzazione degli impulsi, e quindi in questo caso la ampiezza di anello e di striscia di Möbius diventano

$$\begin{aligned} \mathcal{A} = & (V_8 - S_8)(\sqrt{q}) \sum_{m \in Z} \left[\left(M\bar{M} + \frac{N^2}{2} \right) \frac{q^{\alpha' m^2 / 2R^2}}{\eta(\sqrt{q})} \right. \\ & + MN \frac{q^{\alpha' (m+a)^2 / 2R^2}}{\eta(\sqrt{q})} + \bar{M}N \frac{q^{\alpha' (m-a)^2 / 2R^2}}{\eta(\sqrt{q})} \\ & \left. + \frac{1}{2} M^2 \frac{q^{\alpha' (m+2a)^2 / 2R^2}}{\eta(\sqrt{q})} + \frac{1}{2} \bar{M}^2 \frac{q^{\alpha' (m-2a)^2 / 2R^2}}{\eta(\sqrt{q})} \right], \end{aligned} \quad (5.74)$$

$$\begin{aligned} \mathcal{M} = & -(\hat{V}_8 - \hat{S}_8)(-\sqrt{q}) \sum_{m \in Z} \left[\frac{1}{2} N \frac{q^{\alpha' m^2 / 2R^2}}{\hat{\eta}(-\sqrt{q})} \right. \\ & \left. + \frac{1}{2} M \frac{q^{\alpha' (m+2a)^2 / 2R^2}}{\hat{\eta}(-\sqrt{q})} + \frac{1}{2} \bar{M} \frac{q^{\alpha' (m-2a)^2 / 2R^2}}{\hat{\eta}(-\sqrt{q})} \right]. \end{aligned} \quad (5.75)$$

Le 32 cariche nella rappresentazione fondamentale di $SO(32)$ vengono scisse in tre insiemi: i primi due comprendono M cariche ciascuno, e nel primo insieme il numero quantico dell'impulso m viene traslato a $m + a$, mentre nel secondo è traslato a $m - a$. Infine, nell'ultimo insieme l'impulso rimane inalterato. Si noti come il contributo di \mathcal{M} sia associato solamente ai termini di \mathcal{A} con cariche identiche, ma i corrispondenti *shifts* negli impulsi appaiono raddoppiati, poiché il bordo della striscia di Möbius ha lunghezza doppia rispetto ai due bordi dell'anello.

Il passaggio al canale trasverso rende piú limpida la struttura di questa deformazione. Le ampiezze corrispondenti sono

$$\tilde{\mathcal{A}} = \frac{2^{-5}}{2} \frac{R}{\sqrt{\alpha'}} (V_8 - S_8)(il) \left[\sum_{n \in Z} \frac{q^{\frac{n^2 R^2}{4\alpha'}}}{\eta(il)} (N + M e^{2\pi i a n} + \bar{M} e^{-2\pi i a n})^2 \right], \quad (5.76)$$

$$\tilde{\mathcal{M}} = -\frac{2}{2} \frac{R}{\sqrt{\alpha'}} (\hat{V}_8 - \hat{S}_8) (il + \frac{1}{2}) \left[\sum_{n \in \mathbb{Z}} \frac{q^{\frac{n^2 R^2}{\alpha'}}}{\hat{\eta}(il + \frac{1}{2})} (N + M e^{4\pi i a n} + \bar{M} e^{-4\pi i a n}) \right], \quad (5.77)$$

dove le fasi che moltiplicano le cariche M ed \bar{M} sono associate alle linee di Wilson delle componenti interne dei vettori di gauge. Osserviamo che se a è un intero si ottiene il gruppo $SO(32)$, ma se $a = \frac{1}{2}$ le cariche M ed \bar{M} hanno gli stessi coefficienti di riflessione in $\tilde{\mathcal{A}}$ ed $\tilde{\mathcal{M}}$ e quindi \mathcal{A} ed \mathcal{M} contengono la loro somma. Di conseguenza anche in questo caso si ha un allargamento (o un parziale ripristino) del gruppo di simmetria da $U(M)$ ad $SO(2M) \times SO(32 - M)$.

Effettuando un'operazione di T-dualità, che trasforma le traslazioni nello spazio degli impulsi in traslazioni nello spazio delle coordinate (duali), la rottura della simmetria può essere pensata in termini di “spostamenti” delle D-brane [55]. A tal fine consideriamo la figura (5.5).

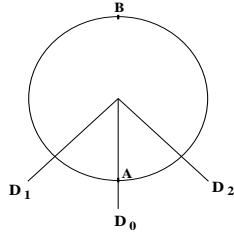


Figura 5.5: “Spostamenti” di D-brane

Dopo una trasformazione di T-dualità nella dimensione compatta, la stringa aperta vive su un segmento S^1/Z_2 , con ai due estremi una coppia di O8-planes (che giacciono quindi sui due punti fissi di S^1/Z_2). Nell'ambito di questa descrizione, la rottura della simmetria in (5.74) e (5.75) coinvolge stringhe aperte che si allungano tra una D8-brana (D_0) posta nel punto A del cerchio, ed un'ulteriore coppia di D8-brane (D_1, D_2) situate in due punti immagine simmetrici rispetto alla precedente. Il risultato appena illustrato può quindi essere riprodotto in questo contesto, “muovendo” le brane da un punto fisso ad un punto nella regione interna della circonferenza, e da qui al secondo punto fisso. In altri termini, l'allargamento del gruppo di gauge ha

luogo quando D_1 e D_2 si incontrano in B, mentre il completo ripristino di $SO(32)$ si ottiene quando D_0 , D_1 e D_2 si trovano tutte in A.

Passiamo ora a descrivere la compattificazione della teoria di Tipo IIB su tori di dimensione maggiore di uno ed i corrispondenti vuoti di tipo I. Questo tipo di analisi permette di descrivere una particolare deformazione discreta, legata alla due-forma B_{ab} del settore di NS-NS [113]. Ricordiamo che lo spettro della superstringa di Tipo I non contiene il tensore antisimmetrico $B_{\mu\nu}$, che viene rimosso dalla proiezione di bottiglia di Klein. Ciononostante è possibile introdurre dei campi di *background* B_{ab} (quantizzati), compatibilmente con la simmetria della teoria di Tipo IIB sotto lo scambio dei modi destri e sinistri, e studiare così le proprietà dei rispettivi discendenti aperti. Vedremo che la presenza di *backgrounds* di questo genere implica una riduzione del rango del corrispondente gruppo di Chan-Paton.

Per tori k -dimensionali, che non siano il prodotto di k cerchi, i momenti destri e sinistri della teoria chiusa di partenza possono essere espressi nel modo seguente:

$$p_{L,a} = m_a + \frac{1}{\alpha'}(g_{ab} - B_{ab})n^b, \quad (5.78)$$

$$p_{R,a} = m_a - \frac{1}{\alpha'}(g_{ab} + B_{ab})n^b, \quad (5.79)$$

dove la metrica g_{ab} descrive la dimensione e la forma del toro interno. Riscalando gli impulsi (5.78) e (5.79) con un vielbein inverso, l'ampiezza di toro può essere espressa in modo da contenere solo la metrica interna, ovvero

$$\mathcal{T} = |V_8 - S_8|^2 \sum_{(m,n)} \frac{q^{\frac{\alpha'}{4} p_L^T g^{-1} p_L} \bar{q}^{\frac{\alpha'}{4} p_R^T g^{-1} p_R}}{|\eta(q)|^{2k}}.$$

Abbiamo visto che l'ingrediente alla base della costruzione dei discendenti aperti è la simmetria, della teoria di partenza, sotto lo scambio dei modi destri e sinistri. Per questo tipo di compattificazione, la simmetria del *world-sheet* si manifesta per valori generici della metrica g_{ab} solo su quei tori per i quali, dato un certo $p_{L,a}$, esista un corrispondente $p'_{R,a}$ tale che

$$p_{L,a} = p'_{R,a}.$$

Questa condizione si traduce in un vincolo sul tensore B_{ab} , in quanto implica che $\frac{2}{\alpha'} B_{ab} \in Z$, ovvero che B_{ab} sia *quantizzato* nelle unità appropriate.

Una volta imposta la simmetria richiesta per la teoria di stringa chiusa di partenza, si può procedere al calcolo dei discendenti aperti, cominciando, al solito, dall'ampiezza di bottiglia di Klein (che in questo caso non viene alterata)

$$\mathcal{K} = \frac{1}{2}(V_8 - S_8)(q^2) \sum_m \frac{q^{\frac{\alpha'}{2} m^T g^{-1} m}}{\eta^k(q^2)} , \quad (5.80)$$

per cui la corrispondente ampiezza nel canale trasverso è

$$\tilde{\mathcal{K}} = \frac{2^5}{2} \sqrt{\det\left(\frac{g}{\alpha'}\right)} (V_8 - S_8)(il) \sum_n \frac{q^{\frac{1}{\alpha'} n^T g n}}{\eta^k(il)} . \quad (5.81)$$

L'ampiezza di anello nel canale trasverso \mathcal{A} può contenere solo gli stati accoppiati ai loro coniugati, ossia gli stati per i quali

$$p_{L,a} = -p_{R,a} .$$

Questa condizione richiede che

$$\frac{2}{\alpha'} B_{ab} n^b = 2m_a . \quad (5.82)$$

Data la condizione di quantizzazione sul campo B_{ab} , la (5.82) diviene un vincolo per n^b , $\frac{2}{\alpha'} B_{ab} n^b \in 2Z$, del quale si tiene conto introducendo un opportuno proiettore nell'ampiezza $\tilde{\mathcal{A}}$, che assume così la forma

$$\tilde{\mathcal{A}} = \frac{2^{r-k-5}}{2} N^2 \sqrt{\det\left(\frac{g}{\alpha'}\right)} (V_8 - S_8)(il) \sum_{\epsilon=0,1} \sum_m \frac{q^{\frac{1}{4\alpha'} n^T g n} e^{\frac{2\pi i}{\alpha'} n^T B \epsilon}}{\eta^k(il)} . \quad (5.83)$$

r è il rango di B e la sua presenza in $\tilde{\mathcal{A}}$ assicura la corretta normalizzazione di \mathcal{A} . Come al solito l'ampiezza di anello nel canale diretto si ottiene mediante la trasformazione modulare S

$$\mathcal{A} = \frac{2^{r-k}}{2} N^2 (V_8 - S_8)(\sqrt{q}) \sum_{\epsilon=0,1} \sum_m \frac{q^{\frac{\alpha'}{2} (m + \frac{1}{\alpha'} B \epsilon)^T g^{-1} (m + \frac{1}{\alpha'} B \epsilon)}}{\eta^k(\sqrt{q})} , \quad (5.84)$$

e di nuovo la presenza di r garantisce che i vettori a massa nulla abbiano precisamente molteplicità di Chan-Paton pari ad N . La proiezione del settore

aperto viene completata dall'ampiezza di striscia di Möbius, che nel canale trasverso assume la forma

$$\tilde{\mathcal{M}} = -\frac{2}{2} 2^{r/2-k/2} N \sqrt{\det\left(\frac{g}{\alpha'}\right)} (\hat{V}_8 - \hat{S}_8) \left(il + \frac{1}{2}\right) \sum_{\epsilon=0,1} \sum_n \frac{q^{\frac{1}{\alpha'} n^T g n} e^{\frac{2\pi i}{\alpha'} n^T B \epsilon}}{\hat{\eta}^k\left(il + \frac{1}{2}\right)} \gamma_\epsilon, \quad (5.85)$$

e mediante una trasformazione modulare P :

$$\mathcal{M} = -\frac{2^{r/2-k/2}}{2} N (\hat{V}_8 - \hat{S}_8) (-\sqrt{q}) \sum_{\epsilon=0,1} \sum_m \frac{q^{\frac{\alpha'}{2} (m + \frac{1}{\alpha'} B \epsilon)^T g^{-1} (m + \frac{1}{\alpha'} B \epsilon)}}{\hat{\eta}^k(-\sqrt{q})} \gamma_\epsilon. \quad (5.86)$$

Osserviamo subito come l'ampiezza di striscia di Möbius presenti una nuova sottigliezza legata alla presenza di ulteriori segni γ_ϵ , necessari per garantire la corretta normalizzazione nel canale diretto. L'ultimo passo nella costruzione dei discendenti aperti consiste nell'imporre la cancellazione dei *tadpole* degli stati a massa nulla non fisici che fluiscono nel canale trasverso. In questo caso la condizione di *tadpole* è

$$\frac{2^5}{2} + \frac{2^{r-5}}{2} N^2 + 2 \frac{2^{r/2-k/2}}{2} N \sum_{\epsilon=0,1} \gamma_\epsilon = 0,$$

che si può scrivere come un quadrato perfetto solo se

$$\sum_{\epsilon=0,1} \gamma_\epsilon = 2^{k/2},$$

e conduce al risultato

$$N = 2^{5-r/2}.$$

Si noti che i segni γ_ϵ non sono tutti positivi. Questo fatto ha importanti conseguenze, ed in particolare consente di passare con continuità da gruppi ortogonali $O(n)$ a gruppi $USp(n)$.

Come anticipato, il gruppo di gauge risultante ha in generale un rango minore rispetto al caso senza B_{ab} . Si vede inoltre come, se la matrice antisimmetrica B_{ab} ha rango r (necessariamente pari), esistono $2^{r/2}$ "immagini" dello spettro aperto che condividono la carica di Chan-Paton.

5.5 Modelli in sei dimensioni

Vogliamo ora trattare la costruzione di due classi di modelli in sei dimensioni, discendenti dell'orbifold T^4/Z_2 della teoria di Tipo IIB. Per far questo è opportuno introdurre le combinazioni di supercaratteri di $SO(4)$

$$\begin{aligned} Q_o &= V_4 O_4 - C_4 C_4 \quad , \quad Q_v = O_4 V_4 - S_4 S_4, \\ Q_s &= O_4 C_4 - S_4 O_4 \quad , \quad Q_c = V_4 S_4 - C_4 V_4 \quad , \end{aligned} \quad (5.87)$$

definiti da

$$O_4 = \frac{\vartheta_3^2 + \vartheta_4^2}{2\eta^2} \quad , \quad V_4 = \frac{\vartheta_3^2 - \vartheta_4^2}{2\eta^2} \quad , \quad S_4 = \frac{\vartheta_2^2 - \vartheta_1^2}{2\eta^2} \quad , \quad C_4 = \frac{\vartheta_2^2 + \vartheta_1^2}{2\eta^2} \quad . \quad (5.88)$$

Questi ci consentono di porre la funzione di partizione di toro (comune ai due modelli) nella forma

$$\begin{aligned} \mathcal{T} &= \frac{1}{2} |Q_o + Q_v|^2 \Lambda_4 + \frac{1}{2} |Q_o - Q_v|^2 \left| \frac{2\eta}{\theta_2} \right|^4 \\ &+ \frac{1}{2} |Q_s + Q_c|^2 \left| \frac{2\eta}{\theta_4} \right|^4 + \frac{1}{2} |Q_s - Q_c|^2 \left| \frac{2\eta}{\theta_3} \right|^4 \quad , \end{aligned} \quad (5.89)$$

dove al solito sono stati omissi i contributi dei bosoni trasversi e la misura d'integrazione, mentre Λ_4 rappresenta il reticolo di compattificazione.

Come abbiamo visto, la formulazione perturbativa della teoria di Tipo I si fonda sull'invarianza modulare dello spettro di stringa chiusa, e su alcune condizioni che legano la bottiglia di Klein al settore aperto e non orientato. A queste occorre aggiungere le condizioni di *tadpole* di R-R, connesse con la cancellazione delle anomalie, che possono essere pensate come condizioni di neutralità globale per le cariche di R-R nello spazio compatto interno. La cancellazione dei *tadpole* deriva da contributi opposti di bordi e *crosscaps*, o, nel linguaggio spazio-temporale, di brane ed *orientifolds*. È possibile costruire modelli dove alcuni dei contributi di *orientifold* sono invertiti, e quindi la cancellazione dei *tadpole* di R-R non può essere imposta nella maniera usuale. Per tener conto di questa possibilità scriviamo l'ampiezza di bottiglia di Klein

$$\mathcal{K} = \frac{1}{4} \left[(Q_o + Q_v)(P_4 + W_4) + 2\epsilon \times 16(Q_s + Q_c) \left(\frac{\eta}{\theta_4} \right)^2 \right] \quad , \quad (5.90)$$

dove $\epsilon = \pm 1$ è il fattore che discrimina tra i due tipi di modelli, mentre P_4 e W_4 sono le somme reticolari ristrette rispettivamente a *windings* ed impulsi nulli.

Per entrambe le scelte di ϵ , lo spettro di stringa chiusa ha supersimmetria $N = (1, 0)$, ma le proiezioni che ne derivano sono profondamente diverse:

- per $\epsilon = +1$, lo spettro chiuso consiste di un multipletto gravitazionale ($1G = g_{\mu\nu}, 2\psi_{\mu,L}, 5B_{\mu\nu}^+$), un multipletto tensoriale ($1T = B_{\mu\nu}^-, \chi_R, \phi$), e 20 ipermultipli ($1H = \psi_R, 4\phi$). Il modello corrispondente è noto come **modello $U(16) \times U(16)$** [111, 118].
- per $\epsilon = -1$, tutti i contributi del settore *twisted* vengono invertiti, e lo spettro chiuso non orientato che ne risulta contiene, oltre al multipletto gravitazionale, 17 multipli tensoriali e 4 ipermultipli. Il modello corrispondente esibisce un nuovo fenomeno, noto come **Brane Supersymmetry Breaking (BSB)** [64].

Dopo una trasformazione modulare S si ottiene l'ampiezza di bottiglia di Klein nel canale trasverso

$$\tilde{\mathcal{K}} = \frac{2^5}{4} \left[(Q_o + Q_v) \left(v_4 W_4^e + \frac{P_4^e}{v_4} \right) + 2\epsilon (Q_o - Q_v) \left(\frac{2\eta}{\theta_2} \right)^2 \right], \quad (5.91)$$

dove v_4 è il volume dello spazio compatto e P_4^e (W_4^e) indica la somma reticolare ristretta ad impulsi (*windings*) pari.

È istruttivo controllare la forma assunta da $\tilde{\mathcal{K}}$ all'origine del reticolo di T^4 (dove $P_4^e = W_4^e = 1$), in quanto si verifica che i coefficienti di Q_o e Q_v si arrangiano in quadrati perfetti, anche per $\epsilon = -1$:

$$\tilde{\mathcal{K}}_0 = \frac{2^5}{4} \left[Q_o \left(\sqrt{v_4} + \frac{\epsilon}{\sqrt{v_4}} \right)^2 + Q_v \left(\sqrt{v_4} - \frac{\epsilon}{\sqrt{v_4}} \right)^2 \right]. \quad (5.92)$$

Dobbiamo ora costruire il settore aperto dei due modelli, ma per il momento concentriamoci sul caso $\epsilon = +1$. Dalla (5.89) si vede che in $\tilde{\mathcal{A}}$ possono fluire tutti i settori (sia *twisted* che *untwisted*), ma ciò che possiamo scrivere facilmente è la parte *untwisted* di $\tilde{\mathcal{A}}_0$, poiché i coefficienti di Q_o e Q_v devono

essere quadrati perfetti (descrivono la propagazione di stringhe chiuse tra due bordi). Quindi :

$$\tilde{\mathcal{A}}_0^{untw} = \frac{2^{-5}}{4} \left[Q_o \left(N\sqrt{v_4} + \frac{D}{\sqrt{v_4}} \right)^2 + Q_v \left(N\sqrt{v_4} - \frac{D}{\sqrt{v_4}} \right)^2 \right], \quad (5.93)$$

dalla quale si possono desumere immediatamente i contributi *untwisted* di $\tilde{\mathcal{A}}$ includendo le somme reticolari complete, ovvero :

$$\tilde{\mathcal{A}}^{untw} = \frac{2^{-5}}{4} \left[(Q_o + Q_v) \left(N^2 v_4 W_4 + \frac{D^2 P_4}{v_4} \right) + 2ND(Q_o - Q_v) \right]. \quad (5.94)$$

Dalla (5.94) si deduce che, nel canale trasverso, in presenza di D9-brane, stringhe che si stendono tra due bordi di tipo Neumann, corrispondono ai soli stati con impulso nullo (come si può leggere dal termine di (5.94) proporzionale ad $N^2 v_4 W_4$), mentre in presenza di D5-brane, stringhe che si allungano tra due bordi di tipo Dirichlet, corrispondono ai soli stati con avvolgimento nullo (come si può leggere dal termine di (5.94) proporzionale ad $\frac{D^2 P_4}{v_4}$). Infine, in presenza di bordi “misti” Neumann-Dirichlet, i modi di stringa non posseggono zero modi né di impulso né di avvolgimento.

Notiamo inoltre che l’assenza di settori *twisted* in $\tilde{\mathcal{K}}_0$ ed $\tilde{\mathcal{A}}_0$, fa sì che anche $\tilde{\mathcal{M}}_0$ ne sia priva. $\tilde{\mathcal{M}}_0$ è quindi caratterizzata da un’espressione del tipo

$$\tilde{\mathcal{M}}_0 = -\frac{2}{4} \left[\hat{Q}_o \left(\sqrt{v_4} + \frac{\epsilon}{\sqrt{v_4}} \right) \left(N\sqrt{v_4} + \frac{D}{\sqrt{v_4}} \right) + \hat{Q}_v \left(\sqrt{v_4} - \frac{\epsilon}{\sqrt{v_4}} \right) \left(N\sqrt{v_4} - \frac{D}{\sqrt{v_4}} \right) \right], \quad (5.95)$$

da questa, introducendo le somme reticolari, si ottiene l’ampiezza completa di striscia di Möbius nel canale trasverso

$$\tilde{\mathcal{M}} = -\frac{2}{4} \left[(\hat{Q}_o + \hat{Q}_v) \left(N v_4 W_4^e + D \frac{P_4^e}{v_4} \right) + (\hat{Q}_o - \hat{Q}_v) (N + D) \right]. \quad (5.96)$$

Le eq. (5.92), (5.93) e (5.95) permettono di ricavare la condizione di *tadpole* per questo modello,

$$\left[\sqrt{v_4} (2^5 - N) + \frac{1}{\sqrt{v_4}} (2^5 - D) \right]^2 = 0, \quad (5.97)$$

che conduce alle soluzioni

$$\begin{aligned} N &= 32, \\ D &= 32. \end{aligned} \quad (5.98)$$

Il modello è quindi consistente se sono presenti 32 D9-brane e 32 D5-brane. Per poter leggere lo spettro aperto a massa nulla della teoria, è necessario passare al canale diretto. Per quanto riguarda \mathcal{M} basta applicare alla (5.96) una trasformazione modulare P^{-1} , ottenendo così

$$\mathcal{M} = -\frac{1}{4}[(\hat{Q}_o + \hat{Q}_v)(NP_4 + DW_4) - (\hat{Q}_o - \hat{Q}_v)(N + D)] . \quad (5.99)$$

All'origine dei reticoli di T^4

$$\mathcal{M}_0 = -\frac{1}{4} \times 2\hat{Q}_v(N + D) , \quad (5.100)$$

e il coefficiente di \hat{Q}_o si annulla, che implica la presenza di gruppi di gauge unitari.

La deduzione di \mathcal{A} non è diretta come quella di \mathcal{M} . Applicando la trasformazione modulare S^{-1} ad $\tilde{\mathcal{A}}^{untw}$ si ottiene

$$\mathcal{A} = \frac{1}{4}[(Q_o + Q_v)(N^2P_4 + D^2W_4) + 2ND(Q_s + Q_c)] , \quad (5.101)$$

che, pur includendo le somme reticolari, non fornisce l'espressione completa di \mathcal{A} . Mancano infatti i termini che simmetrizzano lo spettro rispetto all'involuzione che definisce l'orbifold. Quindi, se N^2 , D^2 ed ND sono i fattori di Chan-Paton standard, occorre introdurre dei nuovi fattori di Chan-Paton che tengano conto dei bordi, che sotto involuzione, presentano un comportamento differente rispetto ai precedenti. Di conseguenza l'espressione corretta per l'ampiezza di anello è

$$\begin{aligned} \mathcal{A} &= \frac{1}{4} [(Q_o + Q_v)(N^2P_4 + D^2W_4) + 2ND(Q_s + Q_c)] \\ &+ \frac{1}{4} [(Q_o - Q_v)(R_N^2 + R_D^2) + 2R_N R_D(Q_s - Q_c)] , \end{aligned} \quad (5.102)$$

che all'origine dei reticoli diviene

$$\begin{aligned} \mathcal{A}_0 &= \frac{1}{4} [(Q_o + Q_v)(N^2 + D^2) + 2ND(Q_s + Q_c)] \\ &+ \frac{1}{4} [(Q_o - Q_v)(R_N^2 + R_D^2) + 2R_N R_D(Q_s - Q_c)] . \end{aligned} \quad (5.103)$$

I contributi *twisted* di $\tilde{\mathcal{A}}$ (*termini di rottura*) sono quindi dati da

$$\tilde{\mathcal{A}}^{tw} = \frac{2^{-5}}{4} [16(R_N^2 + R_D^2)(Q_s + Q_c) - 8R_N R_D(Q_s - Q_c)] . \quad (5.104)$$

Questi termini rivestono un ruolo particolarmente importante, poiché dipendono in modo molto chiaro dalla disposizione delle brane, e quindi consentono di dare un'interpretazione geometrica ai modelli. Consideriamo a tal fine il coefficiente di Q_s . L'unica maniera di scriverlo in termini di quadrati perfetti è

$$Q_s : \quad \frac{1}{4} [(R_N - 4R_D)^2 + 15R_N^2] . \quad (5.105)$$

Ricordiamo che l'orbifold T^4/Z_2 è un tetraedro con 16 punti fissi. Dalla (5.105) si evince correttamente che, mentre le D9-brane invadono tutto lo spazio-tempo, le D5-brane giacciono tutte su un unico punto fisso del toro interno, essendo $4 = \sqrt{16}$.

Infine, dal coefficiente di Q_v delle eq. (5.100) e (5.103) leggiamo che il gruppo di gauge è $U(N) \times U(D)$; ma usando la seguente parametrizzazione delle cariche (complesse) di Chan-Paton :

$$N = n + \bar{n} \quad , \quad D = d + \bar{d} ,$$

$$R_N = i(n - \bar{n}) \quad , \quad R_D = i(d - \bar{d}) ,$$

con la condizione $n = \bar{n}$ e $d = \bar{d}$, la teoria viene ad essere caratterizzata dal gruppo di simmetria $U(16)_9 \times U(16)_5$, come di può leggere dall'espressione per lo spettro aperto

$$\begin{aligned} \mathcal{A}_0 + \mathcal{M}_0 &= Q_o (n\bar{n} + d\bar{d}) + Q_s \frac{1}{2}(n\bar{d} + \bar{n}d) \\ &+ Q_v \left[\frac{n(n-1)}{2} + \frac{\bar{n}(\bar{n}-1)}{2} + \frac{d(d-1)}{2} + \frac{\bar{d}(\bar{d}-1)}{2} \right] . \end{aligned} \quad (5.106)$$

Passiamo ora a discutere la costruzione del settore aperto del modello con $\epsilon = -1$. In questo caso la modifica della proiezione di bottiglia di Klein e la cancellazione del *tadpole* di R-R, sono compatibili con la positività dello

spettro aperto in \mathcal{A} a patto di introdurre delle *anti*-D5-brane ($D\bar{5}$), ovvero delle D5-brane con carica di R-R negativa, ma con accoppiamenti di NS-NS identici a quelli delle brane

$$\begin{aligned} \mathcal{A}_{BSB} &= \frac{1}{4} \left[(Q_o + Q_v) (N^2 P_4 + D^2 W_4) + 2ND(Q'_s + Q'_c) \left(\frac{\eta}{\vartheta_4} \right)^2 \right. \\ &\quad + (R_N^2 + R_D^2)(Q_o - Q_v) \left(\frac{2\eta}{\vartheta_2} \right)^2 \\ &\quad \left. + 2R_N R_D (V_4 C_4 + S_4 V_4 - O_4 S_4 - C_4 O_4) \left(\frac{\eta}{\vartheta_3} \right)^2 \right], \end{aligned} \quad (5.107)$$

dove sono stati introdotti i supercaratteri primati

$$\begin{aligned} Q'_o &= V_4 O_4 - S_4 S_4 \quad , \quad Q'_v = O_4 V_4 - C_4 C_4, \\ Q'_s &= O_4 S_4 - C_4 O_4 \quad , \quad Q'_c = V_4 C_4 - S_4 V_4, \end{aligned} \quad (5.108)$$

legati a quelli di eq. (5.87) dallo scambio (della chiralità) $S_4 \leftrightarrow C_4$.

Nel canale trasverso, questa scelta inverte i segni di tutti i contributi di R-R nella parte N(eumann)-D(irichlet), lasciando inalterati tutti gli altri termini *untwisted*

$$\begin{aligned} \tilde{\mathcal{A}}_{BSB} &= \frac{2^{-5}}{4} \left[(Q_o + Q_v) (N^2 v_4 W_4 + D^2 \frac{P_4}{v_4}) + 2ND(Q'_o - Q'_v) \left(\frac{2\eta}{\vartheta_2} \right)^2 \right. \\ &\quad + 16(R_N^2 + R_D^2)(Q_s + Q_c) \left(\frac{\eta}{\vartheta_4} \right)^2 \\ &\quad \left. + 8R_N R_D (V_4 S_4 + C_4 V_4 - O_4 C_4 - S_4 O_4) \left(\frac{\eta}{\vartheta_3} \right)^2 \right]. \end{aligned} \quad (5.109)$$

Questo ha come conseguenza la rottura della supersimmetria, a livello ad albero, nei settori di $D\bar{5}$ -brana, mentre gli stati dei settori D9-D9 o D9-O9 rimangono supersimmetrici. Infatti ricordando che $\tilde{\mathcal{M}}$ descrive la propagazione tra brane ed *orientifold planes*, dalla sua espressione

$$\begin{aligned} \tilde{\mathcal{M}}_{BSB} &= -\frac{1}{2} \left[N v_4 W_4^e (\hat{Q}_o + \hat{Q}_v) - N (\hat{Q}_o - \hat{Q}_v) \left(\frac{2\hat{\eta}}{\hat{\vartheta}_2} \right)^2 \right. \\ &\quad - D \frac{P_4^e}{v_4} (\hat{V}_4 \hat{O}_4 + \hat{O}_4 \hat{V}_4 + \hat{C}_4 \hat{C}_4 + \hat{S}_4 \hat{S}_4) \\ &\quad \left. + D (\hat{V}_4 \hat{O}_4 - \hat{O}_4 \hat{V}_4 + \hat{C}_4 \hat{C}_4 - \hat{S}_4 \hat{S}_4) \left(\frac{2\hat{\eta}}{\hat{\vartheta}_2} \right)^2 \right], \end{aligned} \quad (5.110)$$

si può vedere che tutti i segni dei termini D9-O5, D $\bar{5}$ -O5 nel settore NS-NS e dei termini D $\bar{5}$ -O9 nel settore R-R, sono invertiti rispetto ai segni della (5.96). Come al solito, una trasformazione modulare P determina l'ampiezza nel canale diretto

$$\begin{aligned} \mathcal{M}_{BSB} = & -\frac{1}{4} \left[NP_4(\hat{Q}_o + \hat{Q}_v) - N(\hat{Q}_o - \hat{Q}_v) \left(\frac{2\hat{\eta}}{\hat{\vartheta}_2} \right)^2 \right. \\ & - DW_4(\hat{V}_4\hat{O}_4 + \hat{O}_4\hat{V}_4 + \hat{C}_4\hat{C}_4 + \hat{S}_4\hat{S}_4) \\ & \left. + D(\hat{O}_4\hat{V}_4 - \hat{V}_4\hat{O}_4 + \hat{S}_4\hat{S}_4 - \hat{C}_4\hat{C}_4) \left(\frac{2\hat{\eta}}{\hat{\vartheta}_2} \right)^2 \right]. \quad (5.111) \end{aligned}$$

Le condizioni di *tadpole* possono essere così risolte disaccoppiando i contributi di NS-NS e di R-R. Mentre si riescono a risolvere tutti i *tadpoles* di R-R, che fissano

$$N = D = 32, \quad e \quad R_N = R_D = 0,$$

lo stesso non è vero per quelli di NS-NS, che danno un contributo all'energia di vuoto localizzato sulle antibrane. Parametrizzando le cariche come

$$\begin{aligned} N &= n_1 + n_2, & D &= d_1 + d_2, \\ R_N &= n_1 - n_2, & R_D &= d_1 - d_2, \end{aligned}$$

si ricava che questo modello, contenente 32 D9-brane e 32 D $\bar{5}$ -brane, è caratterizzato da uno spettro aperto, descritto da

$$\begin{aligned} \mathcal{A}_0 + \mathcal{M}_0 = & \frac{1}{2} [n_1(n_1 + 1) + n_2(n_2 + 1) + d_1(d_1 + 1) + d_2(d_2 + 1)] V_4 O_4 \\ & - \frac{1}{2} [n_1(n_1 - 1) + n_2(n_2 - 1) + d_1(d_1 - 1) + d_2(d_2 - 1)] C_4 C_4 \\ & + (n_1 n_2 + d_1 d_2) (O_4 V_4 - S_4 S_4) \\ & + (n_1 d_2 + n_2 d_1) O_4 S_4 \\ & - (n_1 d_1 + n_2 d_2) C_4 O_4, \quad (5.112) \end{aligned}$$

che è non supersimmetrico, chirale, privo di tachioni e caratterizzato dal gruppo di gauge $[SO(16) \times SO(16)]_9 \times [USp(16) \times USp(16)]_5$. Inoltre viene generata una costante cosmologica al livello $\chi = 1$.

Capitolo 6

Deformazioni magnetiche e shift-orbifolds

Dai capitoli precedenti dovrebbe essere emerso come le stringhe aperte possono essere considerate una generalizzazione dei campi di Yang-Mills. Pertanto lo studio della loro dinamica in campi elettrici e magnetici di *background* risulta particolarmente interessante [65].

Anzitutto bisogna distinguere tra campi elettromagnetici spazio-temporali ed interni. Nel primo caso sono essenzialmente due le motivazioni che spingono ad una loro trattazione nel contesto della teoria di stringhe aperte. Una è di valenza concettuale, perché nell'espansione perturbativa delle teorie di stringa aperta la gravità compare a genere zero, mentre l'elettromagnetismo compare a genere $\frac{1}{2}$, e si presenta come una correzione quantistica dello spazio-tempo piatto. La seconda, di natura più tecnica, si fonda sul fatto che la presenza di un particolare campo elettromagnetico permette di cambiare, in modo continuo, le condizioni al bordo dei campi di stringa aperta.

La presenza di campi magnetici interni ha varie importanti conseguenze, ed in particolare può dar luogo alla rottura della supersimmetria [67, 68]. Gli estremi carichi delle stringhe aperte possono infatti accoppiarsi al campo, e di conseguenza particelle di diversi spin avvertono i suoi effetti in ragione dei loro momenti di dipolo, acquistando così masse diverse. Ci occuperemo in

maniera approfondita di questa seconda situazione nei paragrafi successivi. Iniziamo dal problema della stringa bosonica aperta in un campo di gauge abeliano, che nel limite di campo lentamente variabile risulta essere esattamente risolubile. Nel seguito descriveremo come sia possibile combinare una magnetizzazione interna con costruzioni di *shift-orbifolds* in quattro dimensioni.

6.1 La stringa bosonica aperta in un campo magnetico uniforme

Nel gauge conforme, l'azione per la stringa bosonica aperta in un campo elettromagnetico è

$$S = \frac{1}{4\pi\alpha'} \int_{-\infty}^{+\infty} d\tau \int_0^\pi d\sigma \partial_\alpha X^\mu \partial^\alpha X_\mu + \frac{1}{2\pi\alpha'} \int_{-\infty}^{+\infty} d\tau [q_1 A_\mu \partial_\tau X^\mu(0) + q_2 A_\mu \partial_\tau X^\mu(\pi)] . \quad (6.1)$$

Per un campo elettromagnetico uniforme, descritto da un tensore $F_{\mu\nu}$, si può scegliere un potenziale

$$A_\mu = -\frac{1}{2} F_{\mu\nu} X^\nu , \quad (6.2)$$

e la (6.1) diviene

$$S = \frac{1}{4\pi\alpha'} \int_{-\infty}^{+\infty} d\tau \int_0^\pi d\sigma \partial_\alpha X^\mu \partial^\alpha X_\mu - \frac{1}{4\pi\alpha'} \int_{-\infty}^{+\infty} d\tau [q_1 F_{\mu\nu} X^\nu \partial_\tau X^\mu(0) + q_2 F_{\mu\nu} X^\nu \partial_\tau X^\mu(\pi)] . \quad (6.3)$$

In generale, il campo abeliano e costante, è immerso nel gruppo di gauge della stringa aperta, e q_1 e q_2 sono le cariche, associate ai due estremi della stringa, che si accoppiano ad esso.

Poiché il campo elettromagnetico esterno si accoppia solo ai *bordi* della stringa, l'equazione del moto dei campi X^μ è l'usuale equazione d'onda

$$(\partial_\tau^2 - \partial_\sigma^2) X^\mu = 0 , \quad (6.4)$$

ma le condizioni al bordo divengono

$$\begin{aligned} \partial_\sigma X_\mu - q_1 F_{\mu\nu} \partial_\tau X^\nu &= 0 & \text{per } \sigma = 0, \\ \partial_\sigma X_\mu + q_2 F_{\mu\nu} \partial_\tau X^\nu &= 0 & \text{per } \sigma = \pi. \end{aligned} \quad (6.5)$$

Se ora consideriamo un campo con componenti non nulle solo nelle direzioni 1 e 2, ovvero $F_{\mu\nu} = H\epsilon_{\mu\nu}$, con $\mu, \nu = 1, 2$, e $\epsilon_{12} = 1 = -\epsilon_{21}$, le (6.5) divengono

$$\begin{aligned} \partial_\sigma X^1(\pi) + q_2 H \partial_\tau X^2(\pi) &= 0, \\ \partial_\sigma X^2(\pi) - q_2 H \partial_\tau X^1(\pi) &= 0, \end{aligned} \quad (6.6)$$

e

$$\begin{aligned} \partial_\sigma X^1(0) - q_1 H \partial_\tau X^2(0) &= 0, \\ \partial_\sigma X^2(0) + q_1 H \partial_\tau X^1(0) &= 0. \end{aligned} \quad (6.7)$$

A questo punto è conveniente introdurre le coordinate di stringa in notazione complessa

$$X_\pm = \frac{1}{\sqrt{2}}(X^1 \pm iX^2), \quad \text{con } (X_+)^{\dagger} = X_- , \quad (6.8)$$

poiché in questo modo le condizioni ai bordi (6.6) e (6.7) si separano ed assumono la forma

$$\begin{aligned} \partial_\sigma X_+ + iq_1 H \partial_\tau X_+ &= 0 \quad , \quad \partial_\sigma X_- - iq_1 H \partial_\tau X_- = 0 \quad \text{a } \sigma = 0, \\ \partial_\sigma X_+ - iq_2 H \partial_\tau X_+ &= 0 \quad , \quad \partial_\sigma X_- + iq_2 H \partial_\tau X_- = 0 \quad \text{a } \sigma = \pi. \end{aligned} \quad (6.9)$$

Quando la carica netta della stringa è non nulla ($q = q_1 + q_2 \neq 0$), l'espressione in modi normali per X_\pm è data da

$$X_+(\tau, \sigma) = x_+ + i \left(\sum_{n=1}^{\infty} a_n \phi_n(\tau, \sigma) - \sum_{m=0}^{\infty} b_m^{\dagger} \phi_{-m}(\tau, \sigma) \right), \quad (6.10)$$

$$X_-(\tau, \sigma) = x_- + i \left(\sum_{m=0}^{\infty} b_m \bar{\phi}_{-m}(\tau, \sigma) - \sum_{n=1}^{\infty} a_n^{\dagger} \bar{\phi}_n(\tau, \sigma) \right), \quad (6.11)$$

con $(X_+)^{\dagger} = X_-$. Inoltre, nelle (6.10) e (6.11)

$$\phi_n = \frac{1}{\sqrt{|n-\epsilon|}} e^{-i(n-\epsilon)\tau} \cos[(n-\epsilon)\sigma + \gamma]$$

con

$$\epsilon = \frac{1}{\pi}(\gamma + \gamma') \quad \text{e} \quad \gamma = \arctan q_1 H, \gamma' = \arctan q_2 H .$$

La quantizzazione della teoria può essere effettuata in modo canonico, notando che, nel gauge (6.2), il momento coniugato ad X_+ è

$$P_+(\tau, \sigma) = \frac{\partial \mathcal{L}}{\partial \dot{X}_+} = \frac{1}{2\pi\alpha'} \dot{X}_- + \frac{i}{4\pi\alpha'} A_-(q_1 \delta(\sigma) + q_2 \delta(\pi - \sigma)) , \quad (6.12)$$

che nel caso bidimensionale diviene

$$P_+(\tau, \sigma) = \frac{1}{2\pi\alpha'} \dot{X}_- + \frac{i}{4\pi\alpha'} X_-(q_1 H \delta(\sigma) + q_2 H \delta(\pi - \sigma)) . \quad (6.13)$$

Le relazioni di commutazione per gli oscillatori sono quindi

$$\begin{aligned} [a_n, a_m^\dagger] &= \delta_{n,m} & \text{per } m \geq 0 , \\ [b_n, b_m^\dagger] &= \delta_{n,m} & \text{per } m \geq 1 , \\ [a_n, a_m] &= [a_n^\dagger, a_m^\dagger] = [b_n, b_m] = [b_n^\dagger, b_m^\dagger] = 0 , \end{aligned}$$

$$[x_+, x_-] = \frac{1}{2(q_1 + q_2)H} \quad \text{con} \quad (x_+)^\dagger = x_- . \quad (6.14)$$

Si noti che x_+ ed x_- , che nel limite classico corrispondono alle coordinate del centro di un'orbita di Landau, non commutano. Costruendo gli operatori di Virasoro, è possibile verificare che questi soddisfano l'algebra $[L_n, L_m] = (n - m)L_{n+m} + \delta_{n+m,0}[\frac{1}{12}n(n^2 - 1) + n\epsilon(1 - \epsilon)]$, ovvero portano all'usuale risultato, a meno del termine centrale che, essendo lineare in n , può essere ricondotto a quello standard mediante la ridefinizione $L_0 \rightarrow L_0 + \frac{\epsilon}{2}(1 - \epsilon)$. Questo equivale ad una modifica del valore originale della costante di ordinamento normale a , o dell'energia di vuoto, che passa da 1 a $1 - \frac{\epsilon}{2}(1 - \epsilon)$.

In conclusione, sui settori con carica totale non nulla, un campo magnetico di *background* costante altera la frequenza degli oscillatori a di $-\epsilon$, e degli oscillatori b di ϵ , modificando al contempo l'energia di vuoto.

Per stringhe con carica totale nulla ($q = q_1 + q_2 = 0$), $\epsilon = 0$, e quindi i modi non sono alterati dalla presenza di $F_{\mu\nu}$ (sebbene γ e γ' non siano nulle), ma soprattutto si ha una modifica nella struttura dei modi zero, in

quanto il commutatore (6.14) non è ben definito per $(q_1 + q_2) = 0$. Pertanto l'espansione di X_+ diviene

$$X_+ = \frac{x_+ + p_-(\tau - iq_1 H(\sigma - \frac{\pi}{2}))}{\sqrt{1 + q_1^2 H^2}} + i \sum_{n=1}^{\infty} [a_n \phi_n(\tau, \sigma) - b_n^\dagger \phi_{-n}(\tau, \sigma)] . \quad (6.15)$$

Si osservi che in questo caso X_+ contiene un modo zero proporzionale a $\tau - iq_1 H$ che soddisfa la condizione ai bordi quando $(q_1 + q_2)H = 0$. La presenza del momento totale p_- nella (6.15) può essere spiegata in maniera semplice ed intuitiva pensando che gli estremi della stringa aperta (con cariche opposte), soddisfino la legge di forza

$$m \frac{d\vec{v}}{dt} = q\vec{v} \times \vec{B} = q \frac{d}{dt}(\vec{r} \times \vec{B}) , \quad (6.16)$$

dalla quale si ottengono le due costanti del moto

$$\begin{aligned} \vec{U}_1 &= \vec{p}_1 - \frac{q}{m} \vec{r}_1 \times \vec{B} , \\ \vec{U}_2 &= \vec{p}_2 - \frac{q}{m} \vec{r}_2 \times \vec{B} . \end{aligned} \quad (6.17)$$

Definendo $\vec{p} = \vec{p}_1 + \vec{p}_2$, ed essendo $q_1 = q = -q_2$, si deduce che la grandezza conservata è $\vec{p} - q(\vec{r}_1 - \vec{r}_2) \times \vec{B}$. Pertanto in questa situazione la coordinata relativa $\vec{r}_1 - \vec{r}_2$ commuta con \vec{p} , e quindi le componenti di \vec{U}_1 e \vec{U}_2 commutano tra loro.

Non è difficile modificare i risultati precedenti per studiare il comportamento di una stringa in presenza di un campo elettrico [114]. Basta scegliere $F_{01} = E$ ed utilizzare le coordinate nel gauge del cono di luce $X^\pm = \frac{1}{\sqrt{2}}(X^0 \pm X^1)$. Questo consente, per esempio, di calcolare esattamente la probabilità di produzione di coppie di stringhe aperte (bosoniche o fermioniche) in un campo elettrico costante, ovvero l'analogo, in teoria di stringa, dell'effetto Schwinger della teoria dei campi. Il risultato è in accordo con quello classico, nel limite di campo debole, ma quando il campo elettrico tende ad un valore critico (dell'ordine della tensione di stringa), la probabilità di produzione di tali coppie diverge [114]. Questo comportamento limite ammette una semplice spiegazione intuitiva, legata al fatto che le forze elettriche introdotte dai campi possono superare la forza di richiamo dovuta alla tensione della stringa.

6.2 Stringhe aperte su un toro magnetizzato

Nel caso della stringa bosonica aperta con carica netta non nulla, la presenza di un campo magnetico altera drasticamente la struttura dei modi zero della teoria. Non compaiono più, infatti, gli operatori di momento totale della stringa p_{\pm} , ma sono presenti degli ulteriori operatori di Fourier, b_0^{\dagger} e b_0 , che creano e distruggono quanti di frequenza ϵ . Inoltre, per $F \neq 0$, x_+ ed x_- commutano con L_0 , ed è quindi possibile scegliere gli stati come autostati di x_+ , per esempio. Dato che L_0 non dipende da x_{\pm} , esiste una degenerazione infinita se le coordinate X^1 ed X^2 non sono compatte, e finita se lo sono. Nel primo caso la situazione è analoga a quella di una particella in un campo magnetico costante sul piano: esistono livelli di Landau con degenerazione infinita, ma equamente spaziate, collegati tra loro dagli operatori b_0^{\dagger} e b_0 . Se qH è sufficientemente piccolo (dove $q = q_1 + q_2$), la separazione nella frequenza ϵ è proporzionale a qH . Viceversa, se le coordinate X^1 ed X^2 sono compatte, i modi zero corrispondono alla situazione di una particella carica che si muove in un campo magnetico costante su un toro. Dunque è di particolare interesse analizzare in dettaglio il caso in cui x^1 ed x^2 siano coordinate compatte di lunghezza $L = 2\pi R$.

Un campo magnetico su un toro è in realtà un campo di monopolo: esiste un flusso totale non nullo di H all'interno del toro, e corrispondentemente non esiste un potenziale vettore continuo ed univocamente definito su di esso. Possiamo allora separare il toro in due regioni, definendo in esse dei potenziali continui legati da una trasformazione di gauge.

Dunque, se $a \in [0, L]$ possiamo scegliere

$$A_1 = \begin{cases} -Hx_2 & 0 \leq x_2 < a, \\ -H(x_2 - L) & a \leq x_2 < L, \end{cases} \quad A_2 = 0.$$

Le due scelte per A_1 sono compatibili, in quanto connesse da una trasformazione di gauge, poiché

$$A_1 \Big|_{x_2+L} = A_2 - ie^{-i\theta} \partial_2 e^{i\theta} \Big|_{x_2} = -Hx_2 + \partial_2 \theta,$$

da cui segue che $\theta = HLx_2$. La funzione di transizione tra le due regioni in cui è stato suddiviso il toro, $e^{\frac{iq\theta}{2\pi\alpha'}}$, è ad un sol valore solo se viene soddisfatta la relazione di quantizzazione di Dirac

$$qHL^2 = 4\pi^2\alpha'k \quad (6.18)$$

per qualche intero k . Si osservi che nella (6.18) k è anche la *degenerazione dei livelli di Landau*. A questo proposito risulta particolarmente interessante sottolineare come l'eq. (6.18) possa essere dedotta “geometricamente” dalla nozione di D-brane e T-dualità su un toro magnetizzato. Abbiamo visto nel paragrafo precedente che per una stringa bosonica neutra i modi zero della coordinata di stringa sono

$$X_+^{z.m.} = \frac{x_+ + p_-[\tau - iq_1 H(\sigma - \frac{\pi}{2})]}{\sqrt{1 + q_1^2 H^2}}, \quad (6.19)$$

ovvero, in termini delle coordinate X_1 ed X_2

$$\begin{aligned} X_1^{z.m.} &= \frac{x_1 + (2\alpha')[p_1\tau - q_1 H p_2(\sigma - \pi/2)]}{\sqrt{1 + q_1^2 H^2}}, \\ X_2^{z.m.} &= \frac{x_2 + (2\alpha')[-p_2\tau - q_1 H p_1(\sigma - \pi/2)]}{\sqrt{1 + q_1^2 H^2}}. \end{aligned} \quad (6.20)$$

Supponiamo di effettuare un'operazione di T-dualità, per esempio lungo la coordinata X_2 ($X_2 \rightarrow Y_2$), ricordando che sul *world-sheet* un'operazione di T-dualità equivale allo scambio di τ con σ . Questo implica che $(2\alpha')p_2$ debba essere reinterpretato come $2w_2$, e pertanto le (6.20) divengono

$$\begin{aligned} X_1^{z.m.} &= \frac{x_1 + (2\alpha')p_1\tau - 2q_1 H w_2(\sigma - \pi/2)}{\sqrt{1 + q_1^2 H^2}}, \\ Y_2^{z.m.} &= \frac{y_2 - (2\alpha')q_1 H p_1\tau - 2w_2(\sigma - \pi/2)}{\sqrt{1 + q_1^2 H^2}}. \end{aligned} \quad (6.21)$$

Definendo

$$\begin{aligned} \cos \theta &= \frac{1}{\sqrt{1 + q_1^2 H^2}}, \quad \sin \theta = \frac{q_1 H}{\sqrt{1 + q_1^2 H^2}}, \\ \tilde{x}_1 &= x_1 \cos \theta, \quad \tilde{y}_2 = y_2 \cos \theta, \end{aligned}$$

le (6.21) assumono la forma seguente:

$$\begin{aligned} X_1^{z.m.} &= \tilde{x}_1 + (2\alpha')p_1 \cos \theta \tau - 2w_2 \sin \theta (\sigma - \pi/2) , \\ Y_2^{z.m.} &= \tilde{y}_2 + (2\alpha')p_1 \sin \theta \tau - 2w_2 \cos \theta (\sigma - \pi/2) . \end{aligned} \quad (6.22)$$

Si noti che la particolare combinazione delle (6.22), $X_1 \sin \theta + Y_2 \cos \theta$, contiene solo *windings*, e quindi rispetto alla configurazione iniziale della D-brana, sulla quale terminano gli estremi della stringa aperta, questa risulta ruotata di un angolo θ , ovvero caratterizzata da un versore normale $\hat{n} = (\sin \theta, \cos \theta)$. In questa situazione, affinché la posizione della D-brana “ruotata” sia consistente con la cella fondamentale del toro è necessario imporre che

$$k\tilde{R} \cot \theta = R , \quad (6.23)$$

dove k è un intero , ed \tilde{R} è il raggio T-duale del toro: $\tilde{R} = \frac{\alpha'}{R}$. Essendo $R = L/2\pi$, la (6.23) si potrà riscrivere come

$$\tan \theta = \frac{4\pi^2 \alpha'}{L^2} k , \quad (6.24)$$

ma $\tan \theta = q_1 H$, e quindi si riottiene la (6.18).

A scopo illustrativo, applichiamo ora questi risultati alla superstringa di Tipo I, ricavando in particolare la funzione di partizione di stringa aperta. L'ampiezza di anello nel canale diretto per la superstringa ad otto dimensioni è

$$\mathcal{A} = \frac{1}{2} N^2 (V_8 - S_8) (i\tau/2) P_2 , \quad (6.25)$$

dove P_2 è la somma reticolare ristretta a *windings* nulli

$$P_2 = \left[\sum_{m_1 \in Z} q^{\frac{\alpha'}{4} \frac{m_1^2}{R^2}} \right] \left[\sum_{m_2 \in Z} q^{\frac{\alpha'}{4} \frac{m_2^2}{R^2}} \right] . \quad (6.26)$$

In presenza di un campo magnetico costante su T^2 , le cariche di Chan-Paton N si accoppiano ad esso. A tal fine è conveniente scindere N nella maniera seguente: $N \rightarrow n + m_+ + m_-$, dove n indica il numero di cariche elettricamente neutre, ed m_{\pm} indicano i numeri di cariche con carica elettrica ± 1 .

L'espressione (6.25) viene corrispondentemente deformata, ed assume quindi la forma seguente:

$$\begin{aligned}
\mathcal{A} = & \frac{1}{2} \left[[n^2 P_2 + 2m_+ m_- \tilde{P}_2] (V_8 - S_8)(0) - 2inm_+ (V_8 - S_8)(z\tau; \tau) \frac{k\eta}{\theta_1(z\tau)} \right. \\
& - 2inm_- (V_8 - S_8)(-z\tau; \tau) \frac{k\eta}{\theta_1(-z\tau)} \left. - i[m_+^2 (V_8 - S_8)(2z\tau; \tau) \frac{k\eta}{\theta_1(2z\tau)} \right. \\
& \left. + m_-^2 (V_8 - S_8)(-2z\tau; \tau) \frac{k\eta}{\theta_1(-2z\tau)} \right]. \quad (6.27)
\end{aligned}$$

Nel passaggio al canale trasverso l'ampiezza (6.27) diventa

$$\begin{aligned}
\tilde{\mathcal{A}} = & \frac{2^{-5}}{2} \left[[n^2 W_2 + 2m_+ m_- (1 + q^2 H^2) \tilde{W}_2] v_2 (V_8 - S_8)(0) \right. \\
& + 2nm_+ (V_8 - S_8)(z) \frac{k\eta}{\theta_1(z)} + 2nm_- (V_8 - S_8)(-z) \frac{k\eta}{\theta_1(-z)} \quad (6.28) \\
& \left. + m_+^2 (V_8 - S_8)(2z) \frac{2k\eta}{\theta_1(2z)} + m_-^2 (V_8 - S_8)(-2z) \frac{2k\eta}{\theta_1(-2z)} \right],
\end{aligned}$$

dove la dipendenza dal modulo il è lasciata implicita, e

$$\tilde{W}_2 = \left[\sum_{n_1 \in \mathbb{Z}} q^{\frac{1}{4\alpha'}(n_1^2 R^2 \sqrt{1+q^2 H^2})} \right] \left[\sum_{n_2 \in \mathbb{Z}} q^{\frac{1}{4\alpha'}(n_2^2 R^2 \sqrt{1+q^2 H^2})} \right], \quad (6.29)$$

$$\cot g(\pi z) = \frac{1 - q_1 q_2 H^2}{(q_1 + q_2) H}. \quad (6.30)$$

Dalla (6.29) si può notare che gli effetti della deformazione magnetica sono molteplici. Per quanto riguarda i termini “carichi” (proporzionali ad m_+ , m_- , m_+^2 , m_-^2) lo *shift* nei modi delle stringhe aperte, dato dalla (6.30), si riflette nella presenza dei caratteri con argomento non nullo, e nella presenza delle molteplicità k dei livelli di Landau. Tra i termini “scarichi” invece, appare un nuovo tipo di stringhe (quelle proporzionali a $m_+ m_-$). Queste sono caratterizzate dall'aver agli estremi cariche opposte, e quindi i loro modi restano inalterati, mentre i modi zero subiscono un *boost* immaginario. I loro modi di Kaluza-Klein devono essere riscaldati come segue:

$$m_i \rightarrow \frac{m_i}{\sqrt{1 + q^2 H^2}}.$$

Ciò assicura che i contributi di ordine più basso delle ampiezze trasverse si assemblino in quadrati perfetti.

In realtà anche questi risultati trovano una spiegazione più semplice nella descrizione T-duale, che rivela molto chiaramente a quali restrizioni sono soggetti gli stati che fluiscono nel tubo, mettendo in risalto il significato fisico dei modi riscaldati.

In generale i modi zero di stringa bosonica chiusa sul toro sono

$$\begin{aligned} Z_1^{z.m} &= z_1 + (2\alpha')p_1\tau + 2w_1\sigma , \\ Z_2^{z.m} &= z_2 + (2\alpha')p_2\tau + 2w_2\sigma , \end{aligned} \quad (6.31)$$

dove

$$p_i = \frac{m_i}{R} = 2\pi \frac{m_i}{L} , \quad w_i = n_i R = \frac{n_i L}{2\pi} .$$

Seguendo la strategia adottata per la stringa aperta, effettuiamo un'operazione di T-dualità lungo la coordinata Z_2 , che trasforma le (6.31) in

$$\begin{aligned} Z_1^{z.m} &= z_1 + (2\alpha')m_1 \frac{2\pi}{L} \tau + n_1 \frac{L}{\pi} \sigma , \\ Z_2^{z.m} &= \tilde{z}_2 + m_2 \frac{\tilde{L}}{\pi} \sigma + (2\alpha')n_2 \frac{2\pi}{\tilde{L}} \tau , \end{aligned} \quad (6.32)$$

dove $\frac{\tilde{L}}{\pi} \rightarrow \frac{4\pi\alpha'}{L}$. Queste, se riesprese in termini di L , assumono la forma seguente:

$$\begin{aligned} Z_1^{z.m} &= z_1 + (2\alpha')m_1 \frac{2\pi}{L} \tau + n_1 \frac{L}{\pi} \sigma , \\ Z_2^{z.m} &= \tilde{z}_2 + n_2 \frac{L}{\pi} \tau + (2\alpha')m_2 \frac{2\pi}{L} \sigma . \end{aligned} \quad (6.33)$$

Ma abbiamo visto che l'introduzione di un campo magnetico costante su un toro equivale ad avere una D-brana ruotata di un angolo θ , con versori normali e tangenti $\hat{n} = (\sin\theta, \cos\theta)$ e $\hat{t} = (-\cos\theta, \sin\theta)$, e dove $\tan\theta = \frac{4\pi^2\alpha'}{L^2}k$. Quindi, se nel caso della teoria di stringa compattificata sul toro, nell'ampiezza $\tilde{\mathcal{A}}$ possono fluire solo gli stati con impulso nullo, sul toro magnetizzato possono fluire solo gli stati con impulso nullo nella direzione normale alla D-brana, e stati con *winding* nullo nella direzione tangente. Tali condizioni, riassunte dalle espressioni

$$\vec{p} \cdot \hat{t} = 0 , \quad \vec{w} \cdot \hat{n} = 0 ,$$

portano a concludere che

$$\begin{aligned} m_1 &= kn_2 , \\ m_2 &= -kn_1 , \end{aligned} \tag{6.34}$$

e pertanto implicano una modifica nei modi zero degli stati di stringa globalmente neutra. Infatti il generico termine della somma reticolare

$$q^{\frac{\alpha'}{4}} \left[\left(\frac{m_1^2}{R^2} + \frac{n_1^2 R^2}{\alpha'^2} \right) + \left(\frac{m_2^2}{R^2} + \frac{n_2^2 R^2}{\alpha'^2} \right) \right] ,$$

mediante le (6.34), si potrà riscrivere come

$$q^{\frac{\alpha'}{4}} \left[\left(\frac{k^2 n_2^2}{R^2} + \frac{n_2^2 R^2}{\alpha'^2} \right) + \left(\frac{k^2 n_1^2}{R^2} + \frac{n_1^2 R^2}{\alpha'^2} \right) \right] = q^{\frac{R^2}{4\alpha'}} (n_1^2 + n_2^2) \left[\frac{k^2 \alpha'^2}{R^2} + 1 \right] = q^{\frac{R^2}{4\alpha'}} (n_1^2 + n_2^2) (1 + q^2 H^2) .$$

Da cui segue che, come anticipato, i modi di Kaluza-Klein dei modi zero degli stati di stringa neutra devono essere riscaldati come

$$m_i \rightarrow \frac{m_i}{\sqrt{1 + q^2 H^2}} , \quad n_i \rightarrow n_i \sqrt{1 + q^2 H^2} .$$

6.3 Stringhe aperte su orbifolds magnetizzati

Lo scopo del paragrafo che segue è la descrizione di esempi più complessi di stringhe aperte in presenza di campi magnetici uniformi. In particolare, verranno descritti gli effetti di deformazioni magnetiche, per compattificazioni toroidali o su orbifolds nelle stringhe di Tipo-I, mostrando ad esempio, come D9-brane magnetizzate possono emulare delle (anti)D5-brane (BPS) [69, 70]. Una situazione di questo genere può essere illustrata qualitativamente nell'ambito della teoria di campo limite.

Si consideri a tal fine l'azione effettiva di bassa energia di una D9-brana immersa in un campo abeliano di *background*,

$$S_9 = -T_{(9)} \int_{\mathcal{M}_{10}} d^{10}x e^{-\phi} \sum_{a=1}^{32} \sqrt{-\det(g_{10} + q_a F)} - \mu_{(9)} \sum_{p,a} \int_{\mathcal{M}_{10}} e^{q_a F} \wedge C_{p+1} + \dots , \tag{6.35}$$

dove il primo termine è l'azione di Born-Infeld [115], ed il secondo è il termine di Wess-Zumino di accoppiamento con i campi di R-R, e dove a distingue i

tipi di cariche di Chan-Paton che si accoppiano ai campi magnetici. $T_{(9)}$ e $\mu_{(9)}$ sono, rispettivamente, la tensione e la carica di R-R per una D_p -brana di Tipo-I, legate dalla relazione

$$T_{(p)} = \sqrt{\frac{\pi}{2\kappa^2}} (2\pi\sqrt{\alpha'})^{3-p} = |\mu_{(p)}|, \quad (6.36)$$

con $\kappa^2 = 8\pi G_N^{(10)}$ che definisce la costante di Newton a dieci dimensioni.

Compattifichiamo quattro delle dieci dimensioni su due doppi tori, introducendo in essi due campi magnetici costanti ed abeliani H_1 ed H_2

$$\mathcal{M}_{(10)} = \mathcal{M}_{(6)} \times T^2(H_1) \times T^2(H_2) .$$

Come descritto nel paragrafo precedente, i campi magnetici uniformi sul toro sono campi di monopolo, che quindi soddisfano le relazioni di quantizzazione di Dirac

$$qH_i v_i = k_i \quad (i = 1, 2) , \quad (6.37)$$

dove $v_i = \frac{R_i^{(1)} R_i^{(2)}}{\alpha'}$ sono i volumi dei due tori di raggi $R_i^{(1)}$ ed $R_i^{(2)}$. k_i ($\in Z$) sono le degenerazioni dei corrispondenti livelli di Landau, e q è la carica elettrica elementare del sistema.

In teoria dei campi la cancellazione delle anomalie richiede, per i campi magnetici interni, l'annullarsi della carica istantonica $tr(F \wedge F)$ come condizione di integrabilità per l'equazione della due-forma $B_{(2)}$. Viceversa, in teoria di stringa un numero istantonico non nullo può essere compensato mediante D-brane ed O-piani. Questo fenomeno può essere ben descritto in termini delle teorie di campo limite. È quindi possibile introdurre una coppia di campi abeliani allineati con lo stesso sottogruppo $U(1)$ di $SO(32)$, in maniera tale che la (6.35) divenga

$$\begin{aligned} S_9 = & -T_{(9)} \int_{\mathcal{M}_{10}} d^{10}x e^{-\phi} \sqrt{-g_6} \sum_{a=1}^{32} \sqrt{(1 + q_a^2 H_1^2)(1 + q_a^2 H_2^2)} + \\ & - 32\mu_{(9)} \int_{\mathcal{M}_{10}} C_{10} - (2\pi\sqrt{\alpha'})^4 \mu_{(9)} v_1 v_2 H_1 H_2 \sum_{a=1}^{32} q_a^2 \int_{\mathcal{M}_{10}} C_6 , \end{aligned} \quad (6.38)$$

dove g_6 è la metrica spazio-temporale a sei dimensioni e, per semplicità, nello spazio interno la metrica è stata scelta essere l'identità. Si noti che, nel caso

particolare in cui H_1 ed H_2 abbiano la stessa intensità, il termine di Born-Infeld si semplifica e l'azione corrispondente alla configurazione (anti)auto-duale ($H_1 = \pm H_2$) si riduce a

$$S_9 = -32 \int_{\mathcal{M}_{10}} \left(d^{10}x \sqrt{-g_6} T_{(9)} e^{-\phi} + \mu_{(9)} C_{10} \right) + \\ - \sum_{a=1}^{32} \left(\frac{q_a}{q} \right)^2 \int_{\mathcal{M}_6} \left(d^6x \sqrt{-g_6} |k_1 k_2| T_{(5)} e^{-\phi} + k_1 k_2 \mu_{(5)} C_6 \right). \quad (6.39)$$

Pertanto una D9-brana magnetizzata mima $|k_1 k_2|$ D5 o anti-D5-brane BPS, a seconda che k_1 e k_2 abbiano segno uguale o opposto (ovvero a seconda delle orientazioni relative di H_1 ed H_2).

La trasposizione di questo fenomeno alla teoria di stringa richiede, per ragioni tecniche, che la deformazione magnetica venga applicata a modelli di *orbifold*. Ciò è dovuto al fatto che una configurazione supersimmetrica è realizzata in presenza di sole D9 e D5-brane (e non di antibrane), e solamente gli *orbifolds*, a differenza dei tori, possono contenere degli O5-piani in grado di assorbire la carica della D5-brana dovuta alla D9-brana magnetizzata.

Quindi per ottenere una configurazione supersimmetrica occorre considerare un *orbifold* che richieda l'introduzione di D5-brane. Il caso più semplice in cui ciò si verifica è la compattificazione a sei dimensioni della superstringa di Tipo IIB su $(T^2 \times T^2)/Z_2$.

Analogamente alla trattazione nella teoria di campo limite, è possibile introdurre i due campi magnetici interni, H_1 ed H_2 allineati con lo stesso sottogruppo $U(1)$ di $SO(32)$. In altri termini, è possibile ammettere un numero istantoneo non nullo ($tr H_i \wedge H_j \neq 0$), che può essere compensato da un eccesso di (anti)D-brane e/o O5-piani.

Ricordiamo inoltre che un campo magnetico uniforme, con componenti H_1 ed H_2 nei due tori interni altera le condizioni ai bordi delle stringhe aperte. I loro modi vengono shiftati di

$$z_i^{L,R} = \frac{1}{\pi} [\arctg(q_L H_i) + \arctg(q_R H_i)], \quad (6.40)$$

dove q_L e q_R sono, rispettivamente, le cariche dell'estremo sinistro e destro della stringa aperta che si accoppiano ai campi abeliani H_i . Pertanto il settore

chiuso non viene alterato dalle deformazioni magnetiche, e quindi continua ad assumere la forma usuale

$$\begin{aligned} \mathcal{T} = & \frac{1}{2} \left[|Q_o + Q_v|^2 \Lambda_{(4,4)} + |Q_o - Q_v|^2 \left| \frac{2\eta}{\vartheta_2(0)} \right|^4 \right. \\ & \left. + |Q_s + Q_c|^2 \left| \frac{2\eta}{\vartheta_4(0)} \right|^4 + |Q_s - Q_c|^2 \left| \frac{2\eta}{\vartheta_3(0)} \right|^4 \right], \end{aligned} \quad (6.41)$$

con proiezione di bottiglia di Klein

$$\mathcal{K} = \frac{1}{4} \left[(Q_o + Q_v)(0; 0) [P_1 P_2 + W_1 W_2] + 2 \times 16 (Q_s + Q_c)(0; 0) \left(\frac{\eta}{\vartheta_4(0)} \right)^2 \right]. \quad (6.42)$$

Il risultato è sempre lo spettro $(1, 0)$ supersimmetrico chiuso non orientato con un multipletto tensoriale e venti ipermultipletti.

Il settore aperto è invece descritto dalla seguente ampiezza di anello:

$$\begin{aligned} \mathcal{A} = & \frac{1}{4} \left[(Q_o + Q_v)(0; 0) [(n + \bar{n})^2 P_1 P_2 + 2m\bar{m}\tilde{P}_1\tilde{P}_2 + (d + \bar{d})^2 W_1 W_2] \right. \\ & - 2(n + \bar{n})(m + \bar{m})(Q_o + Q_v)(z_1\tau; z_2\tau) \frac{k_1\eta}{\vartheta_1(z_1\tau)} \frac{k_2\eta}{\vartheta_1(z_2\tau)} \\ & - (m^2 + \bar{m}^2)(Q_o + Q_v)(2z_1\tau; 2z_2\tau) \frac{2k_1\eta}{\vartheta_1(2z_1\tau)} \frac{2k_2\eta}{\vartheta_1(2z_2\tau)} \\ & + 2(d + \bar{d})(n + \bar{n})(Q_s + Q_c)(0; 0) \left(\frac{\eta}{\vartheta_4(0)} \right)^2 \\ & + 2(d + \bar{d})(m + \bar{m})(Q_s + Q_c)(z_1\tau; z_2\tau) \frac{\eta}{\vartheta_4(z_1\tau)} \frac{\eta}{\vartheta_4(z_2\tau)} \\ & - [(n - \bar{n})^2 - 2m\bar{m} + (d + \bar{d})^2] (Q_o - Q_v)(0; 0) \left(\frac{2\eta}{\vartheta_2(0)} \right)^2 \\ & - 2(n - \bar{n})(m + \bar{m})(Q_o - Q_v)(z_1\tau; z_2\tau) \frac{2\eta}{\vartheta_2(z_1\tau)} \frac{2\eta}{\vartheta_2(z_2\tau)} \\ & - (m^2 + \bar{m}^2)(Q_o - Q_v)(2z_1\tau; 2z_2\tau) \frac{2\eta}{\vartheta_2(2z_1\tau)} \frac{2\eta}{\vartheta_2(2z_2\tau)} \\ & - 2(d - \bar{d})(n - \bar{n})(Q_s - Q_c)(0; 0) \left(\frac{\eta}{\vartheta_3(0)} \right)^2 \\ & - 2(d - \bar{d})(m - \bar{m})(Q_s - Q_c)(z_1\tau; z_2\tau) \frac{\eta}{\vartheta_3(z_1\tau)} \frac{\eta}{\vartheta_3(z_2\tau)}, \end{aligned} \quad (6.43)$$

e dalla corrispondente ampiezza di Möbius

$$\mathcal{M} = -\frac{1}{4} \left[(\hat{Q}_o + \hat{Q}_v)(0; 0) [(n + \bar{n}) P_1 P_2 + (d + \bar{d}) W_1 W_2] \right]$$

$$\begin{aligned}
& - (m + \bar{m})(\hat{Q}_o + \hat{Q}_v)(2z_1\tau; 2z_2\tau) \frac{2k_1\hat{\eta}}{\hat{\vartheta}_1(2z_1\tau)} \frac{2k_2\hat{\eta}}{\hat{\vartheta}_1(2z_2\tau)} \\
& - (n + \bar{n} + m + \bar{m})(\hat{Q}_o - \hat{Q}_v)(0; 0) \left(\frac{2\eta}{\vartheta_2(0)} \right)^2 \\
& - (m + \bar{m})(\hat{Q}_o - \hat{Q}_v)(2z_1\tau; 2z_2\tau) \frac{2\hat{\eta}}{\hat{\vartheta}_2(2z_1\tau)} \frac{2\hat{\eta}}{\hat{\vartheta}_2(2z_2\tau)} . \quad (6.44)
\end{aligned}$$

In queste espressioni n, \bar{n}, m ed \bar{m} sono le molteplicità di Chan-Paton delle D9-brane (rispettivamente, neutre e magnetizzate), mentre d e \bar{d} sono le molteplicità delle D5-brane. P_i e W_i sono le usuali somme reticolari, mentre

$$\tilde{P}_i = \left[\sum_{m_i=-\infty}^{\infty} q^{\frac{\alpha'}{2R^2} \left(\frac{m_i}{\sqrt{1+q_a^2 H_i^2}} \right)^2} \right]^2 . \quad (6.45)$$

Si osservi inoltre come nelle funzioni di partizione (6.42), (6.43) e (6.44), i supercaratteri a sei dimensioni siano funzioni di una coppia di argomenti, che descrivono l'effetto delle deformazioni magnetiche sui fermioni interni. I supercaratteri così deformati sono

$$\begin{aligned}
Q_o(\zeta_1; \zeta_2) &= V_4(0)[O_2(\zeta_1)O_2(\zeta_2) + V_2(\zeta_1)V_2(\zeta_2)] \\
&\quad - C_4(0)[S_2(\zeta_1)C_2(\zeta_2) + C_2(\zeta_1)S_2(\zeta_2)] , \\
Q_v(\zeta_1; \zeta_2) &= O_4(0)[V_2(\zeta_1)O_2(\zeta_2) + O_2(\zeta_1)V_2(\zeta_2)] \\
&\quad - S_4(0)[S_2(\zeta_1)S_2(\zeta_2) + C_2(\zeta_1)C_2(\zeta_2)] , \\
Q_s(\zeta_1; \zeta_2) &= O_4(0)[S_2(\zeta_1)C_2(\zeta_2) + C_2(\zeta_1)S_2(\zeta_2)] \\
&\quad - S_4(0)[O_2(\zeta_1)O_2(\zeta_2) + V_2(\zeta_1)V_2(\zeta_2)] , \\
Q_c(\zeta_1; \zeta_2) &= V_4(0)[S_2(\zeta_1)S_2(\zeta_2) + C_2(\zeta_1)C_2(\zeta_2)] \\
&\quad - C_4(0)[V_2(\zeta_1)O_2(\zeta_2) + O_2(\zeta_1)V_2(\zeta_2)] , \quad (6.46)
\end{aligned}$$

dove i quattro caratteri di livello 1 di $O(2n)$ sono legati alle quattro funzioni theta di Jacobi dalle relazioni

$$\begin{aligned}
O_{2n}(\zeta) &= \frac{\vartheta_3^n(\zeta|\tau) + \vartheta_4^n(\zeta|\tau)}{2\eta^n(\tau)} , & V_{2n}(\zeta) &= \frac{\vartheta_3^n(\zeta|\tau) - \vartheta_4^n(\zeta|\tau)}{2\eta^n(\tau)} , \\
S_{2n}(\zeta) &= \frac{\vartheta_2^n(\zeta|\tau) + i^n \vartheta_1^n(\zeta|\tau)}{2\eta^n(\tau)} , & C_{2n}(\zeta) &= \frac{\vartheta_2^n(\zeta|\tau) - i^n \vartheta_1^n(\zeta|\tau)}{2\eta^n(\tau)} .
\end{aligned}$$

Gli argomenti z_i e $2z_i$ restano così associati alle stringhe aperte con uno o due estremi carichi. Inoltre, le simmetrie delle funzioni theta di Jacobi sotto $z \rightarrow -z$, permettono di assemblare alcuni termini delle (6.43) e (6.44) con cariche opposte (e quindi con argomento opposto).

Per valori generici dei campi magnetici, lo spettro aperto non è supersimmetrico e da' origine ad instabilità tachioniche (instabilità di Nielsen-Olesen [116]), che possono essere ascritte agli accoppiamenti magnetici delle componenti interne dei campi di gauge. Infatti, per deboli campi magnetici, la formula di massa per i modi di stringa diviene

$$\Delta m^2 = \frac{1}{2\pi\alpha'} \sum_{i=1,2} [(2n_i + 1)|(q_L + q_R)H_i| + 2(q_L + q_R)\Sigma_i H_i] , \quad (6.47)$$

dove il primo termine deriva dalla presenza dei livelli di Landau, mentre il secondo deriva dagli accoppiamenti di momento magnetico degli spin Σ_i . Da questa relazione si può facilmente dedurre che le componenti dei vettori interni, nello stato fondamentale di Landau, possono dare origine a contributi tachionici a causa dell'accoppiamento di dipolo magnetico. In realtà la (6.47) è valida per i modi *untwisted*, in quanto le stringhe di tipo ND non hanno livelli di Landau, e quindi per i modi *twisted* il contributo di punto zero non è presente. In questo caso la parte bosonica di Q_s , O_4C_4 , risente però della deformazione magnetica, poiché presenta uno *shift* in massa proporzionale a $\pm(H_1 - H_2)$, e quindi nuovamente non sviluppa instabilità tachioniche se $H_1 = H_2$. Inoltre con questa scelta anche la carica di supersimmetria, che risiede in C_4C_4 , viene preservata. Infatti, utilizzando l'identità di Jacobi per argomento non nullo, si può verificare che per $z_1 = z_2$ sia \mathcal{A} che \mathcal{M} si annullano identicamente. Questo significa che l'intero spettro aperto di stringa possiede una supersimmetria residua. I modelli supersimmetrici che ne risultano sono particolarmente interessanti, e sono caratterizzati da condizioni di *tadpole* "deformate" che riflettono gli accoppiamenti dell'azione (6.35). Come al solito, le condizioni di *tadpole* possono essere desunte dalle ampiezze di bottiglia di Klein, di anello e di Möbius nel canale trasverso che,

nel caso in esame, all'origine dei reticoli assumono la forma seguente:

$$\tilde{\mathcal{K}}_0 = \frac{2^5}{4} \left[Q_o(0;0)(\sqrt{v_1 v_2} + \frac{1}{\sqrt{v_1 v_2}})^2 + Q_v(0;0)(\sqrt{v_1 v_2} - \frac{1}{\sqrt{v_1 v_2}})^2 \right], \quad (6.48)$$

$$\begin{aligned} \tilde{\mathcal{A}}_0 &= \frac{2^{-5}}{4} \left[(Q_o + Q_v)(0;0)[(n + \bar{n})^2 v_1 v_2 \right. \\ &+ 2m\bar{m}(1 + q^2 H_1^2)(1 + q^2 H_2^2)v_1 v_2 \\ &+ \left. \frac{(d + \bar{d})^2}{v_1 v_2} \right] + \\ &+ 8(n + \bar{n})(m + \bar{m})(Q_o + Q_v)(z_1; z_2) \frac{k_1 \eta}{\vartheta_1(z_1)} \frac{k_2 \eta}{\vartheta_1(z_2)} + \\ &+ 4(m^2 + \bar{m}^2)(Q_o + Q_v)(2z_1; 2z_2) \frac{2k_1 \eta}{\vartheta_1(2z_1)} \frac{2k_2 \eta}{\vartheta_1(2z_2)} + \\ &+ 2(n + \bar{n})(d + \bar{d})(Q_o - Q_v)(0;0) \left(\frac{2\eta}{\vartheta_2(0)} \right)^2 + \\ &+ 2(m + \bar{m})(d + \bar{d})(Q_o - Q_v)(z_1; z_2) \left(\frac{2\eta}{\vartheta_2(z_1)} \right) \left(\frac{2\eta}{\vartheta_2(z_2)} \right) + \\ &- 16[(n - \bar{n})^2 - 2m\bar{m} + (d - \bar{d})^2] \left(\frac{\eta}{\vartheta_4(0)} \right)^2 + \\ &- 32(n - \bar{n})(m + \bar{m})(Q_s + Q_c)(z_1; z_2) \left(\frac{\eta}{\vartheta_4(z_1)} \right) \left(\frac{\eta}{\vartheta_4(z_2)} \right) + \\ &- 16(m^2 + \bar{m}^2)(Q_s + Q_c)(2z_1; 2z_2) \left(\frac{\eta}{\vartheta_4(2z_1)} \right) \left(\frac{\eta}{\vartheta_4(2z_2)} \right) + \\ &+ 8(n - \bar{n})(d - \bar{d})(Q_s - Q_c)(0;0) \left(\frac{\eta}{\vartheta_3(0)} \right)^2 + \\ &+ 8(m - \bar{m})(d - \bar{d})(Q_s - Q_c)(z_1; z_2) \left(\frac{\eta}{\vartheta_3(z_1)} \right) \left(\frac{\eta}{\vartheta_3(z_2)} \right) \left. \right], \quad (6.49) \end{aligned}$$

$$\begin{aligned} \tilde{\mathcal{M}}_0 &= -\frac{2}{4} \left[(\hat{Q}_o + \hat{Q}_v)(0;0)[(n + \bar{n})v_1 v_2 + \frac{(d + \bar{d})^2}{v_1 v_2}] \right. \\ &+ (m + \bar{m})(\hat{Q}_o + \hat{Q}_v)(z_1; z_2) \frac{2k_1 \hat{\eta}}{\hat{\vartheta}_1(z_1)} \frac{2k_2 \hat{\eta}}{\hat{\vartheta}_1(z_2)} \\ &+ [(n + \bar{n}) + (d + \bar{d})](\hat{Q}_o - \hat{Q}_v)(0;0) \left(\frac{2\hat{\eta}}{\hat{\vartheta}_2(0)} \right)^2 \\ &+ \left. (m + \bar{m})(\hat{Q}_o - \hat{Q}_v)(z_1; z_2) \left(\frac{2\hat{\eta}}{\hat{\vartheta}_2(z_1)} \right) \left(\frac{2\hat{\eta}}{\hat{\vartheta}_2(z_2)} \right) \right]. \quad (6.50) \end{aligned}$$

Iniziamo ad esaminare le condizioni di *tadpole* di R-R *untwisted* che hanno origine dai settori $S_4 S_2 S_2$, $S_4 C_2 C_2$, $C_4 C_2 S_2$ e $C_4 S_2 C_2$. Queste con-

ducono a soluzioni tutte tra loro compatibili. Quindi possiamo considerare, per esempio, quella per $C_4S_2C_2$

$$\begin{aligned} & [(n + \bar{n}) + (m + \bar{m}) + iq(H_1 - H_2)(m - \bar{m}) + \\ & + q^2 H_1 H_2 (m + \bar{m}) - 32] \sqrt{v_1 v_2} \\ & + [(d + \bar{d}) - 32] \frac{1}{\sqrt{v_1 v_2}} = 0 . \end{aligned} \quad (6.51)$$

Utilizzando la relazione di quantizzazione di Dirac (6.37), a meno dei termini che si annullano identificando le molteplicità delle rappresentazioni coniugate (m, \bar{m}) , la (6.51) può essere riscritta come

$$[(n + \bar{n}) + (m + \bar{m}) - 32] \sqrt{v_1 v_2} + [k_1 k_2 (m + \bar{m}) + (d + \bar{d}) - 32] \frac{1}{\sqrt{v_1 v_2}} = 0 , \quad (6.52)$$

che implica le condizioni

$$\begin{aligned} n + \bar{n} + m + \bar{m} &= 32 , \\ k_1 k_2 (m + \bar{m}) + d + \bar{d} &= 32 . \end{aligned} \quad (6.53)$$

L'espressione (6.51) riflette l'accoppiamento di Wess-Zumino dell'azione (6.35). In particolare il termine quadratico nei campi magnetici descrive come le D9-brane sono cariche rispetto al potenziale di sei-forma. Questo effetto è messo in maggior risalto dalle eqs. (6.53), dalle quali si legge che se $k_1 k_2 > 0$ le D9-brane acquistano la carica di R-R di $|k_1 k_2|$ D5-brane, mentre se $k_1 k_2 < 0$ esse acquistano la carica di R-R di altrettante antiD5-brane, proprio come previsto dall'espressione (6.39).

I *tadpole* NS-NS *untwisted*, che derivano dai settori $V_4 O_2 O_2$, $O_4 V_2 O_2$ e $O_4 O_2 V_2$, mettono in luce la loro relazione con l'azione di Born-Infeld di eq. (6.35) [115]. Per esempio, il *tadpole* di $V_4 O_2 O_2$

$$[n + \bar{n} + (m + \bar{m}) \sqrt{(1 + q^2 H_1^2)(1 + q^2 H_2^2)} - 32] \sqrt{v_1 v_2} + [d + \bar{d} - 32] \frac{1}{\sqrt{v_1 v_2}} , \quad (6.54)$$

è legato alla derivata dell'azione (6.38) rispetto al dilatone ϕ . Si osservi che se nell'espressione (6.54) si pone $H_1 = H_2$ e si utilizza la relazione di

quantizzazione di Dirac, essa assume la stessa forma di (6.52) e quindi si annulla identicamente (come deve essere per configurazioni supersimmetriche), quando vengono imposte le condizioni di *tadpole* R-R.

I *tadpole* della metrica interna ($O_4V_2O_2$ e $O_4O_2V_2$) hanno la particolarità di non assemblarsi in quadrati perfetti a causa del comportamento del campo magnetico sotto inversione temporale. Infatti il contributo dell'ampiezza di anello (6.49) ad $O_4V_2O_2$, per esempio, è

$$\begin{aligned} & \left[\left((n + \bar{n}) + (m + \bar{m}) \frac{(1 - q^2 H_1^2)}{\sqrt{1 + q^2 H_1^2}} \sqrt{1 + q^2 H_2^2} + \right. \right. \\ & \quad \left. \left. + (m - \bar{m}) \frac{2qH_1}{\sqrt{1 + q^2 H_1^2}} \sqrt{1 + q^2 H_2^2} \right) \sqrt{v_1 v_2} - \frac{(d + \bar{d})}{\sqrt{v_1 v_2}} \right] \cdot \\ & \cdot \left[\left((n + \bar{n}) + (m + \bar{m}) \frac{(1 - q^2 H_1^2)}{\sqrt{1 + q^2 H_1^2}} \sqrt{1 + q^2 H_2^2} + \right. \right. \\ & \quad \left. \left. - (m - \bar{m}) \frac{2qH_1}{\sqrt{1 + q^2 H_1^2}} \sqrt{1 + q^2 H_2^2} \right) \sqrt{v_1 v_2} - \frac{(d + \bar{d})}{\sqrt{v_1 v_2}} \right]. \end{aligned} \quad (6.55)$$

Le ampiezze nel canale trasverso coinvolgono un'operazione di inversione temporale sotto la quale il campo magnetico è dispari. Esso introduce quindi dei segni che non rendono tali ampiezze delle forme sesquilineari. Ma la corretta derivazione per fattorizzazione dell'ampiezza di Möbius, come $\langle \tilde{B} | q^{L_0} | C \rangle + \langle \tilde{C} | q^{L_0} | B \rangle$, elimina dal canale trasverso i termini proporzionali ad $(m - \bar{m})$. Pertanto il *tadpole* corrispondente diviene

$$\left[n + \bar{n} + (m + \bar{m}) \frac{(1 - q^2 H_1^2)}{\sqrt{1 + q^2 H_1^2}} \sqrt{1 + q^2 H_2^2} - 32 \right] \sqrt{v_1 v_2} - \left[d + \bar{d} - 32 \right] \frac{1}{\sqrt{v_1 v_2}}, \quad (6.56)$$

che si annulla, per $H_1 = H_2$, una volta imposta la condizione (6.52).

Per quanto riguarda il settore *twisted*, i *tadpole* R-R che derivano da $S_4O_2O_2$ non vengono alterati dalle deformazioni magnetiche. Essi riflettono la distribuzione delle brane tra i sedici punti fissi. Infatti

$$15 \left[\frac{1}{4} (n - \bar{n} + m - \bar{m}) \right]^2 + \left[\frac{1}{4} (n - \bar{n} + m - \bar{m}) - (d - \bar{d}) \right]^2 = 0, \quad (6.57)$$

riflette il fatto che le D5-brane sono accomodate, in questo caso, su un solo punto fisso, mentre le ulteriori D5-brane, ottenute da D9-brane magnetizzate,

vedono tutti i punti fissi. Inoltre esso si annulla identicamente per gruppi di gauge unitari.

I *tadpole* NS-NS *twisted* hanno origine da $O_4S_2C_2$ e $O_4C_2S_2$ e danno luogo a nuovi accoppiamenti per i campi di NS-NS. La loro struttura è piuttosto convoluta,

$$\begin{aligned}
& 15 \left[\frac{(n - \bar{n})}{4} \right. \\
& + \frac{1}{4\sqrt{(1 + q^2H_1^2)(1 + q^2H_2^2)}} [(m - \bar{m})(1 + q^2H_1H_2) \pm iq(H_2 - H_1)(m + \bar{m})]^2 \\
& + \left[\frac{(n - \bar{n})}{4} \right. \\
& + \frac{1}{4\sqrt{(1 + q^2H_1^2)(1 + q^2H_2^2)}} [(m - \bar{m})(1 + q^2H_1H_2) \pm iq(H_2 - H_1)(m + \bar{m}) \\
& - (d - \bar{d})]^2 \left. \right] , \tag{6.58}
\end{aligned}$$

ma dopo l'identificazione delle molteplicità coniugate, si annullano identicamente per $H_1 = H_2$.

A questo punto possiamo descrivere alcuni modelli supersimmetrici corrispondenti al caso speciale $H_1 = H_2$. Per essi lo spettro chiuso proiettato è sempre lo stesso, e corrisponde a quello del modello $U(16)_9 \times U(16)_5$ descritto nel capitolo precedente. I modi a massa nulla del settore aperto si possono invece dedurre da

$$\begin{aligned}
\mathcal{A}_0 + \mathcal{M}_0 &= Q_o(0; 0) [n\bar{n} + m\bar{m} + d\bar{d}] \\
&+ Q_v(0; 0) \left[\frac{1}{2}n(n+1) + \frac{1}{2}\bar{n}(\bar{n}+1) + \frac{1}{2}d(d+1) + \frac{1}{2}\bar{d}(\bar{d}+1) \right. \\
&+ \left. \left[\frac{1}{2}m(m+1) + \frac{1}{2}\bar{m}(\bar{m}+1) \right] (k_1k_2 + 1) \right. \\
&+ k_1k_2 \frac{1}{2} (m + \bar{m})(n + \bar{n}) + (m + \bar{m})(n - \bar{n}) \\
&+ \left. \left. \frac{1}{2}(n\bar{d} + d\bar{n}) + \frac{1}{2}(m\bar{d} + d\bar{m}) \right] \right] , \tag{6.59}
\end{aligned}$$

che mostra come il gruppo di gauge sia $U(n)_9 \times U(m)_9 \times U(d)_5$.

Dalle condizioni di *tadpole* si ottiene

$$n + m = 16 ,$$

$$k_1 k_2 m + d = 16 . \quad (6.60)$$

Le minime degenerazioni dei livelli di Landau ammesse per questo orbifold sono $k_1 = k_2 = 2$, e quindi le possibili soluzioni dei *tadpoles* di R-R (6.60) sono

1) $n = 13$, $m = 3$, $d = 4$

che corrisponde al gruppo di gauge $U(13)_9 \times U(3)_9 \times U(4)_5$, di rango 20, con ipermultiplietti carichi nelle rappresentazioni $(78 + \bar{78}, 1; 1)$, in cinque copie della $(1, 3 + \bar{3}; 1)$, in una copia della $(1, 1; 6 + \bar{6})$, in una copia della $(13, 1; \bar{4})$, in quattro copie della $(\bar{13}, 3; 1)$, ed in una copia della $(1, \bar{3}; 4)$.

2) $n = 14$, $m = 2$, $d = 8$

che corrisponde al gruppo di gauge $U(14)_9 \times U(2)_9 \times U(8)_5$ di rango 24 con ipermultiplietti carichi nelle rappresentazioni $(91 + \bar{91}, 1; 1)$, in cinque copie della $(1, 1 + \bar{1}; 1)$, in una copia della $(1, 1; 28 + \bar{28})$, in una copia della $(14, 1; \bar{8})$, in quattro copie della $(\bar{14}, 2; 1)$, ed in una copia della $(1, \bar{2}; 8)$.

3) $n = 12$, $m = 4$, $d = 0$

che descrive un modello senza D5-brane e con gruppo di gauge $U(12) \times U(4)$, di rango 16, con ipermultiplietti carichi nelle rappresentazioni $(66 + \bar{66}, 1)$, in cinque copie della $(1, 6 + \bar{6})$, ed in quattro copie della $(\bar{12}, 4)$.

Come si può notare, la particolarità di questi modelli sta nel fatto che alcuni multiplietti appaiono in famiglie, mentre il rango dei gruppi di gauge, oltre ad essere ridotto, non è una potenza di due.

6.4 Shift-Orbifolds

L'estensione di questa tecnica a modelli in dimensione inferiore a sei con supersimmetria minimale, necessita la compattificazione su *orbifolds* più complessi che contengono D9 e D5 brane. In particolare, nel seguito considereremo cosiddetti **shift-orbifolds** per il caso $Z_2 \times Z_2$. Mentre per compattificazioni su *orbifolds* le coordinate di stringa vengono identificate sotto inversioni interne (il caso Z_2 descritto in precedenza, ad esempio, corrisponde a nrotazioni combinate di π), gli *shift-orbifolds* si ottengono combinandole

con *shifts* discreti dei vettori di base del reticolo di compattificazione, o, più in dettaglio, combinando *shifts* con simmetrie interne. Il ruolo giocato da un'operazione di questo genere è di particolare interesse, poiché consente di implementare il meccanismo di Scherk-Schwarz per la rottura spontanea della supersimmetria in teoria di stringa.

In teoria dei campi il meccanismo di Scherk-Schwarz per la rottura spontanea della supersimmetria è essenzialmente una generalizzazione dell'usuale riduzione dimensionale: si permette ai campi di dipendere in modo opportuno dalle coordinate interne, rispettando la consistenza della compattificazione. Data la presenza delle sole eccitazioni di Kaluza-Klein in teoria dei campi, il corrispondente meccanismo di Scherk-Schwarz coinvolge *shifts* degli impulsi interni di Kaluza-Klein.

In teoria di stringhe questo meccanismo può essere esteso deformando funzioni di partizione di stringhe chiuse in ragione dell'impulso e del *winding* lungo direzioni compatte, compatibilmente con l'invarianza modulare. Dunque, a differenza della teoria dei campi, in questo caso si ha l'opzione di deformare i momenti o i *windings*, e quindi si hanno due meccanismi differenti di rottura della supersimmetria, che nel seguito definiremo rispettivamente come *rottura di Scherk-Schwarz* o *rottura di M-teoria* [59].

A scopo propedeutico, analizzeremo il caso di uno *shift-orbifold* unidimensionale. Partendo dalla teoria di Tipo IIB compattificata su un cerchio di raggio R , costruiremo i discendenti aperti del modello con *shifts* negli impulsi, noto come *modello di Scherk-Schwarz*. In questo caso la superstringa IIB deve essere proiettata con il generatore di Z_2 $(-)^F \delta$, dove $F = F_L + F_R$ è il numero fermionico totale spazio-temporale, mentre δ è lo *shift* $X^9 \rightarrow X^9 + \pi R$ lungo la dimensione compatta di raggio R , che agisce sugli stati come $(-)^m$. La funzione di partizione che ne deriva è

$$\begin{aligned} \mathcal{T}_{S-S} &= \frac{1}{2} \sum_{m,n} \left[|V_8 - S_8|^2 \Lambda_{m,n} + |V_8 + S_8|^2 (-)^m \Lambda_{m,n} \right] \\ &+ \frac{1}{2} \sum_{m,n} \left[|O_8 - C_8|^2 \Lambda_{m,n+1/2} + |O_8 + C_8|^2 (-)^m \Lambda_{m,n+1/2} \right]. \end{aligned} \quad (6.61)$$

Introducendo le somme reticolari proiettate su momenti pari o dispari

$$\begin{aligned}\mathcal{E}_a &= \sum_{m,n} \frac{1 + (-)^m}{2} \Lambda_{m,n+a} , \\ \mathcal{O}_a &= \sum_{m,n} \frac{1 - (-)^m}{2} \Lambda_{m,n+a} ,\end{aligned}\tag{6.62}$$

l'ampiezza (6.61) può essere riscritta in termini di una decomposizione ortogonale dello spettro chiuso del modello, ovvero

$$\begin{aligned}\mathcal{T}_{S-S} &= \mathcal{E}_0(|V_8|^2 + |S_8|^2) + \mathcal{E}_{1/2}(|O_8|^2 + |C_8|^2) \\ &- \mathcal{O}_0(V_8\bar{S}_8 + S_8\bar{V}_8) - \mathcal{O}_{1/2}(O_8\bar{C}_8 + C_8\bar{O}_8) .\end{aligned}\tag{6.63}$$

Si noti che per $R < \sqrt{\alpha'}$, questo modello sviluppa un modo tachionico associato ad $|O_8|^2$, mentre per $R \rightarrow \infty$ esso si riduce alla stringa IIB in dieci dimensioni.

La bottiglia di Klein riceve contributi da tutti i settori della (6.63) invarianti sotto Ω . Questi includono i soli stati con *winding* nullo ($n = 0$), e quindi l'ampiezza corrispondente

$$\mathcal{K}_{S-S} = \frac{1}{2}(V_8 - S_8)P_m ,\tag{6.64}$$

non viene alterata dagli *shift* negli impulsi. Nel passaggio al canale trasverso la (6.64) diviene quindi

$$\tilde{\mathcal{K}}_{S-S} = \frac{2^{9/2}}{2} \frac{R}{\sqrt{\alpha'}} (V_8 - S_8) W_{2m} .\tag{6.65}$$

In maniera analoga l'ampiezza di anello nel canale trasverso viene dedotta da \mathcal{T}_{S-S} restringendo la parte diagonale dello spettro al settore con impulsi nulli ($m = 0$). Quindi nel tubo possono fluire solamente gli stati associati a V_8 ed S_8 con *windings* pari, e quelli associati ad O_8 e C_8 con *windings* dispari. Di conseguenza possiamo introdurre quattro tipi di cariche di Chan-Paton, parametrizzate dai quattro interi n_1, n_2, n_3 ed n_4 , ottenendo così

$$\begin{aligned}\tilde{\mathcal{A}}_{S-S} &= \frac{2^{-11/2}}{2} \frac{R}{\sqrt{\alpha'}} \left[[(n_1 + n_2 + n_3 + n_4)^2 V_8 - (n_1 + n_2 - n_3 - n_4)^2 S_8] W_n \right. \\ &+ \left. [(n_1 - n_2 + n_3 - n_4)^2 O_8 - (n_1 - n_2 - n_3 + n_4)^2 C_8] W_{n+1/2} \right].\end{aligned}\tag{6.66}$$

Infine i caratteri comuni a $\tilde{\mathcal{K}}_{S-S}$ ed $\tilde{\mathcal{A}}_{S-S}$ determinano l'ampiezza di Möbius nel canale trasverso

$$\tilde{\mathcal{M}}_{S-S} = -\frac{1}{\sqrt{2}} \frac{R}{\sqrt{\alpha'}} \left[(n_1+n_2+n_3+n_4)^2 \hat{V}_8 W_{2n} - (n_1+n_2-n_3-n_4)^2 \hat{S}_8 (-)^n W_{2n} \right]. \quad (6.67)$$

Le condizioni di *tadpole* si ottengono dalle (6.65), (6.66) e (6.67), ponendo a zero i coefficienti di riflessione per i modi a massa nulla, che hanno origine da V_8 ed S_8 :

$$\begin{aligned} \text{NS-NS} &: \frac{2^{9/2}}{2} + \frac{2^{-11/2}}{2} (n_1 + n_2 + n_3 + n_4)^2 - \frac{1}{\sqrt{2}} (n_1 + n_2 + n_3 + n_4) = 0, \\ \text{R-R} &: \frac{2^{9/2}}{2} + \frac{2^{-11/2}}{2} (n_1 + n_2 - n_3 - n_4)^2 - \frac{1}{\sqrt{2}} (n_1 + n_2 - n_3 - n_4) = 0, \end{aligned}$$

ovvero:

$$\begin{aligned} \text{NS-NS} &: (n_1 + n_2 + n_3 + n_4) = 32, \\ \text{R-R} &: (n_1 + n_2 - n_3 - n_4) = 32. \end{aligned}$$

Da queste si evince che n_1 ed n_2 determinano il numero di D9-brane, mentre n_3 ed n_4 determinano il numero di anti D9-brane. Le condizioni di R-R fissano quindi il numero netto di brane del modello. Imponendo anche i *tadpole* NS-NS, l'introduzione delle anti-brane è vietata ($n_3 = n_4 = 0$), e lo spettro risultante, privo di tachioni, ha gruppo di gauge $SO(n_1) \times SO(32 - n_1)$.

Con procedimento analogo si può ottenere un altro tipo di *shift-orifold* unidimensionale, noto come *modello di M-teoria*. Anche in questo caso il punto di partenza è la teoria di tipo IIB compattificata su un cerchio di raggio R , ma l'azione dello *shift* δ lungo la direzione compatta è la T-duale del caso precedente, e dunque agisce sugli stati come $(-)^n$. L'ampiezza di toro è quindi

$$\begin{aligned} \mathcal{T}_{M-th} &= \tilde{\mathcal{E}}_0(|V_8|^2 + |S_8|^2) + \tilde{\mathcal{E}}_{1/2}(|O_8|^2 + |C_8|^2) \\ &- \tilde{\mathcal{O}}_0(V_8 \bar{S}_8 + S_8 \bar{V}_8) - \tilde{\mathcal{O}}_{1/2}(O_8 \bar{C}_8 + C_8 \bar{O}_8), \quad (6.68) \end{aligned}$$

dove le somme reticolari $\tilde{\mathcal{E}}$ ed $\tilde{\mathcal{O}}$ sono identiche alle (6.62) ma con impulsi e *windings* scambiati. Si osservi che in questo caso l'ampiezza di toro sviluppa

un'instabilità tachionica per $R > \sqrt{\alpha'}$, mentre per $R \rightarrow 0$ la supersimmetria viene ripristinata. In questo caso la bottiglia di Klein nel canale diretto risente della deformazione nei *windings*, e diventa

$$\mathcal{K}_{M-th} = \frac{1}{2}(V_8 - S_8)P_m + \frac{1}{2}(O_8 - C_8)P_{m+1/2} . \quad (6.69)$$

La corrispondente ampiezza nel canale trasverso

$$\tilde{\mathcal{K}}_{M-th} = \frac{2^{9/2}}{2} \frac{R}{\sqrt{\alpha'}} (V_8 W_{4n} - S_8 W_{4n+2}) , \quad (6.70)$$

riceve, di conseguenza, contributi a massa nulla solo dagli stati che derivano da V_8 , e quindi gli *shift-orientifold* nei *windings* coinvolgono numeri uguali di O_9 e $O\bar{9}$ -piani, la cui carica globale di R-R si annulla.

L'ampiezza di anello nel canale trasverso è

$$\begin{aligned} \tilde{\mathcal{A}}_{M-th} &= \frac{2^{-11/2}}{2} \frac{R}{\sqrt{\alpha'}} [(n_1 + n_2 + n_3 + n_4)^2 V_8 - (n_1 + n_2 - n_3 - n_4)^2 S_8] W_{4n} \\ &+ [(n_1 - n_2 + n_3 - n_4)^2 V_8 - (n_1 - n_2 - n_3 + n_4)^2 S_8] W_{4n+2} . \end{aligned} \quad (6.71)$$

Dai segni relativi delle molteplicità di Chan-Paton nei coefficienti di S_8 , si vede che n_1 ed n_2 contano il numero di D9-brane, mentre n_3 ed n_4 quello di $D\bar{9}$ -brane. Con l'usuale procedimento, da $\tilde{\mathcal{A}}_{M-th}$ e $\tilde{\mathcal{K}}_{M-th}$ si può ricavare l'espressione per l'ampiezza di Möbius nel canale trasverso

$$\begin{aligned} \tilde{\mathcal{M}}_{M-th} &= -\frac{2}{2} \frac{R}{\sqrt{\alpha'}} [(n_1 + n_2 + n_3 + n_4)^2 \hat{V}_8 W_{4n} \\ &- (n_1 - n_2 - n_3 + n_4)^2 \hat{S}_8 W_{4n+2}] , \end{aligned} \quad (6.72)$$

e quindi le condizioni di *tadpole*

$$n_1 + n_2 + n_3 + n_4 = 32 , \quad n_1 + n_2 = n_3 + n_4 .$$

Ma nel limite $R \rightarrow 0$, il modello sviluppa ulteriori *tadpole*, che derivano dai settori con somme shiftate W_{4n+2} , che collassano a massa nulla:

$$n_1 + n_3 = n_2 + n_4 , \quad n_1 - n_2 - n_3 + n_4 = 32 .$$

Imponendo le precedenti condizioni, si giunge all'unica soluzione

$$n_1 = 16 = n_4, \quad n_2 = 0 = n_3.$$

Lo spettro a massa nulla che ne risulta

$$\begin{aligned} \mathcal{A}_0 + \mathcal{M}_0 &= \left[\frac{n_1(n_1 - 1)}{2} + \frac{n_4(n_4 - 1)}{2} \right] V_8 \\ &- \left[\frac{n_1(n_1 - 1)}{2} + \frac{n_4(n_4 - 1)}{2} \right] S_8, \end{aligned} \quad (6.73)$$

è quindi supersimmetrico, e contiene infatti multipletti vettoriali per il gruppo di gauge $SO(16) \times SO(16)$. Le eccitazioni massive però non sono supersimmetriche, a causa delle differenti proiezioni di Möbius dei modi fermionici e bosonici, e per la presenza dei settori O_8 e C_8 :

$$\begin{aligned} \mathcal{A}_{M-th} &= \frac{(n_1^2 + n_4^2)}{2} (V_8 - S_8) P_m + n_1 n_4 (O_8 - C_8) P_{m+1/2}, \\ \mathcal{M}_{M-th} &= -\frac{1}{2} [(n_1 + n_4) \hat{V}_8 P_m - (n_1 + n_4) \hat{S}_8 (-)^m P_m]. \end{aligned} \quad (6.74)$$

Questo modello fornisce inoltre un esempio del fenomeno noto come *brane supersymmetry*: le eccitazioni di massa più bassa di una brana immersa in uno spazio-tempo non supersimmetrico possono essere supersimmetriche [59, 64].

6.5 Modelli in quattro dimensioni

I risultati originali di questa tesi sono legati allo studio delle deformazioni magnetiche di modelli in quattro dimensioni, costruiti come discendenti di *orbifolds* $Z_2 \times Z_2$. Verranno quindi illustrati alcuni esempi di classi di modelli di Tipo I, sia nel caso di proiezioni di *orbifold* standard, sia nel caso in cui queste ultime siano accompagnate da *shifts* negli impulsi o nei *windings* [119].

La teoria di partenza è la Tipo IIB compattificata su tre doppi tori, T_{45}, T_{67}, T_{89} , proiettata dall'azione delle quattro operazioni di $Z_2 \times Z_2$, che

indicheremo come o, g, f ed h . Queste, a parte l'identità o , agiscono come rotazioni di π su coppie tori interni, come segue

$$g : (+, -, -) , \quad f : (-, +, -) , \quad h : (-, -, +) . \quad (6.75)$$

Per la descrizione delle ampiezze di questi modelli, è utile introdurre le sedici quantità T_{ij} (con $i = o, g, f, h$):

$$\begin{aligned} T_{io} &= \tau_{io} + \tau_{ig} + \tau_{ih} + \tau_{if} , & T_{ig} &= \tau_{io} + \tau_{ig} - \tau_{ih} - \tau_{if} , \\ T_{ih} &= \tau_{io} - \tau_{ig} + \tau_{ih} - \tau_{if} , & T_{if} &= \tau_{io} - \tau_{ig} - \tau_{ih} + \tau_{if} , \end{aligned} \quad (6.76)$$

dove i τ_{ij} sono i sedici caratteri di $Z_2 \times Z_2$ definiti come:

$$\begin{aligned} \tau_{oo} &= V_2 O_2 O_2 O_2 + O_2 V_2 V_2 V_2 - S_2 S_2 S_2 S_2 - C_2 C_2 C_2 C_2 , \\ \tau_{og} &= O_2 V_2 O_2 O_2 + V_2 O_2 V_2 V_2 - C_2 C_2 S_2 S_2 - S_2 S_2 C_2 C_2 , \\ \tau_{oh} &= O_2 O_2 O_2 V_2 + V_2 V_2 V_2 O_2 - C_2 S_2 S_2 S_2 - S_2 C_2 C_2 S_2 , \\ \tau_{of} &= O_2 O_2 V_2 O_2 + V_2 V_2 O_2 V_2 - C_2 S_2 C_2 S_2 - S_2 C_2 S_2 C_2 , \\ \tau_{go} &= V_2 O_2 S_2 C_2 + O_2 V_2 C_2 S_2 - S_2 S_2 V_2 O_2 - C_2 C_2 O_2 V_2 , \\ \tau_{gg} &= O_2 V_2 S_2 C_2 + V_2 O_2 C_2 S_2 - S_2 S_2 O_2 V_2 - C_2 C_2 V_2 O_2 , \\ \tau_{gh} &= O_2 O_2 S_2 S_2 + V_2 V_2 C_2 C_2 - C_2 S_2 V_2 V_2 - S_2 C_2 O_2 O_2 , \\ \tau_{gf} &= O_2 O_2 C_2 C_2 + V_2 V_2 S_2 S_2 - S_2 C_2 V_2 V_2 - C_2 S_2 O_2 O_2 , \\ \tau_{ho} &= V_2 S_2 C_2 O_2 + O_2 C_2 S_2 V_2 - C_2 O_2 V_2 C_2 - S_2 V_2 O_2 S_2 , \\ \tau_{hg} &= O_2 C_2 C_2 O_2 + V_2 S_2 S_2 V_2 - C_2 O_2 O_2 S_2 - S_2 V_2 V_2 C_2 , \\ \tau_{hh} &= O_2 S_2 C_2 V_2 + V_2 C_2 S_2 O_2 - S_2 O_2 V_2 S_2 - C_2 V_2 O_2 C_2 , \\ \tau_{hf} &= O_2 S_2 S_2 O_2 + V_2 C_2 C_2 V_2 - C_2 V_2 V_2 S_2 - S_2 O_2 O_2 C_2 , \\ \tau_{fo} &= V_2 S_2 O_2 C_2 + O_2 C_2 V_2 S_2 - S_2 V_2 S_2 O_2 - C_2 O_2 C_2 V_2 , \\ \tau_{fg} &= O_2 C_2 O_2 C_2 + V_2 S_2 V_2 S_2 - C_2 O_2 S_2 O_2 - S_2 V_2 C_2 V_2 , \\ \tau_{fh} &= O_2 S_2 O_2 S_2 + V_2 C_2 V_2 C_2 - C_2 V_2 S_2 V_2 - S_2 O_2 C_2 O_2 , \\ \tau_{ff} &= O_2 S_2 V_2 C_2 + V_2 C_2 O_2 S_2 - C_2 V_2 C_2 O_2 - S_2 O_2 S_2 V_2 . \end{aligned} \quad (6.77)$$

O_2, V_2, S_2 e C_2 sono i quattro caratteri di livello 1 di $O(2)$, mentre l'ordinamento dei quattro fattori corrisponde alle otto dimensioni trasverse dello spazio-tempo.

Esistono due classi di modelli supersimmetrici $Z_2 \times Z_2$ che differiscono per la presenza di “torsione discreta”. Nella funzione di partizione ciò si riflette in un segno, che ha effetti cruciali sia sul contenuto dei campi a massa nulla che sulla struttura dei discendenti.

Le ampiezze di toro per tali modelli supersimmetrici $Z_2 \times Z_2$ sono

$$\begin{aligned}
\mathcal{T} = & \frac{1}{4} \left[|T_{oo}|^2 \Lambda_1 \Lambda_2 \Lambda_3 + |T_{og}|^2 \Lambda_1 \left| \frac{4\eta^2}{\vartheta_2^2} \right|^2 + |T_{of}|^2 \Lambda_2 \left| \frac{4\eta^2}{\vartheta_2^2} \right|^2 + |T_{oh}|^2 \Lambda_3 \left| \frac{4\eta^2}{\vartheta_2^2} \right|^2 \right. \\
& + |T_{go}|^2 \Lambda_1 \left| \frac{4\eta^2}{\vartheta_4^2} \right|^2 + |T_{gg}|^2 \Lambda_1 \left| \frac{4\eta^2}{\vartheta_3^2} \right|^2 + |T_{ho}|^2 \Lambda_3 \left| \frac{4\eta^2}{\vartheta_4^2} \right|^2 \\
& + |T_{hh}|^2 \Lambda_3 \left| \frac{4\eta^2}{\vartheta_3^2} \right|^2 + |T_{fo}|^2 \Lambda_2 \left| \frac{4\eta^2}{\vartheta_4^2} \right|^2 + |T_{ff}|^2 \Lambda_2 \left| \frac{4\eta^2}{\vartheta_3^2} \right|^2 \\
& \left. + \epsilon (|T_{gh}|^2 + |T_{gf}|^2 + |T_{fg}|^2 + |T_{fh}|^2 + |T_{hg}|^2 + |T_{hf}|^2) \left| \frac{8\eta^3}{\vartheta_2 \vartheta_3 \vartheta_4} \right|^2 \right], \quad (6.78)
\end{aligned}$$

dove per semplicità sono stati lasciati impliciti i contributi dei bosoni trasversi. Inoltre Λ_1, Λ_2 e Λ_3 sono le somme reticolari associate ai tre tori interni, e $\epsilon = \pm 1$ discrimina tra i due modelli: quello *con torsione discreta* ($\epsilon = -1$), e quello *senza torsione discreta* ($\epsilon = 1$).

Le ampiezze \mathcal{K}, \mathcal{A} ed \mathcal{M} , necessarie per la determinazione dello spettro dei discendenti aperti, vengono costruite seguendo l’usuale procedura. Per quanto riguarda il settore chiuso proiettato, esistono diverse scelte per \mathcal{K} , che definiscono la proiezione per gli stati twistati. Nel seguito discuteremo per semplicità i soli modelli *senza torsione discreta*, con la più semplice funzione di Klein

Nel canale diretto, l’ampiezza di bottiglia di Klein è

$$\begin{aligned}
\mathcal{K} = & \frac{1}{8} \left[(P_1 P_2 P_3 + P_1 W_2 W_3 + W_1 P_2 W_3 + W_1 W_2 P_3) T_{oo} \right. \\
& + 2 \times 16 \left[(P_1 + W_1) T_{go} + (P_2 + W_2) T_{fo} \right. \\
& \left. \left. + (P_3 + W_3) T_{ho} \right] \left(\frac{\eta}{\vartheta_4} \right)^2 \right], \quad (6.79)
\end{aligned}$$

dove P_i e W_i sono i sottoreticoli delle somme reticolari Λ_i ristretti rispettivamente ai soli impulsi e *windings*. Dopo una trasformazione modulare S , l’ampiezza (6.79) diviene

$$\tilde{\mathcal{K}} = \frac{2^5}{8} \left[(v_1 v_2 v_3 W_1^e W_2^e W_3^e + \frac{v_1}{v_2 v_3} W_1^e P_2^e P_3^e + \frac{v_2}{v_1 v_3} P_1^e W_2^e P_3^e \right.$$

$$\begin{aligned}
& + \frac{v_3}{v_1 v_2} P_1^e P_2^e W_3^e T_{oo} + 2 \left[(v_1 W_1^e + \frac{P_1^e}{v_1}) T_{og} + (v_2 W_2^e + \frac{P_2^e}{v_2}) T_{of} \right. \\
& \left. + (v_3 W_3^e + \frac{P_3^e}{v_3}) T_{oh} \right] \left(\frac{2\eta}{\vartheta_2} \right)^2 \Big], \tag{6.80}
\end{aligned}$$

ed all'origine delle somme reticolari i vari termini si arrangiano come al solito in quadrati perfetti:

$$\begin{aligned}
\tilde{\mathcal{K}}_0 &= \frac{2^5}{8} \left[\left(\sqrt{v_1 v_2 v_3} + \sqrt{\frac{v_1}{v_2 v_3}} + \sqrt{\frac{v_2}{v_1 v_3}} + \sqrt{\frac{v_3}{v_1 v_2}} \right)^2 \tau_{oo} \right. \\
& + \left(\sqrt{v_1 v_2 v_3} + \sqrt{\frac{v_1}{v_2 v_3}} - \sqrt{\frac{v_2}{v_1 v_3}} - \sqrt{\frac{v_3}{v_1 v_2}} \right)^2 \tau_{og} \\
& + \left(\sqrt{v_1 v_2 v_3} - \sqrt{\frac{v_1}{v_2 v_3}} + \sqrt{\frac{v_2}{v_1 v_3}} - \sqrt{\frac{v_3}{v_1 v_2}} \right)^2 \tau_{of} \\
& \left. + \left(\sqrt{v_1 v_2 v_3} - \sqrt{\frac{v_1}{v_2 v_3}} - \sqrt{\frac{v_2}{v_1 v_3}} + \sqrt{\frac{v_3}{v_1 v_2}} \right)^2 \tau_{oh} \right]. \tag{6.81}
\end{aligned}$$

Per quanto riguarda i discendenti aperti, gli unici termini che contribuiscono all'ampiezza di anello nel canale trasverso, sono quelli *untwisted*, in quanto quelli *twisted* coinvolgono, in (6.78) per $\epsilon = 1$, combinazioni diagonali dei caratteri τ_{ij} che non sono autoconiugati, e quindi gli stati *twisted* non possono fluire nel tubo. Pertanto l'ampiezza di anello del modello con $\epsilon = 1$ non contiene termini di proiezione, ed è data da

$$\begin{aligned}
\mathcal{A} &= \frac{1}{8} \left[(N^2 P_1 P_2 P_3 + D_1^2 P_1 W_2 W_3 + D_2^2 W_1 P_2 W_3 + D_3^2 W_1 W_2 P_3) T_{oo} \right. \\
& + 2 (ND_1 P_1 T_{go} + ND_2 P_2 T_{fo} + ND_3 P_3 T_{ho}) \left(\frac{\eta}{\vartheta_4} \right)^2 \\
& \left. + 2 (D_2 D_3 W_1 T_{go} + D_1 D_3 W_2 T_{fo} + D_1 D_2 P_3 T_{ho}) \left(\frac{\eta}{\vartheta_4} \right)^2 \right]. \tag{6.82}
\end{aligned}$$

Si osservi come in questa espressione, a parte i termini standard N^2, D_i^2 , associati rispettivamente alle 9-brane ed alle 5-brane, ed i corrispondenti termini ND_i , siano presenti altri tre tipi di stringhe, la cui natura è intimamente connessa alla struttura dell'*orbifold* $Z_2 \times Z_2$. Relativamente ai tre tori interni infatti, le tre operazioni di *twist* di $Z_2 \times Z_2$ danno origine a stringhe aperte con estremi caratterizzati da quattro tipi di condizioni al bordo: NNN, NDD, DND e DDN , le cui possibili combinazioni conducono precisamente a tutti i tipi di stringhe presenti nel modello.

Operando una trasformazione S , la (6.82) diventa

$$\begin{aligned}
\tilde{\mathcal{A}} &= \frac{2^{-5}}{8} \left[(N^2 v_1 v_2 v_3 W_1 W_2 W_3 + \frac{D_1^2 v_1}{v_3 v_2} W_1 P_2 P_3 + \frac{D_2^2 v_2}{v_1 v_3} P_1 W_2 P_3 \right. \\
&+ \frac{D_3^2 v_3}{v_1 v_2} P_1 P_2 W_3) T_{oo} + 2(N D_1 v_1 W_1 T_{og} + N D_2 v_2 W_2 T_{of} \\
&+ N D_3 v_3 W_3 T_{oh}) \left(\frac{2\hat{\eta}}{\hat{\vartheta}_2} \right)^2 + 2(D_1 2 D_3 \frac{1}{v_1} P_1 T_{og} + D_1 D_3 \frac{1}{v_2} P_2 T_{of} \\
&+ D_1 D_2 \frac{1}{v_3} P_3 T_{oh}) \left(\frac{2\hat{\eta}}{\hat{\vartheta}_2} \right)^2 \left. \right], \tag{6.83}
\end{aligned}$$

la cui struttura ha un'interpretazione più chiara all'origine delle somme reticolari, dove i vari termini si assemblano in quadrati perfetti. Infatti

$$\begin{aligned}
\tilde{\mathcal{A}}_0 &= \frac{2^{-5}}{8} \left[\left(N \sqrt{v_1 v_2 v_3} + D_1 \sqrt{\frac{v_1}{v_2 v_3}} + D_2 \sqrt{\frac{v_2}{v_1 v_3}} + D_3 \sqrt{\frac{v_3}{v_1 v_2}} \right)^2 \tau_{oo} \right. \\
&+ \left(N \sqrt{v_1 v_2 v_3} + D_1 \sqrt{\frac{v_1}{v_2 v_3}} - D_2 \sqrt{\frac{v_2}{v_1 v_3}} - D_3 \sqrt{\frac{v_3}{v_1 v_2}} \right)^2 \tau_{og} \\
&+ \left(N \sqrt{v_1 v_2 v_3} - D_1 \sqrt{\frac{v_1}{v_2 v_3}} + D_2 \sqrt{\frac{v_2}{v_1 v_3}} - D_3 \sqrt{\frac{v_3}{v_1 v_2}} \right)^2 \tau_{of} \\
&+ \left. \left(N \sqrt{v_1 v_2 v_3} - D_1 \sqrt{\frac{v_1}{v_2 v_3}} - D_2 \sqrt{\frac{v_2}{v_1 v_3}} + D_3 \sqrt{\frac{v_3}{v_1 v_2}} \right)^2 \tau_{oh} \right], \tag{6.84}
\end{aligned}$$

presenta quattro diversi coefficienti di riflessione legati alle 9-brane ed ai tre tipi di 5-brane.

A partire da $\tilde{\mathcal{K}}_0$ e da $\tilde{\mathcal{A}}_0$, seguendo la procedura standard, si calcola $\tilde{\mathcal{M}}_0$ e da questa l'ampiezza di Möbius completa nel canale trasverso, ovvero

$$\begin{aligned}
\tilde{\mathcal{M}} &= -\frac{2}{8} \left[(N v_1 v_2 v_3 W_1^e W_2^e W_3^e + \frac{D_1 v_1}{v_2 v_3} W_1^e P_2^e P_3^e + \frac{D_2 v_2}{v_1 v_3} P_1^e W_2^e P_3^e \right. \\
&+ \frac{D_3 v_3}{v_1 v_2} P_1^e P_2^e W_3^e) \hat{T}_{oo} + [(N + D_1) v_1 W_1^e + (D_2 + D_3) \frac{P_1^e}{v_1}] \hat{T}_{og} \left(\frac{2\hat{\eta}}{\hat{\vartheta}_2} \right)^2 \\
&+ [(N + D_2) v_2 W_2^e + (D_3 + D_1) \frac{P_2^e}{v_2}] \hat{T}_{of} \left(\frac{2\hat{\eta}}{\hat{\vartheta}_2} \right)^2 \\
&+ \left. [(N + D_3) v_3 W_3^e + (D_2 + D_1) \frac{P_3^e}{v_3}] \hat{T}_{oh} \left(\frac{2\hat{\eta}}{\hat{\vartheta}_2} \right)^2 \right], \tag{6.85}
\end{aligned}$$

dalla quale, tramite una trasformazione modulare P si ottiene l'ampiezza di Möbius nel canale diretto

$$\mathcal{M} = -\frac{1}{8} \left[(N P_1 P_2 P_3 + D_1 P_1 W_2 W_3 + D_2 W_1 P_2 W_3 + D_3 W_1 W_2 P_3) \hat{T}_{oo} \right.$$

$$\begin{aligned}
& - \left[(N + D_1)P_1 + (D_2 + D_3)W_1 \right] \hat{T}_{og} \left(\frac{2\hat{\eta}}{\hat{\vartheta}_2} \right)^2 \\
& - \left[(N + D_2)P_2 + (D_3 + D_1)W_2 \right] \hat{T}_{of} \left(\frac{2\hat{\eta}}{\hat{\vartheta}_2} \right)^2 \\
& - \left[(N + D_3)P_3 + (D_2 + D_1)W_3 \right] \hat{T}_{oh} \left(\frac{2\hat{\eta}}{\hat{\vartheta}_2} \right)^2 \Big] . \tag{6.86}
\end{aligned}$$

Si noti che \mathcal{M} , a differenza di \mathcal{A} , contiene quattro proiezioni, corrispondenti alle quattro operazioni di $Z_2 \times Z_2$. Dalla (6.82) e dalla (6.86) è possibile leggere lo spettro a massa nulla. Le condizioni di *tadpole* fissano

$$N = D_1 = D_2 = D_3 = 32 , \tag{6.87}$$

ma a causa dell'assenza dei termini di rottura, per garantire un'appropriata interpretazione degli stati di stringa aperta, è necessario riscalarle le molteplicità di Chan-Paton per un fattore 2. Quindi, ponendo $N = 2n$ e $D_i = 2d_i$, si ottiene

$$\begin{aligned}
\mathcal{A}_0 + \mathcal{M}_0 &= \left[\frac{n(n+1)}{2} + \frac{d_1(d_1+1)}{2} + \frac{d_2(d_2+1)}{2} + \frac{d_3(d_3+1)}{2} \right] \tau_{oo} \\
&+ \left[\frac{n(n-1)}{2} + \frac{d_1(d_1-1)}{2} + \frac{d_2(d_2-1)}{2} + \frac{d_3(d_3-1)}{2} \right] \tau_{og} \\
&+ \left[\frac{n(n-1)}{2} + \frac{d_1(d_1-1)}{2} + \frac{d_2(d_2-1)}{2} + \frac{d_3(d_3-1)}{2} \right] \tau_{of} \\
&+ \left[\frac{n(n-1)}{2} + \frac{d_1(d_1-1)}{2} + \frac{d_2(d_2-1)}{2} + \frac{d_3(d_3-1)}{2} \right] \tau_{oh} \\
&+ [nd_1 + d_2d_3] (\tau_{go} + \tau_{gg} + \tau_{gh} + \tau_{gf}) \\
&+ [nd_2 + d_1d_3] (\tau_{fo} + \tau_{fg} + \tau_{fh} + \tau_{ff}) \\
&+ [nd_3 + d_1d_2] (\tau_{ho} + \tau_{hg} + \tau_{hh} + \tau_{hf}) , \tag{6.88}
\end{aligned}$$

dalla quale si deduce che il gruppo di gauge è $USp(16)^4$, con multipletti vettoriali nell'aggiunta, tre multipletti chirali nella $(120, 1, 1, 1)$, $(1, 120, 1, 1)$, $(1, 1, 120, 1)$ e $(1, 1, 1, 120)$, sei multipletti chirali nella $(16, 16, 1, 1)$ ed in cinque rappresentazioni bifondamentali che differiscono l'una dall'altra per la permutazione dei fattori.

Questi *orbifolds* supersimmetrici $Z_2 \times Z_2$, possono essere deformati combinando le proiezioni standard di *orbifold* con *shifts* negli impulsi o nei

windings degli stati di reticolo. I modelli risultanti sono caratterizzati da discendenti aperti che presentano rottura parziale della supersimmetria, e coinvolgono peculiari configurazioni di D5-brane. Le brane si arrangiano tipicamente in multipletti di immagini, scambiati da alcune delle operazioni di *orbifold*, causando così la riduzione del rango dei corrispondenti gruppi di gauge. Come accennato nei paragrafi precedenti, quando le operazioni convenzionali di *orbifold* vengono combinate con *shifts*, i modelli risultanti forniscono la realizzazione, a livello di stringa, del meccanismo di Scherk-Schwarz. Vogliamo quindi analizzare gli aspetti salienti degli effetti combinati di *shifts* (δ_L, δ_R) e delle operazioni di *orbifold* $Z_2 \times Z_2$ sui discendenti aperti delle compactificazioni della Tipo IIB [119].

Sia $X_i \rightarrow \sigma(X_i)$ l'azione di *orbifold* sulle coordinate complesse dei tre tori interni. Esistono diversi modi di combinare, in maniera consistente con la struttura del gruppo $Z_2 \times Z_2$, le tre operazioni g, f ed h con gli *shifts*. In ogni caso, a meno di T-dualità e relativa ridefinizione della proiezione Ω , le possibilità più interessanti per questa classe di modelli sono riassunte dalle matrici

$$\sigma_1(\delta_1, \delta_2, \delta_3) = \begin{pmatrix} \delta_1 & -\delta_2 & -1 \\ -1 & \delta_2 & -\delta_3 \\ -\delta_1 & -1 & \delta_3 \end{pmatrix}, \quad \sigma_2(\delta_1, \delta_2, \delta_3) = \begin{pmatrix} \delta_1 & -1 & -1 \\ -1 & \delta_2 & -\delta_3 \\ -\delta_1 & -\delta_2 & \delta_3 \end{pmatrix}, \quad (6.89)$$

dove le tre righe si riferiscono alle nuove operazioni, che continueremo ad indicare con g, f ed h , e dove $-\delta_i$ indica la combinazione di uno *shift* nella direzione i con un'inversione di *orbifold*, ovvero $-\delta_i : X_i \rightarrow -X_i + \delta_i$.

Fissando l'attenzione sulla proiezione Ω convenzionale, è possibile descrivere dieci diversi modelli di *shift-orbifolds* $Z_2 \times Z_2$, corrispondenti a varie scelte di *shifts* negli impulsi e nei *windings*. In ogni caso, la costruzione di ampiezze di vuoto per i discendenti aperti ha come punto di partenza l'ampiezza di toro dell'*orbifold* supersimmetrico (6.78), dove gli *shifts* inducono delle modifiche sui corrispondenti contributi twistati. In tutti questi modelli deformati, l'orbita modulare legata alla torsione discreta è assente,

perché almeno una somma reticolare associata ai termini *twisted* si alza in massa.

Nel seguito, la classe di modelli a cui faremo riferimento in dettaglio sarà quella ottenuta introducendo nella matrice σ_2 di eq.(6.89), *shifts* negli impulsi p_2 e p_3 sul secondo e terzo toro interno. In questo caso la supersimmetria $N = 2$ viene rotta a $N = 1$, e la corrispondente ampiezza di toro è

$$\begin{aligned}
\mathcal{T} = & \frac{1}{4} \left[|T_{oo}|^2 \Lambda_1 \Lambda_2 \Lambda_3 + |T_{og}|^2 \Lambda_1 \left| \frac{4\eta^2}{\vartheta_2^2} \right|^2 + |T_{of}|^2 (-)^{m_2} \Lambda_2 \left| \frac{4\eta^2}{\vartheta_2^2} \right|^2 \right. \\
& + |T_{oh}|^2 (-)^{m_3} \Lambda_3 \left| \frac{4\eta^2}{\vartheta_2^2} \right|^2 + |T_{go}|^2 \Lambda_1 \left| \frac{4\eta^2}{\vartheta_4^2} \right|^2 + |T_{gg}|^2 \Lambda_1 \left| \frac{4\eta^2}{\vartheta_3^2} \right|^2 \\
& + |T_{ho}|^2 \Lambda_3^{n_3+1/2} \left| \frac{4\eta^2}{\vartheta_4^2} \right|^2 + |T_{hh}|^2 (-)^{m_3} \Lambda_3^{n_3+1/2} \left| \frac{4\eta^2}{\vartheta_3^2} \right|^2 \\
& \left. + |T_{fo}|^2 \Lambda_2^{n_2+1/2} \left| \frac{4\eta^2}{\vartheta_4^2} \right|^2 + |T_{ff}|^2 (-)^{m_2} \Lambda_2^{n_2+1/2} \left| \frac{4\eta^2}{\vartheta_3^2} \right|^2 \right]. \quad (6.90)
\end{aligned}$$

Come al solito, i discendenti aperti sono determinati essenzialmente dall'ampiezza di Klein nel canale diretto \mathcal{K} e dall'ampiezza di anello nel canale trasverso $\tilde{\mathcal{A}}$.

L'ampiezza di bottiglia di Klein viene deformata dagli *shifts*, che possono rendere massivi i contributi del canale trasverso. Come nel caso supersimmetrico, \mathcal{K} coinvolge termini proporzionali a $P_1 P_2 P_3$, $P_1 W_2 W_3$, $W_1 P_2 W_3$ e $W_1 W_2 P_3$, che riflettono la struttura $Z_2 \times Z_2$ di questi modelli, e determinano il contenuto di $D9$, $D5_1$, $D5_2$ e $D5_3$ brane. Quando questi termini sono accompagnati da fattori di fase indotti dagli *shifts*, i corrispondenti contributi nel canale trasverso vengono alzati in massa e le condizioni di *tadpole* eliminano le brane corrispondenti. Nel caso in esame quindi, in cui gli *shifts* nei momenti agiscono sul secondo e terzo toro, l'ampiezza di Klein nel canale diretto

$$\begin{aligned}
\mathcal{K} = & \frac{1}{8} \left[(P_1 P_2 P_3 + P_1 W_2 W_3 + (-)^{m_2} W_1 P_2 W_3 + (-)^{m_3} W_1 W_2 P_3) T_{oo} \right. \\
& \left. + 2 \times 16 T_{go} P_1 \left(\frac{\eta}{\vartheta_4} \right)^2 \right], \quad (6.91)
\end{aligned}$$

rivela la presenza di solo $D9$ e $D5_1$ brane.

Come al solito, il comportamento dell'ampiezza di Klein nel canale trasverso

$$\begin{aligned} \tilde{\mathcal{K}} &= \frac{2^5}{8} \left[(v_1 v_2 v_3 W_1^e W_2^e W_3^e + \frac{v_1}{v_2 v_3} W_1^e P_2^e P_3^e + \frac{v_2}{v_1 v_3} P_1^e W_2^o P_3^e \right. \\ &\quad \left. + \frac{v_3}{v_1 v_2} P_1^e P_2^e W_3^o) T_{oo} + 2v_1 W_1^e T_{og} \left(\frac{2\eta}{\vartheta_2} \right)^2 \right], \end{aligned} \quad (6.92)$$

all'origine delle somme reticolari fissa il contributo *twisted* di \mathcal{K} , che assicura che i vari settori indipendenti dello spettro abbiano coefficienti di riflessione che si arrangino in quadrati perfetti. Infatti

$$\tilde{\mathcal{K}}_0 = \frac{2^5}{8} \left[\left(\sqrt{v_1 v_2 v_3} + \sqrt{\frac{v_1}{v_2 v_3}} \right)^2 (\tau_{oo} + \tau_{og}) + \left(\sqrt{v_1 v_2 v_3} - \sqrt{\frac{v_1}{v_2 v_3}} \right)^2 (\tau_{of} + \tau_{oh}) \right]. \quad (6.93)$$

L'altro ingrediente fondamentale per la costruzione del modello è l'ampiezza di anello nel canale trasverso $\tilde{\mathcal{A}}$. Nel caso in esame, lo *shift – orbifold* impone dei vincoli, di origine geometrica, sui modi *untwisted* che possono fluire nel tubo. In generale, i punti fissi di un'operazione formano multipletti le cui componenti devono accomodare gli stessi insiemi di brane. Di conseguenza le brane sono accompagnate da un certo numero di immagini, le cui configurazioni sono determinate appunto, dalle restrizioni sulla forma di $\tilde{\mathcal{A}}$. La presenza di multipletti di brane nella configurazione di vuoto si riflette nella presenza, in $\tilde{\mathcal{A}}$, di corrispondenti operatori di proiezione. Per il modello $p_2 p_3$, il proiettore che moltiplica gli stati nel canale trasverso, e che nel canale diretto da' origine a doppietti di brane, è

$$\Pi = \frac{1 + (-)^{m_2 + m_3}}{2}, \quad (6.94)$$

come può essere visto da una dettagliata analisi degli operatori di vertice [119]. L'ampiezza di anello nel canale trasverso assume quindi la forma

$$\begin{aligned} \tilde{\mathcal{A}} &= \frac{2^{-5}}{8} \left[[N^2 v_1 v_2 v_3 W_1 W_2 W_3 + D_1^2 \frac{v_1}{v_2 v_3} W_1 (P_2^e P_3^e + P_2^o P_3^o)] T_{oo} \right. \\ &\quad + 4(G^2 + 2G_1^2) T_{go} W_1 v_1 \left(\frac{2\eta}{\vartheta_4} \right)^2 + 4F^2 T_{fo} W_2^{n+1/2} v_2 \left(\frac{2\eta}{\vartheta_4} \right)^2 \\ &\quad + 4H^2 T_{ho} W_3^{n+1/2} v_3 \left(\frac{2\eta}{\vartheta_4} \right)^2 + 2ND_1 T_{og} W_1 v_1 \left(\frac{2\eta}{\vartheta_2} \right)^2 \\ &\quad \left. + 4GG_1 T_{gg} W_1 v_1 \left(\frac{2\eta}{\vartheta_3} \right)^2 \right], \end{aligned} \quad (6.95)$$

e dopo una trasformazione S , da' luogo, nel canale diretto, a

$$\begin{aligned}
\mathcal{A} = & \frac{1}{8} \left[[N^2 P_1 P_2 P_3 + \frac{D_1^2}{2} P_1 (W_2 W_3 + W_2^{n+1/2} W_3^{n+1/2})] T_{oo} \right. \\
& + (G^2 + 2G_1^2) T_{og} P_1 \left(\frac{2\eta}{\vartheta_2} \right)^2 + F^2 T_{of} (-)^{m_2} P_2 \left(\frac{2\eta}{\vartheta_2} \right)^2 \\
& + H^2 T_{oh} (-)^{m_3} P_3 \left(\frac{2\eta}{\vartheta_2} \right)^2 2ND_1 T_{go} P_1 \left(\frac{\eta}{\vartheta_4} \right)^2 \\
& \left. + 4GG_1 T_{gg} P_1 \left(\frac{\eta}{\vartheta_3} \right)^2 \right]. \tag{6.96}
\end{aligned}$$

Si noti che, mentre i termini che descrivono stringhe 99 hanno la forma usuale, con i corrispondenti tre termini di proiezione (anche se alterati dagli *shifts* negli impulsi), la configurazione delle stringhe di tipo 55 è piuttosto particolare, ed ammette un'interessante interpretazione geometrica: essa corrisponde ad un doppietto di brane associate ad una coppia di tori fissi sotto l'operazione g , ma scambiati da f ed h .

La presenza di multipletti di brane è una caratteristica generale di tali *shift-orbifolds*. Infatti, se anche si provasse a disporre tutte le brane su un unico punto fisso, queste verrebbero spostate dalle operazioni del gruppo, dando origine così ad insiemi di immagini. Questo argomento suggerisce la struttura (geometrica) dei termini di rottura nel canale trasverso: le $D5_1$ brane occupano una coppia di tori fissi, lasciando vuoti tutti gli altri. Quindi, come richiesto dalla consistenza dell'ampiezza di anello nel canale diretto, nel canale trasverso i termini di rottura devono avere la struttura seguente:

$$\frac{2}{4} (G \mp 4G_1)^2 + \frac{14}{4} G^2, \tag{6.97}$$

e questo determina le proiezioni in eq. (6.96). Mediante la procedura standard, l'ampiezza di Möbius nel canale trasverso viene determinata da $\tilde{\mathcal{K}}_0$ e da

$$\begin{aligned}
\tilde{\mathcal{A}}_0 = & \frac{2^{-5}}{8} \left[\left(N \sqrt{v_1 v_2 v_3} + D_1 \sqrt{\frac{v_1}{v_2 v_3}} \right)^2 (\tau_{oo} + \tau_{og}) \right. \\
& \left. + \left(N \sqrt{v_1 v_2 v_3} - D_1 \sqrt{\frac{v_1}{v_2 v_3}} \right)^2 (\tau_{of} + \tau_{oh}) \right], \tag{6.98}
\end{aligned}$$

ed il risultato è

$$\begin{aligned} \tilde{\mathcal{M}} &= \frac{2}{8} \left[\hat{T}_{oo} (N v_1 v_2 v_3 W_1^e W_2^e W_3^e + D_1 \frac{v_1}{v_2 v_3} W_1^e P_2^e P_3^e) + \hat{T}_{og} D_1 W_1^e v_1 \left(\frac{2\hat{\eta}}{\hat{\vartheta}_2} \right)^2 \right. \\ &\quad \left. + \hat{T}_{og} N W_1^e v_1 \left(\frac{2\hat{\eta}}{\hat{\vartheta}_2} \right)^2 + N \hat{T}_{of} W_2^o v_2 \left(\frac{2\hat{\eta}}{\hat{\vartheta}_2} \right)^2 - N \hat{T}_{oh} W_3^o v_3 \left(\frac{2\hat{\eta}}{\hat{\vartheta}_2} \right)^2 \right]. \end{aligned} \quad (6.99)$$

Infine, applicando una trasformazione P all'espressione precedente, si ottiene

$$\begin{aligned} \mathcal{M} &= -\frac{1}{8} \left[\hat{T}_{oo} (N P_1 P_2 P_3 + D_1 P_1 W_2 W_3) - \hat{T}_{og} (N + D_1) P_1 \left(\frac{2\hat{\eta}}{\hat{\vartheta}_2} \right)^2 \right. \\ &\quad \left. - N \hat{T}_{of} (-)^{m_2} P_2 \left(\frac{2\hat{\eta}}{\hat{\vartheta}_2} \right)^2 + N \hat{T}_{oh} (-)^{m_3} P_3 \left(\frac{2\hat{\eta}}{\hat{\vartheta}_2} \right)^2 \right]. \end{aligned} \quad (6.100)$$

Le condizioni di *tadpole untwisted* fissano

$$N = D_1 = 32, \quad (6.101)$$

mentre quelle *twisted* danno

$$G = G_1 = 0, \quad (6.102)$$

possono essere identicamente soddisfatte parametrizzando le cariche come segue:

$$\begin{aligned} N &= o + g + \bar{o} + \bar{g}, & G &= i (o + g + \bar{o} + \bar{g}), \\ H &= o - g + \bar{o} - \bar{g}, & F &= i (o - g - \bar{o} + \bar{g}), \\ D_1 &= 2d + 2\bar{d}, & G_1 &= i (d - \bar{d}), \end{aligned} \quad (6.103)$$

ed a patto che $o + g = 16$ e $d = 8$.

I modi a massa nulla del settore aperto sono descritti da

$$\begin{aligned} \mathcal{A}_0 + \mathcal{M}_0 &= \tau_{oo} (o\bar{o} + g\bar{g} + d\bar{d}) + \tau_{og} (o\bar{g} + g\bar{o} + d\bar{d}) + \tau_{oh} (og + \bar{o}\bar{g}) \\ &\quad + (\tau_{oh} + \tau_{of}) \left[\frac{d(d-1)}{2} + \frac{\bar{d}(\bar{d}-1)}{2} \right] \\ &\quad + \tau_{of} \left[\frac{o(o-1)}{2} + \frac{\bar{o}(\bar{o}-1)}{2} + \frac{g(g-1)}{2} + \frac{\bar{g}(\bar{g}-1)}{2} \right] \\ &\quad + (\tau_{gh} + \tau_{gf}) (od + gd + \bar{o}\bar{d} + \bar{g}\bar{d}). \end{aligned} \quad (6.104)$$

I gruppi di gauge compatibili con le condizioni di *tadpole* sono quindi $[U(o) \times U(g)]_9 \times U(8)_{5_1}$, mentre lo spettro a massa nulla è non chirale, poiché accanto ad ogni rappresentazione compare anche la sua coniugata, ed include multipletti chirali 99 nelle rappresentazioni $(\frac{o(o-1)}{2}, 1, 1)$, $(1, \frac{g(g-1)}{2}, 1)$, $(o, \bar{g}, 1)$, $(o, g, 1)$, una coppia di ipermultipletti 55 nella rappresentazione $(1, 1, \frac{d(d-1)}{2})$ ed ipermultipletti 59 nelle rappresentazioni $(o, 1, d)$ e $(1, g, d)$. Si noti che lo spettro a massa nulla delle D5-brane presenta il fenomeno di *brane supersymmetry*, ovvero è composto da multipletti di $N = 2$ globale.

6.6 Modelli magnetizzati in $D = 4$

In questo paragrafo verrà descritta la costruzione di due nuovi modelli deformati magneticamente in quattro dimensioni, ottenuti seguendo la procedura utilizzata in sei dimensioni. Questa sarà dapprima applicata al modello $Z_2 \times Z_2$ convenzionale senza torsione discreta, in modo da chiarire, in schemi più complessi, il meccanismo di magnetizzazione. In secondo luogo verrà applicata al modello p_2p_3 con *shifts* negli impulsi descritto nel paragrafo precedente. Ricordando che i campi magnetici sui tori interni non alterano le ampiezze di vuoto di stringa chiusa \mathcal{T} e \mathcal{K} , possiamo considerare direttamente l'ampiezza di anello di eq. (6.82), ponendo $D_1 = 0$. L'introduzione di due campi magnetici interni H_2 ed H_3 sul secondo e terzo toro, conduce quindi alla seguente ampiezza di anello:

$$\begin{aligned}
\mathcal{A} &= \frac{1}{2} \left[(n^2 P_1 P_2 P_3 + 2m\bar{m} P_1 \tilde{P}_2 \tilde{P}_3 + d_2^2 W_1 P_2 W_3 + d_3^2 W_1 W_2 P_3) T_{oo}(0; 0; 0) \right. \\
&+ 2 d_2 d_3 W_1 T_{go}(0; 0; 0) \left(\frac{\eta}{\vartheta_4(0)} \right)^2 + 2n d_2 P_2 T_{fo}(0; 0; 0) \left(\frac{\eta}{\vartheta_4(0)} \right)^2 T_{go}(0; 0; 0) \left(\frac{\eta}{\vartheta_4(0)} \right)^2 + \\
&+ 2n d_3 P_3 T_{ho}(0; 0; 0) \left(\frac{\eta}{\vartheta_4(0)} \right)^2 \\
&- 2n [m T_{oo}(0; z_2\tau; z_3\tau) + \bar{m} T_{oo}(0; -z_2\tau; -z_3\tau)] P_1 \frac{k_2\eta}{\vartheta_1(z_2\tau)} \frac{k_3\eta}{\vartheta_1(z_3\tau)} \\
&- 2id_2 [m T_{fo}(0; z_2\tau; z_3\tau) + \bar{m} T_{fo}(0; -z_2\tau; -z_3\tau)] \frac{\eta}{\vartheta_4(0)} \frac{k_2\eta}{\vartheta_1(z_2\tau)} \frac{\eta}{\vartheta_4(z_3\tau)} \\
&- 2id_3 [m T_{ho}(0; z_2\tau; z_3\tau) + \bar{m} T_{ho}(0; -z_2\tau; -z_3\tau)] \frac{\eta}{\vartheta_4(0)} \frac{\eta}{\vartheta_4(z_2\tau)} \frac{k_3\eta}{\vartheta_1(z_3\tau)}
\end{aligned}$$

$$- [m^2 T_{oo}(0; 2z_2\tau; 2z_3\tau) + \bar{m}^2 T_{oo}(0; -2z_2\tau; -2z_3\tau)] P_1 \frac{2k_2\eta}{\hat{\vartheta}_1(2z_2\tau)} \frac{2k_3\eta}{\hat{\vartheta}_1(2z_3\tau)}, \quad (6.105)$$

dove le molteplicità di Chan-Paton N , D_1 e D_2 sono state riscalate per un fattore 2 (come nella (6.88)), e dove $n \rightarrow n + m + \bar{m}$.

Con procedura analoga si può scrivere la deformazione magnetica dell'ampiezza di Möbius di eq. (6.86)

$$\begin{aligned} \mathcal{M} = & -\frac{1}{4} \left[(nP_1P_2P_3 + d_2W_1P_2W_3 + d_3W_1W_2P_3) \hat{T}_{oo}(0; 0; 0) \right. \\ & - [nP_1 + (d_2 + d_3)W_1] \hat{T}_{og} \left(\frac{2\hat{\eta}}{\hat{\vartheta}_2(0)} \right)^2 \\ & - [(n + d_2)P_2 + d_2W_2] \hat{T}_{of} \left(\frac{2\hat{\eta}}{\hat{\vartheta}_2(0)} \right)^2 \\ & - [(n + d_3)P_3 + d_3W_3] \hat{T}_{oh} \left(\frac{2\hat{\eta}}{\hat{\vartheta}_2(0)} \right)^2 \\ & - [m\hat{T}_{oo}(0; 2z_2\tau; 2z_3\tau) + \bar{m}\hat{T}_{oo}(0; -2z_2\tau; -2z_3\tau)] P_1 \frac{2k_2\hat{\eta}}{\hat{\vartheta}_1(2z_2\tau)} \frac{2k_3\hat{\eta}}{\hat{\vartheta}_1(2z_3\tau)} \\ & - [m\hat{T}_{og}(0; 2z_2\tau; 2z_3\tau) + \bar{m}\hat{T}_{og}(0; -2z_2\tau; -2z_3\tau)] P_1 \frac{2\hat{\eta}}{\hat{\vartheta}_2(2z_2\tau)} \frac{2\hat{\eta}}{\hat{\vartheta}_2(2z_3\tau)} \\ & - i m \hat{T}_{of}(0; 2z_2\tau; 2z_3\tau) \frac{2\hat{\eta}}{\hat{\vartheta}_2(0)} \frac{2k_2\hat{\eta}}{\hat{\vartheta}_1(2z_2\tau)} \frac{2\hat{\eta}}{\hat{\vartheta}_2(2z_3\tau)} \\ & - i \bar{m} \hat{T}_{of}(0; -2z_2\tau; -z_3\tau) \frac{2\hat{\eta}}{\hat{\vartheta}_2(0)} \frac{2k_2\hat{\eta}}{\hat{\vartheta}_1(2z_2\tau)} \frac{2\hat{\eta}}{\hat{\vartheta}_2(2z_3\tau)} \\ & - i m \hat{T}_{oh}(0; 2z_2\tau; 2z_3\tau) \frac{2\hat{\eta}}{\hat{\vartheta}_2(0)} \frac{2\hat{\eta}}{\hat{\vartheta}_2(2z_2\tau)} \frac{2k_3\hat{\eta}}{\hat{\vartheta}_1(2z_3\tau)} \\ & \left. - i \bar{m} \hat{T}_{oh}(0; -2z_2\tau; -2z_3\tau) \frac{2\hat{\eta}}{\hat{\vartheta}_2(0)} \frac{2\hat{\eta}}{\hat{\vartheta}_2(2z_2\tau)} \frac{2k_3\hat{\eta}}{\hat{\vartheta}_1(2z_3\tau)} \right]. \quad (6.106) \end{aligned}$$

Si noti che \mathcal{A} non contiene termini di proiezione, mentre \mathcal{M} contiene quattro contributi, corrispondenti alle proiezioni o , g , f ed h . Questi danno luogo ad un numero netto di fermioni chirali nello spettro a quattro dimensioni, come si può vedere dai contributi a massa nulla

$$\begin{aligned} \mathcal{A}_0 + \mathcal{M}_0 = & \tau_{oo} \left(\frac{n(n+1)}{2} + \frac{d_2(d_2+1)}{2} + \frac{d_3(d_3+1)}{2} + m\bar{m} \right) \\ & + \tau_{og} \left[3 \left(\frac{n(n-1)}{2} + \frac{d_2(d_2-1)}{2} + \frac{d_3(d_3-1)}{2} + m\bar{m} \right) \right] \end{aligned}$$

$$\begin{aligned}
& + n(d_2 + d_3) + d_2 d_3 + |k_2 k_3| n(m + \bar{m}) \\
& + 2 |k_2 k_3| \left(\frac{m(m-1)}{2} + \frac{\bar{m}(\bar{m}-1)}{2} \right)] \\
& + \tau_{gf} \left[\frac{m(m-1)}{2} (|k_2 k_3| + 1 - |k_2| + |k_3|) \right. \\
& + \frac{\bar{m}(\bar{m}-1)}{2} (|k_2 k_3| + 1 + |k_2| - |k_3|) \\
& + \frac{m(m+1)}{2} (|k_2 k_3| - 1 + |k_2| - |k_3|) \\
& + \frac{\bar{m}(\bar{m}+1)}{2} (|k_2 k_3| - 1 - |k_2| + |k_3|) \\
& + \bar{m} d_2 |k_2| + m d_3 |k_3| \left. \right] \\
& + \tau_{gh} \left[\frac{m(m-1)}{2} (|k_2 k_3| + 1 - |k_2| + |k_3|) \right. \\
& + \frac{\bar{m}(\bar{m}-1)}{2} (|k_2 k_3| + 1 + |k_2| - |k_3|) \\
& + \frac{m(m+1)}{2} (|k_2 k_3| - 1 - |k_2| + |k_3|) \\
& + \frac{\bar{m}(\bar{m}+1)}{2} (|k_2 k_3| - 1 + |k_2| - |k_3|) \\
& + m d_2 |k_2| + \bar{m} d_3 |k_3| \left. \right] . \tag{6.107}
\end{aligned}$$

In realtà le condizioni di *tadpole* restringono la carica totale e, per ristabilire la chiralità con gruppi non abeliani occorre introdurre delle coppie brana-antibrana.

Passiamo ora alla trattazione del modello $p_2 p_3$. In questo caso poniamo nell'ampiezza di anello di eq. (6.96) $D_1 = 0 = G_1$, e scindiamo le cariche N, G, H ed F delle D9-brane nella maniera seguente:

$$\begin{aligned}
N & \rightarrow (o + m) + (\bar{o} + \bar{m}) + (g + \bar{g}) = N + (m + \bar{m}) , \\
G & \rightarrow i(o + m) - i(\bar{o} + \bar{m}) + i(g - \bar{g}) = iG + i(m - \bar{m}) , \\
H & \rightarrow (o + m) + (\bar{o} + \bar{m}) - (g + \bar{g}) = H + (m + \bar{m}) , \\
F & \rightarrow i(o + m) - i(\bar{o} + \bar{m}) - i(g - \bar{g}) = iF + i(m - \bar{m}) . \tag{6.108}
\end{aligned}$$

Questo equivale all'introduzione di due campi magnetici interni, H_2 ed H_3 , sul secondo e terzo toro, allineati lungo lo stesso sottogruppo $U(1)$ di $U(o)$.

L'ampiezza di anello e di striscia di Möbius che ne risultano nel canale diretto sono rispettivamente

$$\begin{aligned}
\mathcal{A} = & \frac{1}{8} \left[N^2 T_{oo}(0; 0; 0) P_1 P_2 P_3 + 2m\bar{m} T_{oo}(0; 0; 0) P_1 \tilde{P}_2 \tilde{P}_3 \right. \\
& - 2N [m T_{oo}(0; z_2\tau; z_3\tau) + \bar{m} T_{oo}(0; -z_2\tau; -z_3\tau)] P_1 \frac{k_2\eta}{\vartheta_1(z_2\tau)} \frac{k_3\eta}{\vartheta_1(z_3\tau)} \\
& - [m^2 T_{oo}(0; 2z_2\tau; 2z_3\tau) + \bar{m}^2 T_{oo}(0; -2z_2\tau; -2z_3\tau)] P_1 \frac{2k_2\eta}{\vartheta_1(2z_2\tau)} \frac{2k_3\eta}{\vartheta_1(2z_3\tau)} \\
& + (-G^2 + 2m\bar{m}) P_1 T_{og}(0; 0; 0) \left(\frac{2\eta}{\vartheta_2(0)} \right)^2 \\
& - 2G [m T_{og}(0; z_2\tau; z_3\tau) - \bar{m} T_{og}(0; -z_2\tau; -z_3\tau)] P_1 \frac{2\eta}{\vartheta_2(z_2\tau)} \frac{2\eta}{\vartheta_2(z_3\tau)} \\
& - [m^2 T_{og}(0; 2z_2\tau; 2z_3\tau) + \bar{m}^2 T_{og}(0; -2z_2\tau; -2z_3\tau)] P_1 \frac{2\eta}{\vartheta_2(2z_2\tau)} \frac{2\eta}{\vartheta_2(2z_3\tau)} \\
& + (-F^2(-)^{m_2} P_2 + 2m\bar{m}(-)^{m_2} \tilde{P}_2) T_{of}(0; 0; 0) \left(\frac{2\eta}{\vartheta_2(0)} \right)^2 \\
& \left. + (H^2(-)^{m_3} P_3 + 2m\bar{m}(-)^{m_3} \tilde{P}_3) T_{oh}(0; 0; 0) \left(\frac{2\eta}{\vartheta_2(0)} \right)^2 \right], \quad (6.109)
\end{aligned}$$

$$\begin{aligned}
\mathcal{M} = & -\frac{1}{8} \left[N \hat{T}_{oo}(0; 0; 0) P_1 P_2 P_3 \right. \\
& - [m \hat{T}_{oo}(0; 2z_2\tau; 2z_3\tau) + \bar{m} \hat{T}_{oo}(0; -2z_2\tau; -2z_3\tau)] P_1 \frac{2k_2\hat{\eta}}{\hat{\vartheta}_1(2z_2\tau)} \frac{2k_3\hat{\eta}}{\hat{\vartheta}_1(2z_3\tau)} \\
& - [m \hat{T}_{og}(0; 2z_2\tau; 2z_3\tau) + \bar{m} \hat{T}_{og}(0; -2z_2\tau; -2z_3\tau)] P_1 \frac{2\hat{\eta}}{\hat{\vartheta}_2(2z_2\tau)} \frac{2\hat{\eta}}{\hat{\vartheta}_2(2z_3\tau)} \\
& \left. - N [\hat{T}_{of}(0; 0; 0) (-)^{m_2} P_2 - \hat{T}_{oh}(0; 0; 0) (-)^{m_3} P_3] \left(\frac{2\hat{\eta}}{\hat{\vartheta}_2(0)} \right)^2 \right]. \quad (6.110)
\end{aligned}$$

Si osservi che sia in \mathcal{A} che in \mathcal{M} i termini di rottura legati alle proiezioni F ed H sono solo quelli scarichi ($\propto F^2, H^2$), e quelli globalmente neutri ($\propto 2m\bar{m}$). I termini con la stessa struttura ma con carica ± 1 e ± 2 , non contribuiscono in quanto contengono termini di rottura, che sarebbero incompatibili con la struttura di $\tilde{\mathcal{A}}$. L'assenza di tali proiezioni, oltre a rendere lo spettro non chirale, stabilendo un parallelo con il modello non magnetizzato, mette in luce un aspetto fisico particolarmente interessante: i doppietti di D5-brane sono sostituiti da orbite di Landau. Ogni orbita, descritta dagli estremi

carichi delle stringhe, è sempre accompagnata da una sua immagine, e la loro sovrapposizione coerente da' origine alla generica orbita. Questo dimezza il conteggio degli stati, consistentemente con l'assenza delle proiezioni, ma da' luogo ad uno spettro con molteplicità intere poiché, come vedremo, i k_i risultano essere pari.

Dall'analisi dello spettro aperto a massa nulla, che può essere letto dalle seguenti espressioni:

$$\begin{aligned}
\mathcal{A}_0 &= \frac{1}{8} \left[N^2 T_{oo}(0; 0; 0) - G^2 T_{og}(0; 0; 0) - F^2 T_{of}(0; 0; 0) + H^2 T_{oh}(0; 0; 0) \right. \\
&+ 2m\bar{m}(T_{oo}(0; 0; 0) + T_{og}(0; 0; 0) + T_{of}(0; 0; 0) + T_{oh}(0; 0; 0)) \\
&- 2N[mT_{oo}(0; z_2\tau; z_3\tau) + \bar{m}T_{oo}(0; -z_2\tau; -z_3\tau)] \frac{k_2\eta}{\vartheta_1(z_2\tau)} \frac{k_3\eta}{\vartheta_1(z_3\tau)} \\
&- [m^2 T_{oo}(0; 2z_2\tau; 2z_3\tau) + \bar{m}^2 T_{oo}(0; -2z_2\tau; -2z_3\tau)] \frac{2k_2\eta}{\vartheta_1(2z_2\tau)} \frac{2k_3\eta}{\vartheta_1(2z_3\tau)} \\
&- 2G[mT_{og}(0; z_2\tau; z_3\tau) - \bar{m}T_{og}(0; -z_2\tau; -z_3\tau)] P_1 \frac{2\eta}{\vartheta_2(z_2\tau)} \frac{2\eta}{\vartheta_2(z_3\tau)} \\
&- [m^2 T_{og}(0; 2z_2\tau; 2z_3\tau) + \bar{m}^2 T_{og}(0; -2z_2\tau; -2z_3\tau)] P_1 \frac{2\eta}{\vartheta_2(2z_2\tau)} \frac{2\eta}{\vartheta_2(2z_3\tau)} \left. \right], \tag{6.111}
\end{aligned}$$

$$\begin{aligned}
\mathcal{M}_0 &= -\frac{1}{8} \left[N[\hat{T}_{oo}(0; 0; 0) - \hat{T}_{og}(0; 0; 0) - \hat{T}_{of}(0; 0; 0) + \hat{T}_{oh}(0; 0; 0)] \right. \\
&- [m\hat{T}_{oo}(0; 2z_2\tau; 2z_3\tau) + \bar{m}\hat{T}_{oo}(0; -2z_2\tau; -2z_3\tau)] \frac{2k_2\hat{\eta}}{\hat{\vartheta}_1(2z_2\tau)} \frac{2k_3\hat{\eta}}{\hat{\vartheta}_1(2z_3\tau)} \\
&- [m\hat{T}_{og}(0; 2z_2\tau; 2z_3\tau) + \bar{m}\hat{T}_{og}(0; -2z_2\tau; -2z_3\tau)] \frac{2\hat{\eta}}{\hat{\vartheta}_2(2z_2\tau)} \frac{2\hat{\eta}}{\hat{\vartheta}_2(2z_3\tau)} \left. \right], \tag{6.112}
\end{aligned}$$

si deduce che per questo modello il punto istantónico, nel quale viene mantenuta la supersimmetria, è $H_2 = -H_3$ ($z_2 = -z_3$). Lo spettro aperto dei modi non massivi è quindi descritto da

$$\begin{aligned}
\mathcal{A}_0 + \mathcal{M}_0 &= \tau_{oo}(o\bar{o} + g\bar{g} + m\bar{m}) + \tau_{og} \left[(og + \bar{o}\bar{g} + o\bar{g} + \bar{o}g) \right. \\
&+ \frac{o(o+1)}{2} + \frac{\bar{o}(\bar{o}+1)}{2} + \frac{g(g+1)}{2} + \frac{\bar{g}(\bar{g}+1)}{2} \\
&+ \frac{|k_2||k_3|}{4} (o+g+\bar{o}+\bar{g})(m+\bar{m}) + (o+g-\bar{o}-\bar{g})(m-\bar{m}) \left. \right],
\end{aligned}$$

$$+ (|k_2||k_3| + 1) \left[\frac{m(m+1)}{2} + \frac{\bar{m}(\bar{m}+1)}{2} \right] . \quad (6.113)$$

Da questa espressione si può desumere che il gruppo di gauge è $U(o) \times U(g) \times U(m)$, e che k_2 e k_3 devono soddisfare la condizione di consistenza $|k_2||k_3| \geq 4$ affinché la relazione tra spin e statistica non venga violata. Inoltre k_2 e k_3 devono essere entrambi pari. La spiegazione di questa condizione è piuttosto sottile. Un parametro di quantizzazione legato al volume del quadri-toro T^4 , raddoppierebbe sull'*orbifold*, il quale ha la metà del volume, ma questo sarebbe ristretto a quattro-forme. Nel caso in esame invece, sono presenti solo due-forme, che vedono in maniera indipendente i due tori nei loro flussi. Il fatto che k_2 e k_3 debbano essere entrambi pari, è consistente con il fatto che la magnetizzazione di questo modello mimia i doppietti di $D5_1$ -brane presenti nel modello originale, in termini di doppietti di orbite di Landau. Come nel caso a sei dimensioni, i *tadpole* di R-R del settore *twisted*, che derivano per esempio da $S_2C_2O_2O_2$

$$[G + (m + \bar{m})]^2 , \quad (6.114)$$

sono consistenti con il fatto che i doppietti di $D5_1$ -brane vengono sostituiti dalle D9-brane magnetizzate (o “ruotate”), le quali invadono l'intero primo toro interno.

Ricordiamo che le condizioni di *tadpole* si deducono dalle ampiezze di vuoto nel canale trasverso \tilde{K}_0 , \tilde{A}_0 ed \tilde{M}_0 , che per il modello in considerazione hanno la forma

$$\begin{aligned} \tilde{A}_0 = & \frac{2^{-5}}{8} \left[[N^2 + 2m\bar{m}(1 + q^2H_2^2)(1 + q^2H_3^2)]v_1v_2v_3T_{oo}(0; 0; 0) \right. \\ & + 4 [2NmT_{oo}(0; z_2; z_3) + 2N\bar{m}T_{oo}(0; -z_2; -z_3)]v_1 \frac{k_2\eta}{\vartheta_1(z_2)} \frac{k_3\eta}{\vartheta_1(z_3)} \\ & + 4 [m^2T_{oo}(0; 2z_2; 2z_3) + \bar{m}^2T_{oo}(0; -2z_2; -2z_3)]v_1 \frac{2k_2\eta}{\vartheta_1(2z_2)} \frac{2k_3\eta}{\vartheta_1(2z_3)} \\ & + 16 \left[(-G^2 + 2m\bar{m})T_{go}(0; 0; 0)v_1 \left(\frac{\eta}{\vartheta_4(0)} \right)^2 \right. \\ & + [-2GmT_{go}(0; z_2; z_3) + 2G\bar{m}T_{go}(0; -z_2; -z_3)]v_1 \frac{\eta}{\vartheta_4(z_2)} \frac{\eta}{\vartheta_4(z_3)} \\ & \left. - [m^2T_{go}(0; 2z_2; 2z_3) + \bar{m}^2T_{go}(0; -2z_2; -2z_3)]v_1 \frac{\eta}{\vartheta_4(2z_2)} \frac{\eta}{\vartheta_4(2z_3)} \right] \left. \right] , \quad (6.115) \end{aligned}$$

$$\begin{aligned}
\tilde{M}_0 &= -\frac{2}{8} \left[N\hat{T}_{oo}(0;0;0)v_1v_2v_3 + N\hat{T}_{og}(0;0;0)v_1\left(\frac{2\hat{\eta}}{\hat{\vartheta}_2(0)}\right)^2 \right. \\
&+ \left[m\hat{T}_{oo}(0; z_2; z_3) + \bar{m}\hat{T}_{oo}(0; -z_2; -z_3) \right] v_1 \frac{2k_2\hat{\eta}}{\hat{\vartheta}_1(z_2)} \frac{2k_3\hat{\eta}}{\hat{\vartheta}_1(z_3)} \\
&+ \left. \left[m\hat{T}_{og}(0; z_2; z_3) + \bar{m}\hat{T}_{og}(0; -z_2; -z_3) \right] v_1 \frac{2\hat{\eta}}{\hat{\vartheta}_2(z_2)} \frac{2\hat{\eta}}{\hat{\vartheta}_2(z_3)} \right].
\end{aligned} \tag{6.116}$$

Come nel caso a sei dimensioni, il *tadpole* NS-NS *untwisted*, legato a $V_2O_2O_2O_2$ (*tadpole* del dilatone)

$$\begin{aligned}
&\left[[N + (m + \bar{m})\sqrt{(1 + q^2H_2^2)(1 + q^2H_3^2)}] \sqrt{v_1v_2v_3} \right. \\
&\quad \left. - 32(\sqrt{v_1v_2v_3} + \sqrt{\frac{v_1}{v_2v_3}}) \right]^2,
\end{aligned} \tag{6.117}$$

può essere messo in relazione all'azione di Born-Infeld. Inoltre, ponendo $H_2 = -H_3$ e sfruttando la relazione di quantizzazione di Dirac, la (6.117) diventa identica all'espressione per il *tadpole* di R-R *untwisted* che deriva da $S_2S_2S_2S_2$

$$\begin{aligned}
&\left[[N + (m + \bar{m}) + iq(H_2 + H_3)(m + \bar{m}) - 32] \sqrt{v_1v_2v_3} \right. \\
&\quad \left. - [k_2k_3(m + \bar{m}) + 32] \right]^2 = 0,
\end{aligned} \tag{6.118}$$

e quindi si annulla identicamente. Le condizioni di *tadpole* risultanti sono

$$\begin{aligned}
(o + g) + m &= 16, \\
k_2k_3m &= 16,
\end{aligned} \tag{6.119}$$

dove è stata utilizzata la condizione di *tadpole twisted* $G = 0$ e l'identificazione delle molteplicità coniugate (m, \bar{m}) .

Fissando l'attenzione sul caso $k_2 = k_3 = 2$, che corrisponde alla scelta minimale per la degenerazione dei livelli di Landau di questo *orbifold* $Z_2 \times Z_2$, le condizioni di *tadpole* (6.119) fissano $m = 4$. Pertanto lo spettro aperto è descritto dal gruppo di gauge $U(o) \times U(g) \times U(4)$, con multipletti chirali in due copie delle rappresentazioni $(o, 1, 4)$, $(\bar{o}, 1, \bar{4})$ e $(1, g, 4 + \bar{4})$, ed in una

copia delle rappresentazioni $(o, g + \bar{g}, 1)$, $(\frac{o(o+1)}{2}, 1, 1)$, $(1, \frac{g(g+1)}{2}, 1)$ e delle loro coniugate.

Lo spettro risulta quindi non chirale, anche se caratterizzato da un più ampio numero di multipletti di materia rispetto al caso non deformato. Si perde inoltre il fenomeno di *brane supersymmetry*, in quanto i modi a massa nulla hanno supersimmetria $N = 1$ e non più $N = 2$ come descritto nel paragrafo precedente.

Bibliografia

- [1] R. P. Feynman, “Quantum Theory of Gravitation,” *Acta Phys. Polon.* **24** (1963) 697.
- [2] B. S. Dewitt, “Quantum Theory of Gravity. 1. The Canonical Theory,” *Phys. Rev.* **160** (1967) 1113; “Quantum Theory of Gravity. 2. The Manifestly Covariant Theory,” *Phys. Rev.* **162** (1967) 1195; “Quantum Theory of Gravity. 3. Applications of the Covariant Theory,” *Phys. Rev.* **162** (1967) 1239.
- [3] G. 't Hooft and M. Veltman, “One Loop Divergencies In The Theory Of Gravitation,” *Annales Poincare Phys. Theor. A* **20** (1974) 69.
- [4] M. T. Grisaru, P. van Nieuwenhuizen and J. A. Vermaseren, “One Loop Renormalizability Of Pure Supergravity And Of Maxwell-Einstein Theory In Extended Supergravity,” *Phys. Rev. Lett.* **37** (1976) 1662.
- [5] M. H. Goroff and A. Sagnotti, *Phys. Lett. B* **160** (1985) 81, “The Ultraviolet Behavior Of Einstein Gravity,” *Nucl. Phys. B* **266** (1986) 709.
- [6] N. Marcus and A. Sagnotti, “The Ultraviolet Behavior Of N=4 Yang-Mills And The Power Counting Of Extended Superspace,” *Nucl. Phys. B* **256** (1985) 77.
- [7] A. E. van de Ven, “Two Loop Quantum Gravity” *Nucl. Phys. B* **378** (1992) 309.

- [8] Per una rassegna recente, si veda: Z. Bern *et al.*, “Counterterms in supergravity,” hep-th/0012230.
- [9] Per una rassegna si veda ad esempio: M. B. Green, J. H. Schwarz and E. Witten, “Superstring Theory. Vol. 1: Introduction,” “Superstring Theory. Vol. 2: Loop Amplitudes, Anomalies And Phenomenology,” *Cambridge, Uk: Univ. Pr. (1987) 469 P. (Cambridge Monographs On Mathematical Physics)*.
- [10] J. Scherk and J. H. Schwarz, “Dual Models For Nonhadrons,” *Nucl. Phys. B* **81** (1974) 118.
- [11] T. Yoneya, “Connection Of Dual Models To Electrodynamics And Gravidynamics,” *Prog. Theor. Phys.* **51** (1974) 1907.
- [12] G. Veneziano, “Construction Of A Crossing - Symmetric, Regge Behaved Amplitude For Linearly Rising Trajectories,” *Nuovo Cim. A* **57** (1968) 190.
- [13] M. A. Virasoro, *Phys. Rev.* **177** (1969) 2309.
- [14] J. A. Shapiro, “Loop Graph in the Dual-Tube Model,” *Phys. Rev.* **D5** (1972) 1945.
- [15] M. S. Virasoro, “Generalization of Veneziano’s Formula for the Five-Point Function,” *Phys. Rev. Lett.* **22** (1969) 37.
- [16] J. Scherk and J. H. Schwarz, “Dual Field Theory Of Quarks And Gluons,” *Phys. Lett. B* **57** (1975) 463.
- [17] F. Gliozzi, J. Scherk and D. Olive, “Supersymmetry, Supergravity Theories And The Dual Spinor Model,” *Nucl. Phys. B* **122** (1977) 253.
- [18] A. M. Polyakov, “Quantum geometry of bosonic strings,” *Phys. Lett. B* **103** (1981) 207, “Quantum geometry of fermionic strings,” *Phys. Lett. B* **103** (1981) 211.

- [19] A. A. Belavin, A. M. Polyakov, and A. B. Zamolodchikov, “Infinite Conformal Symmetry in two-Dimensional Quantum Field Theory,” Nucl. Phys. B **241** (1984) 333.
- [20] D. Friedan, E. Martinec and S. Shenker, “Conformal Invariance, Supersymmetry And String Theory,” Nucl. Phys. B **271** (1986) 93.
- [21] P. Goddard, J. Goldstone, C. Rebbi and C. B. Thorn, “Quantum Dynamics Of A Massless Relativistic String,” Nucl. Phys. B **56** (1973) 109.
- [22] A. Neveu and J. H. Schwarz, “Factorizable Dual Model Of Pions,” Nucl. Phys. B **31** (1971) 86, Phys. Rev. D **4** (1971) 1109. P. Ramond, “Dual Theory For Free Fermions,” Phys. Rev. D **3** (1971) 2415.
- [23] W. Nahm, “Mass Spectra Of Dual Strings,” Nucl. Phys. B **114** (1976) 174.
- [24] M. B. Green and J. H. Schwarz, “Anomaly Cancellation In Supersymmetric D=10 Gauge Theory And Superstring Theory,” Phys. Lett. B **149** (1984) 117, “Infinity Cancellations In SO(32) Superstring Theory,” Phys. Lett. B **151** (1985) 21.
- [25] M. B. Green and J. H. Schwarz, “Extended Supergravity In Ten-Dimensions,” Phys. Lett. B **122** (1983) 143.
- [26] A. Sagnotti, “Open Strings And Their Symmetry Groups,” ROM2F-87-25. *Talk presented at the Cargese Summer Institute on Non-Perturbative Methods in Field Theory, Cargese, France, Jul 16-30, 1987.*
- [27] D. J. Gross, J. A. Harvey, E. Martinec and R. Rohm, “Heterotic String Theory. 1. The Free Heterotic String,” Nucl. Phys. B **256** (1985) 253, “Heterotic String Theory. 2. The Interacting Heterotic String,” Nucl. Phys. B **267** (1986) 75.

- [28] W. Nahm, “Modular Invariance And String Model Classification,” *Contribution to 19th Int. Symp. on Theory of Elementary Particles, Ahrenshoop, GDR, Nov 17-23, 1985.*
- [29] E. Witten, “Global Anomalies In String Theory,” *Proc. of Argonne Symp. on Geometry, Anomalies and Topology, Argonne, IL, Mar 28-30, 1985.*
- [30] J. L. Cardy, “Operator Content Of Two-Dimensional Conformally Invariant Theories,” *Nucl. Phys. B* **270** (1986) 186.
- [31] N. Seiberg and E. Witten, “Spin Structures In String Theory,” *Nucl. Phys. B* **276** (1986) 272. L. J. Dixon and J. A. Harvey, “String Theories In Ten-Dimensions Without Space-Time Supersymmetry,” *Nucl. Phys. B* **274** (1986) 93.
- [32] V. Alessandrini, “A General Approach To Dual Multiloop Diagrams,” *Nuovo Cim. A* **2** (1971) 321; V. Alessandrini and D. Amati, “Properties Of Dual Multiloop Amplitudes,” *Nuovo Cim. A* **4** (1971) 793.
- [33] M. Bianchi and A. Sagnotti, “On The Systematics Of Open String Theories,” *Phys. Lett. B* **247** (1990) 517; “Twist symmetry and open string Wilson lines,” *Nucl. Phys. B* **361** (1991) 519.
- [34] Per collezioni di reprints si veda: T. Appelquist, A. Chodos and P. G. Freund, “Introduction To 'Modern Kaluza Klein Theories.',” *IN *APPELQUIST, T. (ED.) ET AL.: MODERN KALUZA-KLEIN THEORIES* 1-47*; “Modern Kaluza-Klein Theories,” *READING, USA: ADDISON-WESLEY (1987) 619 P. (FRONTIERS IN PHYSICS, 65).*
- [35] J. Scherk and J. H. Schwarz, “Spontaneous Breaking Of Supersymmetry Through Dimensional Reduction,” *Phys. Lett. B* **82** (1979) 60, “How To Get Masses From Extra Dimensions,” *Nucl. Phys. B* **153** (1979) 61.

- [36] E. Cremmer and J. Scherk, “Spontaneous Dynamical Breaking Of Gauge Symmetry In Dual Models,” Nucl. Phys. B **72** (1974) 117.
- [37] P. Candelas, G. T. Horowitz, A. Strominger and E. Witten, “Vacuum Configurations For Superstrings,” Nucl. Phys. B **258** (1985) 46.
- [38] K. S. Narain, “New Heterotic String Theories In Uncompactified Dimensions ≥ 10 ,” Phys. Lett. B **169** (1986) 41.
- [39] K. S. Narain, M. H. Sarmadi and E. Witten, “A Note On Toroidal Compactification Of Heterotic String Theory,” Nucl. Phys. B **279** (1987) 369.
- [40] E. Calabi, “On Kähler Manifolds with Vanishing Canonical Class, Algebraic Geometry and Topology,” in *Algebraic Geometry and Topology: A Symposium in Honor of S. Lefschetz* (Princeton University Press), p. 78.
- [41] S. Yau, “Calabi’s Conjecture And Some New Results In Algebraic Geometry,” Proc. Nat. Acad. Sci. **74** (1977) 1798.
- [42] Per una rassegna, vedere ad esempio J. H. Schwarz, “Superstring dualities,” Nucl. Phys. Proc. Suppl. **49** (1996) 183 [hep-th/9509148], A. Sen, “Duality symmetries in string theory,” Nucl. Phys. Proc. Suppl. **45B** (1996) 46.
- [43] A. Sen, “Unification of string dualities,” Nucl. Phys. Proc. Suppl. **58** (1997) 5 [hep-th/9609176].
- [44] E. Witten, “String theory dynamics in various dimensions,” Nucl. Phys. B **443** (1995) 85 [hep-th/9503124]; P. K. Townsend, “The eleven-dimensional supermembrane revisited,” Phys. Lett. B **350** (1995) 184 [hep-th/9501068].
- [45] C. M. Hull and P. K. Townsend, “Enhanced gauge symmetries in superstring theories,” Nucl. Phys. B **451** (1995) 525 [hep-th/9505073];

- “Unity of superstring dualities,” Nucl. Phys. B **438** (1995) 109 [hep-th/9410167].
- [46] E. Cremmer, B. Julia and J. Scherk, “Supergravity theory in 11 dimensions,” Phys. Lett. B **76** (1978) 409.
- [47] P. Horava and E. Witten, “Heterotic and Type I String Dynamics from eleven dimensions,” Nucl. Phys. B **460** (1996) 506; “Eleven-Dimensional Supergravity on a Manifold with Boundary,” Nucl. Phys. B **475** (1996) 94.
- [48] P. Ginsparg, “Comment On Toroidal Compactification Of Heterotic Superstrings,” Phys. Rev. D **35** (1987) 648.
- [49] Un’ampia rassegna è: A. Giveon, M. Porrati and E. Rabinovici, “Target space duality in string theory,” Phys. Rept. **244** (1994) 77 [hep-th/9401139].
- [50] A. Sen, “Strong - weak coupling duality in four-dimensional string theory,” Int. J. Mod. Phys. A **9** (1994) 3707 [hep-th/9402002], “Dyon - monopole bound states, selfdual harmonic forms on the multi - monopole moduli space, and $SL(2, Z)$ invariance in string theory,” Phys. Lett. B **329** (1994) 217 [hep-th/9402032].
- [51] A. Font, L. E. Ibanez, D. Lust and F. Quevedo, “Strong - Weak Coupling Duality And Nonperturbative Effects In String Theory,” Phys. Lett. B **249** (1990) 35.
- [52] M. J. Duff, R. R. Khuri and J. X. Lu, “String solitons,” Phys. Rept. **259** (1995) 213 [hep-th/9412184].
- [53] J. Polchinski, “Dirichlet-Branes and Ramond-Ramond Charges,” Phys. Rev. Lett. **75** (1995) 4724 [hep-th/9510017].
- [54] J. Dai, R. G. Leigh and J. Polchinski, “New Connections Between String Theories,” Mod. Phys. Lett. A **4** (1989) 2073.

- [55] Per una rassegna si veda ad esempio: J. Polchinski, S. Chaudhuri and C. V. Johnson, “Notes on D-Branes,” hep-th/9602052; J. Polchinski, “TASI lectures on D-branes,” hep-th/9611050.
- [56] M. Dine, P. Huet and N. Seiberg, “Large And Small Radius In String Theory,” Nucl. Phys. B **322** (1989) 301.
- [57] I. Antoniadis, C. Bachas, D. C. Lewellen and T. N. Tomaras, “On Supersymmetry Breaking In Superstrings,” Phys. Lett. B **207** (1988) 441.
- [58] I. Antoniadis, “A Possible New Dimension At A Few Tev,” Phys. Lett. B **246** (1990) 377.
- [59] I. Antoniadis, E. Dudas and A. Sagnotti, “Supersymmetry breaking, open strings and M-theory,” Nucl. Phys. B **544** (1999) 469; [hep-th/9807011] I. Antoniadis, G. D’Appollonio, E. Dudas and A. Sagnotti, “Partial breaking of supersymmetry, open strings and M-theory,” Nucl. Phys. B **553** (1999) 133 [hep-th/9812118].
- [60] N. Arkani-Hamed, S. Dimopoulos and G. Dvali, “The hierarchy problem and new dimensions at a millimeter,” Phys. Lett. B **429** (1998) 263 [hep-ph/9803315].
- [61] I. Antoniadis, N. Arkani-Hamed, S. Dimopoulos and G. Dvali, “New dimensions at a millimeter to a Fermi and superstrings at a TeV,” Phys. Lett. B **436** (1998) 257 [hep-ph/9804398].
- [62] Per una rassegna, si veda: E. Dudas, “Theory and phenomenology of type I strings and M-theory,” Class. Quant. Grav. **17** (2000) R41 [hep-ph/0006190].
- [63] G. Shiu and S. H. Tye, “TeV scale superstring and extra dimensions,” Phys. Rev. D **58** (1998) 106007 [hep-th/9805157].

- [64] I. Antoniadis, E. Dudas and A. Sagnotti, “Brane supersymmetry breaking,” *Phys. Lett. B* **464** (1999) 38 [hep-th/9908023]; G. Aldazabal and A. M. Uranga, “Tachyon-free non-supersymmetric type IIB orientifolds via brane-antibrane systems,” *JHEP***9910**, 024 (1999) [hep-th/9908072]; C. Angelantonj, “Comments on open-string orbifolds with a non-vanishing B(ab),” *Nucl. Phys. B* **566** (2000) 126 [hep-th/9908064]; C. Angelantonj, I. Antoniadis, G. D’Appollonio, E. Dudas and A. Sagnotti, “Type I vacua with brane supersymmetry breaking,” *Nucl. Phys. B* **572** (2000) 36 [hep-th/9911081].
- [65] E. S. Fradkin and A. A. Tseytlin, “Nonlinear Electrodynamics From Quantized Strings,” *Phys. Lett. B* **163** (1985) 123; A. Abouelsaood, C. G. Callan, C. R. Nappi and S. A. Yost, “Open Strings In Background Gauge Fields,” *Nucl. Phys. B* **280** (1987) 599.
- [66] S. Ferrara and M. Porrati, “String phase transitions in a strong magnetic field,” *Mod. Phys. Lett. A* **8** (1993) 2497 [hep-th/9306048].
- [67] E. Witten, “Some Properties Of O(32) Superstrings,” *Phys. Lett. B* **149** (1984) 351.
- [68] C. Bachas, “A Way to break supersymmetry,” hep-th/9503030.
- [69] C. Angelantonj, I. Antoniadis, E. Dudas and A. Sagnotti, “Type-I strings on magnetised orbifolds and brane transmutation,” *Phys. Lett. B* **489** (2000) 223 [hep-th/0007090].
- [70] C. Angelantonj and A. Sagnotti, “Type-I vacua and brane transmutation,” hep-th/0010279.
- [71] M. R. Douglas, “Branes within branes,” hep-th/9512077.
- [72] M. B. Green, J. A. Harvey and G. Moore, “I-brane inflow and anomalous couplings on D-branes,” *Class. Quant. Grav.* **14** (1997) 47 [hep-th/9605033].

- [73] Y. Nambu, *Lectures at the Copenhagen Symposium (1970)*.
- [74] T. Goto, "Relativistic Quantum Mechanics Of One-Dimensional Mechanical Continuum And Subsidiary Condition Of Dual Resonance Model," *Prog. Theor. Phys.* **46** (1971) 1560.
- [75] J. H. Schwarz, "Superstring Theory," *Phys. Rept.* **89**, 223 (1982).
- [76] L. Brink, P. Di Vecchia and P. Howe, "A Locally Supersymmetric And Reparametrization Invariant Action For The Spinning String," *Phys. Lett. B* **65** (1976) 471.
- [77] S. Deser and B. Zumino, "A Complete Action For The Spinning String," *Phys. Lett. B* **65** (1976) 369.
- [78] Si veda, ad esempio il volume di Proceedings: S. T. Yau, "Mathematical Aspects Of String Theory. Proceedings, Conference, San Diego, Usa, July 21-August 1, 1986," *SINGAPORE, SINGAPORE: WORLD SCIENTIFIC (1987) 654 P. (ADVANCED SERIES IN MATHEMATICAL PHYSICS, 1)*.
- [79] C. B. Thorn, "Dual Models And Strings: The Critical Dimension," in *C80-02-18.1.6 Phys. Rept.* **67** (1980) 163.
- [80] L. Brink and H. B. Nielsen, "A Simple Physical Interpretation Of The Critical Dimension Of Space-Time In Dual Models," *Phys. Lett. B* **45** (1973) 332.
- [81] J. Cohn, D. Friedan, Z. Qiu and S. Shenker, "Covariant Quantization Of Supersymmetric String Theories: The Spinor Field Of The Ramond-Neveu-Schwarz Model," *Nucl. Phys. B* **278** (1986) 577.
- [82] D. Friedan, "Introduction To Polyakov's String Theory," *Proc. of Summer School of Theoretical Physics: Recent Advances in Field Theory and Statistical Mechanics, Les Houches, France, Aug 2-Sep 10, 1982*.

- [83] O. Alvarez, “Theory Of Strings With Boundaries: Fluctuations, Topology, And Quantum Geometry,” Nucl. Phys. B **216**, 125 (1983).
- [84] L. Alvarez-Gaume, G. Moore and C. Vafa, “Theta functions, modular invariance, and strings,” Commun. Math. Phys. **106**, 1 (1986).
- [85] W. Lerche, A. N. Schellekens and N. P. Warner, “Lattices And Strings,” Phys. Rept. **177** (1989) 1.
- [86] P. Goddard and D. Olive, “Algebras, Lattices And Strings,” DAMTP-83/22 *Talks given at the Workshop on Vertex Operators in Mathematics and Physics, Berkeley, Calif.*
- [87] L. Alvarez-Gaume, P. Ginsparg, G. Moore and C. Vafa, “An O(16) X O(16) Heterotic String,” Phys. Lett. B **171** (1986) 155.
- [88] E. Cremmer and B. Julia, “The N=8 Supergravity Theory. 1. The Lagrangian,” Phys. Lett. B **80** (1978) 48; “The SO(8) Supergravity,” Nucl. Phys. B **159** (1979) 141.
- [89] P. Ginsparg and C. Vafa, “Toroidal Compactification Of Nonsupersymmetric Heterotic Strings,” Nucl. Phys. B **289** (1987) 414.
- [90] E. Witten, “New Issues In Manifolds Of SU(3) Holonomy,” Nucl. Phys. B **268** (1986) 79.
- [91] E. Cremmer, J. Scherk and S. Ferrara, “SU(4) Invariant Supergravity Theory,” Phys. Lett. B **74** (1978) 61.
- [92] L. Dixon, J. A. Harvey, C. Vafa and E. Witten, “Strings On Orbifolds,” Nucl. Phys. B **261** (1985) 678; “Strings On Orbifolds. 2,” Nucl. Phys. B **274** (1986) 285.
- [93] L. Dixon, D. Friedan, E. Martinec and S. Shenker, “The Conformal Field Theory Of Orbifolds,” Nucl. Phys. B **282** (1987) 13.

- [94] S. Hamidi and C. Vafa, “Interactions On Orbifolds,” Nucl. Phys. B **279** (1987) 465.
- [95] J. E. Paton and H. Chan, “Generalized Veneziano Model With Isospin,” Nucl. Phys. B **10** (1969) 516.
- [96] J. H. Schwarz, “Gauge Groups For Type I Superstrings,” CALT-68-906-REV *Presented at 6th Johns Hopkins Workshop on Current Problems in High-Energy Particle Theory, Florence, Italy, Jun 2-4, 1982.*
- [97] N. Marcus and A. Sagnotti, “Tree Level Constraints On Gauge Groups For Type I Superstrings,” Phys. Lett. B **119** (1982) 97.
- [98] M. R. Douglas and B. Grinstein, “Dilaton Tadpole For The Open Bosonic String,” Phys. Lett. B **183** (1987) 52.
- [99] N. Marcus and A. Sagnotti, “Group Theory From ‘Quarks’ At The Ends Of Strings,” Phys. Lett. B **188** (1987) 58.
- [100] S. Weinberg, “Cancellation Of One Loop Divergences In SO(8192) String Theory,” Phys. Lett. B **187** (1987) 278.
- [101] A. Dabholkar and J. Park, “An Orientifold of Type-IIB Theory on $K3$,” Nucl. Phys. B **472** (1996) 207 [hep-th/9602030].
- [102] A. Dabholkar and J. Park, “Strings on Orientifolds,” Nucl. Phys. B **477** (1996) 701 [hep-th/9604178].
- [103] D. Fioravanti, G. Pradisi and A. Sagnotti, “Sewing constraints and nonorientable open strings,” Phys. Lett. B **321** (1994) 349 [hep-th/9311183].
- [104] G. Pradisi, A. Sagnotti and Y. S. Stanev, “Planar duality in SU(2) WZW models,” Phys. Lett. B **354** (1995) 279 [hep-th/9503207]; “The Open descendants of nondiagonal SU(2) WZW models,” Phys. Lett. B **356** (1995) 230 [hep-th/9506014]; G. Pradisi, A. Sagnotti and

- Y. S. Stanev, “Completeness Conditions for Boundary Operators in 2D Conformal Field Theory,” *Phys. Lett. B* **381** (1996) 97 [hep-th/9603097].
- [105] F. Englert, H. Nicolai and A. Schellekens, “Superstrings From Twentysix-Dimensions,” *Nucl. Phys. B* **274** (1986) 315.
- [106] H. Nicolai and A. N. Schellekens, “Topics In String Theory,” CERN-TH-4585/86 *Based on lectures given at 5th Adriatic Mtg. on Superstrings, Anomalies and Unification, Dubrovnik, Yugoslavia, Jun 16-28, 1986.*
- [107] J. L. Cardy, “Boundary Conditions, Fusion Rules And The Verlinde Formula,” *Nucl. Phys. B* **324** (1989) 581.
- [108] A. Sagnotti, “Some properties of open string theories,” hep-th/9509080.
- [109] A. Sagnotti, “Surprises in open-string perturbation theory,” *Nucl. Phys. Proc. Suppl.* **56B** (1997) 332 [hep-th/9702093].
- [110] C. Angelantonj, “Non-tachyonic open descendants of the 0B string theory,” *Phys. Lett. B* **444** (1998) 309 [hep-th/9810214].
- [111] G. Pradisi and A. Sagnotti, “Open String Orbifolds,” *Phys. Lett. B* **216** (1989) 59.
- [112] P. Horava, “Strings On World Sheet Orbifolds,” *Nucl. Phys. B* **327** (1989) 461; “Background Duality Of Open String Models,” *Phys. Lett. B* **231** (1989) 251.
- [113] M. Bianchi, G. Pradisi and A. Sagnotti, “Toroidal compactification and symmetry breaking in open string theories,” *Nucl. Phys. B* **376** (1992) 365; M. Bianchi, “A note on toroidal compactifications of the type I superstring and other superstring vacuum configurations with 16 supercharges,” *Nucl. Phys. B* **528** (1998) 73 [hep-th/9711201].

- [114] C. Bachas and M. Porrati, “Pair creation of open strings in an electric field,” *Phys. Lett. B* **296** (1992) 77 [hep-th/9209032].
- [115] R. G. Leigh, “Dirac-Born-Infeld Action From Dirichlet Sigma Model,” *Mod. Phys. Lett. A* **4** (1989) 2767.
- [116] N. K. Nielsen and P. Olesen, “An Unstable Yang-Mills Field Mode,” *Nucl. Phys. B* **144** (1978) 376.
- [117] J. Polchinski and Y. Cai, “Consistency Of Open Superstring Theories,” *Nucl. Phys. B* **296** (1988) 91.
- [118] E. G. Gimon and J. Polchinski, “Consistency Conditions for Orientifolds and D-Manifolds,” *Phys. Rev. D* **54** (1996) 1667 [hep-th/9601038].
- [119] I. Antoniadis, G. D’Appollonio, E. Dudas and A. Sagnotti, “Open descendants of $Z(2) \times Z(2)$ freely-acting orbifolds,” *Nucl. Phys. B* **565** (2000) 123 [hep-th/9907184].
- [120] M. Bianchi, J. F. Morales and G. Pradisi, “Discrete torsion in non-geometric orbifolds and their open-string descendants,” *Nucl. Phys. B* **573** (2000) 314 [hep-th/9910228].
- [121] G. Aldazabal, D. Badagnani, L. E. Ibanez and A. M. Uranga, “Tadpole versus anomaly cancellation in $D = 4, 6$ compact IIB orientifolds,” *JHEP***9906** (1999) 031 [hep-th/9904071].
- [122] M. Bianchi and J. F. Morales, “Anomalies and tadpoles,” *JHEP***0003** (2000) 030 [hep-th/0002149].
- [123] A. Sagnotti, “A Note on the Green-Schwarz mechanism in open string theories,” *Phys. Lett. B* **294** (1992) 196 [hep-th/9210127].
- [124] S. Ferrara, R. Minasian and A. Sagnotti, “Low-Energy Analysis of M and F Theories on Calabi-Yau Threefolds,” *Nucl. Phys. B* **474** (1996) 323 [hep-th/9604097].

- [125] C. Angelantonj, M. Bianchi, G. Pradisi, A. Sagnotti and Y. S. Stanev, “Chiral asymmetry in four-dimensional open- string vacua,” *Phys. Lett. B* **385** (1996) 96 [hep-th/9606169].
- [126] S. Ferrara, F. Riccioni and A. Sagnotti, “Tensor and vector multiplets in six-dimensional supergravity,” *Nucl. Phys. B* **519** (1998) 115 [hep-th/9711059].
- [127] F. Riccioni and A. Sagnotti, “Consistent and covariant anomalies in six-dimensional supergravity,” *Phys. Lett. B* **436** (1998) 298 [hep-th/9806129].
- [128] F. Riccioni, “All couplings of minimal six-dimensional supergravity,” hep-th/0101074.
- [129] G. Pradisi, “Type I vacua from diagonal $Z(3)$ -orbifolds,” *Nucl. Phys. B* **575** (2000) 134 [hep-th/9912218].